



Lethaea geognostica

Ferdinand Roemer, Fritz Frech

523 -
L647

See

Lethaea geognostica

oder

Beschreibung und Abbildung

der

für die Gebirgs-Formationen bezeichnendsten Versteinerungen.

Herausgegeben

von einer Vereinigung von Palaeontologen.

I. Theil.

Lethaea palaeozoica.

2. Band 3. Lieferung.

Die Dyas

von

Fritz Frech.

Mit 13 Tafeln und 235 Figuren.



STUTTGART.

E. Schweizerbart'sche Verlagshandlung (E. Nägele).
1901.

*LIBRARY OF THE
LELAND STANFORD JR. UNIVERSITY.*

Q.50911

Alle Rechte vorbehalten.

MAR 23 1901

Ankündigung.

Der wenige Bogen umfassende Schluss des Bandes, welcher die Erörterungen über die Zone *Otoceras Woodwardi* und die „*Glossopteris-Flora*“ der Südhemisphäre, sowie die allgemeine geographische Übersicht der Dyas und einen Rückblick auf das Palaeozoicum enthält, ist seitens des Herrn Verfassers druckfertig hergestellt worden.

Jedoch ist die Discussion über die Grenze des Palaeozoicum und Mesozoicum noch nicht zum Abschluss gelangt, hat vielmehr eine neue Forschungsreise des Herrn Dr. NOETLING in den Himalaya veranlasst. Es erschien um so naheliegender, die Ergebnisse derselben abzuwarten, als Herr Dr. NOETLING eine kurze Darlegung der wichtigsten Resultate für die Lethaea in Aussicht gestellt hat.

Die Verlagshandlung.

Inhalts-Übersicht

zu dem Sonderabdruck aus der „Letbaes palaeozoica II, 1899“ (S. 257—483).

F. FRECH: Das Carbon.

	Seite	Seite
Allgemeine Kennzeichen und Gliederung	257	I. Das Carbon in Russland (Moskau) . 291
Stufenbezeichnung der unteren productiven Steinkohlenformation	265	Die Grenze von Devon und Carbon.
Faciesbildungen des Carbon mit thierischen Resten.		a) Malūwka-Murajewnia 294
I. Brachiopoden- und Korallenkalk (Flachseebildungen)	266	b) Der Übergang von Devon und Carbon am Arpatschai (Araxes) 294
II. Fusulinen- und Crinoidenschichten	267	Das jüngere Devon in Hocharmenien (Nachtrag zu p. 246) 296
III. Zwischschaler-Schichten	267	Weitere Verbreitung des Carbon im europäischen Russland.
IV. Cephalopoden-Facies (Bildungen des tieferen Meeres)	267	a) Ural und Timan 297
V. Hornsteine (Bildungen des tieferen Meeres)	268	b) Donjetz 299
Das Vorkommen und die Entstehung der Steinkohlenflöze und das Klima der Kohlenbildung.		Tabelle über „Das Carbon des Donjetzgebietes“ 301
1. Die Donjetz-Entwicklung.	269	II. Das Unter carbon in Mittel- und Westeuropa. 302
2. Die Westfälische Entwicklung.	269	A. Facies und Zonenunterschiede . . . 303
3. Die Saarbrücker Entwicklung.	270	B. Die einzelnen Gebiete.
1. Die Stötleere („taube“) Ansbildung der rothen Sandsteine	273	1. Schlesien 309
2. Über die Wechselagerung von marinen und terrestrischen Bänken	273	2. Das Unter carbon der Ostalpen . . 311
3. Die Sedimentbildung in den Senken der Hochgebirge	276	3. Das Unter carbon des Harzes . . 314
4. Die Gerölle in den Steinkohlenflözen	277	4. Erzgebirge, Thüringer Wald, Fichtelgebirge 315
Die Zusammensetzung der Steinkohle.	277	5. Vogesen 317
Die Flora des Carbon und der Dyas	279	6. Rheinisches Schiefergebirge . . 318
Palaeontologischer Charakter der Carbon-Fauna	282	7. Belgien 319
Tabelle der obercarbonischen und dyadischen Korallen	290	8. Centralplaton 321
		9. Das Carbon in Grossbritannien . . 323
		Tabelle XXI: „Das Unter carbon in Deutschland und im Westen von Europa“ zu p. 323
		III. Die productive Steinkohlenformation im mittleren und westlichen Europa.

	Seite		Seite
1. Schlesien.		A. Meere und Continente des unteren	
Das productive Steinkohlengebirge in		Obercarbon. Mit Karte V . . .	398
Niederschlesien	331	1. Indo-afrikanisches Festland . .	399
Oberschlesien	333	II. Der ost-arktische Continent .	400
a) Stratigraphie	334	B. Geographische Verschiebungen wäh-	
b) Gebirgsbau	338	rend des Obercarbon	402
2. Die Erzgebirgischen und die Wettiner		C. Die Continente am Ende der Car-	
Steinkohlenfelder	340	bonzeit	404
3. Das Westfälische Steinkohlenggebiet .	342	IX. Die Gebirgsbildung in den jung-	
4. Das Aachener Steinkohlenfeld (und		palaeozoischen Perioden.	
Belgien)	347	1. Allgemeines.	
5. Das nordfranzösische Steinkohlenfeld .	349	a) Die Phasen der Gehirgsbildung . .	405
6. Das Steinkohlengebirge und das Roth-		b) Der Zusammenhang zwischen Faltung	
liegende von Saarbrücken	350	und Vertheilung der Kohlenfelder .	406
Hierzu Übersichtstabelle zu p. . . .	350	c) Die Intrusion der Granite . . .	409
7. Das Steinkohlengebirge im Schwarz-		2a. Der Verlauf der jungpalaeozoischen	
wald und in den Vogesen	351	Faltengebirge in Mitteleuropa. Mit	
Tabelle XXII: „Steinkohlenformation		Karte VI	411
und Rothliegendes in Deutschland zu p.	354	a) Die armerikanischen Ketten . .	412
8. Das Obercarbon der Alpen.		b) Die mitteleuropäischen Ketten .	415
Das Obercarbon in den Karnischen		c) Die palaeokarnischen Ketten . .	420
Alpen	354	2b. Jungpalaeozoische Faltungen in Süd-	
Über die Verbreitung des Carbon in		rußland, den Kaukasusländern, Central-	
den Alpen und im Südwesten von		und Ostasien.	
Europa	359	a) Südrussland und Hocharmenien .	421
IV. Das Carbon im Osten und in der		b) Palaeozoische Gehirgsbildung in Cen-	
Mitte von Nordamerika	364	tralasion	422
*1. Die acedische Entwicklung des Carbon	366	c) Sumatra	424
*2. Die pennsylvanische Entwicklung .	367	3. Der Ural und die Appalachien . .	426
3. Alabama	370	4. Südafrika	428
4. Die Carbonentwicklung der Mitte von		Die Schichtenfolge in den Goldfeldern	
Nordamerika	370	des südlichen Transvaal	431
Tabelle XXIII: „Das Carbon im östlich.		Rückblick auf ältere Faltungen . .	432
und mittleren Nordamerika an p. .	375	X. Über Ergiebigkeit und voraus-	
V. Die vorwiegend marine Entwickel-		sichtliche Erschöpfung der Stein-	
ung des Carbon im Westen von		kohlenlager	435
Nordamerika, im östlichen und cen-		A. Die Kohlenvorräte der ausserdeutschen	
tralen Asien.		Länder Europas im Vergleich mit Nord-	
A. Westliches Amerika (Utah, Arizona,		amerika	437
Nevada, National-Park, Kansas) . .	375	1. England	437
Die Grenzbildungen vom Carbon und		2. Nordfrankreich und Belgien . .	439
Dyas in Kansas und Nebraska . . .	377	3. Österreich-Ungarn	441
B. Asien	380	4. Russland	441
VI. Die Verbreitung des obercar-		5. Nordamerika	443
bonischen Fusulinenkalkes	384	B. Die Steinkohlenvorräte Deutschlands .	443
Tabelle XXIV: „Einige wichtige Vor-		a) Die nordwestlichen Kohlenfelder	
kommen des Carbon“ zu p.	394	(Aachen und Westfalen)	444
VII. Untercarbonische Meere und		b) Das Saarkohlenbecken	445
Continente	394	c) Königreich Sachsen und Nieder-	
VIII. Geographische Grundzüge des		schlesien	445
Obercarbon. Mit Karte IV.			

* Hier sind im Text versehentlich römische Ziffern gesetzt.

	Seite
d) Oberschlesien	446
Weltproduction an Kohlen	448
C. Die Steinkohlevorräte Chinas	449
Zusammenfassung	450
Voraussichtliche Erschöpfungszeit einiger wichtiger Steinkohlenfelder in Europa (Tabelle)	452

Taf. 37 a. Leitpflanzen der endetischen Stufe (Unteres Obercarbon).	
„ 37 b. Leitpflanzen der sudetischen Stufe (Unteres Obercarbon).	
„ 46 a. Ammonoiten des Kohlenkalces, der Poë-	

donienschiefer und Goniatitenkalke des Unter-carbon (sogenannter Culm z. Th.).	
Taf. 46 b. Goniatiten aus den marinen Einlagerungen des nordeuropäischen Obercarbon (Sudetische Stufe).	
„ 47 a. Leitfossilien des marinen unteren Obercarbon: Unterer Fowlinenkalk und marine Einlagerungen der Steinkohlenformation.	
„ 47 b. Brachiopoden u. Zweischaler aus der Zone des <i>Spir. supremosquensis</i> (Mittl. Obercarbon).	
„ 47 c. Brachiopoden des obersten Carbon.	
„ 50 a. Leitpflanzen der mittleren Steinkohlenformation.	
„ 50 b. Leitpflanzen der oberen Steinkohlenformation (Oberes Obercarbon).	

Die Dyas.

	Seite
A. Allgemeine Kennzeichen	453
Faciesbildungen der Dyas	454
Marine Bildungen (I—V)	454
Nichtmarine Bildungen (VI)	456
A. Die Kohlenflötze	456
B. Flözleerer rother Sandstein	458
B. Die Fauna der Dyas.	
Wirbelthiere	459
Die Ammonoiten der Dyas	473
Bemerkungen zur Systematik und Stammesgeschichte derselben	475
Zur Eintheilung und Stammesgeschichte der Ammonoiten (im Allgemeinen)	480
Dyadische Mollusken, Brachiopoden und Korallen	482
Die Flora der Dyas	485
C. Abgrenzung und Gliederung.	
Die Abgrenzung von Dyas und Carbon	490
Gliederung und Stufeneinteilung	491
mit Vergleichstabelle der marinen Dyas	493
D. Die Dyas der Nordhemisphäre.	
I. Die Artastufe Russland	493
Spitzbergen	496
II. Die untere marine Dyas des grossen Mittelmeeres	499
Tah.: Marine Dyas der indischen Salzkette (N. Norilsko.)	501
Die untere marine Dyas in Sicilien	505
Marine Palaeodyas in Nordamerika	509
III. Das Rothliegende in Mitteleuropa.	
A. Böhmen und Schlesien.	
1. Das Obercarbon	516
Tah.: Steinkohlenformation und Rothliegendes in Böhmen	518
2. Das Rothliegende in Mittelhöhen	518

	Seite
3. Das Rothliegende im südlichen und östlichen Böhmen und Mähren	526
B. Vereinzelte Vorkommen (Krakau, Sachsen, Thüringen, England, Norditalien)	527
C. Steinkohlenformation und Rothliegendes im Französ. Centralplaton. Einzelne Beispiele: St. Etienne, Brive, Gard	540
Portugal, Pennsylvanien	545
IV. Die obere Dyas in den Alpen und in Ungarn	547
1. Die Gröden Schichten	548
2. Der Bellerophonkalk	551
V. Der Zechstein und seine Salzbildungen	553
1. Der untere Zechstein, eine nordische Transgression	553
2. Der obere Zechstein und das Austrocknen des Binnenmeeres (Kali- und Steinsalzbildung)	555
3. Hoher Zechstein in Nordwestdeutschland und England	561
VI. Die Neodyas in Russland	563
1. Das Permian im Gouvern. Perm	564
2. Der Zechstein	565
3. Die Tatarische Stufe	565
VII. Die Grenze der marinen Dyas und Trias in Asien.	
1. Die Djulfaschichten (Mit 3 Profilen und Textbildern)	566
2. Die Fauna der höheren Neodyas im Vergleich mit der unteren Stufe	572
3. Über eine locale Transgression in China	577

Über Ergiebigkeit und voraussichtliche Erschöpfung der Steinkohlenlager.

Die Ergiebigkeit der Steinkohlenlager, welche in geologischen Handbüchern nicht ausführlicher behandelt zu werden pflegt, verdient wegen ihrer ausserordentlichen praktischen Bedeutung den Vorrang vor anderen technischen Erwägungen und hängt unmittelbar von der stratigraphischen Entwicklung der Flötze ab:

a) Die paralischen Flötze des westfälischen Typus (p. 269), welche marines Untercarbon direkt überlagern und in ihren unteren Horizonten marine Einlagerungen führen, sind für Industrie und Weltverkehr hinsichtlich ihrer Mächtigkeit und Ausdehnung weitaus am bedeutsamsten. Die Mehrzahl der englischen Flötze, die ganze von Südwaies bis Oberschlesien reichende nordeuropäische Zone, die appalachischen Flötze (Pennsylvania bis Alabama) und die Mehrzahl der chinesischen (z. B. Schansi und Schantung) gehören dieser Faciesentwicklung an. Angesichts der Aufmerksamkeit, welche vor jeder systematischen geologischen Aufnahme den nutzbaren Mineralien zugewandt wird, ist die Entdeckung reicher Kohlenflötze von der Ergiebigkeit der obereschlesischen oder pennsylvanischen Lagerstätten nicht mehr zu erwarten.

b) Die wenig verheirietete Facies-Entwicklung von Saarbrücken kommt im Saargebiet selbst den paralischen Flötzen an Bedeutung heinah gleich, während die Waldenburger und Zwickauer Kohlenfelder in geologischer und praktischer Hinsicht schon den Übergang zu dem nächsten Typus bilden.

c) Die geringe Mächtigkeit der wenig zahlreichen in Centralfrankreich, der iberischen Halbinsel, Süddeutschland, Böhmen, den Centralalpen u. s. w. vorkommenden Flötze ist (p. 270, 3a; 351, 359) eingehend beschrieben worden und die rasche Erschöpfung dieser Kohlenhecken unterliegt keinem Zweifel.

d) Die Flötze des Donjetz-Typus mit ihrem regelmässigen Wechsel mariner Kalke und terrestrischer Faciesbildungen sind im Obercarbon Südrusslands, des centralen Nordamerikas und Südchinas (z. Th.) sehr verbreitet, im Unterearbon Schottlands (Calcareous sandstone) selten. Die geringe Zahl und Mächtigkeit der Flötze erinnert an die vorher genannte Entwicklung (3), die grosse räumliche Ausdehnung (Nordamerika, Donjetz) verleiht jedoch diesen Vorkommen eine Bedeutung,

welche weit über die der centralfranzösischen hinausgeht, ohne die technische Wichtigkeit der paralischen Flötze zu erreichen.

Die Frage nach der Erschöpfungszeit der Steinkohlenlager wird mit um so grösserer Eindringlichkeit dem Geologen von dem Techniker gestellt, je geringer die Wahrscheinlichkeit eines anderweitigen Ersatzes der lebendigen Kraft geworden ist. Schon 1892 hat A. RIEBLER¹ die Hypothese „einer neuen Aera, welche die Elektrizität in Verbindung mit den Wasserkraften schaffen und dem Dampf den Garaus machen soll“, als nichtig hingestellt. Nach den jetzigen Erfahrungen ist die Kohle als Kraftquelle von ihrer „Alles beherrschenden Höhe“ nicht zu verdrängen.

Die Antwort auf die Frage: wann sind die Steinkohlenlager erschöpft? ist schon vor vierzig Jahren für das Centrum der Kohlenproduction zu geben versucht worden. Damals berechnete HULL die bis zu einer Tiefe von 4000 engl. Fuss in Grossbritannien anstehenden Kohlen auf 79 843 Millionen engl. Tonnen; etwa ein Jahrzehnt später (1877) gelangte eine von dem Parlament eingesetzte Kommission zu dem wesentlich günstigeren Ergebnis von 146 480 Millionen. Eine wieder zehn Jahre später (1882) von GREENWELL vorgenommene Schätzung berechnete die damals noch vorhandenen Vorräte der Vereinigten Königreiche auf 86 840 Millionen Tonnen. Da nun auch die Zunahme der Production keine auf Grund der bisherigen Ziffern bestimmbare Grösse ist, kann man sich nicht wundern, dass die Prognose der Jahreszahl, in der die Kohlen Englands erschöpft sein dürften, grosse Schwankungen aufweist. Die ungünstigste (letzte) Prognose nimmt für England 276, eine etwas günstigere 366 Jahre (von 1880 ab)² als den Zeitpunkt an, in der die Kohlen zu Ende sein werden. Allerdings rechnet auch die letztere Vermutung mit einer Steigerung der Production, welche, mit 415 Millionen Tonnen³ im Jahre 1971 ihren Höhepunkt erreicht haben sollte.

Die letzte umfangreichere Enquête ähnlicher Art ist im Jahre 1890 in Preussen veranstaltet worden. Die Ergebnisse dieser in Preussen und gleichzeitig auch im Königreich Sachsen angestellten Ermittlungen sind in überaus unsichtiger Weise von R. NASSE dargestellt und gleichzeitig mit den zugänglichen Nachrichten⁴ aus anderen europäischen Ländern und aus Nordamerika verglichen worden.

Eine Fortführung der im allgemeinen bis 1890 reichenden Untersuchung

¹ A. RIEBLER, „Studien über Kräfteverteilung“. Zeitschr. d. Vereins deutscher Ingenieure 1892. Vergl. auch R. NASSE, „Die Kehlennvorräte der europäischen Staaten etc.“ 2. Aufl. Berlin 1893 p. 5.

² Vergl. NEUMAYER-UHLIR, Erdgeschichte II, p. 578.

³ Dem Doppelten der heutigen Production.

⁴ Besonders vollständige Nachrichten über die gesammte Kehlen- und Erzförderung der Erde enthalten die jährlich als Theil des Annual Report of the geological survey of the United States veröffentlichten „Mineral resources of the United states“. Die neuesten dieser Veröffentlichungen (19 u. Ann. Rep.) sind 1898 und 1899 erschienen und umfassen die Statistik bis 1897 oder 1898. Ähnliche zusammenfassende Züge verfolgen die „Coal tables“, Copy of statement showing the production and consumption of coal etc. Letzte Ausgabe: („Ordered by the house of Commons to be printed“) London 14. Apr. 1899. Die deutsche Productions-Statistik ist u. a. enthalten in den verschiedenen Handelskammerberichten, sowie in dem Jahrbuch für den Oberbergamtsbezirk Dortmund 1899, das die deutsche Steinkohlenerzeugung bis 1898 vollständig enthält. Eine neuere Zusammenstellung HALL's (1899) war mir nicht zugänglich.

NASSES bis auf die Gegenwart enthält der Aufsatz des Verfassers: Wann sind unsere Steinkohlenlager erschöpft?¹

Die Kohlenförderung in den europäischen Staaten und in Nordamerika.

	Die Förderung betrug nach dem dreijährigen Durchschnitt für das Jahr:						Die Zunahme der Förderung betrug in Prozenten während der Jahre:				
	1850	1860	1870	1880	1890	1898	1850/60	1860/70	1870/80	1880/90	1890/98
	in Millionen metrischen Tonnen										
	a) Europäische Staaten										
1. Deutschland . . .	6,1	15,0	32,4	53,2	81,8	115,3	146	116	64	54	41
2. Grossbritannien und Irland	45,3	81,7	113,1	147,3	184,2	206,3	80	38	30	25	11
3. Frankreich	4,5	8,4	13,0	18,5	25,3	31,9	85	56	42	37	26
4. Belgien	5,8	9,6	13,5	10,4	20,0	22,1	65	40	22	22	10
5. Österreich-Ungarn .	0,8	2,9	6,7	12,2	20,5	36,2	267	129	82	68	77
6. Russland	0,1	0,1	0,7	3,2	6,2	—	152	460	331	97	—
7. Spanien, Schweden, Italien	0,1	0,3	0,6	1,1	1,7	—	410	98	73	51	—
Europa	62,7	118,0	180,0	251,9	339,7	—	89	53	40	35	—
Die mittelenropäischen Staaten 1 his 5 . .	62,5	117,6	178,7	247,6	331,8	—	88	52	38	34	—
	b) Nordamerika										
1. Vereinigte Staaten .	5,8	15,4	33,4	71,5	132,1	—	167	117	115	84	—
2. Canada	0,2	0,3	0,7	1,3	2,8	—	85	121	86	126	—
Nordamerika . . .	6,0	15,7	34,1	72,8	134,9	—	164	117	115	84	—

Der Gang der Untersuchung muss den einzelnen Kohlenrevieren in geographischer Folge gerecht werden und lehrt uns, dass seit 1890 in Grossbritannien, Belgien und Österreich-Ungarn eine langsame, in Nordamerika, Deutschland und Frankreich hingegen eine raschere procentuale Zunahme der Steinkohlenförderung stattgefunden hat.

I. Die Kohlenvorräte der ausserdeutschen Länder Europas im Vergleich mit Nordamerika.

1. England.

In England und Belgien, deren seit langem erschlossene und seit langem intensiv abgebaute Flützgebiete keine Erweiterung erfahren haben, ist auch die Produktionsvermehrung innerhalb des letzten Jahrzehntes unerheblich gewesen und

¹ Zeitschrift für Socialwissenschaft 1900, p. 175. S. die beifolgende Tabelle.

hat sogar weniger betragen als NASSE (l. c. p. 33) aus der Statistik der vorhergegangenen Jahrzehnte folgern zu müssen geglaubt hat. Am wichtigsten ist aus dieser Berechnung die geringe procentuale Zunahme der Produktionsziffer in England.

England producierte in englischen Tons:

1860	83,9 Millionen engl. Tons
1870	112,9 „ „ „
1880	146,9 „ „ „
1890	181,6 „ „ „
1897	202,1 „ „ „

und hatte in 1898 in Folge des grossen Kohlenarbeitersausstandes sogar noch etwas gegen 1897 abgenommen.¹

NASSE nahm nun an, dass die Zunahme während der Jahrzehnte 1860/70 = 38%, 1870/80 = 30%, 1880/90 = 24% betragen hat, die Steigerung der Förderung in den folgenden Jahrzehnten in demselben Verhältnisse wie im Durchschnitt der letzten drei Jahrzehnte, nämlich um je 5% weiter abnehmen würde. Demnach sei für 1900 unter Voraussetzung einer Zunahme von 20% eine Förderung von 217,9 Millionen engl. Tons zu erwarten. Da jedoch 1898 erst 202,0 erreicht waren, ist eine Steigerung von 16 Millionen englischen Tons in zwei Jahren nicht wahrscheinlich. Ebenso unwahrscheinlich ist daher auch eine weitere Produktionszunahme, die derselbe Verfasser für 1920 auf 275,7 Millionen engl. Tons, für 1930 auf 289,4 Millionen engl. Tons berechnet.

In den letzten drei Jahrzehnten (genau von Anfang 1871 bis Ende 1900) sind in England 2954 Millionen engl. Tons Kohle² gefördert worden, von Anfang 1871 bis Ende 1930 würden bei der von NASSE angenommenen Steigerung 12754 Millionen engl. Tons gefördert sein.

Die von der englischen Kohlenkommission des Jahres 1870 — jedenfalls recht reichlich — berechnete Kohlenmenge würde sich bis 1930 auf rund 182 Milliarden engl. Tons vermindert haben und nur bei einer Jahresförderung von rund 290 Millionen Tons dann noch 628 Jahre reichen.

Die Herausgeber jener Statistik nehmen allerdings eine regelmässige jährliche Vermehrung von 3 Millionen Tons und somit eine Steigerung der Förderung auf 415 Millionen Tons für 1971 an. Nach der letzteren Statistik würde die Kohlenmasse in England nach 376 Jahren, nach NASSES Annahme erst nach 628 Jahren (d. h. im Jahre 2558) erschöpft sein.

Thatsächlich ist gegenüber den beiden Voraussagungen die Zunahme der Förderung schon viel langsamer erfolgt; andererseits sind die Berechnungen der Kommission von 1870 entschieden viel zu hoch gegriffen; neuere zuverlässige Voraussagungen lauten viel ungünstiger. Wie schon erwähnt, hat der Bergingenieur GREENWELL 1882 die vorhandene, in abbauwürdiger Tiefe befindliche Kohlenmenge auf 86640 Millionen engl. Tonnen berechnet,³ die in 276 Jahren (von 1882 an) erschöpft sein sollen.

Leider ist eine Kritik der sehr weit auseinander gehenden Schätzungen um so weniger möglich, als die wissenschaftliche geologische Erforschung der englischen Kohlenformation in den letzten Jahren entschieden hinter den auf dem Continent — in Frankreich, Deutschland und sogar in Russland — erzielten Fortschritten zurückgeblieben ist. — Keinesfalls besteht darüber ein Zweifel, dass die Kohlen zuerst in Nordengland (Durham und Northumberland), zuletzt in Südengland zu Ende gehen werden. Die Kohlenförderung der einzelnen Kohlenfelder zeigt innerhalb der letzten Jahre die folgende Bewegung:

¹ In metrischen Tons producierte England 1897 205,4, 1898 aber nur 205,3 (Jahrb. f. d. Oberbergamtsbezirk Dortmund 1899 p. 116).

² Hiervon von 1891—1898: 1533 Millionen metrische Tons.

³ Dies wäre erheblich weniger als der Kohlevorrat Oberschlesiens.

Revier	Kohlenförderung			
	1898	1907	1906	1905
	in Millionen Tons à 1016 kg			
Ostschottland	17,0	16,4	15,9	16,2
Westschottland	13,2	12,7	12,4	12,6
Newcastle	23,0	21,8	20,6	19,7
Durham	24,4	23,8	23,2	22,0
York und Lincolnshire	25,6	24,0	23,9	22,8
Manchester	11,0	10,6	10,3	10,1
Liverpool	16,6	15,3	15,3	14,8
Midland	25,8	23,8	22,3	21,5
Nord-Staffordshire	6,7	6,4	6,3	6,1
Süd-Staffordshire	9,4	9,3	9,1	8,6
Südwestbezirk	9,4	12,5	11,8	10,8
Südwaies	19,9	25,5	24,1	24,4
Zusammen mit Irland, umgerechnet in metrische Tons.	205,3	205,4	198,5	192,7

Gegenüber diesem ungleich in absehbare Nähe gerückten Sturz der industriellen Vormacht Englands wird mit Verliebe auf die wahrscheinliche Erweiterung der englischen Kohlenfelder hingewiesen. Allerdings ist durch zwei Bohrlöcher bei Dover das productive Kohlengebirge in einer Tiefe von über 1100 engl. Fuss erschlossen worden. Aber wenn schon diese Tiefe recht beträchtlich ist, so erscheint andererseits die Mächtigkeit der 12 erbehten Flötze keineswegs vielversprechend. Die gesamte festgestellte Mächtigkeit von 23 engl. Fuss Kohle verteilt sich auf 1068 Fuss gesamte Mächtigkeit der kohleführenden Schichten.

Es kann allerdings aus allgemeinen geologischen Gründen keinem Zweifel unterliegen, dass das Bohrluch von Dover die direkte Verbindung zwischen den französisch-belgischen Kohlenfeldern und den Flötzen von Südwaies bildet. Aber wenn schon die Mächtigkeit der nachgewiesenen Kohlen als recht bescheiden zu bezeichnen ist, so kann noch weniger mit Sicherheit angenommen werden, dass die geologischen Veränderungen von Festland und Meer die Fortsetzung dieser Flötze unberührt gelassen haben. Auch das westfälische Kohlenrevier hat früher nördlich des Harzes mit dem oberschlesischen zusammengehungen, ohne dass hier irgendwelche Reste des productiven Carben erhalten geblieben wären. Ähnliche Unterbrechungen sind — ganz abgesehen von der grossen Tiefe und dem Vorkommen der geringen Mächtigkeit der Flötze — auch für das südwestliche England in Betracht zu ziehen.

Keinesfalls dürfte der berühmt gewordene Steinkohlenfund von Dover oder seine westliche Fortsetzung volkswirtschaftlich jemals nennenswert in Betracht kommen.

2. Nordfrankreich und Belgien.

Ebenso wenig wie für England sind für die belgischen und nordfranzösischen Steinkohlenfelder räumliche Erweiterungen wahrscheinlich. Nordfrankreich und Belgien bilden ein einheitliches Gebiet hinsichtlich der geologischen Entwicklung der Kohlenflötze; dieselben werden im Südwesten von älteren Schichten unterlagert,¹ während sich nach NO. Jura und Kreide in grösserer Mächtigkeit darüber legen. Es fehlt also jede Möglichkeit, die Steinkohlenreviere räumlich zu erweitern.

¹ Sofern hier nicht in Folge von Gehirgsstörungen die Verhältnisse complizierter sind.

Doch ist andererseits für Nordfrankreich und Belgien eine längere Dauer der Ausbeutung angesichts der grossen Mächtigkeit der gesamten Schichten wahrscheinlich. Viel weniger gross ist der Kohlenvorrat der centralen (St. Etienne etc.) und südwestlichen Reviere (Gard, Brive etc.), welche oberflächliche Beckenausfüllungen auf älterem Gebirge bilden und stets nur wenige Flötze enthalten. Allerdings entfällt der Hauptantheil der Steigerung der französischen Production¹ in den letzten 5 Jahren (1894—1898) auf das Nordgebiet: beinahe 4 Millionen Tons. Aber die weniger erhebliche Steigerung von 1 Million Tons, welche auf alle übrigen Gebiete entfällt, lässt doch eine rasche Erschöpfung derselben voraussehen.

Für Frankreich ist die Übereinstimmung der bisher veröffentlichten Prognosen mit der tatsächlichen Entwicklung der Production in den letzten Jahren besonders lehrreich: LAPPARENT (vergl. NASSÉ I. c. p. 41) nahm 1890 an, dass nach der damaligen Jahresförderung von etwas mehr als 24 Millionen Tonnen die auf 17—19 Milliarden zu veranschlagenden Vorräte für 700—800 Jahre reichen würden. NASSÉ rechnet wenige Jahre später mit einer bis 35 Millionen Tonnen gesteigerten, etwa 1910 erreichten Production und nahm somit an, dass der Vorrat in 500 Jahren erschöpft sein würde. Dieser Jahresförderung von 85 Millionen (pro 1910) ist nun die Zahl des Jahres 1898 mit fast 82 Millionen Tons schon bedenklich nahe gekommen.

Man wird also die Prognose noch wesentlich ungünstiger — auf 350 bis 400 Jahre — stellen müssen. Dabei ist jedoch der Unterschied zu machen, dass die Erschöpfung der minder reichen, aber räumlich ausgedehnten und somit leichter zugänglichen südlichen Becken wesentlich früher — in ca. 100—200 Jahren — erfolgen dürfte.

Grössere Gleichförmigkeit zeichnet die belgischen Kohlenfelder aus,²

¹ Die französische Steinkohlen-Production, welche für das Jahr 1898 gegen das Vorjahr eine bemerkenswerte Steigerung zeigt, betrug:

Departement	1898	1897	1896	1895	1894	1893
in Millionen Tonnen à 1000 kg						
Pas de Calais	13,6	12,8	11,9	11,1	10,6	9,2
Nord	5,8	5,5	5,2	5,2	5,0	4,7
Loire	3,8	3,6	3,6	3,5	3,3	3,5
Gard	1,9	1,8	1,8	1,9	2,0	2,0
Saône et Loire	2,1	2,0	1,9	1,8	1,8	1,7
Allier	1,0	1,0	1,0	0,9	0,9	0,9
Aveyron	1,1	1,0	1,0	0,9	1,0	0,9
Tarn	0,7	0,6	0,5	0,5	0,5	0,5
Alle andern	2,0	2,0	1,9	1,9	1,8	1,8
Insgesamt	31,9	30,3	28,9	27,9	27,0	25,2
Braunkohlen-Production	0,5	0,5	0,4	0,4	0,5	0,5

² Die belgische Steinkohlenproduction betrug:

Bezirk	1898	1897	1896	1895	1894	1893
in Millionen Tonnen à 1000 kg						
Hennegau	15,9	15,5	15,5	14,9	15,0	14,1
Namur	0,6	0,5	0,5	0,5	0,5	0,5
Lüttich	5,6	5,5	5,2	5,0	5,0	4,8
Insgesamt	22,1	21,5	21,3	20,5	20,5	19,4

deren Ausbeute von 1889—1898 eine Zunahme von nur 2,2 Millionen Tons erfahren hat.¹ Allerdings war hier schon 1890 die durchschnittliche Fördertiefe 610 m, während die grösste Tiefe, aus der regelmässig gefördert wird, bereits 911 betrug. Immerhin ist die in der mächtigen Schichtenfolge enthaltene Kohlenmenge so bedeutend, dass dieselbe wohl für 7—800 Jahre ausreichen dürfte.

3. Österreich-Ungarn.

Über die Steinkohlevorräte Österreichs sind genauere Ermittlungen nicht bekannt (NASSE l. c. p. 42). Doch lehrt ein Blick in die obige geologische Darstellung, dass das Schatzlarer Revier lediglich die österreichische Fortsetzung der Waldenburger Flötze, das Ostrau-Karwiner Kohlenfeld der südliche, das Krakauer der östliche Ausläufer von Oberschlesien ist. Die unten für Preussen aufgestellten Prognosen gelten auch für Österreich und zwar bei der langsamen Zunahme der Production² und der Ausdehnung der noch nicht aufgeschlossenen Flötze ohne Einschränkung.

Die Kohlenbecken in der Mitte und im Westen von Böhmen sind geologisch ein genaues Abbild der kleinen Becken in Mitteldeutschland und im Königreich Sachsen; sie gehen somit wie diese schon im Laufe des beginnenden Jahrhunderts ihrer Erschöpfung entgegen.

4. Russland

(im Vergleich mit Nordamerika.)

Die Kohlevorräte Russlands stehen in keinem Verhältnis zu der Grösse, die das Reich in Europa und Asien besitzt. In den Productionsziffern der Erde nimmt Russland die siebente Stelle ein und wird z. B. von Österreich-Ungarn noch um das Dreifache übertroffen. Auch die Prognose für die Zukunft ist nicht übertrieben günstig. Zwar nimmt das polnische Steinkohlenrevier, die unmittelbare östliche Fortsetzung des oberschlesischen, an den günstigen Verhältnissen des letzteren einigen Antheil, aber die Ausdehnung ist geringfügig. Das mittelrussische Gebiet enthält — trotz seines untercarbonischen Alters — lediglich Kohlen vom Brennwert der Braunkohle und die Förderung befindet sich seit 1880 in unaufhaltsamem Rückgang. Die günstigsten Aussichten eröffnen sich zweifellos für das breite, vom Gouvernement Poltawa bis in das Land der Donischen Kosacken ausgedehnte Kohlenrevier, dessen Productionscentrum am Donjetz liegt; der südliche

¹ R. NASSE l. c. p. 42: „Einstweilen ist zwar noch eine weitere Productionsvermehrung zu erwarten, doch dürfte wegen der zunehmenden technischen Schwierigkeiten des Transportes (s. u.) der Höhepunkt der Förderung bald erreicht sein.“

² Die Kohlenförderung betrug in Österreich in 1000 metrischen Tonnen:

1883. . . . 7194	1886. . . . 7421	1889. . . . 8503	1892. . . . 9241	1895. . . . 9723
1884. . . . 7191	1887. . . . 7696	1890. . . . 8931	1893. . . . 9733	1896. . . . 9900
1885. . . . 7379	1888. . . . 8274	1891. . . . 9193	1894. . . . 9573	1897. . . . 10 493

Die Production jurassischer Steinkohlen in Ungarn (Banat) überschritt eine Million metrische Tonnen zum ersten Male 1891 und erreichte 1897 erst 1118 000 metr. Tennen. Die Steinkohlen- und die (reduzierte) Braunkohlenförderung Österreich-Ungarns betrug im selben Jahre zusammen 36 208 000 Tonnen.

Theil des Gouvernements Charkow, die östlichen Gebiete von Taurien und Jekaterinburg gehören hierzu.

Allerdings sind in dem außerordentlich mächtigen System obercarbonischer Schichten nur verhältnismässig wenige Stufen Kohlen führend und die Mächtigkeit der einzelnen Flöze ist im Vergleich zu Westeuropa geringfügig (ca. 1 m).¹

Nicht nur die geringe Entwicklung der Transportmittel und der Arbeitermangel erschweren die Ansohtung, es ist vor allem auch die mabedeutende Durchschnittsmächtigkeit der Flöze, welche es den vortreflich geleiteten Bergwerksgesellschaften der Donjetzgebiete noch nicht ermöglicht hat, den Kohlenbedarf des europäischen Russlands zu decken. Ob eine im Jahre 1874 angestellte Schätzung des Kohlenvorrats der Donjetz-Zone auf rund 10 Milliarden Tonsen mit den neueren Berechnungen übereinstimmt, ist schwer festzustellen. Jedenfalls verhindert die geringe Mächtigkeit der vorhandenen Flöze sowohl einen intensiveren Abbau wie eine rasche Erschöpfung. Aus den Verhandlungen einer Kommission für Beseitigung der Steinkohlenkrise macht der deutsche Petersburger Herald (Fehr. 1900) schwer kontrollirbare Mittheilungen, wonach der Kohlenvorrat der Donjetz-Zone 60 Milliarden Pud Kohles und 150 Milliarden Pud Anthracit betragen soll. Auch die Bewertung der Transkankasischen Lias-Steinkohlenschätze von Tkibul (Kntais) mit 8 Milliarden Pud scheint etwas reichlich bemessen zu sein, während der Vorrat der sibirischen Gruben (Sudabinsk) mit 6 Milliarden Pud jedenfalls nicht zu hoch angenommen sein dürfte. Die Kommission kam zu dem Schluss, dass durch Inangriffnahme neuer Kohlenlager die Kohlenkrise bis zum Jahre 1903 beseitigt sein könnte.

Nach der bisherigen Entwicklung der Production und den vorliegenden geologischen Untersuchungen ist es nicht wahrscheinlich, dass die Förderung im Donjetzgebiet jemals die Einfuhr fremder Kohlen im europäischen Russland überflüssig machen wird. Allerdings ist das weitläufige Gebiet noch keineswegs durch kartographische geologische Aufnahmen und Tiefbohrungen aufgeschlossen.

Die Annahme, dass die Donjetzkohle niemals für den Export in Betracht kommen wird, gründet sich auf einen Vergleich mit den ähnlichen Vorkommen Nordamerikas. Die Entwicklung der Kohlenformation am Donjetz stimmt vollkommen überein mit der der inneren Staaten Iowa, Missouri, Indiana u. s. w. Die Oberflächenausdehnung der kohleführenden Schichten kommt in jedem dieser Staaten den pennsylvanischen ungefähr gleich; der Ertrag ist aber nur $\frac{1}{10}$ — $\frac{1}{40}$ der in Pennsylvanien geförderten Mengen. Auch Illinois, das kohlenreichste dieser Gebiete, fördert kaum $\frac{1}{8}$ — $\frac{1}{9}$ der in Pennsylvanien gewonnenen Mengen. Es herrscht diesscits wie jenseits des Oceans dasselbe Verhältnis. Nur die paralischen Kohlenfelder mit mächtigen, in grösserer Menge aufeinander gepackten Flözen (Pennsylvanien, England, Westfalen und Oberschlesien) arbeiten für die Grossindustrie und den Export, d. h. für den Weltverkehr. Die kohlenärmeren Reviere des Donjetz-Typs im Innern der beiden nördlichen Continente vermögen nur die localen Bedürfnisse — vollkommen oder unvollkommen — zu befriedigen.

Die Steinkohlenproduction in Russland betrug in den

Gebieten	1855	1861/70	1871/80	1881/90	1891/95	1896	1898
in Millionen Pud (= 16 380 t)							
Donjetz	4,5	10,0	52,0	129	218	310	500
Polen	4,6	13,8	38,0	117,6	192	219	250
Transkankasien	—	2,2	18,4	19,9	10,8	10	12
Ural	0,5	0,6	2,0	10,2	16,2	23	23
Insgesamt.	9,6	24,6	110,4	276,7	467,0	562	785

¹ Die tieferen (8) Kohlenflöze besitzen eine Mächtigkeit von 0,35—0,75 m, darüber lagern 19 Flöze von durchschnittlich 1 m, zuweilen von geringerer Mächtigkeit; 2 m worden niemals erreicht.

5. Nordamerika.

Die Vereinigten Staaten von Nordamerika stehen in der Reihenfolge der jährlichen Kohlenproduction der Erde an zweiter Stelle und werden in Bezug auf den wahrscheinlich vorhandenen Kohlenvorrat (ca. 673 Milliarden metrische Tonnen) nur von China übertroffen. Die procentuale jährliche Zunahme (s. d. Tabelle) ist ebenfalls recht erheblich und in der Schätzung R. NASSER (p. 48) genügend berücksichtigt worden. Derselbe nahm — vielleicht unter der Voraussetzung einer zu starken Bevölkerungszunahme — an, dass die Vorräte der Vereinigten Staaten noch für 640 Jahre ausreichen würden. Da neuere Schätzungen der vorhandenen Kohlenmenge nicht veröffentlicht sind, liegt kein Grund zur Änderung der obigen Zahlen vor.

Die Kohlenproduction Nordamerikas zeigt in den letzten Jahren die folgenden Zahlen (in 1000 metrischen Tonnen):

	Steinkohle (bituminous coal)	Anthracit ¹	Zusammen
1894	106 953	47 183	154 136
1895	126 627	52 966	179 593
1896	128 569	46 794	175 363
1897	132 544	47 275	179 819
1898 (geschätzt) . .	144 204	45 312	189 516

II. Die Steinkohlenvorräte Deutschlands

werden von B. NASSE eingehend auf Grund geologischer Aufnahmen und der Kohlenschätzungen der Oberbergämter besprochen (p. 14—31). Von den Berechnungen können hier nur die Hauptergebnisse wiedergegeben werden; ein Vergleich der Förderungs-Prognosen mit der thatsächlichen Entwicklung der Production² ist ebenso wichtig wie die Berücksichtigung der durch neuere Tiefbohrungen gewonnenen Erweiterung der Kohlenfelder.

¹ Unter bituminous coal verstehen die Amerikaner Steinkohle — auch Magerkohle in unserem Sinne — im Gegensatz zum Anthracit. Die verstehenden Summen der bituminous coal sind jedoch durchschnittlich um 4—4½ Millionen Tons zu verringern. Die auch im geologischen Alter den europäischen Braunkohlen nahestehende Laramie-Steinkohle der westlichen Staaten ist wegen hohen Aschengehaltes und unvollkommener Verkohlung der Holzfaser viel richtiger als Braunkohle zu bezeichnen. Der Brennwerth einer Tonne Braunkohle — 0,6 Tennen Steinkohle, was ungefähr dem obigen Abzug nur 4—4½ Millionen entspricht. Doch gleicht sich die Differenz durch den hohen Heizwerth des Pennsylvanischen Anthracites wieder aus.

1893—98	1000 metr. Tonnen		Zusammen (1 Tonne Braunkohle 0,6 Tennen Steinkohle)
	Stein- u. Braunkohlenförderung	Steinkohlen	
1893	73 802	21 574	90 796
1895	79 169	24 788	94 042
1896	85 646	26 781	101 915
1897	91 008	29 420	108 690
1898	96 280	31 648	115 269

Auch 1899 ist (nach ungefährender Schätzung) eine Zunahme der Steinkohlenförderung von 7½ Millionen Tonnen erfolgt.

a) Die nordwestlichen Kohlenfelder (Aachen und Westfalen).

Der in dem Aachener Kohlenrevier, in der unmittelbaren Fortsetzung der Belgischen Flötze vorhandene Vorrat wurde zu 1,2 Milliarden Tonnen ermittelt; derselbe würde unter Zugrundelegung der mittleren Produktionsmenge von 1411000 Tonnen 1889—91 für 800 Jahre ausreichen. Die Aussicht auf einen ganz ausserordentlichen Zuwachs der vorhandenen Kohlenfelder wird durch die neueren Bohrungen von Erkelenz (oben p. 346) und Wesol eröffnet.

Es kann keinem Zweifel unterliegen, dass geologisch hierdurch der direkte Zusammenhang zwischen den rechts- und linksrheinischen Kohlenfeldern im Norden Deutschlands nachgewiesen ist. Genügende Unterlagen für eine genaue Berechnung der in der Tiefe der Kölnischen Bucht enthaltenen Kohlenmengen sind allerdings noch nicht möglich. Aber selbst wenn man annimmt, dass in postcarbonischen Zeiten eine sehr erhebliche Abtragung stattgefunden hat, so ist doch andererseits das Gebiet ausserordentlich umfangreich. Auch bei vorsichtiger Abschätzung der erfolgten Auswaschungen an der Oberfläche der Kohlenformation wird man vermuten dürfen, dass ein Vielfaches des ermittelten Aachener Kohlenvorrates (1,2 Milliarden Tonnen) in erreichbarer Tiefe zwischen Aachen und Düsseldorf begraben liegt.

In ganz ähnlicher Weise ist auch für das Westfälische Steinkohlenrevier¹ eine erhebliche Ausdehnung und zwar in nordöstlicher Richtung zu folgern. Die bisherigen mehrfach vorgenommenen Schätzungen der vorhandenen Kohlenmenge haben für die 1890 in Betrieb stehenden oder durch Bohrungen aufgeschlossenen Flötze einen Vorrat von 29,3 Milliarden Tonnen ergeben. Obige Zahl bezieht sich auf die Flötze bis zur Tiefe von 1000 m. Angesichts der grösseren am Oberen See in Nordamerika errichteten Bergwerksteufe von 1830 m glaubt der Geh. Bergrat SCHULTZ (Sitzung des preussischen Abgeordnetenhauses vom 1. Februar 1900; Ref. z. B. in „Stahl und Eisen“. 1900 p. 229) die Berechnungen noch wesentlich weiter ausdehnen zu sollen. Derselbe nimmt als baulohnend an:

bis zur Tiefe von 700 m . . .	11,0	Milliarden Meter-Tonnen
in der Tiefe von 700 bis 1000 m	18,3	" "
von 1000 bis zu 1500 m . . .	25,0	" "

bis 1500 m insgesamt: 54,3 Milliarden Tonnen. Darunter, unter der dem Bergbau heute schon zugänglichen Tiefe, bis zur unteren Grenze der Magerkohle, sind noch weitere 75 Milliarden vorhanden, im ganzen 129,3 Milliarden. Unter Zugrundelegung einer Jahresförderung von 100 Millionen Tonnen, beinahe dem Doppelten der gegenwärtigen Production, wozu nebenbei bemerkt etwa 400000 Arbeiter nötig wären, würde bis zu einer Tiefe von 1000 m der westfälische Kohlenvorrat noch 293 Jahre ausreichen, bis zu einer Tiefe von 1500 m noch 543 und endlich bis zur völligen Erschöpfung noch 1293 Jahre. Durch diese Ausführung werden neuere, sehr viel ungünstigere Berichte (aus dem Berichte der Kommission

¹ Die Zahl der bauwürdigen Flötze wird auf 70—90 geschätzt; die Mächtigkeit der gesamten Schichtenmasse der Kohlenformation beträgt 3000 m.

für die Canal-Vorlage 1899) widerlegt. Wenn auch die Production von 100 Millionen Tonnen¹ noch lange nicht erreicht ist, so hat doch die thatsächliche Entwicklung der Förderung und der Aufschlüsse eine von RUXGE² aufgestellte Prognose bei weitem übertroffen. Der verdienstvolle Verfasser der bergmännischen Monographie des Ruhrkohlengebietes nahm auf Grund der vorangegangenen Entwicklung an, dass die 91er Förderung von 37,4 Millionen Tonnen sich 1900 auf 45,5 und 1910 auf 52,3 Millionen steigern würde (l. c.). Nun ist aber, wie die in der Anna. wiedergegebene Tabelle zeigt, die für 1910 vermutete Förderung annähernd schon 1898 mit 51 Millionen Tonnen erreicht worden. Jedoch dürfte allein die nordöstliche Erweiterung des Kohlengebietes (l. c.) hinreichen, um den durch diese Productionssteigerung bedingten Anfall zu decken.

b) Das Saarkohlenbecken.

Die Begrenzung des dritten westdeutschen Kohlenreviers, des preussischen³ Saarbeckens, ist in geologischer Hinsicht besonders genau erforscht; irgend welche in Betracht kommenden Erweiterungen sind hier nicht in Rechnung zu stellen.

Der auf Grund wiederholter Untersuchungen ermittelte Vorrat von rund 14 Milliarden Tonnen soll nach R. NASSE auf ca. 800 Jahre reichen, wenn man eine Steigerung bis auf 12 Millionen Tonnen im Jahre 1930 zu Grunde legt. Diese verhältnissmässig geringe Steigerung wird mit der Höhe der Gesteungskosten im Saar-Revier begründet und durch die Entwicklung, welche die Zahlen bis 1898 zeigen, im Wesentlichen bestätigt. Prozentual erheblicher war die bisherige Steigerung in den pfälzischen und lothringischen, in der obigen Schätzung nicht mit einbegriffenen Theilen des Saar-Reviers. Die Förderung hat in jedem dieser Ausläufer 1897 zum ersten Male je eine Million Tonnen überschritten.

c) Zerstreute Vorkommen in Süddeutschland und Thüringen, dem Königreich Sachsen und Nieder Schlesien.

Die zahlreichen deutschen Kohlenfelder zwischen Oberschlesien auf der einen, der nordwestdeutschen Zone und dem Saar-Revier auf der anderen Seite verdienen

¹ Vergleichende Übersicht über die Steinkohlenproduction der preussischen Oberbergamtsbezirke 1852–1898 in Millionen Tonnen.

Jahr	Breslau	Clausthal	Bonn	Dortmund	Gesamtförderung	Jahr	Breslau	Clausthal	Bonn	Dortmund	Gesamtförderung
1852	1,9	—	1,2	2,0	5,1	1892	19,8	0,6	8,1	36,9	65,1
1860	3,5	—	2,8	4,4	10,7	1893	20,7	0,5	7,8	38,6	67,7
1870	7,4	0,3	3,7	11,8	23,3	1894	20,9	0,5	8,6	40,6	70,6
1880	12,7	0,4	6,6	22,5	42,2	1895	21,9	0,5	9,0	41,1	72,6
1889	19,0	0,6	8,0	33,9	61,4	1896	23,7	0,6	10,0	44,9	79,0
1890	20,1	0,6	8,1	35,5	64,4	1897	24,6	0,6	10,5	48,4	84,3
1901	21,1	0,6	8,4	37,1	67,5	1898	25,9	0,6	11,1	51,0	89,6
						1899	28,0				

² Das Ruhrsteinkohlenbecken. Berlin 1892 p. 300 ff.

³ Mit seinen räumlich unbedeutenderen auf bayrisch-pfälzischem und Lothringer Gebiet liegenden Ausläufern.

den Namen Steinkohlenbecken. Muldenförmige Lagerung auf wesentlich älterem Gebirge, geringe Gesamtmächtigkeit und unbedeutende Zahl der Flötze bedingen in technischer und geologischer Hinsicht einen wesentlichen Unterschied von den grösseren Gebieten. Nur der Waldenburger-Schatzlarer Bezirk zeigt einige Ähnlichkeit sowohl mit dem Saar-Revier als auch mit den kleineren Becken, deren Ausbildungsform in Centralfrankreich und Centralböhmen wiederkehrt. Einige dieser kleinen Becken (im Schwarzwald, den Vogesen, dem Thüringer Wald und bei Wettin) sind schon erschöpft. Grössere Bedeutung besitzen allein das erzgebirgische (Zwickau-Chemnitzer) und das Waldenburger Becken. Nach einer genauen im Jahre 1890 vorgenommenen Schätzung waren damals im Königreich Sachsen 400 Millionen Tonnen Steinkohle vorhanden; die jährliche Förderung betrug im Durchschnitt der Jahre 1889–91 4,25 Millionen Tonnen, steigerte sich aber – trotzdem R. NASSE mit guten Gründen¹ ein langsames Herabgehen der Production vermuten konnte – in 1896–1898² auf durchschnittlich 4,5 Millionen Tonnen im Jahr. Falls diese Produktionsmenge sich nicht vermindert, sind die sächsischen Flötze um 1980 abgebaut.

Günstiger liegen die Verhältnisse im Waldenburger-Schatzlarer-Kohlenbecken.

In den nördlichen Bergwerksfeldern des preussischen Antheils sind 1890 durch vorsichtige Berechnung des Oberbergamts 935 Millionen Tennen als vorhanden ermittelt. Hiervon gehen ab 100 Millionen Tonnen, die in den Sicherheitspfeilern stehen bleiben. Hinzu kommen jedoch einige Hundert Millionen in den durch Bohrungen noch gar nicht aufgeschlossenen tieferen (inneren) Theilen des Beckens. Lediglich unter Zugrundelegung der ersteren Summe und der Annahme sehr geringer Förderungszunahme berechnete R. NASSE, dass von 1890 an der Vorrat des niederschlesischen Beckens noch für 250 Jahre anreichen würde. Allerdings hat sich die Production recht erheblich (25% in 10 Jahren) gesteigert. Die untenstehende Tabelle³ zeigt im Laufe des letzten Jahrzehntes eine Zunahme von 3,3 auf 4,5 Millionen Tennen.

Man wird vielleicht der Wahrheit nahe kommen, wenn man unter Berücksichtigung der in der nicht näher erforschten Tiefe vorhandenen Kohlen den Vorrat als für etwa 250 Jahre ausreichend annimmt.

d) Oberschlesien

umschliesst eine Menge von übereinander angehäuften mächtigen Flötzen, wie sie nach den bisherigen Erfahrungen der Geologie und des Bergbaues sonst nirgends auf der Erde vorkommen. Die gewaltige Mächtigkeit der Formation, welche im Westen des Industriebezirkes etwa 5000 m Sandstein und Schiefer umfasst, wird besonders dadurch bedeutsam, dass nirgends bauwürdige Flötze fehlen. Der „flötzleere Sandstein“, der im Westen Europas die Basis des productiven Gebirges bildet, wird stratigraphisch durch die ebenfalls sandigen Rybniker Schichten vertreten, die fast durchweg bauwürdige Flötze führen.

¹ Schon 1890 hatten bei Zwickau 3 Förderschächte eine Tiefe von über 700 m erreicht.

² In Sachsen wurden gefördert 1896: 4536, 1897: 4524, 1898: 4407 Tausend Tennen.

³

Niederschlesien	1889	1890	1891	1894	1895	1896	1897	1898	1899		
(Waldenburg)	3278	3205	3386	3687	3877	4066	4147	4364	4489		
in 1000 Meter-Tonnen						Zunahme in %	5,2	4,9	2,0	5,2	2,8

Ebenso bemerkenswert wie die vertikale und horizontale Vertheilung der Kohlen, ist das Vorhandensein einer Gruppe von Flötzen, der „Sattelflöze“, von denen je 2 niemals unter 5–6 m, im Durchschnitt 10–12 und local 16–18 m Mächtigkeit reiner Steinkohle erreichen.

Auch die Zahl der Flötze übertrifft die der westfälischen und englischen. In dem bei Paruschowitz bis 2 km Tiefe gestossenen tiefsten Bohrloch der Welt sind unter den 70 von 210 m bis 1180 m durchbohrten Flötzen 26 über 1 m mächtig; die über 1 m mächtigen Flötze zusammen enthalten 63 m Kohle. Verhältnismässig noch reicher ist ein fälschliches Bohrloch bei Knorov, welches zwischen 318 und 1171 m Tiefe 69,8 m Kohle durchstossen hat, wobei nur die 32 über 1 m mächtigen Flötze in Rechnung gestellt sind. Das Verhältnis ist hier noch etwas günstiger, als 10 m Kohle auf 100 m Gestein; im Ganzen sind 63 Flötze ungetroffen worden. Am günstigsten ist das Verhältnis in einem bei Zabrze gestossenen Bohrloch (Dorothe 1¹): Zwischen 252 und 675 m wurden hier unter 35 Flötzen 16 von über 1 m Mächtigkeit gemessen. Diese mächtigeren Flötze ergeben allein 44,8 m Kohle, was auf 423 m gesamte Mächtigkeit das obige Verhältnis noch übertrifft).

Allerdings gelten diese hohen Mächtigkeitsziffern nur für die Gebiete, in denen Sattelflöze vorhanden sind bzw. in erreichbarer Tiefe liegen.

Die obigen Zahlen sind etwas ausführlicher wiedergegeben worden, weil sie die offizielle im Jahre 1890 lediglich auf Grundlage der im Betriebe befindlichen Gruben aufgestellte Schätzung der Kohlenvorräte bei weitem in Schatten stellen. Diese Schätzung nahm die mittlere Kohlenmächtigkeit in Oberschlesien zu 19,1 m², in den Revieren, welche Sattelflöze enthielten zu 33,5 m an, und gelangte hierbei zu einer Berechnung von 43155 Mill. metr. Tonnen bis zu 1000 m (und unter Zurechnung der in grösserer Tiefe stehenden Sattelflöze) auf rund 45 Milliarden Tonnen Kohlenvorrat. Wie die Zusammenstellungen späterer Tiefbohrungen lehren, ist in den Gebieten der Sattelflöze die Mächtigkeit etwa doppelt so gross, als bei der obigen Berechnung angenommen wurde. Auch die übrigen Schätzungen sind zu niedrig gehalten. So wurden die kohlenärmeren tieferen² Horizonte auf durchschnittlich 3,5 m, im Maximum auf 7 m bauwürdiger Steinkohle geschätzt. Nun sind aber nur in 410 m Schichtmächtigkeit des Bohrloches Deutsches Reich bei Mschanna 11 m Kohle in den über 1 m mächtigen Flötzen konstatiert worden, und andere z. Theil noch nicht publicirte Bohrlöcher geben ein gleiches oder noch günstigeres Ergebnis. Eine genaue neue Berechnung ist so lange unthunlich, als der Untergrund der ausgedehnten Standesherrschaft Pless unaufgeschlossen bleibt und die Verbreitung des Steinkohlengebirges westlich der Oder noch nicht erforscht ist. Aber jedenfalls stellt eine Verdoppelung der obigen Summe, also die Annahme eines Kohlenvorrates von 90 Milliarden metrischen Tonnen in Oberschlesien lediglich eine Minimalschätzung dar. Auf jeden Fall beträgt das nur in dem preussischen Antheil des ober-schlesischen Kohlenfeldes abbaubwürdige Material mehr als $\frac{2}{3}$ der Kohlenschätze der gesamten britischen Inseln, sofern man die günstigste Berechnung in Betracht zieht. Nimmt man die neueste — wahrscheinlich richtigere — Schätzung der englischen

¹ Ebert, Ergebnisse der neueren Tiefbohrungen in Oberschlesien. Berlin 1895 p. 65.

² Wobei nur Flötze zu mehr als 0,5 m Mächtigkeit mitgezählt wurden; in England wurden in den obigen Berechnungen alle Flötze über 0,3 m Mächtigkeit berücksichtigt.

³ Unter den Sattelflözen.

Kohlenmenge als zutreffend an, so ist in Oberschlesien allein mehr Kohle vorhanden als in ganz Grossbritannien und Irland.

In Bezug auf die Production haben sich die Berechnungen R. NASSES, der 1890 (16,8) eine Steigerung auf 23,5 Millionen in 1900 vorhersagte, ziemlich genau bewährt¹. Hiernach wurde unter Zugrundelegung der ersten Schätzung (45 Milliarden) eine Dauer des Kohlenvorrates auf 747 Jahre angenommen (also bis 2738 von 1900 ab). Unter der Zugrundelegung der obigen Minimalsumme kämen wir auf eine Dauer von 1500 Jahren.

Bei dem schon jetzt bestehenden Arbeitermangel ist das von R. NASSE angenommene allmähliche Herabgehen der procentualen Produktionszunahme auch durchaus wahrscheinlich. Jedoch werden, wie wir gesehen haben, in 100—250 Jahren die kleinen Steinkohlenbecken Böhmens, Sachsens und das Waldenburger Revier erschöpft sein. Dasselbe Schicksal wird die böhmischen und später die nord-deutschen Braunkohlen treffen. Der Ausfall der Förderung wird von Oberschlesien gedeckt werden, die anderwärts hrolos werdenden Arbeitskräfte werden allmählig nach Oberschlesien ziehen und bei der räumlichen Ausdehnung der noch gar nicht in Angriff genommenen Kohlenfelder wird auch eine bedeutende Vermehrung der Förderung durchführbar sein. Allerdings stehen wir hier vor einem zwar mit Sicherheit zu erwartenden, aber nicht mit Sicherheit in Rechnung zu stellenden Vorgang.

Aber selbst wenn die nach 150—250 Jahren in Oberschlesien zu erwartende Steigerung der Förderung auch noch so bedeutende Dimensionen annimmt, ist eine Erschöpfung der Vorräte erst im Anfang des vierten Jahrtausends unserer Zeitrechnung anzunehmen.

Es würde zu weit führen, die Kohlenvorräte aller in der nachstehenden Tabelle aufgeführten, Kohle producirenden Staaten in gleicher Ausführlichkeit zu erörtern. Es sei nur noch des grössten, in China aufgespeicherten Steinkohlenvorrats der Erde mit einigen Worten gedacht, dessen geologisches Alter von der unteren Grenze des Obercarbon ohne grössere Unterbrechungen bis zum Jura emporreicht.

Weltproduction an Kohlen.

Die Angaben sind in 1000 Tonnen des landesüblichen (englischen oder metrischen) Masses gemacht.

Grossbritannien (1897) engl. T.	202,119	Steinkohle
Vereinigte Staaten (1897) engl. Tonnen .	178,769	" und Braunkohle
Deutschland (1897) metr. T.	120,430	" und "
Frankreich (1896) metr. T.	29,311	" wenig "
Österreich-Ungarn (1896) metr. T.	33,678	" und "
Belgien (1896) metr. T.	21,213	" "
Russland (1896) metr. T.	9,229	" wenig "
Canada (1897) amerik. T.	3,876	" und "
Japan (1895) metr. T.	4,849	Braunkohle

	Förderung in Oberschlesien.							I weniger er- giehiges Semester.	
	1889	1890	1891	1894	1895	1896	1897	1898	1899
	15 745	16 883	17 736	17 204	18 066	19 613	20 628	22 490	11 175
Zunahme in %	—	—	—	—	5,6	8,6	5,2	6	—

Indien (1896) engl. T.	3,848	Braunkohle und Steinkohle
Neu-Süd-Wales (1897) engl. T.	4,384	Steinkohle
Spanien (1897) metr. T.	1,939	"
Neu-Seeland (1896) engl. T.	763	"
Schweden (1896) metr. T.	226	"
Italien (1896) metr. T.	276	" und Braunkohle
Transvaal (1897) engl. T.	1,600	"
Queensland (1896) engl. T.	371	"
Victoria (1896) engl. T.	227	"
Natal (1896) engl. T.	216	"
Capland (1896) engl. T.	107	"
Tasmanien (1896) engl. T.	37	"
Andere Länder ¹	2,000	" und Braunkohle

III. Die Steinkohlenvorräte Chinas.

Die grösste horizontale Verbreitung besitzt die Steinkohlenformation nach F. v. RICHTHOFFEN im nördlichen China. Im Nordosten, in Liau-tung und Schantung, im Westen in Kansu und Schensi, im Süden des Landes, vor allem aber in der Umgegend von Peking und in Schansi sind Anthracite und bituminöse Kohlen von verschiedenem geologischen Alter nachgewiesen und werden zum Theil schon seit alter Zeit abgebaut.

Allerdings darf die Wichtigkeit der zahlreichen kleineren verstreuten Kohlenvorkommen nicht überschätzt werden, da meist nur ein oder wenige Flötze vorhanden sind.² Auch das Vorkommen von Kai-pung unweit Peking enthält nur 6 Flötze bituminöser Kohlen, von denen das Hauptflötz allerdings zum mindesten 30' Mächtigkeit besitzt und bis 90' anschwellen soll (l. c. p. 288)³. Doch sind auch diese wie andere⁴ Vorkommen weniger durch Ausdehnung und absoluten Reichtum als vielmehr durch günstige Lage wichtig.

¹ Einschliesslich China, Türkei, Serbien, Portugal, Columbia, Chile, Sumatra, Borneo und Labnan, Mexico, Peru, Griechenland etc.

² So im Kohlenfeld von Sai-ma-ki in Liau-tung (ein Flötz von 3—5' Mächtigkeit. v. RICHTHOFFEN, China II, p. 95 und 110; Lu-schan in Ho-nan, ein Flötz von ca. 2 m Mächtigkeit (l. c. p. 500); Lo-tien in Ho-nan, ein Flötz von ca. 2 m Mächtigkeit (l. c. p. 502); Kin-ji-schau in Ho-nan, ein bauwürdiges Anthracitflötz von ca. 1 m Mächtigkeit u. a. w. Ebenso sind im Süden Chinas bei Loping (am Poyang-See, Provinz Kiang-an) in Kansu (Teng-tjan-tsching) sowie bei Nan-king (Dyus) die Flötze weder zahlreich noch besonders mächtig.

³ Ausserdem kommt für die Versorgung der Hauptstadt nach v. RICHTHOFFEN (l. c. p. 335) der Anthracit von Ping-ting-tschon in Schansi in Betracht.

⁴ Die Kohlengruben von Tai-ngan-schan bei Peking enthalten 13 Anthracitflötze, darunter ein Hauptflötz von 11' Mächtigkeit. Der Abbau geht bis in die Zeit der Ming-Dynastie zurück (l. c. p. 349). Bei Maling erreicht ein rhaetischer Anthracit in einem Flötz bis 30' Mächtigkeit. Ferner sind in der Umgegend von Peking bituminöse Kohlen des unteren Lias bei Tschai-Tang in 4 Flötzen (darunter zwei bauwürdige 5—8' bezw. 1—3') aufgeschlossen (l. c. p. 303).

Dasselbe gilt für die — qualitativ allerdings vorzügliche — Kohle von Schantung, deren Förderung (v. RICHTHOFEN l. c. p. 203) keinen Schwierigkeiten unterliegt. Von Tschang-kin sind ein oder zwei Flütze (von je 4–6' p. 201), am Berge Hei-schan bei Po-schan-hsien nur ein Flütz von 6–8' Mächtigkeit (l. c. p. 204) vorhanden. Die Ausdehnung dieser Kohlenfelder beträgt nur etwa eine deutsche Quadratmeile. Etwas reicher scheint das Kohlenrevier von Wei-hsiên (l. c. p. 210) zu sein, in welchem 3 Flütze von 4', 5' und 6' Mächtigkeit beschrieben werden. Nach Zeitungsmeldungen sollen durch deutsche Bergleute in Schantung 2½ Milliarden Meter-Tonnen Kohlen ermittelt sein.

Alle bisher erwähnten chinesischen Vorkommen und überhaupt alle Kohlenfelder der Welt werden durch den Reichtum der Provinz Schansi in Schatten gestellt (l. c. II p. 473). Auf einer Fläche von 34 870 Quadratkilometer liegen in beinahe sölhiger Lagerung mehrere Flütze von Anthracit, darunter ein Hauptflütz von 6–9 m Mächtigkeit, welches allgemeine Verbreitung besitzt.¹

Die vorhandene Masse des Anthracites schätzt F. von RICHTHOFEN auf das Minimum von 630 Milliarden metrische Tonnen. Dazu kommt noch — ebenfalls nach Schätzung des sicher vorhandenen Minimums — dieselbe Menge bituminöser Kohle. Das Areal, über welche sich die von Eisen und Töpferthon begleiteten mineralischen Schätze ausbreiten, beträgt nicht weniger als 1600–1750 deutsche Quadratmeilen. Der räumliche Abstand vom Meere ist ungefähr ebenso gross, wie die Entfernung von Oberschlesien zur Ostsee. Allerdings kommt der Hoangho für die Schifffahrt nicht in Betracht und die Eisenbahn geht vorläufig nur bis Peking. Wenn jedoch nach einem Jahrtausend der europäische und nordamerikanische Kohlenvorrat völlig erschöpft sein wird, so dürften die Kohlen und Eisensteine von Schansi zu einem Centrum der Weltindustrie werden.

Zur Vervollständigung des Bildes sind in den vorstehenden Tabellen auch die Förderungsmengen der Braunkohle mit aufgenommen worden. Zur Zeit bilden dieselben in Deutschland und Österreich, ferner in Nordamerika und Japan² einen recht erheblichen Faktor der volkswirtschaftlichen Entwicklung, können aber erst in dem Abschnitt über das Tertiär erörtert werden; hingegen sind die geologisch wichtigen, volkswirtschaftlich hinter den obercarbonischen Kohlen durchaus zurücktretenden Brennstoffe des Mesozoicum in den vorstehenden Tabellen und Ausführungen kurz behandelt worden.

Zusammenfassung.

Die Hypothesen über die Dauer der geologischen Zeiträume rechnen durchweg mit sehr bedeutenden Grössen und schwanken hinsichtlich der absoluten Zahlenwerte zwischen weiten Grenzen. Dagegen kann mit grosser Sicherheit das relative

¹ Bei flacher Lagerung ist die grosse Mächtigkeit eines Flützes — nach den im Bergbau Oberschlesiens gemachten Erfahrungen — für den Abbau weniger vorteilhaft als das Vorhandensein mehrerer Flütze von gleicher Gesamtmächtigkeit.

² Die tertiären japanischen Kohlen werden allerdings — ebenso wie die Kohlen des Westens von Nordamerika — fast stets als „Steinkohle“ aufgeführt, stehen aber in ihrem Heizwert der Braunkohle näher.

Alter einer bestimmten Schichtengruppe oder des derselben entsprechenden Zeitabschnittes angegeben werden. Ähnlich steht es mit den Prognosen über die Ausdauer der Steinkohlenflöze. Nach den Lagerungsverhältnissen und den Bohrprofilen wird der Geologe ohne besondere Schwierigkeit anzugeben vermögen, welches Steinkohlenfeld für längere und welches andere für kürzere Zeit Vorräte enthält. Die absolute Zeitdauer des voraussichtlichen Abbaues wird aber um so schwerer zu bestimmen sein, als die Productionsstatistik keineswegs eine sichere Prognose gestattet. Die mit Benutzung allen erreichbaren Materials von R. NASSE vorsichtig aufgestellten Productionsprognosen stimmten z. B. in Belgien mit der thatsächlichen Entwicklung des letzten Jahrzehntes überein, gingen in England weit über die wirkliche Förderung hinaus und blieben in Frankreich erheblich hinter derselben zurück. Dabei herrschen in Südeuropa, Nordfrankreich und Belgien wesentlich übereinstimmende Abbau- und Lagerungs-Verhältnisse.

Es dürfte daher vorsichtiger sein, nicht absolute Werte, sondern vielmehr Maxima und Minima der Zeitdauer anzugeben, für welche die Kohlenflöze ausreichen dürften. Auch diese sind je nach der procentualen Zunahme der Förderung recht weit von einander entfernt und betragen z. B. für England nach drei unabhängigen Schätzungen:

- 620 Jahre (R. NASSE 1890)
- 360 Jahre (HULL 1860)
- 270 Jahre (GREENWELL 1882).

Eine weitere Quelle grosser Ungenauigkeiten der Schätzung liegt darin, dass ein politisches Gebiet Kohlenfelder von sehr verschiedenem Reichtum umfasst, während umgekehrt verschiedene Staaten an einem einheitlich gebauten Kohlenrevier Antheil haben. So erstrecken sich die obereschlesischen Flöze nach Österreich und Russisch-Polen hinein, während die Sudetenländer Österreichs dreierlei durch ganz verschiedenen Kohlenreichtum gekennzeichnete Typen der Kohlenfelder umschliessen.

Eine verhältnismässig anschauliche Übersicht der wirklichen Verhältnisse dürfte die folgende Tabelle geben, in der die wichtigeren Kohlenreviere Europas nach ihrem relativen Reichtum und somit auch nach dem Datum ihrer Erschöpfung geordnet sind. Daraus, dass für das relativ ärmste ein Minimalwert von ca. 100, für das zukunftsreichste Gebiet ein Grenzwert von über 1000 Jahre aufgestellt wird, ergibt sich von selbst, dass die Dauer der zahlreichen zwischen diesen Extremen liegenden Gebiete 2—800 Jahre beträgt; die absolute Zeitbestimmung der Erschöpfung hängt lediglich von der Möglichkeit ab, aus der vorliegenden Statistik eine bestimmte Prognose der Productionsentwicklung abzuleiten. Deutschland ist, wie die auf eingehenden Untersuchungen beruhenden Schätzungen zeigen, in Bezug auf Kohlenvorrat das reichste Land Europas, und wird in der Menge des vorhandenen Brennstoffes nur von Nordamerika und Nordchina übertroffen; in England ist lediglich die zeitige Productionsziffer höher und bedingt eine rasche Erschöpfung der Kohlenlager. Die relative Spärlichkeit des englischen Kohlenvorrats (200—350 Jahre) droht in absehbarer Zeit nicht nur die englische Industrie und Technik, sondern vor allem auch die englische Seeherrschaft. Enthält doch keine der englischen Kolonien — weder Kanada noch

Neustädtales, noch das Kapland, noch Ostindien, — Kohlenmengen, die in irgend erheblichem Masse über das locale Bedürfnis hinaus einen Export ermöglichen.

Voraussichtliche Erschöpfungszeit einiger wichtiger Steinkohlenfelder in Europa.

-
- | | |
|---|---------------------------|
| 1. Die geringste Gesamtmächtigkeit der Schichten und die geringste Zahl der Flötze besitzen die Kohlenreviere von Centralfrankreich (100 Jahre), Central- | Voraussichtl. Förderungs- |
| böhmischen, das Königreich Sachsen, die Provinz Sachsen (die Flötze der letzteren sind so gut wie erschöpft), die nordenglischen Reviere (Durham, Northumberland) | dauer 100—200 Jahre. |
-
- | | |
|---|---------------------------|
| 2. Wesentlich grösser ist die Zahl der Flötze und die Mächtigkeit der gesamten Schichten in den übrigen englischen Kohlenfeldern (250—350 Jahre), im Waldenburg-Schatzlarer Revier (ca. 200—300 Jahre), Nordfrankreich (350—400 Jahre). | Voraussichtl. Förderungs- |
| | dauer 200—350 Jahre. |
-
- | | |
|---|---------------------------|
| 3. Noch günstiger liegen die Verhältnisse in Saarbrücken (ca. 800 Jahre), Belgien (ca. 800 Jahre), Aachen und dem mit Aachen zusammenhängenden Westfälischen (Ruhr- etc.) Kohlenfeld (ca. 800 Jahre). | Voraussichtl. Förderungs- |
| | dauer 600—800 Jahre. |
-
- | | |
|---|-------------------------------|
| 4. Die grösste Schichtenmächtigkeit (ca. 5000 m) und Flötz-Zahl besitzt das Steinkohlengebiet in Oberschlesien. | Voraussichtl. Förderungs- |
| | dauer
mehr als 1000 Jahre. |
-

¹ Wie die obigen Ausführungen zeigen, stellt die Zahl 800 einen Mittelwerth dar; es ist — trotz der schon erreichten Abbauteufe von 1830 m — nicht möglich zu entscheiden, ob künftige technische Fortschritte eine Ausdehnung des Bergbaus bis unter 1500 m überall durchführbar machen werden. Jedenfalls besteht aber darüber kein Zweifel, dass der Reichtum des oberschlesischen Kohlenfeldes den des westfälischen übertrifft. — Selbstverständlich würde eine Ausdehnung der Förderungstiefe bis 1800 m (s. o.) die meisten Prognosen in wesentlich günstigerem Sinne ändern.

Die Dyas.¹

Allgemeine Kennzeichen.

Die beiden jüngeren palaeozoischen Formationen zeigen zwar in ihrer marinen und nichtmarinen Ausbildung eine ausgesprochene Verwandtschaft; jedoch sind eine Reihe wichtiger Eigentümlichkeiten in der organischen und physikalischen Entwicklung der Dyas vorhanden:

Das Auftreten der Reptilien und der Cephalopoden mit ammonitischer Lobenentwicklung, die Häufigkeit der Coniferen im Norden und der grossblättrigen Farne im Süden der Erde bilden wichtige Merksteine in der Entwicklung der organischen Welt.

Die Zeitdauer der Dyas war zweifellos kürzer als die der vorangehenden Perioden. Aber die Bedeutsamkeit der palaeontologischen Umprägungen steht in Zusammenhang mit gewaltigen erdgeschichtlichen Ereignissen:

1. Die Vereisung ausgedehnter Gebiete der Südhemisphäre² (Ostaustralien, Ostindien, Südafrika) gehört ausschliesslich der Dyaszeit an und ist in ihrer äusseren Erscheinung jetzt wohlbekannt. Die Driftschichten in Australien und im Pendschab, die Grundmoränen in Dekkan und Südafrika sind anschaulich in Wort und Bild geschildert worden; die Erklärung bietet hingegen immer noch die grössten Schwierigkeiten.

2. Der Höhepunkt der Gebirgsbildung und der Masseneruptionen in der Nordhemisphäre gehört der unteren Dyas an; die Folgeerscheinungen der Abtragung der Gebirge, Erhöhung des Meeresbodens, die Differenzierung der Meeresfaunen, Ausdehnung der Binnengewässer und der

¹ = Permocarbon + Perm vieler Autoren. Über die Namengebung s. p. 15 Anm. n. 491. Der Name Dyas enthält gewissermassen eine nachträgliche Rechtfertigung durch die Zweitheilung der hochmarinen Bildungen (s. unten): 1. Palaeodyas mit *Popanoceras* und *Proanagoceras*. 2. Neodyas mit den ersten Ceratitiden. Bei allgemeineren Vergleichen werden entsprechend den Vereinbarungen des internationalen Petersburger Geologencongresses und der betr. Kommission die Namen Palaeodyas (= Permocarbon) und Neodyas (= Zechstein) gebraucht werden.

² Die Angaben über Vereisung im Rothliegenden Englands sind nicht als hinlänglich beglaubigt anzusehen.

endliche Rückzug des Meeres im Norden der Erde bilden den Charakter der mittleren und jüngeren Dyaszeit.

Die gewaltige Anhäufung von Sandsteinen ist durch die Zerstörung der Gebirge, die rothe Färbung derselben wahrscheinlich durch Trockenheit des Klimas zu erklären. Die ungünstigen klimatischen Verhältnisse der Nordhemisphäre äussern sich augenfällig in dem allmählichen Rückgang der Flora; im Süden herrscht gleichzeitig mit der Vereisung ein feuchtes und gleichmässiges, der Kohlenbildung günstiges Klima.

3. Der allmähliche Rückzug des Meeres wird in Norden Europa durch die Episode der von Norden kommenden Transgression des Zechsteinmeeres unterbrochen, das jedoch niemals in Verbindung mit dem Grossen Mittelmeer trat. Das Verschwinden der gewaltigen bis England, Mitteld Deutschland und Nordrussland ausgedehnten Binnenseen erfolgte in dem trockenen Klima durch Verdunstung und Bildung von Salzpflanzen. Mächtige Lager und Stöcke von Gyps, Steinsalz und Mutterlaugen- (Kali- und verschiedenen schwefelsauren²) Salzen sind die Überreste dieses Ereignisses.

Weniger leicht zu erklären ist das an die Schiefer und Sandsteine der mittleren Dyas gebundene Vorkommen von Kupfererzen, das aus Deutschland und England, Ost-Russland und Texas bekannt ist.

Die Faciesbildungen der Dyas.

Fusulinenkalk, Brachiopodenschichten, Kohlenflötze und flötzleere rothe Sandsteine reichen unverändert aus dem Obercarbon in die untere Palaeodyas hinauf. Im mittleren und oberen Theile der Formation erscheinen jedoch Faciesbildungen wie Kupferschiefer, Kupfersandstein und Kalisalze, die in der Erdgeschichte einzig dastehen.

²
X Der geographische Gegensatz arktischer und mediterraner Entwicklung findet auch faciell seinen Ausdruck in dem Fehlen der Cephalopodenfacies in höheren arktischen Breiten.

In der kurzen Übersicht dyadischer Faciesbildungen sind die neuartigen in älteren Schichten (p. 270 ff.) fehlenden Gesteine durch **fetten Druck** hervorgehoben.

1. Brachiopoden- und Korallenkalk (Flachseebildungen).

(Die Anordnung folgt der Übersicht des Carbon p. 266 ff.)

Brachiopodenkalk und Mergel sind typisch entwickelt in den Kungurschichten, dem oberen Theile der russischen Palaeodyas („Permocarbon“), bei und auf Spitzbergen, Djulfa (mergeliger Kalk der unteren Neodyas), am Fluss Gussas in Kaschgarien (mergeliger Kalk, Palaeodyas), am Tschititschunberg in Tibet (röthlicher reiner Kalk), im Productuskalk der nordindischen Salzkette (meist Kieselkalke), im unteren Zechstein Deutschlands und Englands (mergelige oder dolomitische Kalke

¹ Norddeutschland, England, Donjetz.

² Prov. Sachsen und Thüringen, Anhalt, Braunschweig, östliches Hannover, Mecklenburg.

*³ Cephalopods (Ammonoites) are now known in the lower Permian.
See
1902,

mit *Prod. horridus*) und im gleichen Horizont Russlands (mit *Strophalosia*, *Autosteges* und *Spir. rugulatus* ohne obige Art).

Spiriferensandstein mit zahlreichen **Zweischalern**, eine grobkörnige mit Driftschichten wechselnde Bildung herrscht in der Dyas von Neu-Süd-Wales, ein **weisser Kieselchiefer** ebenfalls mit Steinkernen von Spiriferen in Tasmanien vor.

Geschichteter Korallenkalk mit zahlreichen Brachiopoden bildet das vorherrschende Gestein in der Mitte der Productuskalke des Pendschab (Kalabagh beds). Echte Korallenriffe sind in der Dyas unbekannt.

In gleicher Meerestiefe wie die eigentlichen Brachiopodenfacies abgelagert und durch häufiges Vorkommen dieser Tiergruppe ausgezeichnet sind:

1. **Bryozoenriffe**, welche im unteren Zechstein Thüringens ziemlichte Ausdehnung und einige Mächtigkeit (10—20 m) erreichen.

2. **Bellerophonkalk**, ein dunkler, vielfach gypsreicher oder dolomitischer Kalk der oberen alpinen Dyas. Die Versteinerungen finden sich nur local in diesem Gestein angehäuft und bestehen vor allem aus Bellerophoniten (s. unten).

II. Fusulinenkalke

finden sich in der mediterranen Palaeodyas (z. B. Karnische Alpen) und bestehen aus grossen Fusulinen (*F. longissima*) und den kugeligen Formen mit Basalskelett (*Mortierina* p. 290). Die Facies nimmt nach oben zu an Bedeutung rasch ab und ist nicht scharf von den Brachiopodenkalken zu trennen. Crinoiden- oder Echinidenfacies sind bisher aus Dyas-Schichten nicht beschrieben worden.

Um so bedeutsamer sind die

III. Zweischalerschichten

besonders im oberen Theile der Formation entwickelt. Vielfach (Deutschland, Russland, Armenien) ist der obere Theil der Neodyas (Zechstein, Tatarische St.) oder auch die untere Grenze (Kansas, Utah) durch die allmähliche Verdrängung der Brachiopoden durch die Zweischaler gekennzeichnet. *Schizodus*, *Bakewellia* (Suhg. von *Gervillia*), *Pleurophorus* sind überall die wichtigsten Gattungen in der Entwicklung der Binnenmeere. Nicht minder wichtig sind die schon im Carbon entwickelten Schichten mit den Zweischalern des süßen Wassers. Anthracosienbänke finden sich im deutschen Rothliegenden, rothe Mergel mit *Najadites* und *Anthracosia* in der mittleren, solche mit *Palaeomutela* in der oberen Dyas Russlands.

Unter ähnlichen Verhältnissen wie die Anthracosien-schichten sind die durch den kleinen Schalenkrebs *Leala* gekennzeichneten Schichten im Rothliegenden der Saar gebildet worden.

IV. Cephalopodenfacies

sind erst in den letzten Jahrzehnten aus den Dyas beschrieben worden und auch jetzt noch als seltene Vorkommen anzusehen.

Eine typische, mit den Hallstätter Kalken der Trias übereinstimmende Entwicklung zeigen die weissen und gelblichen Ammonitenkalke des Fiume Sosio in

Sicilien. Zahlreiche Brachiopoden, Gastropoden und Zweischaler weisen auf ein offenes Meer von mittlerer Tiefe hin und machen die Fauna zu der reichhaltigsten, welche bisher aus diesem Weltalter bekannt geworden ist. An fast allen übrigen Vorkommen (den Wichita-beds von Texas, den Cephalopoda oder Jabi beds der Salzkette, auf Timor, bei Djulfa) finden sich einige Cephalopodenarten eingeschwemmt in den von vorwiegenden Brachiopoden erfüllten Kalken der flacheren Meere. Ganz vereinzelt (1—3 Arten) sind die für die Horizontirung wichtigen Formen in den Alpen (Troglkofelkalk und Bellerophonkalk), am Tschititschum und in Australien (eine Art von *Agathiceras*) gefunden worden. Die Vorkommen von Darwas und dem Ariège-Departement sind geologisch wenig bekannt.

Eine nicht sonderlich reiche Cephalopodenfauna enthält die Artastufe des Ural, wo die **Ammoniten** entweder in **Conglomeraten** (ein beinahe einzig dastehendes Vorkommen) oder in Thonen gefunden werden. Die meist als untere Trias gedeuteten Ceratitenschichten des Pendschab und des Himalaya (mit *Otoc. Woodwardi*) werden von NOETLING zur obersten Dyas gestellt.

V. Kieselschiefer

sind entsprechend der geringen Verbreitung von Tiefseebildungen in der Dyas nur vereinzelt nachgewiesen worden.

Kieselschiefer mit Lithistiden (*Pemmatites*) sind in der älteren Dyas von Spitzbergen bekannt, aber wie es scheint mit Brachiopodenschichten eng verbunden. Der gleichen Facies gehören Mergel der Artastufe mit denselben Pemmatiten und mit Hexactinelliden (*Kazania*, *Stuckenbergia*) an.

Bei einigen der Dyas zugerechneten Radiolarien-Kieselschiefer der italienischen Westalpen¹ ist die Altersbestimmung unsicher.

VI. Nichtmarine Bildungen

sind in der Palaeodyas (Rothliegendes) ebenso weit verbreitet als die marinen Absätze und bestehen wie im Carbon aus kohlenführenden Schichten,² vorherrschend aber aus kohlenfreien, meist rothen Sandsteinen und Schiefern:

A. Die Kohlenflütze

der Dyas, welche in der Nordhemisphäre in dem Unterrothliegenden ziemlich häufig, in dem Mittelrothliegenden aber nur ganz vereinzelt bekannt sind, gehören fast ausschliesslich zu dem linnischen oder Saarbrücker Typus (p. 270). Paralische Flötzbildung ist nur einmal (bei Nanking) nachgewiesen worden.

Bei den Rothliegend-Kohlen³ kann man die allochthone Entwicklung vieler kleiner Becken des Centralplateaus (oben p. 270) oder den Typus von Commeny von dem autochthonen oder eigentlichen Saarbrücker Typus unterscheiden.

¹ C. F. PARONA e. G. ROVERETO, *Disprei permiani a radiolarie di Montenotte* Att. R. Accad. scienze di Torino 31. H. 2.

² Die Darstellung der eigenartigen Facies, welche die Dyas der Südhemisphäre kennzeichnen, bleibt diesem besonderen Abschnitt vorbehalten.

³ Über die Dyas- und Triaskehlen der Südhemisphäre handelt ein besonderer Abschnitt im nächsten Kapitel.

Zwei aus dem schönen Werke von GRAND'ÉCURY „Formation des couches de houilles“¹ entnommene Copien veranschaulichen den Gegensatz der zusammengeschwemmten schwarzen Sande von Commeny² und der gewachsenen fossilen Wälder von St. Etienne,³ in denen die aufrechten Stämme und Wurzeln von Scheerflächen (dessolarde) unterbrochen werden.

B. Die flötzleere Entwicklung des rothen Sandsteins,

welche aus dem Carbon (p. 273) heraufreicht, enthält einige eigenthümliche Localfacies, welche unser Kenntniss von dem Zustand der Erdoberfläche zur Dyaszeit wesentlich erweitern:

1. Auf das Vorhandensein starker kalkhaltiger Quellen weisen die **Kalke** von **Karniowice** bei Krakau hin, die wie die Quellenabsätze der Gegenwart oder der jüngsten Vergangenheit (Mammoth hot springs, Taubach) die Reste der Pflanzenwelt einschliessen.

2. Die Herkunft der Kupfersalze des **Kupferschiefers** in Deutschland und England, des **Kupfersandsteins**⁴ in Russland und Texas,⁵ pflegt auf kupferhaltige Quellen zurückgeführt zu werden, die vielleicht die letzte Äusserung der vulcanischen Ausbrüche des Rothliegenden sind. Die bekannte zusammengekrümmte Form der Mansfelder Fische deutet auf ein rasches und massenhaftes Absterben der Thiere hin. Die Seltenheit von *Productus horridus* in diesem Horizont lässt den Schluss gerechtfertigt erscheinen, dass die Einwanderung der marinen Binnenfauna eben erst begonnen hatte.

3. Die Verbreitung der Fisch- und **Amphibien-Schichten** in den Binnenablagungen des Rothliegenden knüpft zum Theil an das Devonische Old Red an. Die Geoden-Schiefer von Lebach erinnern an die Fisch-Geoden von Schottland (Lethen har), die grauen feinkörnigen Sandsteine und Schiefer von Autun (mit *Amblypterus*) an manche „Flagstones“ der Orkney-Inseln (p. 226). Auch kalkige Einlagerungen, wie das *Amblypterus*-Vorkommen von Ruppertsdorf oder das Bone bed von Illinois⁶ sind nicht ohne Analogie in der älteren Formation (p. 83).

Der feinkörnige Kalk von **Niederhässlich**, die Ablagerung eines Süßwassertümpels, der von den Kaulquappen der Branchiosauren erfüllt war, steht allerdings ohne Analogon in der Formationsreihe da.

4. Ebenfalls einzig dastehend in Mächtigkeit und Ausdehnung sind die Schichten und Stöcke der **Kalisalze** in Norddeutschland, deren ausführlichere Darstellung weiter unten folgt. Gyps und Steinsalz ohne Kalisalze besitzt hingegen die weiteste Verbreitung, so in England, am Donjetz (Neodyas), in Kansas (Neodyas), in Texas (Guda-Schichten der oberen Palaeodyas und Neodyas) u. s. w.

¹ Mém. soc. géol. de France, 3 sér., Tom. IV. Mémoire N. III, 1887.

² l. c. t. 5 f. 4.

³ l. c. Caus, t. 9, f. 13.

⁴ Mit Landpflanzen, Reptilien und Stegocephalen.

⁵ Ebenfalls mit landbewohnenden Wirbelthieren.

⁶ Mit Stegocephalen und Theriodonten.

Die Fauna der Dyas

(mit besonderer Rücksicht auf die Ammonoiten).

Die Dyas schliesst sich faunistisch so eng an das Carbon an, dass für manche zoologischen Gruppen eine besondere Übersicht unnöthig erscheint. Insbesondere ist die Schwagerinenzone des Obercarbon durch das erste Auftreten einer Anzahl von Typen (s. o.) gekennzeichnet, die erst in der folgenden Periode ihre Hauptentwicklung erreichen. Immerhin sind das Auftreten der ältesten zu den Rhynchocephalen gestellten Reptilien (*Kadaliosaurus*, *Palaeohatteria*, *Aphelosaurus*, *Mesosaurus*, *Protorosaurus*), die mächtige Entwicklung der Stegocephalen sowie das Auftreten der Cephalopoden mit ammonitischen¹ und ceratitischen Kammerscheidewänden Momente, welche die Abtrennung eines besonderen Systems auch in faunistischer Hinsicht rechtfertigen. Das Auftreten der zu zwei verschiedenen Ordnungen (*Rhynchocephalia* und *Theromorpha*) gehörenden, allgemein verbreiteten Reptilien würde allein genügen, um die Selbständigkeit der Dyas palaeontologisch zu rechtfertigen.

Alle jungpalaeozoischen Reptilien sind Land- oder Süßwasserbewohner; in unzweifelhaften Meeresbildungen ist noch kein hierher gehörender Rest gefunden worden. Die Wanderung der Reptilien in den Oeean und die vollendete Anpassung an das Wasserleben erfolgte erst in der mesozoischen Aera. Bei *Mesosaurus* (s. u.) zeigt beispielsweise die Hinterextremität den Beginn der Umwandlung zum Schwimmorgan, während die Vorderextremität noch ein reines Schreittheil darstellt. Es ist selbstverständlich kein Zufall, dass die *Theromorpha*, die am mannigfachsten differenzirte dyadische Gruppe, die einzigen Reptilien sind, welche Beziehungen zu den Säugethieren und Amphibien aufweisen.

Die ältesten Reptilien, welche den noch lebenden Rhynchocephalen (*Hatteria*) nahe stehen, sind als grosse Seltenheiten im mittleren Rothliegenden gefunden und unter den Namen *Palaeohatteria* und *Kadaliosaurus* (Sachsen) beschrieben worden; nur wenig jünger sind *Aphelosaurus* (oberes Mittelrothliegendes) und *Haptodus*. Später erscheint im Kupferschiefer *Protorosaurus*, welcher im Knochenbau ein Zwischenglied von *Hatteria* und *Palaeohatteria* bildet. Die Anomodontier sind in der russischen mittleren Dyas angedeutet (*Oudenodon*), während vereinzelte Wirbel (*Naosaurus*² in Texas und Böhmen, *Phanerosaurus* in Thüringen) das Erscheinen der ältesten Theriodontier andeuten. Häufiger sind hierher gehörende Formen in Russland;³ im deutschen Kupferschiefer findet sich *Parasaurus*.

Exotische Vertreter der Dyas-Reptilien sind in ziemlich grosser Zahl beschrieben worden, aber ihrem Alter nach nicht genauer bekannt, so *Mesosaurus* (= *Stercosernum* = *Dilrochosaurus* in Südbrasilien und Südafrika, zu den Rhyncho-

¹ Die schon im Carbon auftretende Reihe *Dimorphoceras*—*Thalassoceras* bildet eine kleine bald aussterbende Gruppe mit der ersten Andeutung ammonitischer Lösen.

² Die sonderbaren durch quere Verzweigung der Dornfortsätze ausgezeichneten Wirbel sind im Kanewer Horizont (Mittelrothliegendes) und in Texas, die phantastisch geformten Schädel in dem letzteren Lande gefunden worden.

³ *Dentrosaurus*, *Brithopus*, *Rhopalodon* u. a.

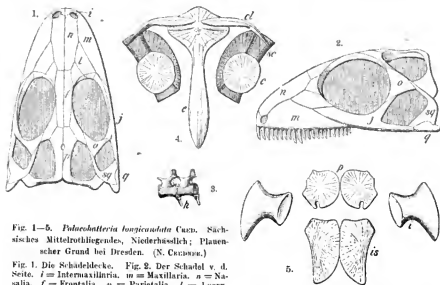


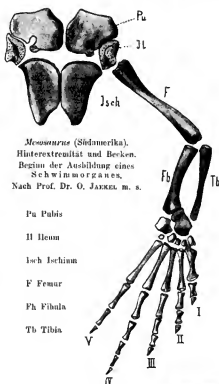
Fig. 1—5. *Palaeobatrachia longicaudata* Czeb. Sächsisches Mittelrothliegendes, Niederhäslich; Plauenscher Grund bei Dresden. (N. CREDDEN.)

Fig. 1. Die Schädeldecke. Fig. 2. Der Schädel v. d. Seite. *i* = Intermaxillaria, *m* = Maxillaria, *n* = Nasalia, *f* = Frontalia, *p* = Parietalia, *l* = Lacrymalia, *j* = Jugalia, *o* = Postorbitalia, *sq* = Squamosa, *q* = Quadrata. Fig. 3. Zwei Schwanzwirbel m. d. hinteren Bogen (*h*). Fig. 4. Der Schultergürtel. *e* = Episternum, *cl* = Claviculae, *sc* = Scapulae, *c* = Coracoidea. Fig. 5. Das Becken. *i* = Ilea, *is* = Ischia, *p* = Pubes.



Mesosaurus,
Schultergürtel u. Vorder-
extremität
Typisches Schreitbein
(Combinations-Figur).
Nach Prof.
Dr. O. JAEKEL m. s.

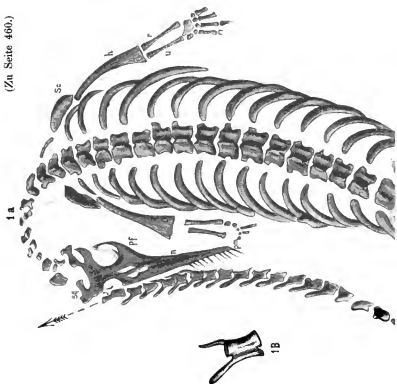
cl Clavicula
c Coracoid
sc Scapula
H Humerus
R Radius
U Ulna
e Episternum

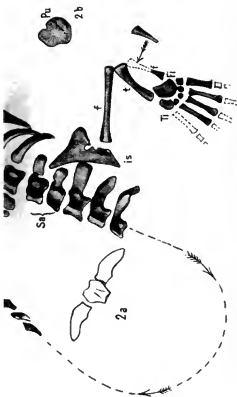


Mesosaurus (Südamerika).
Hinterextremität und Becken.
Beginn der Ausbildung eines
Schwimmorganes.
Nach Prof. Dr. O. JAEKEL m. s.

Pu Pubis
Il Ilium
Isch Ischium
F Femur
Ph Fibula
Tb Tibia

(Zu Seite 460.)





1 a, 1 b *Mesosaurus sumidus* Cuv. sp. Nach dem Gipsausguss eines im Hamburger Museum befindlichen Abdrucks (Boher Sandstein). Dyas, Paraguay (Villa Rica 25° 30' S., 56° 40' W.). $\frac{1}{4}$ nat. Gr.

Der kurze Hals, die feinen, wahrscheinlich zum Durchschneiden des Wassers und zur Zurückhaltung kleiner Thiere bestimmten Zähne, der lange, hinten in eine hohe Raderknochen auflaufende Schwanz, die kräftigen Rippen und die verhältnissmässig schwachen Extremitäten sind wohl erhalten. Der Unterkiefer fehlt, der Endtheil des immer noch unvollständigen Schwanzes ist dem Kopfe geknähert.

Pf Praefrontale, n Nasale, pm Praemaxillare, sq. Squamosum, j Jugale (Bruchstück); die Kopfknochen sind un deutlich erhalten). Sc Scapula, h Humerus (mit altem Foramen entepicondyleum), r Radius, u Ulna, Sa die beiden Sacralwirbel, is Ischium, f femur, t tibia, f fibula (in zwei Theile zerbrochen), Ti Tibiale, Fi Intermedio-Fibulare.

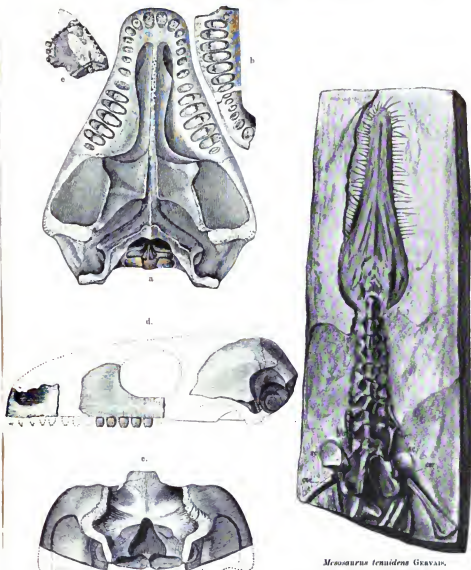
1 B Schwanzwirbel mit langen Dornfortsätzen und Haemapophysen $\frac{1}{10}$.

Zur Ergänzung sind beigelegt nach dem in Breslau befindlichen Original von *Mesosaurus*

cuyensis Gignou sp. (*Diirechomys* Gignou). Dyas, Hopetown am Orange-Fluss:

2 a der dritte Schwanzwirbel mit den deutlich abgegliederten Schwanzrippen.

2 b Pa Pulia, beide $\frac{1}{10}$.



Empedias molaris COPE. (Nach COPE.) $\frac{1}{2}$ nat. Gr.
Untere Dyas. TEXAS.

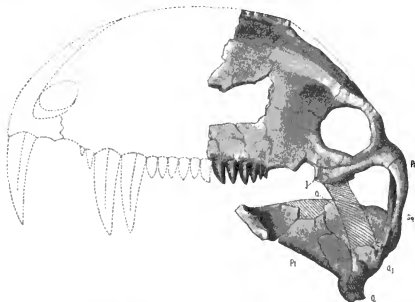
a. Gammelsansicht des Schädels. b. Desgl. c. Seitensicht der
Symphyse. d. Seiten- und e. Hinterhaupts-Ansicht.

Mesosaurus tenuidens GERVAIN.

Kopf, Hals u. Brustgürtel.

Neuzeichnung des Originals von GERVAIN. (Dyas
(Unt. Karoo). Südafrika.

h humerus, cor Corneoid, sc Scapula, cl Clavicula. hlr Halsrippen. $\frac{1}{2}$ nat. Grösse.



Naosaurus claviger Cope. Untere Dyas, Texas. $\frac{2}{3}$ nat. Gr.

Pa = Parietale.

Q = Quadratum.

Sq = Squamosum.

J = Jugale.

Qj = Quadrato-jugale.

Pt = Pterygoideum.

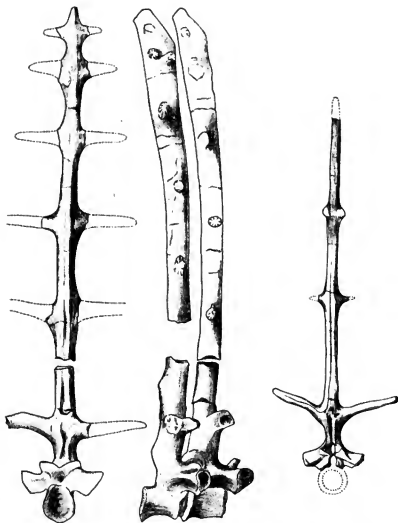
Aus Transactions of the American Philosophical Society held at Philadelphia, for promoting useful knowledge. vol. XVI. New series, 1890, Taf. II u. III.



Drei Rumpfwirbel v. *Palaeohatteria longicaudata* Cuv. Sächs. Mittelrothliegendes. Niederhäslich; Plauenscher Grund bei Dresden. (N. CHEDOK.)
i Intercentrum.



Rumpfwirbel v. *Protorosaurus speneri* H. v. MEXEN mit zwischenliegendem Intercentrum (i). Vergr. $\frac{2}{1}$. Kupferschiefer. N. EZZOLN.



Naosaurus clariger Corv.

$\frac{2}{3}$ nat. Gr.

Wirbel mit enorm verlängerten seitlich verzweigten Dornfortsätzen.
Aus der unteren Dyas von Texas. Nach Corv.

Naosaurus cruciger Corv.

cephalen gehörend), sowie die verschiedenen in der texanischen Dyas erscheinenden Theriodontier.¹ Wenn die Angaben über das Zusammenvorkommen der Reptilien mit einer Brachiopodenfauna von carbonischem Habitus in Illinois sich bestätigen, so sind diese als die ältesten Formen anzusehen.

Im Gegensatz zu der weiteren Verbreitung der Landpflanzen, Fische und einzelner Reptilien sind die an das Land und Süßwasser gebundenen Amphibien-gattungen auf bestimmte Gebiete beschränkt. So findet sich *Dasyceps* (*Lepospondyli*) nur im englischen Rothliegenden, *Melosaurus* und *Zygosauros* (*Temnospondyli*) nur in der russischen Dyas, *Actinodon* und *Euchirosaurus* nur in Frankreich. Nur in Amerika, vornehmlich in Texas sind gefunden worden: *Trimerorhachis*, *Zatrachys*, *Eryops*, *Acheloma*, *Anisoderis*, *Cricotus* (*Temnospondyli*) und *Platyops* (*Sterrospondyli*). Allerdings steht mit der obigen Thatsache das Hinaufgehen zahlreicher Gattungen des englischen Carbon in das böhmisches Unterrothliegende scheinbar in Widerspruch.

Von den Stegocephalen des europäischen Rothliegenden ist am längsten bekannt *Archegosaurus*, dessen Verbreitung allerdings auf die mittlere Stufe Sachsens und des Saargebiets beschränkt ist. Wichtiger als Leitform ist der in beiden Rothliegendestufen in Frankreich, Deutschland und Oesterreich (Böhmen) vorkommende *Branchiosaurus*, dessen vollständig bekannte Metamorphose (H. CREDNER) in entwicklungsgeschichtlicher Hinsicht besonders interessant ist. Mit dem Arten- und Individuenreichtum von *Branchiosaurus* ist das Vorkommen von *Sclerocephalus* nicht zu vergleichen. Jedoch gehörten zu diesen „Krötenkrokodilen“ die grössten und am stärksten bewehrten Räuber, die naturgemäss seltener vorkommen als die Schaaren der Salamander-ähnlichen Geschöpfe. In Bezug auf räumliche und geologische Verbreitung (Unter- und Mittelrothliegendes in Böhmen² und dem Saar-Nahegebiet, Mittelrothliegendes von Sachsen) kommt jedoch *Sclerocephalus* dem *Branchiosaurus* nahe.

Die *Lepospondyli* (Hülsenwirbler, Wirbelkörper aus einheitlichen Knochenhülsen) umfassen von wichtigeren Gattungen *Branchiosaurus*,³ *Pelosaurus*, *Apatron* und *Melanerpeton* (*Branchiosauridae*), *Hylonomus**, *Sceleya*,⁴ *Ricnodon*, *Microbrachis*, *Limnerpeton*, *Ceraterpeton**, *Urocordylus**, *Acanthostoma* (*Microsauria*), *Dolichosoma**, *Ophiderpeton** (*Aistopoda*). Fast ebenso mannigfaltig sind die *Temnospondyli*, bei welchen die Wirbelkörper aus mehreren getrennten Knochenstücken bestehen: *Archegosaurus* (Mittelrothliegendes), *Sparagmites*, *Discosaurus*,

¹ *Empedias*, *Dindectes*, *Melodectes*, *Belosaurus*, *Chilonyx* (*Dindectidae*), *Pariotichus*, *Ectorynolon*, *Pantylus* (*Pariotichidae*), *Elaphosaurus*, *Embolophorus*, *Therapsena*, *Diametrolon*, *Clepyrotraps*, (*Cynodontia*); zum Theil kommen die Arten auch in Illinois und Neu-Mexico vor.

² Die hier vorkommenden Arten hatten sich bisher unter anderen Namen (*PChelyosaurus*) versteckt. Der Schädel der nah verwandten *Nyrachania* unterscheidet sich nur durch eine hinter den postorbitalen Knochen gelegene überzählige Platte.

³ Die gesperrt gedruckten Gattungen sind abgebildet.

⁴ Vergl. A. FRITSCHE, Fauna der Gaskohle. Die Selbständigkeit dieser und anderer in der böhmischen Gaskohle gefundenen Gattungen ist bei dem schlechten Erhaltungszustand der Reste zweifelhaft. Bedenken muss vor allem der Umstand erregen, dass von keiner böhmischen Art die Metamorphose bekannt ist. Die Körperform und die Organisation (Entstehung des Bauchpanzers) wird bei der Entwicklung von der Kaulquappe zum Luftathmenden Amphibium wesentlich verändert.

* Schon im Carbon.

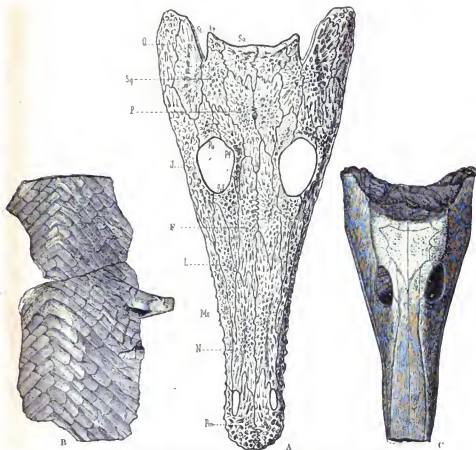


Fig. A. *Archegosaurus Decheni* H. v. M. Mittelrothliegendes von Lebach.
Originalzeichnung von Prof. Dr. O. JAEKEL nach einem Ansagss im Museum f. Naturkunde, Berlin.
 $\frac{1}{2}$ nat. Grösse.

Skulptur der Aussenseite eines vollkommen ausgewachsenen Exemplars. Die zwei anderen Abbildungen (Taf. 57, Fig. 3 und p. 450) stellen jüngere Exemplare mit weniger spitzer Schnauze dar.

Pm Praemaxillare
N Nasale
Mx Maxillare
L Lacrimale
F Frontale

J Jugale
Prf Praefrontale
Pf Postfrontale
Po Postorbitale
P Parietale

Sq Squamosa
Qt Quadrato-Jugale
St Supratemporale
Ep Epitricum
So Supraoccipitale

Fig. B u. C. *Cricotus heterorhynchus* COPE. (Nach COPE.) $\frac{1}{2}$ nat. Grösse.
Untere Dynas von Texas.

B. Bauchschilde, C. Oberansicht des Schädels.

Cricotus ist der nächste amerikanische Verwandte von *Archegosaurus*.

Entwicklungsgeschichte von *Brachiosaurus audleyi* CRED.

Fig. 1—6 sind verschiedene Wachstumsstadien der in erster Linie durch Kiemenaushung (br) und Nacktheit der Haut gekennzeichnete Larve

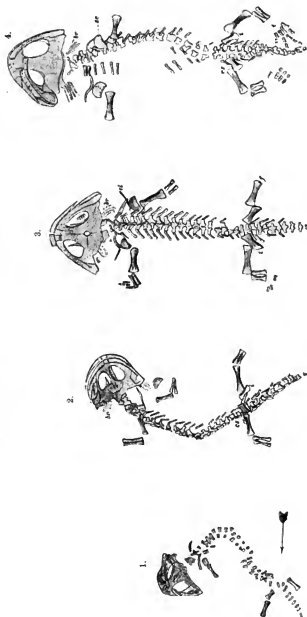
Fig. 7 giebt das Bild der Luft athmenden und mit Bauchpanzer versehenen reifen Form.
Mittel-Rohrliedendes von Niederbassich. (Nach H. H. H. H.)

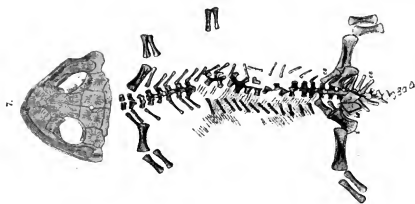
pt = Pterygoidea
br = Kiemenaugen

ca = Sacralrippen
cr = Caudalrippen
co = seitliche Brustplatten
cl = Claviculae

sc = Scapulae
il = Ilea
is = Ischia
h = Humerus

f = Femur
t = knorpeliger Tarsus
ph = Phalangen.





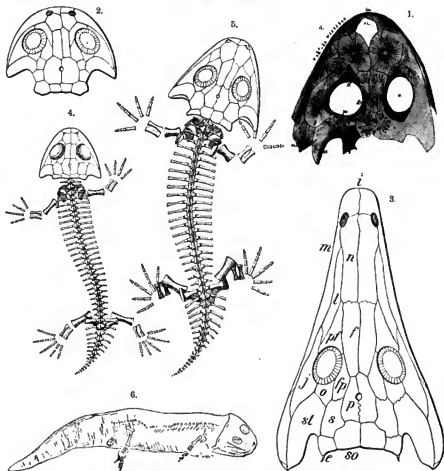


Fig. 1, 2 u. 3: Die Schädeldecke sächsischer Stegocephalen und zwar von:

Fig. 1. *Acanthostoma vorax* Cren.

fo = Foramen parietale, n = Nasalia, im = Intermaxillaria, ci = Cuvum intermaxillare, po = Postorbitalia, o = Orbitalia, mi = Maxilla inferior, d = Kieferzähne. Die übrigen Buchstaben siehe Fig. 3.

Fig. 2. *Melanerpeton pulcherrimum* Fritsch.

Fig. 3. *Archeosaurus Decheni* Goldf. (halberwachsen).

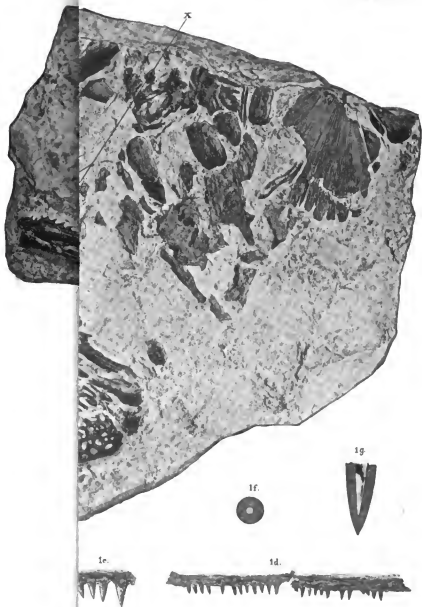
i = Intermaxillaria (Zwischenkiefer), su = Maxillaria superiora (Oberkiefer), n = Nasalia (Nasenbeine), f = Frontalia (Stirnbeine), p = Parietalia (Schädelbeine), so = Supraoccipitalia (obere Hinterhauptbeine), l = Lacrimalia (Tränenbeine), pf u. fp = Prae- u. Postfrontalia (vord. u. hint. Stirnbeine), j = Jugalia (Jochbeine), o = Postorbitalia (hint. Augenhöhlenbeine), st = Supratemporalia s = Squamosa (Schläfenbeine), e = Epitica (Zitzenbeine).

Fig. 4. *Branchiosaurus amblystoma* Cren. u. Fig. 5. *Pelosaurus laticeps* Cren.

(Beide von oben, mit Hinweglassung des Bauchpanzers.) Fig. 1—5. Sächsisches Mittelrothliegendes. Niederhäslich, Plauenscher Grund bei Dresden. (Nach Crenner.)

Fig. 6. *Branchiosaurus salamandroides* Fritsch. Gaskohle des Unterrothliegenden von Nürschan, Böhmen. Nat. Grösse. N. Jäkel.

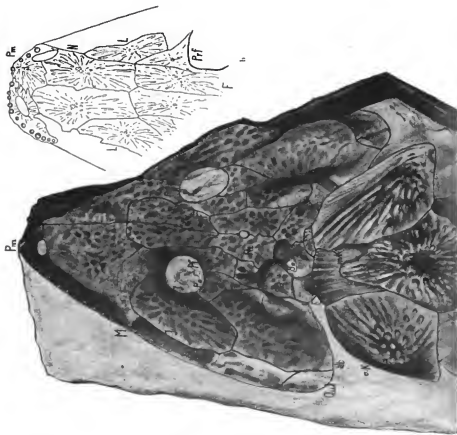
Die häutige, nur theilweise durch Knochen gestützte Schwanzflosse in natürlicher Länge.



St. Wendel, Bayr. Pfalz. N. BASSO

Fig. 1a. Schädel (barkieferhafte, vor diejenigen der linken (1d) gestellt. Fig. 1f, Querschnitt vom spitzen Ende einer kieferhülle, die Innenseite nach aussen wendend. x, Treppenförmiger Absatz am

(Zu Seite 469.)





a Ein Exemplar mit wohl erhaltenen Kehlbrustplatten und unendlich begrenzten Kopfdieckknochen von
 Eppendorf bei Brauns. Mittelrotbälgendes, Breslauer Museum.
 b Grenzen der Kopfdieckknochen auf dem Schnauzenhöhl. (Copie nach H. v. Meyer. Lebach.
 (Palaeontogr. VI, t. 10, f. 2.)

Erklärung der Kopftafel.

Pm Praemaxillare	So Supraoccipitale
M Maxillare	E Episternum
N Nasale	St Supratemporalale
F Frontale	Sq Squamosum
L Lacrimale	Quadrato-Jugale
mK mittlere Kehlbrustplatte (episternum). vK vordere seitliche Kehlbrustplatten (clavicula).	
hK Untere Kehlbrustplatte (Garcoid nach (Meyer). HS Backschuppen.	

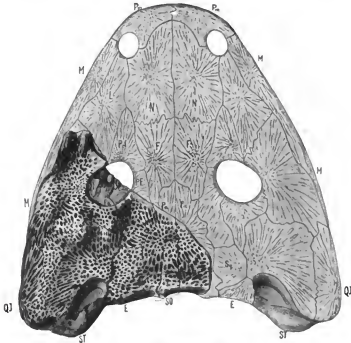
Die Entdeckung von *Sclerocephalus* im böhmischen Mittelrotbälgenden (Brauns a. n.) be-
 weist, dass die Gattung mit *Archegosaurus* und *Branchiosaurus* zu den geo-
 logisch wichtigsten Stegocephalen des Rothliegenden gehört. Die Beziehung
 der abgebildeten Art auf den Lebacher *Sclerocephalus latirostris* ist nicht vollkommen sicher, da in
 den vorderen Schädelsregionen die Grenzen des Kopfdieckknochen nicht erhalten sind. Jedoch ist alles,
 was von dem hinteren Theile des Schädels, dem Umrisse desselben und den Kehlbrustplatten beibehalten
 worden konnte, übereinstimmend mit *Sclerocephalus latirostris* (Palaeontogr. IV, t. 9 n. 10).

Man kennt also jetzt aus dem Unterrotbälgenden *Sclerocephalus latirostris* H. v. M.,
Hilneri Gr. sp. emend. (Caudata, aus dem Mittelrotbälgenden *Sclerocephalus latirostris* H. v. M.,
 Lebach-Brauns, sowie *Sclerocephalus lobyrinthicus* (Gr.) (Meyer).

Anmerkung. Es ist keineswegs unwahrscheinlich, dass *Sclerocephalus latirostris* H. v. M. (Fig. a)
 mit *Archegosaurus Franz* Farnus (Fanna der Gaskohle II, p. 18, t. 54—58) generisch ident ist.
 Was von Kehlbrustplatten vorliegt (t. 56, f. 2; t. 55, f. 2) stimmt überein. Der Schnauzenhöhl des
 Schädels (t. 55, f. 1) ist ebenso unendlich erhalten, wie auf unserem Stück. Die zum Theil recht
 erheblichen Verschiedenheiten, welche der hintere Theil des Schädels (t. 57, f. 1) und der Wangenbein
 erkennen lässt (t. 56, f. 1 Lacrimale fehlt; das Postorbitale bildet den ganzen Ausschnitt des Auges),
 könnten auf die gänzlich verschiedene Erhaltung zurückgeführt werden: Die beiden denticulären
 Exemplare von Farnus (t. 57, f. 1 u. 56, f. 1) sind innere Abdrücke des Schädels, während unser
 Exemplar von der Aussenseite sichtbar ist.

?*Chelydosaurus* (Mittelrothlieg.), *Cochleosaurus*, *Sclerocephalus*, **Diplospondylus* FRITSCH em. (= *Diplovertebron*), *Dendroperpeton*.

Weniger verbreitet sind die *Stereospondyli* mit vollständig verknöchertem



Nyrschania trachystoma FRITSCH.

Reconstruction nach zwei Exemplaren aus dem Unterrothliegenden (Gaskohle) von Nürschan (Böhmen). Das grössere, links unten schattirt abgebildete Stück liegt im Breslauer Museum und ist auf $\frac{1}{4}$ verkleinert. (Vergl. Taf. 56b); die in der Gegend des Squamosum liegende überzählige Platte ist unendlich abgegrenzt.

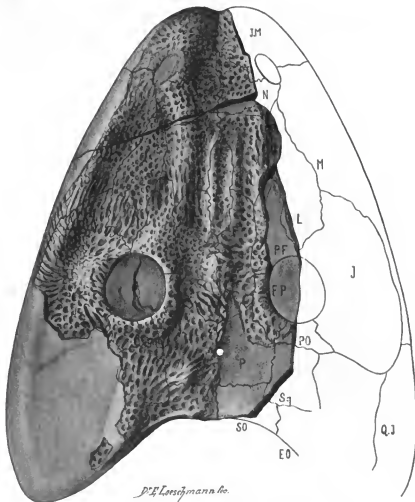
Das kleinere vollständige, 18,3 cm (auf der Oberseite) an Länge messende Exemplar befindet sich im Museum für Natorkunde in Berlin und ist nur im Umriss dargestellt.

Pm Praemaxillare	F Frontale	QJ Quadrato-Jugale.
N Nasale	PF Postfrontale	ST Supratemporale
M Maxillare superius	Pa Parietale	E Epitricum
L Lacrinnale	Pe Postorbitale	SO Sopraoccipitale
Prf Praefrontale	J Jugale	Sq Squamosum

Sehr nahe verwandt ist *Sclerocephalus barvicens* BRANCO sp. (*Weissia*) aus dem Unterrothliegenden (Koseler Schichten) der Rheinpfalz.

Schädel und Wirbeln, die aus einer vorn und hinten ausgehöhlten Knochenplatte bestehen. Hierher gehören *Macromerion* und *Loxomma** aus Böhmen und *Stereorhachis* aus Frankreich.

Der enge Zusammenhang der Fischfauna des Obercarbon und des Rothliegenden beruht auf dem Umstand, dass aus beiden Formationen vornehmlich



ST

Sclerocephalus Roemeri H. v. MEYER. sp. (*Ostrorhynchus*.)

Aus den Dachschiefern des Mittelrothliegenden von Klein-Neundorf bei Löwenberg.
Nadardarstellung des alten in Breslau befindlichen Originals von H. v. MEYER (Palaeontogr. VII, t. 11).
 $\frac{1}{4}$ nat. Gr.

Durch Frollegung des hinteren Augenrandes (Postorbitale, PO), Postfrontale (PF), Praefrontale (PF), sowie des Hinterhaupttrandes (SO Supraoccipitale) konnten die Grenzen der genannten Deckknochen genauer festgestellt werden. Ein Abguss des alten als Abdruck erhaltenen Originals gestattete eine plastische Darstellung der Aussenseite. Die Ergänzung des allein fehlenden Supratemporale (ST) und Quadratojagale (QJ) wurde ermöglicht durch Verschiedenheit in der Gesteinsföhrung. Die Grenze beider Knochen beruht auf dem Vergleich mit dem in fast allen Beziehungen übereinstimmenden *Sclerocephalus barroisii* BRANCO sp. Der einzige Unterschied von dieser älteren Art bildet das Vorhandensein eines Zwischennasenbeins (auf der Grenze der Nasalia N und Frontalia F) und die etwas mehr nach hinten gedrückte Stellung des Auges. Als Gattungsunterschied kann das Vorhandensein eines überzähligen Schädeldeckknochens kaum angesehen werden. Näher liegt der Gedanke an eine Monstrosität (A. FERTSCH). P Parietale, L Lacrimalis, JM Intermaxillare, J Jugale, EO Epioticum.

Vergl. Taf. 56 a und b.

Fische der Binnenseen¹ bekannt sind. Die Häufigkeit und Mannigfaltigkeit der Selachier ist angesichts des continentalen Charakters der Gewässer besonders merkwürdig. Die besser zu den Ganoiden zu stellenden *Acanthodes*² erreichen im Mittelrothliegenden den Höhepunkt ihrer Entwicklung und ihr Ende. Dem gleichen Horizont gehören vornehmlich die Xenacanthiden (Gattung *Pleurocanthus*)³ an, während *Janassa* (*Petalodontidae*) und *Menaspis* (*Trachycanthidae*) bis in den Kupferschiefer hinaufgehen. Auch die im Wesentlichen mesozoische Cestracioniden-Gattung *Acrodus* erscheint bereits im Kupferschiefer (*Strophodus carinatus* MÜNST. = *Wodnika striatula* MÜNST. Taf. 60, Fig. 7, 11). Von Dipnoern ist *Sagenodus* OWEN (= *Ctenodus* auct. c. p.) vornehmlich in Schieferen des Rothliegenden, *Conchopoma* im Lebacher Sphaerosiderit bekannt.

Am häufigsten ist im Rothliegenden und im Kupferschiefer die Familie der Palaeonisciden vertreten, welche hier die Höhe ihrer Entwicklung erreicht: *Amblypterus* ist in der unteren, *Palaeoniscus* in der oberen Dyas die vorherrschende Gattung. Daneben finden sich im Rothliegenden von Angehörigen dieser Familie *Trisolopsis* (Kunowa⁴), *Rhabdolepis* (Lebach, Taf. 56, Fig. 4), *Pyritocerphalus*, *Elenichthys* (= *Progyrodopsis* A. FRITSCH), *Phaneroosteon*^{*} und *Seetophorus*, in beiden Abtheilungen *Acrolepis* (Taf. 61) und *Acontophorus*, im Kupferschiefer *Pygopterus* und die Familie



Menaspis armata EWALD. Kupferschiefer.

Rückenansicht. N. JAECKEL. Orig. in Halle a. S.

¹ Nur von Mjatschkowo wurde eine reichere oceanische Fischfauna beschrieben, aus dem höheren Obercarbon und der Artstufe liegen nur vereinzelte Bruchstücke vor.

² Einschliessl. *Trachyrhynchus* A. FRITSCH, deren Selbständigkeit R. TRAQUAIR (nach freundlichen mündlichen Mittheilungen) nicht anerkennt.

³ Einschliessl. *Xenacanthos* und *Orthacanthos* im Sinne von ANT. FRITSCH. O. JAECKEL glaubt *Orthacanthos* als Untergattung festhalten zu können.

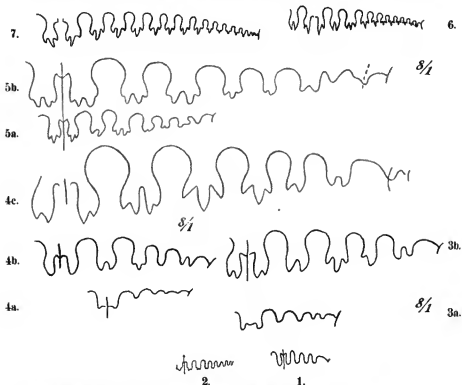
⁴ N. R. TRAQUAIR, dem ich zu zahlreichen werthvollen Mittheilungen über diese Gruppe zu Dank verpflichtet bin, sind die „*Trisolopidae*“ nicht als selbständige Familie anzusehen. *Hemichthys* FAIRBairn ist der Kopf eines Stegocephalen.

* Schon im Carbon.

der Platysomatiden mit *Platysoma*¹ (= *Eurysonus*), *Globulodus* und der räthselhafte *Dorypterus*.

Von Trilobiten erreichen die letzten Proötidien noch den unterdyadischen Soziokalk: hier finden sich *Phillipsia*, *Griffithides* (= *Pseudophillipsia* GEMM.) und *Proetus* (Taf. 59b); eine durch zackige Schwanzanhänge gekennzeichnete Gattung *Cheiropyge* ist in gleichalten Kalken des Himalaya nachgewiesen.

Entwicklung der Loben der *Popanoceras*-Arten in der marinen Dyas.



1. *Agathiceras uralicum* KARP. (Carbonische Stammform von *Popanoceras*.) Nach KARPINSKY.

2. *Popanoceras Waleotti* WHITE. Wichita beds, Texas. Nach WHITE.

3a, b. *Pop. subinterruptum* KNOT. („*Stacheoceras*“). Artstufe, Ural (Sylwa-Fl.). Entwicklungs-Stf. N. KARPINSKY.

4a—c. *Popanoceras Krasnopolskyi* KARP. („*Stacheoceras*“). Artstufe, Ural (Tschusowaja). N. KARPINSKY.

5a, b. *Popanoceras Sobolevskynum* VERN. Artstufe, Ural (Artinskisches Hüttenwerk). N. KARPINSKY.

6. *Popanoceras Trimarti* DIEN. Tschitischun-Kalk (Mittl. Dyas), Himalaya. Nach DIENER.

7. *Popanoceras tridens* ROTHPL. Mittl. Dyas. Ajer Mati; Timor. Nach ROTHPLETZ.

¹ Von σῶμα, σῶμα etc. müsste die auf -us endigende Form somatius etc. lauten; somus ist unrichtig, die einfachste Verbesserung ist eine Änderung in soma. Taf. 61, Fig. 3.

(Zu Seite 473.)

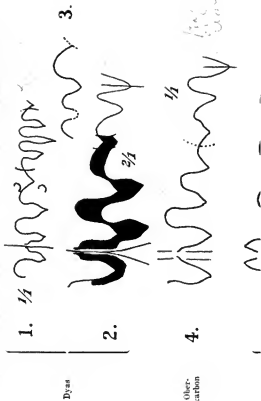
Lobentwicklung von

Gastrioceras, *Paralegoceras*, *Agathiceras*.

Obercarbon—Artstufe, 1—4. Bzgl. 6.

Obercarbon (vereinzelte Vorläufer)
Artstufe; Süsskalk, in letzterem
Hauptentwicklung. 6.

Zu *Agathiceras* gehören *Doryceras* und als evolvierte Untergattung *Hoffmannia* (Taf. 59 b).



1. *Gastrioceras Josae* VERN. Vollständige Sutura. Artstufe $\frac{1}{2}$. Ural. Nach KARPINSKY.
2. *G. Fedorovi* NABO. Artstufe. Peteschora. $\frac{1}{2}$. Nach KARPINSKY.
3. *Gastrioceras* sp. Embryonalform mit unendlich erhaltener Siphonalregion (= *Brassicoceras* pygmaeus URSU.). Soinkalk, Roca N. Benedetto, Techn. Hochschule Aachen. ca. $\frac{10}{11}$.
4. *Gastrioceras* (*Paralegoceras*) *lorenae* MEIX and WOTNUM. Oberurion (Coal measures), Alpine, Jowa. N. MEIX and WOTNUM. Illinois. Älteste Stammform, von der das stärker differenzierte *Paralegoceras* der Artstufe (6) und *Agathiceras* (5) ihren Ausgang nehmen (nicht sehr verschieden von *G. Josae*).
5. *Agathiceras Stensi* URSU. Soinkalk. (Copie von Taf. 59 a, Fig. 5.) $\frac{8}{11}$.
6. *Gastrioceras* (*Paralegoceras*) *Tchernyschovi* KARP. Rosenform der Artstufe. $\frac{1}{11}$. U' Teljack. Nach KARPINSKY.



h₀ 8-100

P. 10 f. 10

Während der Ursprung der lauschwänzigen Krebse nach neueren Erfahrungen erst in der Trias zu suchen ist (p. 283), ist der älteste Vertreter der Krabben vielleicht in den sicilischen Siosiokalken nachzuweisen (Taf. 59b, Fig. 3). Andererseits unterliegt die Übereinstimmung von *Paraprosopon* GEMM. (Taf. 59b, Fig. 4¹) mit dem carbonischen *Cyclus* (p. 282) keinem Zweifel.

Die Krusterfauna der unterdyadischen Binnengewässer (*Leaia*, *Estheria*) stimmt ebenso wie die Entwicklung der Insekten, Arachniden und Myriapoden mit der carbonischen (p. 283) überein. Geologisch wichtig ist nur das Vorkommen des Amphipoden *Gamposonyx* im Rothliegenden. Aus der oberen Dyas ist von allen genannten Formen — abgesehen von Ostracoden und vereinzelt Insecten — nichts bekannt geworden.

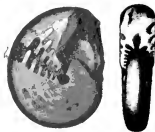
Die Ammonoiten der Dyas.

Die ältere Ammonoitenfauna der Dyas ist in reichhaltiger Entwicklung bisher nur in den Siosiokalken Siciliens und der Artastufe des Ural nachgewiesen, zu denen sich eine Anzahl zerstreuter artenarmer Vorkommen gesellen. Lückenhafter ist die jüngere, wesentlich durch das Auftreten ceratitoider Formen gekennzeichnete Fanna bekannt (Productus-Kalke und ?untere Ceratitenschichten des Pendschab; Djulfa; Waghjilga im Karakorum).

Die im Nachfolgenden aufgezählten 5 Hauptgruppen umfassen vorwiegend bezeichnende Gattungen der Dyas, nur wenige Formen sind als Vorläufer jüngerer oder Nachkommen älterer Geschlechter aufzufassen:

- I. Die von den Glyphioceratiden abgeleiteten Arcestitiden enthalten die neuartigen Gattungen *Popanoceras* (nebst den Sectionen *Hyattites* und ?*Stacheoceras*), sowie *Cyclolobus* WAAG. (= *Waagenoceras* GEMM.). Taf. 59a.

- II. Neben der vorgenannten, durch starke Lobenzerschlitzung ausgezeichneten Familie lebt die Stammgruppe fort und ist durch folgende 3 Gattungen vertreten: 1. *Gastrioceras* em. (non auct.); die durch eine vorwärts gerichtete Siphonallade gekennzeichnete Gattung ist mit Ausnahme eines vereinzelt Vorläufers dyadisch. 2. *Paralepoceras* (Zwischenform von 1 u. 3) und 3. *Agathiceras* sind ebenfalls durch vereinzelte obercarbonische Vorläufer angedeutet. Doch erreicht *Agathiceras* (mit den Untergattungen *Hoffmannia* und *Dorgoceras*) seine Blüte erst im Siosiokalk. Siehe die nebenstehende Lobenentwicklung und Taf. 59a.



Parapronorites Konincki GEMM.
Siosiokalk. Sicilien.

Originalzeichnung nach einem in dem Geologischen Institut der Univ. Wien befindlichen Exemplar.

¹ Die Figur ist versehentlich verkehrt gestellt. Die systematische Stellung von *Palaeopemphyz* GEMM. ist nicht vollkommen gesichert.

- III. Die *Medlicottiiden* (*Medlicottia*; *Prosagoceras* [= *Propinacoceras* + *Sicautes* GEMM.], *Parapronorites*, *Daraulites*) nebst der carbonischen Stammform *Pronorites* (Untercarbon — Artastufe)¹. Taf. 59 b.
- IV. Die Ceratitiden. Im oberen Theile der Dyas (Djulfakalke und oberer Productuskalk) erscheinen nicht selten Formen mit ceratitischen Loben, welche trachyostrake (*Xenodiscus* em.) oder glatte Oberfläche besitzen (*Hungarites*, *Otoceras*, *Xenaspis*). Es dürfte keinem Zweifel unterliegen, dass dieselben von dem unterdyadischen *Paracellites* abzuleiten sind, dessen runde Loben und vorwärts geschwungene, z. Th. rippenartig ausgebildete Sculptur als Ausgangspunkt sowohl der Ceratitiden (und Tropitiden), wie der von ersteren nicht abtrennbaren Aspiditen und Lecaniten anzusehen ist. Abgesehen von den Merkmalen der Sculptur, der auf der Aussenseite vorgewölbten Mündungsform und der Entwicklung der Sutura ist die kurze Wohnkammer den meisten² dieser Gattungen gemeinsam. Ob *Paracellites* auf das untercarbonische, durch übereinstimmende Sculptur ausgezeichnete *Pseudononismoceras* zurückgeht, kann nicht festgestellt werden.
- V. Die kleine, an *Dimorphoceras* und *Nonismoceras* anschliessende, in der Dyas durch *Thalassoceras*, *Nonismoceras* und ?*Clinolobus* vertretene Gruppe (Familie *Gephyroceratidae*), ist an sich von geringerer Bedeutung, stirbt mit *Ussuria* in den Grenzschichten von Trias und Dyas aus und kommt somit als Ausgangspunkt mesozoischer Formen nicht in Betracht.

Die Ammonoitenfauna der Dyas besteht also aus:

1. Zwei älteren aussterbenden Gruppen carbonisch-devonischen Ursprungs: Die Gephyroceratiden (*Ussuria*) erlöschen an der oberen Dyasgrenze, die Glyptocerotiden (*Gastrioceras*, *Agathiceras*) in der oberen Dyas (Djulfak).³

2. Aus zwei bezeichnenden dyadischen Gruppen, den *Medlicottiiden* (*Medlicottia*, *Pronorites*) und den *Arcestiden* (Subfam. *Popanoceratinae* *Agathiceras*, *Glyptoceras*). Die erstere erreicht ihre Blütezeit in der unteren Dyas und ist überhaupt als die spezifisch dyadische Ammonoitengruppe anzusehen. Trotz des seltenen Vorkommens in der oberen Dyas erreichen noch Ausläufer die Trias: *Langobardites* und *Sagoceras* (*Prosagoceras*) erlöschen erst in der oberen Trias der Alpen und in Californien. Die *Popanoceratiden*⁴ sind die unmittelbaren Vorläufer der jüngeren Arcestiden (und Phylloceratiden) und als Unterfamilie der ersteren anzusehen. Diese beiden Gruppen entsprechen also einer gleichmässigen Fortentwicklung desselben Stammes in zwei aufeinanderfolgenden Perioden.

3. Die Vorläufer der triadischen rauh- und glattschaligen Ceratitiden sind die jungdyadischen Formen *Xenodiscus*, *Xenaspis*, *Otoceras* und *Hungarites*, sowie *Aspidites* (incl. *Proptychites*), *Lecanites*, *Prionolobus*, *Ophiceras*, *Flemingites* u. a. aus den tieferen Ceratitenschichten.

¹ = *Prolecanitidae* ZITT. Grundz. d. Palaeont. p. 400 excl. *Prolecanites*, *Doryceras*, *Clinolobus*, *Agathiceras*, *Beloceras*.

² *Xenodiscus* soll nach WAGNER eine längere Wohnkammer besitzen.

³ Doch entwickelt sich vielleicht aus *Agathiceras*, der Zwischenform der Glyptocerotiden und Popanoceratiden, der triadische *Lobites*.

⁴ = *Cyclolobidae* ZITT. excl. *Procladocites*, *Megaphyllites* und *Monophyllites*.

Kritische Bemerkungen zur Systematik und Stammesgeschichte der Dyas-Ammoniten.

Obwohl die eingehendere Begründung der obigen Einteilung erst im systematischen Theile erfolgen kann, sind einige vorläufige Bemerkungen hier nicht zu umgehen. Denselben liegen ausgedehntere Studien an einer reichen Sammlung von Susio-Ammoniten, sowie den Originalen von KARFINSKY, BEVICH und DIENER zu Grunde.

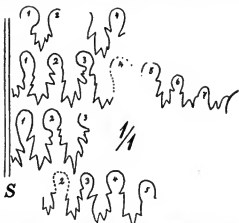
Zu I. *Papanoceras* (und *Stacheoceras*) ist direkt von *Agathiceras* abzuleiten. Die Form des Gehäuses, die Länge der Wohnkammer, der Verlauf der Sculptur (besonders bei den kugelligen *Stacheoceras* und *Agathiceras*) sind übereinstimmend, die inneren Umgänge von *Papanoceras scrobiculatum* und *Stacheoceras Darai* zeigen *Agathiceras*-Loben (Taf. 59 a). Auch das geologische Alter (*Agathiceras* erscheint im obersten Carbon, die beiden anderen Gattungen in der Artstufe) entspricht dieser Meinung. In der Auffassung von *Agathiceras* als Vorfahren der Arcestiden begegnet sich meine Anschauung durchaus mit den Ansichten HAU'S (Étude sur les Geniatis); die Erörterung der anderweitigen Verschiedenheiten kann nicht an dieser Stelle erfolgen.

Mit *Prolecanites* hat *Agathiceras* ebensowenig etwas zu thun wie *Heloceras* mit *Medicottia*. In beiden Fällen liegen wesentlich Convergencercheinungen der Loben vor, während die Grundanlage der Sculptur und die Mündungsform beider convergirenden Gattungen gänzlich verschieden ist.

Zu II. Die *Gastrioceras*-Arten der Artstufe (*G. Fedoreni*) schliessen sich z. Th. eng an ihre carbonischen Vorgänger, d. h. an *Glyphioceras* (*G. Inostranzewi*) an. Die von GEMMELLARO aus dem Sosiekalk (Calcare cen insulino t. 10) beschriebenen „*Glyphioceras*“-Arten haben mit dieser Gattung nichts zu thun: *Glyphioceras gracile* (l. c. t. 10, f. 34—38) gehört sicher zu *Nomimoceras*; die Sculptur und die Lobenform stimmt völlig mit dieser carbonischen Gattung (vergl. t. 46 a, f. 8 b, 8 f) überein; bei einer zweiten Art ist die Lobenform etwas abweichend (l. c. t. 10, f. 43) und die Bestimmung daher unsicher. (*Urolobus* (t. 59 b, f. 6) schliesst sich als Gattung oder Unterart an *Nomimoceras* an und unterscheidet sich durch das Vorhandensein zweier Hilfsloben und eines Kieles bei gleicher Grundform der Sculptur. (Die Sculptur erinnert somit am meisten an *Prolecanites*.)

Auch die Bestimmung einer zweiten altcarbonischen Gattung ist zu berichtigen. Die Zwergformen von „*Branoceras*“ *pygmaeum*, embryonale Umgänge von wenigen mm Durchmesser scheinen an der Rocca S. Benedetto nicht selten zu sein. Die seitlichen an *Branoceras* erinnernden Loben (l. c. t. D, f. 29) sind stets leidlich erhalten, die Siphonalgegend ist andeutlich; ergänzt man diese Partie in der Art, wie auf der Figur 29 bei GEMMELLARO, so ergibt sich allerdings eine zu *Branoceras* erinnernde Lobenlinie. Thatsächlich kommt, wie der Vergleich der Loben auf unserer Fig. 3 p. 473 ergibt, nur *Gastrioceras* in Betracht, zu dem „*Branoceras*“ *pygmaeum* als Jugendform von *G. sorianae* oder einer noch unbeschriebenen Art gehören dürfte.

Über die Stammesgeschichte von *Gastrioceras*, *Glyphioceras* und verwandte Gattungen hat J. PHILIP SMITH interessante entogenetische Untersuchungen angestellt, die jedoch nur zum kleineren Theil mit meinen, mehr das geologische Auftreten berücksichtigenden Schlüssen übereinstimmen. Ein



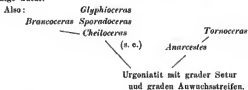
Papanoceras megaphyllum BEV. Untere marine Dyas. Tiner.

Genau Zeichnung der erhaltenen Lobenlinien

(1 Externsattel, 2, 3 Seitensättel, 4—7 Hilfsättel.)

Nach dem in Berlin befindlichen Original BEVICH's von Dr. VOLZ gezeichnet.

Anarcestes-ähnliches Stadium (P. Smith) ist fer dem Ursprung von *Glyphioceras* auch nach anderen Untersuchungen bis zu einem gewissen Grade wahrscheinlich: CLARK hat in der Entwicklungsgeschichte von *Tornoceras* und *Gephyroceras* ein Urstadium mit graden Anwachsstreifen nachgewiesen; von einem solchen ist jedoch 1. einerseits *Anarcestes* (mit einem Rückensinus und Seitenohren der Anwachsstreifen), 2. andererseits *Cheiloceras* (non! *Tornoceras*) abzuleiten. *Cheiloceras* besitzt grade Anwachsstreifen und bei einigen Formen (*Ch. planilobum*) noch eine vollkommen gradlinige Sutura.



Gegen eine Entwicklung wie P. Smith sie annimmt, *Anarcestes*—*Tornoceras*—*Prionoceras* (= *Brancoceras* ZITT. und VERF.) — *Glyphioceras* (+ *Münsteroceras*) sprechen hingegen alle Beobachtungen über Sculptur und Wehankammerlänge bei den geologisch bekannten Formen. *Brancoceras* (incl. *Prionoceras*) ist zweifellos nahe mit *Glyphioceras* verwandt, aber wohl besser als Seitenzweig anzusehen. Der Übergang von *Cheiloceras* und *Glyphioceras* vermitteln 1. die Formen von *Cheiloceras* mit spitzen Seitenleben (*Ch. orygantha*), 2. *Sporadoceras subbilobatum*. All diese Formen fehlen in Amerika gänzlich und sind aus Europa noch unvollkommen beschrieben, so dass ihre Nichtberücksichtigung bei phylogenetischen Speculationen nicht Wunder nehmen kann. Vergl. P. S. SMITH, Comparative study of palaeontogeny and phylogeny. Journ. Geol. soc. Amerika. B. V, p. 507—524; besonders The development of *Glyphioceras* and the phylogeny of the *Glyphioceratidae* Proc. Calif. Acad. scient., 3 sér., Bd. I, p. 106—128, t. 13—15 und die Nachträge zu p. 127.

Ze III.

Die formenreiche Entwicklung der *Medlicottiden*¹ verleiht der pelagischen unteren Dyas ihren besonderen Charakter, da abgesehen von den triadischen Ausläufern *Succeras* und *Longobardites* die Gruppe auf das jüngste Palaeozoicum beschränkt ist.

Von dem (bereits untercarbonischen) *Pronarites* leitet sich der Hauptstamm mit der artenreichen *Medlicottia* (Artstufe — tiefste Trias), sowie drei kurzleibigen Seitenzweigen, *Prosauceras* (= *Propinacoceras*²), *Parapronarites* (beide Artstufe und Silesitalk) und *Darcelites* (Silesitalk)³ ab. Die beifolgende auf den wichtigen Forschungen KARTENAY's beruhende Lobenentwicklung bringt den Zusammenhang klar zur Anschauung.⁴ Vergl. Taf. 69 h.

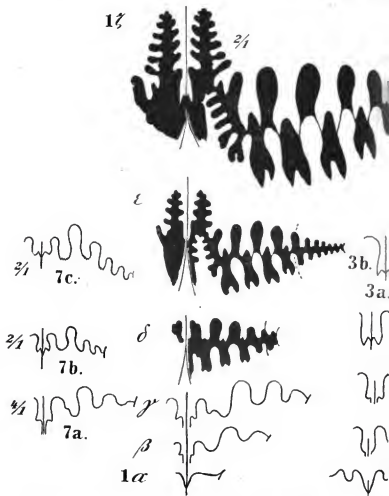
Es ergeben sich somit die nachfolgenden provisorischen Stammbäume der Arcestiden und *Medlicottiden*:

¹ Deren Zusammenfügung mit den triadischen *Pinacoceratiden* lediglich auf einer Convergenz-erscheinung beruht und die ebensowenig mit dem devonischen *Beloceras* etwas zu thun haben.

² Incl. *Sicanites* GEMM.

³ Die Stellung von *Darcelites* hat GEMMELLARO verkannt. Irregeleitet durch eine ceratitische (ganz ähnlich auch bei *Parapronarites* vorkommende) Zähnelung der Lateralloben hat der genannte Forscher die Gruppe bei den Ptychitiden untergebracht. In Wirklichkeit handelt es sich um eine ziemlich geringfügige Änderung der Proneritessculptur, deren Stadium von *Medlicottia* und von *Parapronarites* durchlaufen wird. Die Darstellung der Lobentabelle bedarf kaum einer Erläuterung. Das definitive Gehäuse ist durch ein geringes Maass von Involubilität von *Pronarites* zu unterscheiden, dem sich *Darcelites* als Subgenus oder Gruppe anschliesst. *Darcelites* gehört der Zwergfauna der Rocca di San Benedetto an und ist nur durch eine Art vertreten.

⁴ Eine direkte Zurückverfolgung von *Pronarites* in das Devon (*Ibergiceras* KARF.) ist nicht möglich. *Ibergiceras* stammt nicht aus dem oberdevonischen, sondern aus dem untercarbonischen Kalk des Iberges und ist ein *Pronarites*.



Medlicottia ist der in der Artstufe aus *Pronorites* entwickelte, bis in die unterste Trias fortlebende Hauptstamm (Mitte Fig. 1). Aus dem *Pronorites*-Stadium (Fig. 2 d) entwickeln sich in der Artstufe Seitenzweige, *Prosagoceras* (5, 8) und *Parapronorites* (3, 4), die bis in den Sesiekalk fortdauern (4). Aus einem früheren Lobenstadium von *Pronorites* (2 c) entwickelt sich im Sesiekalk der kurzlebige kleine, durch Ceratitenloben gekennzeichnete *Daradites* (7).

Fig. 1. *Medlicottia Orbignyana* Verr. α—ε Entwicklung des Sutes nach KARPINSKY. Artstufe, Ural.

Fig. 2 a—d. *Pronorites pro* KARPINSKY.

Fig. 3 a, b. *Parapronorites* N. KARPINSKY.

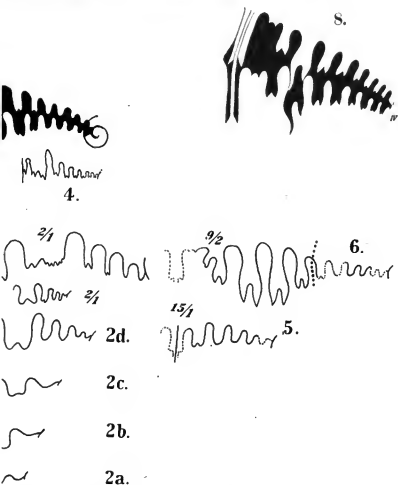
Fig. 4. *Parapronorites* KOS SIOIKALK. N. GUMEN

Fig. 5. *Prosagoceras Sakma* Nach KARPINSKY. Jung höhe. 10/11.

marinen Dyas.

(Zu Seite 476).

pronorites GEMM. und der Untergattung *Daraelites* GEMM. em. KARP.
isorites-Stadium.



permicus KARP. Ebenhöher. N.

Mojaisorici KARP. Ebenhöher.

incki GEMM. Passo di Burgio.
 LADP.

de Karpin-KV. Artstufe, Ural.
 -ndstadium bei 2 mm Windungs-

Fig. 6. *Prosopecceras Darwani* KARP. Artstufe. Darwna,
 östl. Buchara. Erwachsenes Exemplar. $\frac{3}{2}$ a.

Fig. 7 a-c. *Pronorites (Daraelites) Meeki* GEMM. em. FURCH.
 Soniakalk, Rocca di S. Benedetto. 7a $\frac{1}{1}$. Sutar des
 Taf. 59b, Fig. 11c abgebildeten Exemplars. Techn.
 Hochschule Anchen. 7b, 7c. Suturen grösserer Exem-
 plare in $\frac{2}{1}$, N. GEMMELLARO.

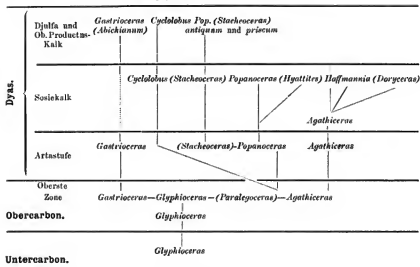
Fig. 8. *Prosopecceras Beyrichi* GEMM. sp. in $\frac{11}{1}$ a. Sutar. Er-
 wachsenes Exemplar von Passo di Burgio. (Geol. Inst.
 der Wiener Universität.)

II.

Trias.

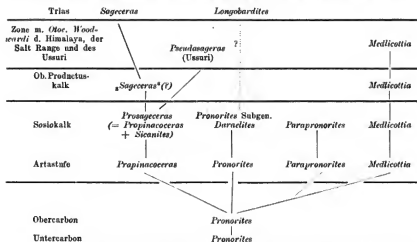
Phylloceratidae
(*Monophyllites*)

Arcestidae
(*Proarcestes*)



III.

Pinacoceras steht in keinem genetischen Zusammenhang mit *Prosmegoceras* (*Propinacoceras*). Ebenso wenig beruht die Ähnlichkeit von *Pronorites* mit *Norites* auf genetischer Verwandtschaft.¹



¹ Die dritte Gruppe, bei der eine ähnliche Convergenzerscheinung vorliegt, ist *Prolecanites* und *Lecanites*. Die Ähnlichkeit der Lobenform ist hier viel ausgesprochener als bei den oben genannten.

Zu IV.

Die Unterordnung.

Ceratitoides (ungefähr = *Trachyostraca* Mojs.) umfasst

1. *Ceratitidae* Zitt., Grundzüge der Paläontologie p. 402 + *Meccoceratidae* auct. etc.
2. *Pygmitidae* (l. e. p. 406 bei *Amaltheidae*).
3. *Tropitidae* l. e. 404.

Sämtliche hierher gehörige Formen besitzen gezähnte („Ceratiten“-) Loben und meist runde Sättel,¹ kurze Wohnkammern mit normalem Mündungsaus, sowie einfache nach vorn geschwungene Anwachstreifen, die sich vielfach zu Rippen und Kneten verstärken.

Eine Abtrennung berippter oder knotiger (trachyostraker) Formen von den glattschaligen ist bei den älteren Ceratitiden ebenso wenig möglich wie bei den altpaläozoischen Terooceren, Gephyroceren und Glyphioceren. Bei diesen letzteren gehören trachyostrake und leiostrake Arten sogar zu derselben Gattung (p. 482). Bei den Ceratitiden lassen sich Gattungen auf den Sculpturunterschied um so leichter begründen, je weiter wir in der Formationsreihe aufwärts gehen; aber eine nähere Beziehung der glattschaligen Formen zu den Arcestiden und Medicottiden verbietet sich durch die Rücksicht auf die übrigen, äusserlich wahrnehmbaren Merkmale und die Entwicklungsgeschichte der genannten Familien.

Die *Ceratitoides* lassen sich bis auf den mitteldyadischen *Paraclitites*² zurückverfolgen: *Paraclitites* besitzt eine mit jenen übereinstimmende Sculptur, die bei keiner anderen Ammonoengruppe wiederkehrt, die Sutura zeigt dieselben Grundelemente, wie bei den älteren Ceratitiden (*Xenodiscus* und *Otoceras*). Nur ist die allerdings noch nicht abgebildete Wohnkammer länger als bei den jüngeren Ceratitiden, was jedoch durch die evolutive Form des Gehäuses bedingt ist.

In der Dyas sind jedenfalls die rauhschaligen Ceratiten von den glattschaligen Ptychiten noch nicht geschieden; auch in der untersten Trias (Skythische Stufe) ist eine Trennung kaum wahrnehmbar. Diese älteren Stammformen der Gattung *Pygmites* und der Ceratitiden (+ Tropitiden) könnten als Xenodiscinen zusammengefasst werden. Hierher gehören:

Xenodiscus (mit etwas längerer Wohnkammer)
Xenaspis
Otoceras
Hungarites.

Xenodiscus (*X. plicatus*) mit ceratitenartigen kräftigen Kneten auf der inneren Seitenfläche sowie *Tirolites* (ein Laterallobus) mit ähnlicher Sutura und Kneten auf der Aussenfläche bilden den einen Zweig, von dem manche Autoren die jüngeren Ceratiten ableiten. Letztere besitzen 2 Lateralloben und Hilfsloben, sowie Kneten innen und aussen. *Xenodiscus* erinnert durch evolutive Gestalt (ebenso wie *Xenaspis*) an die älteren *Paraclitites*.

Xenaspis, der Ausgangspunkt der glatten Ceratitiden (Fam. *Pygmitidae*) besitzt schwächere nach vorn gebogene, an Ptychiten erinnernde Falten und stimmt in dieser Hinsicht mit *Otoceras* und *Hungarites* überein; einen äusserlichen Unterschied bildet die mehr evolutive Form. Die Sutura

aber die Sculptur und die Mündungsform ist abweichend. *Prolecanites* hat auf der Aussenseite einen tiefen von Ohren begrenzten Ausschnitt der Sculptur und Mündung, bei *Lecanites* ist — übereinstimmend mit den Ceratitiden — die Sculptur auf der Aussenseite vorgewölbt (cf. Mojs.). Sofern die obigen drei Namen interessante Convergenzerscheinungen altersverschiedener Gruppen und keine phylogenetische Verwandtschaft ausdrücken sollen, sind dieselben passend gewählt. Übrigens drückt sich Mojsowitsch hinsichtlich des direkten genetischen Zusammenhanges sehr vorsichtig (Ucephalepoden der mediterranen Triasprovinz p. 199 bezw. 201). Eine von HAUU vermutete genetische Ableitung

Lecanites — lässt sich aus meinen Beobachtungen nicht folgern.
Nonianoceras

¹ Nur bei einigen ursprünglichen (*Paraclitites*, *Beneckeia*, *Badiotites*, *Lecanites*) oder Rückschlagsformen (*Proorites*) sind auch die Loben glatt, während bei den jüngeren Tropitiden und bei *Pygmites* auch die Sättel gezackt werden.

² Dessen wenig veränderter Ausläufer *Badiotites* ist. Vergl. Taf. 59b, Fig. 13.

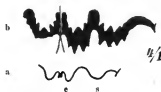
von *Xenaspis* und der beiden Djulfa-Formen *Otoceras* und *Hungarites* zeigt nur geringe Verschiedenheiten.

Von *Hungarites* dürfte *Aspidites*? (und weiter *Pygites*), sowie nördwärts *Prionolobus*, *Ophiceras* und *Flemingites* abzuleiten sein.

V.

Die *Gephyroceratidae* (Unterfamilie *Thalassoceratinae*) zeigen im Carbon die Sculptur und Mündung mit tiefem von Ohren begrenzten Ausschnitt, Sator mit grossem runden Lateralsattel, Extern- und Seitenlobus, welche beide die Entwicklung von einem einspitzigen zu zwei-, drei- und mehrspitzigem (Ammoniten)-Stadium durchlaufen.

Der Vermuthung von E. HAUG, dass *Nomisoceras* auch der Ausgangspunkt der Ceratiten und der glatten Formen mit ceratitischen Loben (*Paralecanites*, *Gyronites*, *Lecanites*) sei, steht die gänzlich abweichende Sculptur entgegen. Die Kürze der Wohnkammer, der Verlauf der Sator und das geologische Alter lassen eine Ableitung der ceratitischen Formen von *Nomisoceras* wohl denkbar erscheinen. Aber die Sculptur und der Mündungsrand schwingt sich bei *Ceratites*, *Lecanites* und *Paracelmites* (= *Paralecanites*) auf der Aussenseite noch vor, während dieselben bei *Nomisoceras* etc. eine von Ohren begrenzte tiefe Ausbuchtung erkennen lässt. Ceratiten und Lecaniten etc. sind vielmehr von dem in der unteren Dyas auftretenden *Paracelmites* abzuleiten.



Thalassoceras Gemmellaro KAMP. Artstufe von Artinsk. Sator.

a. Junges Exemplar (von 1,3 mm Durchmesser), $\frac{1}{2}$.

b. Erwachsenes Exemplar $\frac{1}{1}$.

e Extern-, s Seitenlobus.

Ussuria DIX. (Ussuri-Golf)

Stratigraphie	Ussuria DIX. (Ussuri-Golf)	
	<i>Nomisoceras</i> (= <i>Glyphioceras</i> GRU.)	<i>Thalassoceras</i> (2te Gruppe)
Stenokalk		
Artn	(Nicht nachgewiesen)	<i>Thalassoceras</i> 2te Gruppe (nummulitisch)
Obercarbon	<i>Nomisoceras</i> (Subgenus: <i>Anthracoeras</i> ¹; ohne Spiralsculptur, mit einem zweiten Laterallobus)	<i>Thalassoceras</i> (1. Gruppe: 2 bis 3 spitzige Loben)
Untercarbon	<i>Nomisoceras</i> evolut und involut, Externlobus 1 spitzig. Besonders in der oberen Zone	<i>Dimorphoceras</i> (Involut, Externlobus 2 spitzig, Laterallobus 1 spitzig. Besonders in der unteren Zone)
Oberstes Devon (Clymenienkalk)	Lücke	
Mittleres Unteres	Oberdevon (letztes <i>Gephyroceras</i> im mittleren Oberdevon; Ableitung der Lobenlinie von <i>Nomisoceras</i> aus dem Jugendstadium von <i>Timanites</i>).	

¹ Auf der Tafelerklärung (Taf. 46 b, Fig. 6) ist versehentlich *Dimorphoceras* statt *Nomisoceras* gedruckt.

Zur Einteilung und Stammesgeschichte der Ammoneen.

Bei der Classification der Ammoneen eines bestimmten geologischen Abschnittes sind alle wahrnehmbaren Merkmale in Betracht zu ziehen und auf ihre Veränderlichkeit hin zu untersuchen. Die Hervorhebung eines einzigen Merkmales (Brevidom—Longidom; angustisellat—latisellat; leiosttrak—trachyostrak; convexe—concave Kammerscheidewände, Gestalt der Sutura) wird niemals den wesentlich complicirteren genetischen Verhältnissen gerecht, sondern schafft nur einen mehr oder weniger bequemen Schlüssel zum Bestimmen. Für den letzteren Zweck leisten die alten Begriffe goniatitisch, ammonitisch, ceratitisch oder auch leiosttrak—trachyostrak bessere Dienste als diejenigen, welche auf die Länge der Wohnkammer, die ontogenetische Entwicklung der Sutura und der Siphonaldule Bezug nehmen. Die erstgenannten Merkmale sind leicht, die letzteren schwer oder in den meisten Fällen gar nicht wahrnehmbar.

Im Gegensatz zu der dichotomen Eintheilung eines „Schlüssels“ lassen sich im ganzen Verlauf der im Nebenstehenden übersichtlich zusammengestellten Ammoneen-Entwicklung stets mehrere, meist 3—4 Hauptgruppen verschiedener Abstammung unterscheiden. Stets besitzen ein oder zwei *Hauptstämme* (Unterordnung) massgebende geologische Bedeutung und formenreiche Entwicklung, während die übrigen als die letzten Ausläufer aussterbender Gruppen (*Sageceras* in der Trias, *Arcestes* im Rhaet) oder als die Vorläufer jüngerer Stämme aufzufassen sind (*Psiloceras* im Rhaet,¹ *Phylloceras* im Hallstätter Kalk, *Agathiceras* im oberen, *Pronotites* im unteren Carbon, *Paracellites* in der unteren Dyas). Überall — bei wirbellosen Thieren sowohl wie bei den mesozoischen Reptilien und tertiären Säugethieren — erfolgt das Erlöschen älterer Gruppen (Ordnungen und Familien) gleichzeitig mit dem Entstehen neuer Zweige. Es sei diese Thatsache hier gegenüber der Anschauung STEINMANN's hervorgehoben, der die Fortdauer fast aller systematischen Gruppen behauptet. Der neueste von A. HYATT berrührende Classificationsversuch der Cephalopoden weicht von der nachfolgenden Übersicht im Einzelnen und in der Gesamtaufassung so weit ab, dass eine Besprechung der Verschiedenheiten erst nach Ersehen der vollständigen Bearbeitung des amerikanischen Forschers zweckmässig erscheint. Vergl. Textbook of Palaeontology bei K. ZITTEL, Transl. by Ch. EASTMAN. Cephalopoda, p. 502—592, London 1900 und die vortreffliche Kritik von E. HAUG, Revue critique de Paléozoologie, Paris 1900, p. 78.

An Mannigfaltigkeit sind die dyadischen Ammoneen mit ihren drei oder vier vollkommen neuartigen Gruppen den carbonischen Formen durchaus überlegen.

¹ Vertreter durch das Subgenus (?Section) *Mojavites* Foss.

IV	Kreide	$\left\{ \begin{array}{l} 2-4. \textit{Phylloceratidae}, \textit{Lytoceratidae}, \textit{Amaltheidae}. \\ 1. \text{Ausläufer der } \textit{Aegoceratidae}: \textit{Stephanoceratinae}, \textit{Cosmocera-} \\ \textit{tinae}, \textit{Haploceratinae}, \textit{Perisphinctinae}. \end{array} \right.$
	Jura	$\left\{ \begin{array}{l} 2-4. \textit{Phylloceratidae}, \textit{Lytoceratidae}, \textit{Amaltheidae}. \\ 1. \textit{Aegoceratidae} \text{ mit sämtlichen 8 Unterfamilien}. \end{array} \right.$
III	Trias	$\left. \begin{array}{l} \textit{Leiostraca} \text{ em.} \\ \text{(excl. } \textit{Sagoceras} \\ \text{u. } \textit{Meekoceratidae}) \end{array} \right\} \left\{ \begin{array}{l} 7. \textit{Phylloceratidae} \text{ (Vorläufer)} \\ 6. \textit{Arcositidae} \text{ und} \\ 5. \textit{Pinaoceratidae} \\ 4. \textit{Cladiscitidae} \text{ (isolirte Gruppe)}. \end{array} \right.$
		$\left. \begin{array}{l} \textit{Ceratitoides} \\ \text{emend.} \end{array} \right\} \left\{ \begin{array}{l} 3. \textit{Ptychitidae} \\ 2. \textit{Ceratitidae} \text{ und 2a } \textit{Tropitidae} \end{array} \right.$
Aussterbende Gruppe: 1. <i>Medlicottiiden</i> (<i>Sagoceras</i>)		
II	Dyas	$\left\{ \begin{array}{l} 5. \textit{Ceratitidae} \text{ (Obere Dyas; Vorläufer)} \\ 4. \textit{Medlicottiidae} \text{ (} \sqrt{\textit{Pronoritinae}} \text{)} \\ 3. \textit{Arcositidae} \text{ (Unterfam. } \textit{Popanoceratinae}) \\ 2. \textit{Cheiloceratidae} \text{ (aussterbend)} \\ 1. \textit{Thalassoceratinae} \text{ (aussterbend)} \end{array} \right.$
	Carbon	$\left\{ \begin{array}{l} 4. \textit{Cheiloceratidae} \text{ (} \textit{Glyphioceratinae}) \\ 3. \textit{Pronoritinae} \text{ (Vorläufer)} \\ 2. \left\{ \begin{array}{l} \textit{Prolecanitinae} \text{ (aussterbend)} \\ 1. \textit{Thalassoceratinae} \end{array} \right\} \end{array} \right.$
I	Devon	$\left\{ \begin{array}{l} 4. \textit{Clymenidae} \\ \text{(sofort erlöschend)} \\ 3. \textit{Cheiloceratidae} \\ 2. \textit{Gephyroceratidae}^1 \text{ (und } \textit{Prolecanitinae}) \\ 1. \textit{Aphyllitidae}. \end{array} \right\} \text{ Nur im obersten Devon}$

¹ Hierher auch *Beloceras* und *Timanites*; zu letzterer Gattung gehört die unterdevonische Form aus den Karnischen Alpen. Im Vergleich zu der früheren Übersicht p. 126 zeigt die vorstehende auf Grund der neueren Arbeiten von HOLZAPFEL und CLARKE einige Vereinfachung.

Man könnte aus der Betonung, die ich selbst bei der Eintheilung der devonischen Goniatiten der Sculptur zu Theil werden liess, den Schluss ziehen, dass dieses Merkmal bevorzugte Bedeutung besitzt. Doch beweist die eigenthümliche Convergenz von *Glyphioceras reticulatum* (Obercarbon), dass ein im Devon constantes Merkmal bereits in der folgenden Formation fließend werden kann. Lebenslinie, Spiralsculptur und Form des Gehäuses lassen keinen Zweifel über die Gattungsbestimmung von *Glyph. reticulatum* aufkommen. Jedoch zeigt die Anwachsstreifung und die Form der Mündung eine unverkennbare Annäherung an die im Devon aussterbenden Tornoceren aus der Gruppe des *Torn. undulatum* und *auris*.

Das wäre ein Fall von Convergenz ungleich alter Formen, deren bekanntester das Ceratitenstadium der cretaceischen Amaltheen oder die Goniatitenform des jurassischen *Agassioceras* und *Morphoceras* darstellt. Am eigenthümlichsten ist die Ausbildung einer mit *Ceratites semipartitus* beinahe

Dyadische Mollusken, Brachiopoden und Korallen.

Über die Gastropoden der Dyas ist, abgesehen von der Häufigkeit von *Bellerophon* in manchen oberen Grenzhorizonten wenig zu bemerken. Der einzige Fundort der unteren Dyas, an welchem diese Thiergruppe artenreich auftritt, ist der Fiume Sosio in Sicilien.

Die Zweischaler der Dyas schliessen sich in den unteren Horizonten dem Carbon² an. Eigentümlich sind nur in den australischen Driftablagerungen die Gattungen *Leiongulina* und *Maconia*, sowie die ersten echten Pecten-Arten.

übereinstimmenden altriodischen Form der Salzkette, welche WAGNER als *Aspidites superbus* beschrieben hat.

Nur die möglichst gleichmässige Berücksichtigung aller Merkmale ood des Ausmasses ihrer allmählichen Veränderungsfähigkeit giebt eine natürliche Grundlage für Systematik und Stammesgeschichte. Dabei kann der Werth desselben Merkmales in verschiedenen Perioden ganz verschieden sein:

Die Dyas-Ammonoiten besitzen in ihrer Suture scharfe und gute Unterscheidungsmerkmale, bei den Devon-Goniatiten führte die einseitige Berücksichtigung der Lobenlinie zum Zusammenwerfen heterogener Dinge (*Cheiroceras*—*Tornoceras*). Bei einigen Gruppen bildet die Länge der Weinkammer ein scharfes Unterscheidungsmerkmal, bei *Tornoceras*, *Aphyllites*, *Anaceras* und *Brancoceras* finden sich gerade in Bezug auf die Längsdehnung der Wohnkammer alle möglichen Übergänge.

Die Jura- und Kreide-Ammonoiten mit ihrer veränderlichen und mannigfachen Ornamentirung erscheinen die vorwiegende Betonung der äusseren Sculptur und der Mündungsräume.

Am wenigsten beständig ist bei den älteren Goniatiten die Form der Einrollung: eingerollte und aufgerollte, eng- und weitgebohlte Formen lassen sich z. B. bei *Agathiceras*, *Tornoceras*, *Cheiroceras* und *Prolecanites*, in besonders variabler Weise aber bei *Gephyroceras* („*Muticoceras*“) unterscheiden. Diese Formen wurden von mir je zu demselben Genus gerechnet, wenn sie durch Übergänge verknüpft sind und die Gesamtheit der übrigen Merkmale gemeinsam haben. Bei jüngeren (Jura) Ammonoiten wird innerhalb kleiner Gruppen die äussere Form im allgemeinen constant.

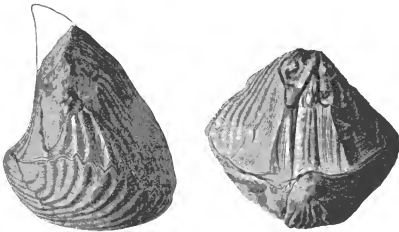
Ganz unbestimmt ist bei palaeozoischen Goniatiten die Anbildung „leistraker“ und trachystraker Berippung. Zu jeder grösseren Gattung gehört stets je eine kleine, eine oder wenige Arten umfassende Gruppe, bei der die Anwachsstreifen sich zu Rippen, selten zu knotenartigen Bildungen verstärken. So gehört „*Sandbergeroceras*“ zu *Prolecanites*, „*Pericelus*“ zu *Glyphioceras*, die Gruppe des *Gephyroceras tuberculatum* neben *G. calcularum*, die Gruppe des *Tornoceras auris* neben *Tornoceras simplex* u. s. w. Es bedarf keiner Darlegung, dass diese Goniatiten mit den trachystraken Ceratiten nichts zu thun haben. Aber noch sonst ist der systematische Werth dieser devonischen, rauh- und glattschaligen Gruppen unbedeutend, da dieselben stets nach kurzer Lebensdauer erlöschen und ausser den Sculpturmerkmalen keine Unterschiede zeigen. Nur die Gonioclymenien (*G. subarmata* und *speciosa*) besitzen neben ihrer Berippung auch hebbende Unterscheidungsmerkmale der Suture.

Der Verfasser befindet sich, wie aus den oben gebrachten Namen hervorgeht, in bewusstem Gegensatz zu der unglücklichen Zerplitterung der Gattungsbezeichnungen. Der einzige Vortheil derselben liegt, wie NEUMAYER hervorhob, in der Nothwendigkeit einer möglichst scharfen Bestimmung einer neuen Form, die bei engbegrenzten Formengruppen (z. B. *Grammoceras*, *Microdoceras*) schwerer ist als bei grösseren Gattungen (*Harpoceras*, *Aegoceras*). Dieser Vortheil wird aber zum mindesten aufgewogen durch die Unverständlichkeit, welche jeden Nichtspecialisten von der Lectüre oder Kenntnissnahme derartiger Namensverzeichnisse abschreckt. Da die Namen existiren und z. Th. auch sachlich begründet sind, können die letzteren zur Bezeichnung von Gruppen oder Untergattungen in rein palaeontologischen Übersichten beibehalten werden, etwa derart, dass man einen Untergattungsnamen zwischen Gattungs- und Speciesbezeichnung, einen Gruppennamen hinter letzteren in Klammer beigefügt. Bei geologischen Übersichten zusammenfassender Art ist die Untergattungs- oder Gruppenbezeichnung besser fortzulassen. Wollte man fortfahren, die Namen der kleinsten systematischen Gruppen als alleinige Gattungsbezeichnung beizubehalten, so würde der Augenblick nicht fern sein, wo zwischen den verschiedenen palaeontologischen Spezialgebieten die Verständigung anführt.

² Z. B. *Anthracosta* im deutschen Rothliegenden.

Im Zechstein überwuchern allmählich die Zweischaler die bis dahin herrschenden Brachiopoden. Besonders häufig sind von neuen Gattungen oder Untergattungen *Schizodus* (Subgen. von *Myophoria*), *Pseudomouotis* und *Bakewellia* (zu *Gervilleia*), seltener *Prospodylus*; bezeichnend sind ausserdem Arten von *Astarte* und *Pleurophorus*. Bemerkenswerth sind die an der oheren Grenze der Dyas in Russland vorkommenden Unioniden mit pseudo-taxodonte Bezahnung (*Palaeomutela* u. s. w.).¹

Die Brachiopoden und Fusulinen der marinen Dyas (Artstufe, unterer Productuskalk, Siosiokalk) bilden die kaum veränderte Fortsetzung der Fauna der Schwagerinenstufe; sowohl die Zahl der verschwindenden Gattungen als die der



Geyerella Gemmellarot SCHRELLW. Siosiokalk (Calcare grosselane, Pietra Salemene). Orig. SCHRELLWIEN'S.
Neue berichtigte Zeichnungen des Originalexemplars.

neu auftretenden Formen (*Chonetella*, *Oldhamina*² im Productuskalk, *Scacchinella*, *Megarhynchus*, *Tegulifera*, *Geyerella* im Siosiokalk) bewegt sich in engen Grenzen. Jedoch erreichen viele Formen, von denen vereinzelt Vertreter in der Schwagerinenstufe erscheinen, erst in der Dyas ihre Hauptentwicklung, so vornehmlich *Richt-hofenia*, *Lyttonia* und *Anlosteges*. Die genannten auffallenden Formen sterben rasch wieder aus und fehlen z. B. im Djulfakalke vollständig, in dem auch keine Spur von Fusulinen mehr zu beobachten ist.

Dass die Brachiopoden der nordischen Binnenmeere (Zechstein) nur die verarmten Überreste der Fauna des offenen Meeres sind, wurde schon von DAVIDSON zu einer Zeit betont, als man nur die Brachiopoden des Kohlenkalkes kannte.

¹ Deren Zurechnung zu den Ctenodontiden (d. h. echten Taxodonten) nicht aufrecht zu erhalten ist.

² Die Zugehörigkeit von *Oldhamina* und *Lyttonia* zu den Brachiopoden erachtet NORTON als unerwiesen.

Jetzt lässt sich diese Anschauung bis in alle Einzelheiten nachweisen. Besonders bezeichnend ist u. a. *Spirifer rugulatus* KUTORGA, der einer der bezeichnendsten Brachiopoden des russischen Zechsteins (Kama) ist, aber in Deutschland fehlt. Der Vorfahre von *Sp. rugulatus*, eine durch höhere wenig gekrümmte Area unterschiedene Mutation (*mut. arctica* FRECH), wurde bisher nur im obersten Carbon Spitzbergens gefunden. (Taf. 63, Fig. 4.)

Bemerkenswerth ist das allmähliche Aussterben der Brachiopoden in den meisten Gebieten, in welchen die oberen Grenzschieben des Palaeozoicum nichtmarin d. h. brakisch entwickelt sind; diese Beobachtung machen wir, abgesehen von dem nord-europäischen oberen Zechstein und der Tatarischen Stufe in dem oberen Productuskalk des Pendsebab, in Kansas, Utah und der Prince Edwards Insel.

Die Korallenfauna der Dyas ist sowohl in den Binnenseefacies wie in den pelagischen Ablagerungen durch einen erheblichen Rückgang der Formen gekennzeichnet. Nur zum Theil dürfte der Grund dieser Erscheinung in dem Fehlen eigentlicher Korallenfacies liegen; denn die mittleren und oberen Productuskalke der Salzkette sind nicht gerade arm an massigen, riffbildenden Formen. Im wesentlichen bereitet sich die vollkommen neuartige Gestaltung der triadischen Korallen schon am Ende des Palaeozoicum unzweideutig vor. Von Pterokoralliern sind nur *Zephrentis*, *Anplexus* und *Lonsdaleia* übrig; neu ist die kurzlebende Zechsteinform *Polycoelia*. Unter den Tabulaten sind die Syringoporidae erloschen, unter den Favositen ist *Favosites* selbst (= *Pachypora* auct. non LINDSTR.), sowie *Michelinia* übrig geblieben, die noch in die Trias hinaufgehende *Arasopora* neu; von den Menticuliporidae ist *Geinitzella* und *Stenopora*, von den Fistuliporidae *Fistulipora*, **Dybowskiella* und **Hexagonella* vorhanden.

Die dyadischen Stromatoporidae sind durchgängig neu und deuten bereits auf die jüngeren Hydrozoen hin: *Disjectopora*, *Carterina*, *Irregularopora* und *Circopora*.

Sehr bezeichnend ist die Thatsache, dass die üppige, in den Zechsteinriffen culminierende Entwicklung der Bryozoen schon im Oberearbon, besonders dem russischen vorbereitet ist; die unterearbonische Bryozoenfauna entspricht in ihrer spärlicheren Entwicklung noch durchaus der der älteren palaeozoischen Formationen.¹ Die Gattungen *Fenestella*, *Polypora*, *Phyllopora*, *Thamaiscus* und *Synocladia* sind im Oberearbon und in der Dyas verbreitet; nur *Archimedes* (oder *Archimediopora*) ist hezeichnend earbonisch.

In der russischen Artstufe leben die earbonischen Fusulinen (*F. longissima*) und Schwagerinen fort und sollen auch noch in der sicilischen Dyas („Calcare con fusuline“ des Fiume Sosio) vorkommen.²

Neu ist für die Dyas das Auftreten der Vorläufer von Milioliden, Rotalien und Calcarinen.³ Ganz eigentümlich ist die Foraminiferenfauna des Zechsteins und besonders die des Bellerophonkalkes, die jedoch keine ausgesprochenen mesozoischen Typen enthält.

¹ Eine zureichende Begründung für die Zurechnung der Menticuliporidae etc. zu den Bryozoen ist nach Ansicht des Verfassers noch nicht gegeben.

² Ausser dieser allgemeinen Bezeichnung „calcare con fusuline“ ist nichts über Arten oder Gattungen bekannt geworden.

³ Nach mündlicher Mittheilung E. SCHÜLLWIEN'S.

Die Flora der Dyas.

Die Flora der Dyas gliedert sich in zwei scharf getrennte geographische Gebiete — die Nordhemisphäre und die Südhemisphäre — oder genauer 1. die arktischen Continente und 2. den indo-afrikanischen Continent (Südbrasilien und Südafrika; Ostindien, Altai). Dieselben besitzen wenig Berührungspunkte und gleichen sich auf dem Wege des Austausches erst in der mesozoischen Aera aus.

Die Kennzeichen der nördlichen, eng mit der Carbonflora zusammenhängenden Dyaspflanzen¹ sind oben p. 281 erörtert worden. Das Verbreitungsgebiet der nördlichen Flora erstreckt sich sicher vom Ural (Artastufe) über Europa bis in das östliche Nordamerika (Pennsylvania). Locale untergeordnete Verschiedenheiten sind überall wahrzunehmen. Durchgebende Unterschiede wie im Süden scheinen dagegen zu fehlen.

Von den im Folgenden abgebildeten Formen gelten die nachstehend aufgezählten als ausschliesslich dyadisch (die Dyasgattungen sind durchschossen gedruckt): *Odontopt.* (*Neurocallipteris*) *gleichonoides*, *Callipteris conferta* (= *praelongata*), *Naumanni*, *Callipteridium gigas*, *Taeniopteris multinervia* und *plauensis*, *Neuropteris Planchardi* ZEILL. und *pseudo-Blissi* POT., *Pecopt.* (*Scolecopteris*) *elegans* ZENK., *Pecopteris Beyrichi* WEISS (Mittel-Rothl.), *pinnatifida* (GUTB.) SCHM., *Sphenophyllum Thoni* MATH., *Walchia piniformis*, *filiciformis*, *Zamites carbonarius* ZEILL., *Cordaites laevis*, *Baiera digitata*, *Dicranophyllum gallicum* ZEILL. sowie die (nicht abgebildete) Psilotacee *Gomphostrobus bifidus* (E. GEIX.) ZEILL.

Schon im Carbon vorhanden, aber vornehmlich dyadisch sind *Odontopteris* (*Mizoneura*) *obtus* WEISS, *Neuropteris cordata* BRGT., *Pecopt. hemitelioides* BRGT. und *pseudoreopteridia* POT. Alle genannten Arten sind in dem europäischen und z. Th. (*Callipteris*, *Walchia*) auch in dem amerikanischen Rothliegenden weit verbreitet.

Die Flora des Kupferschiefers ist abgesehen von dem Erscheinen der Voltzien (*V. hexagona*) und Ullmannien als ein unter dem Einfluss des ungünstigen Klimas verarmter Rest der Rothliegendpflanzen anzusehen, von denen *Taeniopteris* (*T. Eckartii*), *Baiera* (*B. digitata*) *Ullmannia* (*U. phalaroides*) weiterleben.² *Callipteris* (*Call. Gopperti* MSTR. sp. = *Pecopteris Schwedcsiana* auct.) fehlt auch hier nicht.

Die Landpflanzen, welche vor und nach der dyadischen Eiszeit in der Südhemisphäre (Taf. 65) lebten, haben häufig zur Entstehung von Kohlenflözen Veranlassung gegeben und gehören einer zeitlich und räumlich mannigfach entwickelten Flora an, die gewöhnlich nach dem grossblättrigen Farn *Glossopteris* benannt wird. Doch ist hervorzuheben, dass die Blütezeit der Gattung *Glossopteris* erst nach dem völligen Verschwinden der Gletscher während der Trias eintrat.

¹ Die wichtigeren Leitformen, deren Darstellung auf Taf. 58—60 der Ergänzung bedarf, sind in den folgenden vier Texttafeln zusammengestellt.

² PORONIS, Pflanzenpaläontologie p. 380. Die 1. a. vorgeschlagene floristische Dreigliederung des Rothliegenden (VII Flora = Commeny, Stockholm, Brive, Oppenau; VIII = Cusel, Lebach, Manachar und untere Goldlanterer Sch., IX = obere Goldlanterer, Oberhöfer und Tambacher Schichten) beruht auf botanischen Unterschieden, die im Nachstehenden wesentlich auf die verschiedene geographische Entwicklung der einzelnen kleinen Becken zurückgeführt werden.



Callipteridium gigas
v. GUTHRIE (sp.)
Unterrothliegendes. Com-
mentry. N. R. ZEILLER.



Callipteridium
gigas (v. GUTHRIE)
WEISS mit *Spirorbis* (*Micro-*
conchus) *pauil-*
lus (MARTIN)
EICHWALD =
Spirorbis carbo-
narius BÄNKE
= *Gymnoetes*
Ammonia GÖR-
PERT. Unter-
rothlig. Oppenau.
N. STREZEL.



Callipteris conferta BAUT.
Bituminöser dunkler Kalk
des Mittelrothliegenden von
Braunau in Böhmen.

Die ausgeführten Fiedlerchen
stimmen oben mit *Callipte-*
ris praelongata E. WEISS,
unten mit *C. conferta* über-
ein. Das Stück ist das Ori-
ginal von *Callipteris tenui-*
folia GÖRER, und beweist
nach POTONIÉ die Zugehörig-
keit aller Species aus der
Verwandtschaft von *Callip-*
teris conferta zu einer Art,
MUS. Breslau.



Callipteris conferta BAUT.
— *praelongata* WEISS.
Unteres Rothliegendes von
Wurgwitz, Planenscher
Grund.
NACH STREZEL.



Callipteris Naumannii
(GUTHRIE) STREZEL.
Unterrothliegendes (Mans-
bacher Schichten).
Nördlich vom Karl-August-
Schacht bei Kammerberg,
an der Strasse nach
Stützerbach.
Vergr. N. POTONIÉ.



Fig. a. *Pecopteris pinnatifida* (Guttaria) Schimper ex parte.

Fig. b. *Pecopteris pseudoreopteridia* Potonié. Unterrothligendes (Manebacher Sch.) Ilmenau. Nach Potonié.



Fig. c u. d. *Pecopteris Beyrichi* Weisk.

Lebacher Sch. N. Weiss.



Neuropteris Planchardi Zeiller. Unterrothlig. (untere Gehrner Stockheimer Sch.) Stockheim, Karolinentroße. Nach Potonié.

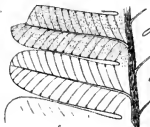
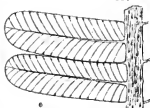


Fig. e—g. *Pec. hemitelioides* Baer. Fig. e. Unterrothligendes d. Windberg Schachtes. Plauenscher Grund. Fig. f. Mit Wassergruben. Plauenscher Grund. N. Sternkel. Vergl.

Fig. g. Unterrothligendes zwischen Zankerode u. Worgwitz. $\frac{1}{3}$. N. Sternkel.



Neurocallipteris gleichenioides (Stur) Sternkel. Unterrothl. Holzplatz von Oppenau (Schwarzwald). N. Sternkel.



Neuropteris pseudo-Blissi Pot. Unterrothligendes (Manebacher Sch.) Ilmenau. Nach Potonié.



Neuropteris cordata Brong. Unterrothl. (Manebacher Sch.) Blauer Stein am Mordfleck h. der Schmücke. N. Potonié.



a, b. *Odontopteris (Miconia) aldusa* BAUMON.
mittl. u. unteres Rothlieg.
Schwarzenbach h. Birken-
feld. N. WEISS.



Taeniopteris planensis
STERZEL N. STERZEL.
(Verwandt oder ident mit
T. jejunata GRAND'ESTR.).
Unterrothliegendes v. Klein-
Opitz, Sachsen.



Taeniopteris multinervis WEISS
aus dem mittl. Rothliegenden von Lebach.
Ein Stück der einen Hälfte des Wedels;
 $\frac{1}{2}$ nat. Grösse. Nach WEISS.



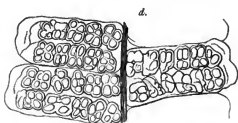
Baiera digitata (BAUMON.)
BECK. Mittelrothl. (Geld-
lauterer Sch.) — Kniekreche
(von FALTSCH leg. 1876).
N. POTOMK.



Sphenophyllum Thoni MANN.
var. *minor* STERZ.
Unterrothliegendes, Holzplatz von
Oppenau (SCHWARTZW.). N. STERZEL.



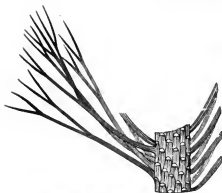
b.



d.

Scoleopteris elegans ZENKER. Mittelrothliegendes.

Fig. a ein Stück der Oberfläche einer mit den zusammengerollten Fiederblättchen erfüllten Hornsteinplatte in natürlicher Grösse. Fig. b ein einzelnes Fiederblättchen in natürlicher Grösse. Fig. c ein einzelnes Fiederblättchen, $4\frac{1}{2}$ mal vergrössert. Fig. d ein Stück eines Wedels im Dünnschliff in zehnfacher Vergrösserung. Kopie nach STRASSBURGER. Die vier- oder fünfkapseligen Fruchthäufchen (Sori), welche fast die ganze untere Fläche der Fiederblättchen einnehmen, sind durch den Schnitt des Dünnschliffs quer durchgeschnitten.



Diceranophyllum gallicum GRAND' EURY

aus dem dyadischen Kohlengebirge von St. Étienne.
Ein Stück eines kleinen Stämmchens mit den Blättern.
Nur die Blätter auf der linken Seite sind vollständig
gezeichnet. Kopie nach GRAND' EURY.



Cordaites laevis GRAND' EURY

a. d. dyad. Kohlengebirge v. St. Étienne. Ideale
Ansicht a. kleinen Stammes m. männl. (links)
u. weibl. (rechts) Inflorescenz, dem unteren
Ende mehrerer Blätter und einer Blattnarbe.
Kopie nach GRAND' EURY.



Walchia filiformis STREAS.
Im Unter- und Mittelrothliegenden.

Fig. 1. Jüngere Zweige.

Fig. 2. Einzelne Blättchen etwa 6fach vergr.
N. GOEFFERT,
a Mittelnerven. b Seitennerven.



Zamites carbonarius RENAULT em.
POTONIE.

Unterrothlieg. (untere Gehrrener
- Stockheimer Schichten).
Ein beblättertes Sprossstück,
Stockheim. N. POTONIE.

Die enge Verknüpfung der Schichten glacialen Ursprungs und der Kohlenbildungen weist darauf hin, dass diese Kohlenpflanzen nicht ein tropisches, sondern ein gleichmässiges oder ein kühles, jedenfalls aber ein sehr feuchtes Klima (etwa wie in Südchile und im Feuerland) beanspruchten.

Im Carbon und im Jura ist weder *Glossopteris* noch *Gangamopteris* irgendwo mit Sicherheit nachgewiesen. Allerdings sei betont, dass die geologischen Verhältnisse in Südamerika, Neuseeland, Tasmanien und im Pendschab theils an sich controvers, theils mit den besser erforschten Gebieten (Ostindische Halbinsel, N.S.-Wales, Victoria und Queensland) nicht in Einklang zu bringen sind.

Gangamopteris ist vornehmlich dyadisch, *Glossopteris* erscheint gleichzeitig mit *Gangamopteris*, erreicht aber ihre Hauptentwicklung in der indofrikanischen Trias und findet sich vereinzelt in den obersten palaeozoischen Grenzhildungen Russlands (Wologda). In Australien sterben die beiden grossblättrigen Farngattungen schon mit dem Schlusse des Palaeozoicum wieder aus.

Im südlichen Südamerika und im Altai scheinen Superstiten der europäischen Carbonpflanzen und südliche dyadische Typen (*Gangamopteris*, *Rhipiozamites*, *Calopteris*) in denselben Schichten vorzukommen. Falls die vorliegenden Angaben sich bestätigen, könnte diese Abweichung von den Gebieten der Südhemisphäre durch das Fehlen glacialer Ablagerungen in beiden Ländern erklärt werden.

Auch bei den übrigen Charakterformen der „*Glossopterisflora*“ sind Ursprung, Verbreitung und Aussterben äusserst mannigfaltig:

Die schachtelhalmartige *Schizoneura* erscheint in der indischen Dyas (und Trias), verbreitet sich aber erst in der Trias bis Europa¹ und bis Südafrika. Die mit *Schizoneura* verwandte *Phyllothea* tritt im oheren Palaeozoicum Australiens und Argentinien auf, kennzeichnet die Trias in Ostindien und Südafrika, sowie endlich den europäischen Jura. Die Coniferen-Art *Voltzia heterophylla*, eine bezeichnende Pflanze des deutschen Buntsandsteins, tritt um eine geologische Periode früher in Indien auf, ist also von dort her eingewandert.

C. Abgrenzung und Gliederung der Dyas.

Die Abgrenzung von Dyas und Carbon.

Die Grenze von Carbon und Dyas kann noch nicht in jedem einzelnen Gebiet mit voller Sicherheit gezogen werden, da besonders in der Dyas die Ausbildung von Localfloren beinahe die Regel darstellt und da ferner durchgreifende Unterschiede der Brachiopodenfaunen nicht bestehen.

Doch scheint sich jetzt überall eine Verständigung anzubahnen: Die Grenze von Carbon und Rothliegendem wird allgemein zwischen Ottweiler und Cuseler Schichten gelegt; nur über die Altersbestimmung der französischen Aequivalente beider bestehen noch Meinungsverschiedenheiten.

¹ Das Auftreten in den obersten palaeozoischen Grenzschiechten von Norlost-Russland (Wologda) deutet den Weg der Wanderung an.

Schwagerinenschichten und Artstufe sind überall leicht zu unterscheiden, wo die Medlicottiden und die ältesten Arcestiden vorkommen. Will man die Artstufe und den Siosiokalk als Übergangshorizont d. h. als „Permocarbon“ auffassen,¹ so bleibt von der marinen Fauna unserer Formation so gut wie nichts übrig.

Auch dort, wo die bezeichnenden Dyas-Zweischaler (*Pleurophorus*, *Schizodus*, *Bakewellia*, *Pseudomonotis*) in Masse auftreten (Kansas), kann ein Zweifel über die Grenze nicht bestehen. Ebenso ist die lebhaft entwickelte der Stegocephalen, deren carbonische Vorfahren vereinzelt vorkommen, bezeichnend für die Dyas.

Hingegen ist die Entwicklung der immer noch sehr verbreiteten Brachiopoden derart, dass nur in der unteren Dyas des Mediterrangebotes einige neue Gattungen, im Norden hingegen nur wenige neue Species auftreten (s. o.). Der langsamen Rückbildung der carbonischen Brachiopodengruppen, wie wir sie z. B. in Kansas beobachten, steht hier kein Zuwachs irgend welcher Art gegenüber.

Über die Gliederung der marinen Dyas und die Stufeneinteilung innerhalb der Formationen.

Stufen, d. h. Zusammenfassungen mehrerer mariner Zonen lassen sich in der Dyas² noch weniger unterscheiden, als im Carbon. In der Dyas ist die fragmentäre Beschaffenheit unserer Kenntniss die Veranlassung, im Carbon umfasst die

¹ Der vieldentige Name „Permocarbonifereus“ ist zuerst von MEYER für einen Horizont (U. in Nebraska city) angewandt worden, der jetzt allgemein zu dem typischen Obercarbon gerechnet wird. Dafür wurde bekanntlich die Artstufe, der europäischen Hauptvertreter des „Permocarbon“, von MICHENSON zum mittleren Carbon gestellt.

Man liest vielfach die Meinung, so n. a. in der vortrefflichen Arbeit KARPISCHKY'S über die Artinskischen Ammonoiten (Mém. de l'Acad. de St. Pétersbourg. Sér. 7. T. 37. S. 95), dass Bildungen wie das Permocarbon „einfach als Übergangsschichten zwischen den Systemen zu bezeichnen, nicht aber unbedingt in einem derselben unterzubringen seien“. Zur Begründung dieser Anschauung pflegt man die Künstlichkeit unserer stratigraphischen Einteilung hervorzuheben. Dieser letztere Umstand ist jedoch so sehr als feststehende Thatsache anzusehen, dass — falls nicht ein anderes Einteilungsprincip zu Grunde gelegt werden kann —, lediglich die Gründe historischer Priorität und unserer Zweckmässigkeit für die Abgrenzung der Systeme oder Formationen in Anwendung zu bringen sind.

Vom Standpunkte der Zweckmässigkeit kann es jedoch keinem Zweifel unterliegen, dass die allgemeine Einführung von „Zwischenschichten“ das an und für sich künstliche System um kein Haar breiter natürlicher, wohl aber unheimlicher und unübersichtlicher machen würde. Wir hätten dann die doppelte Zahl von Formationsnamen zu lernen, ohne dass sachlich irgend etwas gebessert wäre. Ferner würden, nachdem auf diese Weise der Grundsatz historischer Priorität verlassen ist, die formellen Streitigkeiten über die Zurechnung der einzelnen Stufen kein Ende nehmen. Denn die Reihe der „Zwischenschichten“ ist bereits ziemlich vollständig: Ordovician, „Hercyn“ oder „Übersilur“, „Permocarbon“, Tatarien, Rhæt (Infralias), Tithon, Liburnische Stufe etc.

² Die Stufenamen, welche sich für dyadische Ablagerungen in der französischen Litteratur finden, sind fast durchweg Synonyma von alteingebürgerten Bezeichnungen. Es ist nicht notwendig, den Zechstein, der nur einer palaeontologischen Stufe und höchstens 2 Zonen entspricht, ausserdem noch mit einem besonderen Namen Thüringen (RENEVIER) zu belegen. Ebenso unnötig ist die Bezeichnung Lodévia (RENEVIER) für das Rothliegende. Der das gesamte Rothliegende umfassende Name von Lodève kennzeichnet einen Fundort, an dem nur die Lebacher Stufe entwickelt ist. Die fossilführenden Untertheilungen des Rothliegenden, die Cneller und Lebacher Stufe können

untere Abtheilung nur eine marine Stufe. Auch im Fusulinenkalk lassen sich nur 3 Zonen unterscheiden, deren obere eine Grenzabtheilung darstellt und wegen des Vorkommens von neuen Thiergruppen meist als Stufe aufgefasst wird.

Eine übersichtliche Stufeneinteilung ist beim Abwärtsschreiten in der Schichtenfolge erst wieder im rheinischen Devon möglich, während andererseits das kalkige Unterdevon in Böhmen, Nordamerika und der ähnlich zusammengesetzten Gebiete nur eine Unterscheidung verschiedener Facies gestattet. Das genau studirte Silur lässt eine Anzahl natürlicher auf Graptolithen und Trilobiten gegründeter Stufen erkennen, die je wieder in mehrere Zonen zerfallen; für die fossilreiche Entwicklung des skandinavischen Cambrium gilt das Gleiche. Im Obersilur macht hingegen die Vielgestaltigkeit der Facies, im älteren Cambrium die Lückenhaftigkeit unserer Kenntniss eine übersichtlich gegliederte Zusammenstellung nur hier und da möglich.

Ganz analog liegen die Verhältnisse in den mesozoischen Formationen, in denen allerdings der Moment ungenügender Kenntnisse im Wesentlichen fortfällt. Überall jedoch, wo ein häufiger Facieswechsel innerhalb grösserer Complexe die allgemeine Verbreitung einheitlicher „Zonenfossilien“ erschwert, ist eine Einteilung in überall nachweisbare Stufen unmöglich. So verhalten sich nicht nur die Binnenablagerungen der Südhemisphäre sondern auch ausgedehntere Theile der pelagischen Trias, vor allem in der oberen Abtheilung.

Von den Fortschritten der Erkenntniss ist eine natürliche Stufengliederung für die Dyas und das untere Cambrium zu erwarten. Für das Obersilur (ausschliesslich der Graptolithenschiefer), das kalkige Unterdevon und die Alpen-Trias erscheint eine solche Einteilung in den natürlichen Verhältnissen der Faciesbildungen nicht begründet.¹

Versucht man die marine Dyas nach der Entwicklung der Ammonitengruppen zu gliedern, so ergeben sich zwei Haupt-Abtheilungen, die wenigstens im Grossen und Ganzen dem Rothliegenden und Zechstein entsprechen. Während die Entwicklung der älteren eigentlichen Arcestiden die ganze Dyas kennzeichnet und auch Glyptocerasen noch bis zu der oberen Stufe hinaufgehen, ist die Entwicklung der Medlicottiiden und der Thalassocerasen für die ältere Dyas, das Auftreten der Ceratitiden² für die jüngere Dyas bezeichnend.

nicht wohl zu einer einzigen Stufe (Autunien LAPPARENT) zusammengefasst werden. Wenn auch die Färbungen ähnlich sind, so spricht die Selbstständigkeit der Lebewesen Amphibien- und Fischfauna dagegen. Als Typus des „Saxoniens“ (LAPP.) wird das Oberrothliegende Deutschlands angenommen. Abgesehen davon, dass eine so gut wie fossillose Schichtengruppe nicht wohl als Typus einer paläontologischen Stufe angesehen werden kann, gehören die in der Übersichtstabelle (IV. Aufl. p. 993) angeführten fossilreichen Äquivalente des Saxoniens nach der hier vertretenen Auffassung zu anderen Horizonten: die Schichten von Nebraska City zum Obercarbon, die Kalke und Dolomite von Kestroma zum Zechstein = Thüringen; die Wichita beds sind ein Äquivalent der Artstufen oder des Unterrothliegenden.

¹ Von einer Kritik der darauf hinielenden Versuche kann also abgesehen werden.

² Mit den noch nicht scharf abgetrennten leiostraken Formen *Xenosia*, *Hungarites*, *Otoceras* und dem rauschalen *Xenodiscus*. Die Stammform *Poroceras* erscheint in der unteren Dyas. Ferner rechnet NOETLING die unteren Ceratitenschichten des Pendschab und die gleichalte Zone des *Otoceras Woodcocki* (Himalaya) zur Dyas. Hier erscheinen *Ophiceras*, *Meioceras*, *Aspidites* (= *Prepythites*), *Lecanites*, *Prionobolus* und andere Formen, die bisher als die ältesten Trias-Ammonoiten angesehen wurden.

mit <i>Otoceras</i> , <i>Ophiceras</i> , <i>Medicottina</i> , <i>Usuria</i> , <i>Pseudonoceras</i>	Übergangszone der untersten Trias.		mit <i>Paraceras</i> ³ <i>Paraceras</i> , <i>pseudophaceras</i> <i>Medicottia</i> , <i>Cyclobolus</i> , <i>Papanceras</i>	Beide Gilder sind eventuell zu vereinigen.
	mit Ammoniten: Bellerophonkalk der Ostalpen Schiefer v. Ngan-wai (China) Zone des <i>Cyclobolus Oldhami</i> d. Salt Range	Tatarische Schichten v. Russland Kuling-Schichten d. Himalaja Oh. Rotho Schieferthone v. Arizona Mittel u. ob. Zechstein v. Westeuropa	mit <i>Paraceras</i> ³ <i>Paraceras</i> , <i>pseudophaceras</i> <i>Medicottia</i> , <i>Cyclobolus</i> , <i>Papanceras</i>	
	ohne			
etwa = Kupferschiefer und Zechstein (Perm anet.)	mit Ammoniten: <i>Djuia-Schichten</i> v. Armenien Stufe des <i>Otoceras djulfense</i> Oberer Productenkalk d. Salt Range		mit <i>Otoceras</i> , <i>Hungarites</i> <i>Gastrioceras</i>	Siehe Tafel 57 c.
	ohne Ammoniten: Kalk v. Woubilga im Karakorum ohne Ammoniten: Kalk v. Djilin-Billa u. Tschalchane (östl. Albour)		<i>Xenodiscus</i>	
	Unterer Zechstein v. Deutschland, England, Russland Kupferschiefer v. Westeuropa Kopfersandstein v. Russland		<i>Xenodiscus</i> , <i>Xenaspis</i>	
etwa = Kupferschiefer und Zechstein (Perm anet.)	mit Ammoniten: Kalk von Ajernati auf Timor <i>Sosioalk</i> von Sicilien Stufe m. <i>Cyclobolus</i> u. <i>Agathis</i> , <i>Suessi</i>		mit <i>Cyclobolus</i> , <i>Papanceras</i> <i>Agathiceras</i> (<i>Alchida</i>), <i>Proterites</i> (<i>Paraceras</i>), <i>Paraprotites</i> , <i>Medicottia</i> , <i>Paraceras</i> , <i>Gastrioceras</i> , <i>Thalassoceras</i> <i>Hindites</i> , <i>Stachoceras</i> , <i>Med-</i>	Siehe Tafel 57 c.
	Oh. Weichte-Schichten von Texas			

I. Marine Palaeo-Dynas		ohne Vermitliden	etwa = Rothliegendes (Perm.-Carbon aukt.)	ohne Ammonoiten: Kungur-Schichten von Russland Productuskalk d. Salt Range (Virgal u. Kalabagh beds?) ? Brachiopoden-Mergel des Gassau (Westl. Kwon-Lun)	Tafel 59 a und b.
1	mit Ammonoiten: Arta-Stufe des westl. Ural			<p>Kalko von Tschittschan in Tibet</p> <p>Kalke von Darwas in Buchara</p> <p>Kalka des Trogtöfel (Karn. Alpen) u. v. Neumarkt (Kraie)</p> <p>ohne Ammonoiten: Arta-Stufe vom Donjetz Kieselgesteine Spitzbergens u. der Bäreninsel</p> <p>Unt. Productuskalk d. Salt Range</p> <p>Schichten v. Yarkalo, Tse-do (Kin- schakiang) u. Tailschan (Lan- tsan-kiang) in Sidschina</p> <p>Kohlenschichten von Nanking mit <i>Prod. indica</i></p> <p>Ob. weisser Kalk des Tian-schan mit <i>Prod. indica</i></p> <p>Unt. Wichts-Schichten (n. Verte- braten) von Texas</p>	<p>* <i>Medlicottia</i>, * <i>Paraprono-</i> <i>rites</i>, * <i>Proagoceras</i>, * <i>Pa-</i> <i>panoceras</i>, <i>Paraschistes</i>, <i>Thalassoceras</i></p> <p>* <i>Pyp.</i> (<i>Stachoceras</i>)</p> <p>* d. wichtigst. Arta-Ammonoiten</p> <p>* <i>Dysanoceras</i></p> <p>* <i>Thalassoceras</i> Tafel 59 b.</p>
	Ob. Carbon				<p>* <i>Gastrioceras</i>, * <i>Agnathiceras</i>, * <i>Thalassoceras</i></p>

¹ Die einzelnen Glieder innerhalb der Untertheilungen I 1 u. 2 und II 1 u. 2 sind nicht alters-
verschieden, sondern annähernd homotax.

* bedeutet das erste, † das letzte Auftreten.

† *Proagoceras* = *Propanioceras* + *Sinuilire*.

Obwohl die ungefähre Übereinstimmung der marinen und nichtmarinen Gliederung rein zufällig ist, liegt in derselben ein weiteres Moment für die Beibehaltung des Namens *Dyas*, der jedenfalls sachentsprechender als die allgemein angenommene Bezeichnung *Trias* ist.

Legt man die Entwicklung der Ammonitenfauna zu Grunde, so würde das Devon drei Abtheilungen (1. älteres u. mittl. Devon, 2. unteres Oberdevon, 3. Clymenienkalk), das Carbon nur einer Abtheilung mit zwei Grenzzonen (unten noch *Brancoereras* und *Prolecanites*, oben bereits *Ajathiceras* und *Gastrioceras*) entsprechen. In der *Dyas* lassen sich zwei Abtheilungen unterscheiden, deren weitere Gliederung die Aufgabe der Zukunft ist; die pelagische *Trias* enthält hingegen 3 oder 4 Haupt-Abtheilungen: die Aequivalente des Buntsandsteins und Muschelkalkes, die Tirolische und die Bajuvarische Abtheilung, deren stratigraphische Trennung jedoch schwierig ist.

Die Mannigfaltigkeit der jurassischen Ammoniten ist wieder geringer als die der triadischen, da hier die alte Dreitheilung der Formation auch der Entwicklung der Ammonitengruppen im Wesentlichen entspricht.

Es ergibt sich aus dieser Übersicht, dass erst von der *Dyas* an die Ammoniten einen massgebenden Einfluss auf die Eintheilung der geologischen Formationen gewinnen, während im mittleren Palaeozoicum und Carbon die allgemeine Vertheilung der übrigen Organismen nicht in Einklang mit dem Auftreten der ersteren zu bringen ist.

D. Die *Dyas* der Nordhemisphäre.

I. Die Artastufe¹ Russlands und ihre arktische Fortsetzung.

Die Gleichstellung der Artastufe mit dem westeuropäischen Rothliegenden wird nicht nur durch die Lagerungsverhältnisse (im Hangenden des Obercarbon und im Liegenden des Zechsteins), sondern vor allem auch durch den palaeodiyadischen Charakter der Flora erwiesen. Dass die Thierreste des „Permo-Carbon“ im Allgemeinen mehr Beziehungen zu dem Carbon als zu dem Zechstein besitzen, erklärt sich aus der Artenarmut der Bienenmeere.

1. Die Artastufe nimmt am Westabhang des Ural vom Eismeer bis in die Kirgisensteppe und bis zum Donjetz einen breiten Raum ein und wurde schon von älteren Forschern (PANDER) richtig zur *Dyas* gestellt.² Die von SCHMALHAUSEN beschriebenen Pflanzenreste sprechen ganz entschieden für einen Vergleich mit dem

¹ Da Artinsk die russische, nach der Localität gebildete Adjectivform ist (wie *artiensis* im Lateinischen), würde Artinskische Stufe ein Pleonasmus sein, während Artinsk-Stufe schlecht klingt. Im Deutschen würde man also entweder Artische Stufe (*Étage artien*) oder besser nach Analogie der Coblenzschichten Artastufe sagen.

² MÜSCHER hat den Arta-Sandstein für Mästone grit, die neueren russischen Autoren meist für eine Zwischenstufe vom Carbon zur *Dyas*, „Permocarben“. Wäre die letztere Annahme richtig, so müssten auch die Caseler und Lebacher Schichten als „Übergang“ vom Carbon zum Zechstein aufgefasst werden, d. h. der wichtigste und am besten bekannte Theil der Formation würde zum „Übergang“ und nur die Aequivalente des deutschen Zechsteins würden als Perm bezeichnet. Aus dem letzteren Grunde ist die Bezeichnung der Gesamtformation als *Dyas* empfehlenswerther.

westlichen Rothliegenden.¹ Hier wie dort tritt *Lepidodendron* zurück, Sigillarien sind nur durch Subsiggillarien vertreten, die Leitformen *Calamites gigas*, *Cordaites* (mit *Cordiaxylon*), die Callipterisarten (*C. conferta* BRGT., *sinuata* BRGT.), die häufigen *Pecopteris* (*P. unida* BRGT., *pinnatifida* BRGT.) und seltenen Sphenopteriden (*Oopteris lobata* MORRIS) sind hier wie dort vorhanden. Daneben finden sich wie überall in der Dyas Localformen: *Dolerophyllum* und die *Ginkgoaceae Psymophyllum*.

Während die Pflanzen die Gleichmässigkeit der Artastufe mit dem west-europäischen Rothliegenden erweisen, kennzeichnen die Brachiopoden den engen Zusammenhang mit der marinen Dyas und dem marinen Obercarbon,² die Ammonoiten hingegen den Beginn einer neuen faunistischen und geologischen Entwicklung.

Bei den Brachiopoden und Fusulinen (*F. Verneri*) der Artastufe hat die gestaltenbildende Kraft bereits erheblich nachgelassen. Die meisten der immer noch zahlreichen (im Gebiete der Kama 53) Arten sind mit solchen des obersten Carbon (oben p. 299) nahe verwandt oder ident; nur wenige wie *Spirifer Krilhari* v. B.³ und *Draschei* TOULA, *Productus artiensis*⁴ und *granulifer*, *praepernicus* TSCHERN., *pseudocaleatus* KROT., *tenuistriatus* VERN., *typicus* WAAG., *canceriniformis* TSCHERN., *Geinitzella columnaris* sind dem Horizont eigentümlich. Viele der neu erscheinenden Formen sind kleine muschelbare Geschöpfe⁵ oder Vorläufer der Zechsteinfauuna.⁶

In der reichen von KARPINSKY bearbeiteten Ammonoitenfauna der Artastufe erinnern nur wenige Gattungen, wie *Glyphioceras*⁷ (*Gl. Fedorovi*) und *Pronorites* an das Carbon oder schliessen sich eng an ältere Gattungen an; so *Gastrioceras* (em. FRECH mit nach vorn gebogener Siphonaldute; *G. Jossae*, *G. Suessi*) an *Glyphioceras*. Dagegen weist die Ableitung der Medlicottiden von den Pronoriten auf eine complicirte Entwicklung hin. Noch wichtiger in geologischer Beziehung ist das Auftreten der ältesten Arcestiden (*Popanoceras* und Verwandte s. oben p. 472 und Taf. 59b).

Über die angeblichen, von WAAGEN in den Vordergrund seiner Beweisführung gestellten Discordanzen im russischen Carbon und Perm macht KRASSNOPOLSKY (l. c.) die folgenden Angaben: Im nördlichen und östlichen Theile des europäischen Russland wird der Fusulinenkalk von mariner nütterer Dyas unmittelbar überlagert. Bei Beginn des Perm wölbt sich die dem heutigen Ural entsprechende Inselkette zu einem Gebirge auf. Im mittleren Ural ging die Erhebung rasch vor sich; hier lagern sandige Meeressedimente der Arta-Stufe, welche auf eine

¹ SCHMALHAUSEN, Die Pflanzenreste der Artinskischen und Permischen Ablagerungen im Osten des europäischen Russlands. Mém. Com. géologique II Nr. 4. 1887. Weitere Beziehungen ergeben sich aus der Auflagerung der marinen Bellerophon-schichten (= mittl. und oberer Zechstein) auf den Grödenen Sandsteinen, deren Flora dem mittleren Rothliegenden und Kupferschiefer entspricht.

² Dieselben entsprechen nach TSCHERNYSCHEW dem mittleren Productnakalk der Salzketten.

³ Abgebildet Taf. 57 c, Fig. 1, auf Spitzbergen schon im obersten Carbon.

⁴ Am Donetz und um Ural bereits in den noch zum Carbon gerechneten Schichten.

⁵ *Prod. silvacanus* STUCK., *Krasnopolskyanus* STUCK., *olatus* STUCK., *Chonetes productoides* STUCK., *Spirif. artiensis* STUCK.

⁶ *Spir. olatus* SCHLUTH., *Streptorhynchus pelargonatus* SCHL., *Polycoclia profunda* GRIM.

⁷ Auch das verwandte *Paralepoceras* wird aus amerikanischen „Coal measures“ angegeben, ist aber im europäischen Carbon unbekannt.

naheliegende Küste hindeuten, über dem Fusulinenkalk. Auch STUCKENBERG¹ hebt hervor, dass im Gebiete der Kama die Artastufe an der Ostgrenze des Obercarbon „gewissermassen eine Bucht ausfülle“. Im südlichen Ural vollzog sich das Ereigniss langsamer, denn hier finden sich über dem Obercarbon sandige Kalksteine und Mergel, welche in grösserer Entfernung von der Küste abgesetzt wurden. Im eigentlichen russischen Becken fand keine Erhebung statt; hier wird der rein marine Fusulinenkalk von Artaschichten mit einer pelagischen Ammonoitenfauna gleichförmig überlagert.

2. Eine höhere, meist von den Artaschichten nicht getrennte Zone der unteren Dyas, die Kungur-„Stufe“,² welche aus Kalk, Dolomit, Gyps und Anhydrit in bunter Mischung besteht, enthält noch die typischen, aus dem Carbon heraufreichenden Brachiopoden und Bryozoen neben dyadischen Mollusken.³ Landpflanzen sind nur ganz vereinzelt (*Ulmammia biarmica*), Cephalopoden gar nicht vorhanden. Von Zechsteinformen erscheinen bereits *Pecten pusillus* SCHL., *Lima peruviana* KING, *Bakewellia antiqua* MSTR., *Leda speluncaria* GEN., *Schizodus truncatus* KING, *obscurus* GEN., *Macrodon Verneuilianum* KON., *Pleuraphorus Pallasi* VERN. Carbonischen Charakter tragen: *Prod. semireticulatus*, *Cora*, *longispinus*, *timavicus*, *Gruenerwaldti* u. a. *Chonetes variolaris* KEYS., *Spir. poststriatus* NIK., *Saravae* VERN., *Sp. (Reticularia) lineatus* und *planiconvexus*, *Retzia remota* EICHW. (= *grandicosta* DAV.), *Meckella ezimia* EICHW., *Dubnandella respinata* MART., *Camerophoria Pardoni* DAV., *Dielasma plicata* KAT. und *elongatella* GEN., *Fusulina* sp. Die eigentümlichen Formen sind so wenig bezeichnend, dass die Selbständigkeit als Stufe fraglich erscheint.⁴

3. Die über dem Arta-Sandstein liegende Neodyas („Perm“ s. str.) beginnt mit Kalken, Thonen und Sandsteinen, die ausschliesslich nichtmarine Thierreste (*Najadites*, *Bairdia*) und Landpflanzen enthalten (*Calamites Kitzbergae*, *C. gigas*, *Psymmophyllum*).

4. Darüber folgt der Kupfersandstein mit eigentümlichen Theriodonten und Stegocephalen (*Eryops*, *Rhopalodon*, *Melosaurus*, *Zygosauros*) und den Charakteren der westlichen Kupferschieferflora: *Baiera*, *Psymmophyllum* = *Givkophyllum*⁴ und *Ulmammia*. Das Hangende bildet der russische Zechstein (s. u.).

Im Donjetzgebiet treten in den den obersten Carbonkalk (C₃) überlagernden Schiefer und Kalken, welche mit der Artastufe des Nordens verglichen werden,⁵ fast ausschliesslich obercarbonische Arten auf, so *Enteles carnicus* SCHUELLW., *Nothot. nucleolus* KAT., *Prod. semireticulatus*, *nebrascensis*, *Spir. supramosquensis*, *Dielasma hastatum* SOW., *Fusulina Verneuli* und *longissima*; weniger zahlreich sind auch hier die neuen Arten wie *Derbyia crassa*, *Enteles hemiplicatus* und *Productus inflatus*. Bezeichnender sind die Weischaler von dyadischem Habitus, die sich in den höheren, Steinsalz führenden Schichten neben den Brachiopoden einstellen: *Schizodus Wheeleri*

¹ Allgem. geolog. Karte von Russland, Bl. 127 u. 308, 1893.

² STUCKENBERG, Allgem. geologische Karte von Russland. Bl. 127 p. 313 und p. 356 oben.

³ Von 86 durch A. STUCKENBERG im Kamagebiet gesammelte Arten sind 40 carbonisch, 19 dyadisch, und 27 der Palaeodyas (= Permocarbon) eigentümlich oder nicht genauer bestimmt.

⁴ *Psymmophyllum expansum* A. BRONG. sp. und *cuneifolium* A. BRONG. sp. gehört zu derselben Gattung, wie das aus der Dyas von Lodève beschriebene *Givkophyllum SAPORTA*.

⁵ Guide géol. XVI, p. 27 u. für die Kungurschichten: JAKOWLEW, Mém. Cern. géol. XV 8. 1899.

SWALL., *Pleurophorus subcostatus* M. et H., *Nuculana attenuata* MEEK, *Bryrichi* SCHAUR., *Gervilleia* (*Bakewellia*) *bicarinata* KING, *Lima retifera* SHUM. Über die obere Dyas Russlands siehe unten p. 563 ff.

Vom Ural aus verbreitet sich die Palaeodyas in den hohen Norden bis zur Bäreninsel (Kieselgesteine mit *Spir. Keilhavi*) und bis Spitzbergen. Hier reicht am Eisfjord und Bellsund die marine Entwicklung nach NATHORST¹ durch die obere Dyas hindurch bis in die Trias.

Die gesammte, 2000 m mächtige Schichtenfolge zeigt die folgende Reihe:

Trias: 8 *Myalina*-Schiefer mit *Myalina de Geeri*, *Pecten Norden-skiöldi* und (auf der Bäreninsel) *Myophoria* sp. aus der Gruppe der *M. decussata*.

Ob. Dyas: 7 *Pseudomonotis*-Schiefer.

6 *Retzia*-Kalk mit *R. Nathorsti* (cf. *R. radialis*) u. *R. (Hustedia) Mormoni* (oder 5 = Kungur-Schichten?)

Arta-Stufe: 5 *Productus*-Kieselschiefer (Chert) 375—400 m, in übereinstimmender Entwicklung auf der Bäreninsel mit *Spirifer Keilhavi* v. B. (Taf. 57c, Fig. 1) und p. 497.

Auf Spitzbergen nach TSCHERNYSCHEW² mit *Productus cancriniformis* TSCHERN., *postcarbonarius* TSCHERN., *Derbyia robusta* HALL?, *Spirifer alatus* SCHL. Ausserdem finden sich *Prod. granulifer* TOULA, *tenuistriatus* VERN., *Weyprechtia* TOULA und *Spirifer Keilhavi* v. B., *Draschei* TOULA, *Spir. rugulatus* mut. *arctica* (Taf. 63, Fig. 4) und massenhafte Spongiennadeln (*Pennatulites*).

Obercarbon: 4 *Spirifer*-Kalk (= Schwagerinenstufe) 10 m.

Hauptlager der massenhaft im weissen Kalk vorkommenden Brachiopoden vom Lovénberg und Angelinsberg an der Hinlopenstrasse: *Spirifer Keilhavi*, *Saranac*, *cameratus*, *rugulatus* mut. *arctica* FRECH, *Camerochoria plicata*, *Dielasma plica*, *Moelleri*, *Rhynch.* (*Rhynchopora*) *Nikitini*, *Derbyia regularis*, *Chonetes granulifer*, *variolatus*, *Productus tenuistriatus*, (? *Marginites*), *Pr. timanicus*, *porrectus* KUT., *bolivensis* D'ORB., *uralicus* TSCHERN., *Weyprechtia* TOULA (= *multistriatus* MEEK).

3 *Cyathophyllum*-Kalk = Zone mit *Prod. timanicus* und *Cora* mit *Prod. lineatus*, *Kouincki*, *Athyris Royssi* und Lagen von Feuerstein und Gyps.

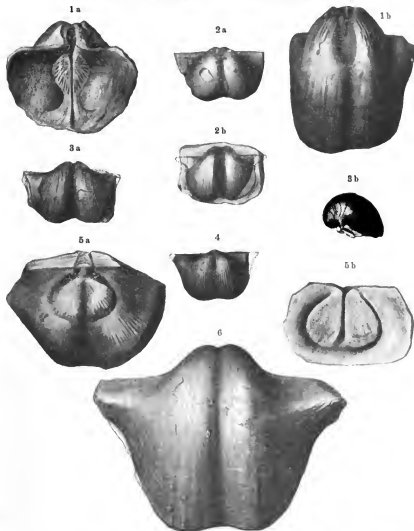
Die Stufe des *Spir. mosquensis* fehlt.

Untercarbon: 2 mit Landpflanzen nur auf Spitzbergen.

Oberdevon 1 „Ursa-Sandstein“ mit *Archaeopteris hibernica*, *Bothrod. killtorkense*, *Holoptichius* und Flötzen auf der Bäreninsel, deren Kohlenreichtum sehr bedeutend — 8 Millionen Tonnen — sein soll.

¹ NATHORST b. HINDE, Geol. Mag. Dec. 3, Bd. 5, p. 241—251 u. Bull. Geol. Inst. Upsala 1899 p. 1.

² TSCHERNYSCHEW, Über die Artinsk- und Carbon-Schwämme vom Ural und Timan. St. Petersburg 1898, p. 46, 47.



- Fig. 1 a. b. *Productus granulifer* TOULA vergl. Fig. 6 = *Pr. Payeri* TOULA. Südkap. Spitzbergen. Steinkerne zweier Exemplare.
- Fig. 2 a. b. *Productus horridus* Sow. var. *Arena*. S.W.-Spitzbergen.
- Fig. 3 a. b. *Productus weyprechtii* TOULA. Oberstes Carbon (aus diesem das abgebildete Exemplar) und untere Dyas. Lovénberg, Spitzbergen. Orig. von Fig. 3 u. 4 im Breslauer Museum.
- Fig. 4. *Productus artiensis* TSCHERN. Oberstes Carbon (aus diesem das abgebildete Exemplar) und Artastafe im Ural und Spitzbergen. Fig. 4 v. Sterlitamak a. d. Belaja, Ural.
- Fig. 5. *Derbyia robusta* HALL? (= *Streptorchynchus crenistria* TOULA). Aus denselben Schichten wie Fig. 1. Spitzbergen. Fig. 5a, Brachialklappe. Fig. 5b, Muskeleindruck der Stielklappe desselben Steinkerns.
- Fig. 6. *Productus granulifer* TOULA (Mutation des *Productus horridus*) leg. NATHORST. Oberstes Carbon. Lovénberg, Spitzbergen. Nat. Gr. Orig. im Breslauer Museum.

Von besonderer Bedeutung ist die Spitzbergische Dyas dadurch, dass die meisten Typen des deutschen und russischen Zechsteins auf diesen Ursprung bezogen werden können:

Die nachstehenden Bemerkungen beruhen auf dem Vergleich einer recht reichhaltigen vom Bären-Eiland und dem Lovénberg stammenden Sammlung (NATURWISSENSCHAFTLICHE EXPEDITION) mit den Originalen L. v. BEUCH'S und P. TOULA'S. Abb. p. 497.

1. *Spirifer rugulatus* mut. nov. *arctica* (Taf. 63, Fig. 4).

Die Spitzbergische schon im obersten Carbon auftretende Mutation ist als mut. *arctica* bezeichnet und unterscheidet sich durch höhere, kaum gebogene Area von der typischen Form (l. c. Fig. 3).

2. *Productus horridus* Sow. (Taf. 62, Fig. 10) und *granulifer* TOULA (letztere Form = *Prod. Payeri* TOULA). Der Vorläufer dieser mitteleuropäischen Art ist wohl am besten als *Prod. granulifer* TOULA (oder *horridus* mut. *granulifera* TOULA) zu bezeichnen (N. J. 1875; t. 6, f. 3; Axel-Eiland, Arta-Stufe). Wahrscheinlich gehört zu den grossen breitflügeligen Schalenexemplaren als Steinkern *Prod. Payeri* TOULA aus der Artstufe (*Productus*-Kieselschiefer) der Südspitze Spitzbergens (68 Bd. Sitz.-Ber. Wien. Ak. 1873, t. 4). *Productus granulifer* erscheint zweifellos schon im obersten Carbon, dem Spiriferen-kalk des Lovénberges, wie unser Textbild beweist.

Gruppe des *Spirifer Keilhavi* v. BEUCH

Weitverbreitet in der murinen Palaeodyas. Nach den Originalen neu gezeichnet.



Spir. Kupangensis BEUCH. Timor.
Orig. BEUCH'S.

Spir. Draschei TOULA. Axel-Eiland Spitzbergen.
Orig. TOULA'S.

Ausserdem finden sich Formen, die von der tiefeingebeulten Varietät des mitteleuropäischen *Prod. horridus* nicht verschieden sind, in Schichten unbestimmten Alters bei Arena, Spitzbergen (Textfig. 2a h) und an der Nordküste des Bel-Sundes gegenüber Axel-Eiland (TOULA, N. J. 1875 t. 5, f. 2 stimmt mit unserer Figur 2 überein, ist aber verschieden von *Productus horridus* var. l. c. t. 6, f. 4).

3. *Productus spitzbergianus* TOULA non TSCHERNYSCHEW (TOULA, 70. Bd. Sitz.-Ber. Wien. Ak. 1874 f. 8d) — die übrigen Originale lagen mir nicht vor — ist nicht = *Marginifera? spitzbergiana* TOULA bei TSCHERNYSCHEW (Geol. Karte v. Russland Bl. 139, t. 7, f. 36). Vielmehr steht das vorliegende Original exemplar TOULA'S dem p. 497 Fig. 4 abgebildeten *Prod. artiensis* TSCHERN. ausserordentlich nahe und unterscheidet sich nur durch (scheinbar glatten) Sinus und eine etwas weniger starke Wölbung.

4. *Productus tenuistriatus* VERN. bei TSCHERNYSCHEW. Arta-Stufe. Allg. Geol. K. von Russland, Bl. 139, t. 6, f. 15, höchst wahrscheinlich = *Pr. Augardi* TOULA von Axel Eiland N. J. 1875, t. 7, f. 2.

5. *Productus Cacerini* VERN. liegt in einem von der russischen Form (Taf. 63, Fig. 8) nicht unterscheidbarem Exemplar aus dem ?Zechstein oder der ?Artstufe von Arena, SW.-Spitzbergen vor (TOULA, N. J. 1875 t. 8, f. 7).

6. *Productus Weypreckti* TOULA ist eine der wichtigsten und häufigsten Arten der Spitzbergener Dyas (Südcap von Spitzbergen und Bäreninsel; Sitz.-Ber. k. Ak. Wien, Bd. 68, Abth. I, 1873 t. 5, f. 1—3 und N. J. 1875 t. 6, f. 2), die man als einen *Productus lineatus* mit tiefem Sinus auffassen kann. Den Übergang bildet *Prod. impressus* (N. J. 1875 t. 5, f. 1) mit flachem Sinus. *Prod. Weypreckti* erscheint bereits im obersten Carbon von Spitzbergen (Lovénberg Fig. 3) und verbreitet sich in Amerika bis Utah (= *Prod. undistriatus* MEYER, Explorations across the Great Basin of Utah, Rep. on the palaeontol. Coll. Washington 1876 p. 350, t. 1, f. 8, „probably Carboniferous“). Siehe p. 497.

Neben diesen nördlichen Formen finden sich andere von weiterer Verbreitung:

7. *Spirifer Keilhani* v. B. (Bären-Insel) t. 57 b, L 1 (non *Spiriferina* auct. — *Sp. Parryanus* TOULA = *Sp. Wilczeki* TOULA von der Südspitze Spitzbergens = *Sp. sp.* TOULA, ebendaher, 68. Bd. Sitz.-Ber. Wien, Ak. t. 2, L. 1 1873), verbreitet sich in wenig verschiedenen Formen bis Kaschmir (*Sp. Rajah*) und bis Australien (*Sp. vespertilio*).

8. *Sp. Draschei* TOULA mit sehr breitem Sinus (Axel-Eiland) gehört zu derselben Gruppe wie *Sp. Keilhani* und steht dem gleichalten *Sp. kapangensis* BEHN. von Timor ausserordentlich nahe.

II. Die untere marine Dyas des Grossen Mittelmeeres.

Asien: Darwas, Pendschab, Tibet (Tschititschun), Kaschgarien, SW.-China, Nanking, Timor etc.

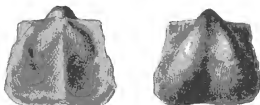
Europa: Sosis, Sicilien. N.-Amerika: Texas.

Die centralasiatische Fortsetzung der russischen, Cephalopoden führenden Artaschichten findet sich erst in Bokhara (Darwas¹): Aus einem von hier stammenden Stücke von Cephalopodenkalk bestimmte KARPINSKY die Charakterformen der Artasimoniten *Proverites uralicus*, *Popanoceras*, *Prosagoceras*, *Medlicottia* z. Th. in identen Arten. Die Altersbestimmung der Schichten von Yar-ka-lo (? Obercarbon—Dyas) und der übrigen südchinesischen, eng mit dem Obercarbon verknüpften Vorkommen wurde bereits im Zusammenhang mit diesem (auf p. 387—390) erörtert.

Stratigraphisch zweifellose Vorkommen der unteren marinen Dyas sind

ferner in Asien: 1. Die indische Salzketten (Salt Range im Pendschab), 2. die Klippen des Tschititschun im Himalaya, 3. die Brachiopodenmergel des Flusses Gussas im sogenannten westlichen Kwen-Lun (Kaschgarien), 4. die mit Kohlschichten wechselnden marinen Kalke der Hügel von Nanking, 5. die Kalke von Timor.

Abgesehen von der an erster Stelle zu besprechenden Salzketten sind alle Vorkommen der unteren Dyas im Gebiete des alten Mittelmeeres wenig ausgedehnte, leicht zu übersehende Bildungen, deren Kenntnis erst aus den letzten Jahren datirt. Zum Theil handelt es sich um „Klippen“ von geringfügigen Umfang und verschiedenartiger Entstehung: so am Sosis, in den Alpen, in Tibet und Centralasien überhaupt. Das Vorhandensein reicher Cephalopodenfaunen in diesen Klippen ist bezeugend für den Zusammenhang der alten Dyasmeere. Die postcarbonische Gebirgsbildung bildet den Grund des vereinzelten Vorkommens: Die untere marine Dyas war wahrscheinlich die jüngste noch mitgefaltete Stufe und somit den zer-



Productus Pardoni, Mittlerer und oberer Productuskalk, Tschititschun, Salzketten. Vollständig erhaltenes Exemplar von mittlerer Grösse. ¹/₂. (Auf der Abbildung WAGNER's fehlen die bezeichnenden Flügel).

¹ In Darwas, einer der östlichen Provinzen des Chanats Bokhara, in unmittelbarer Nähe von Afghanistan kommt, abgesehen von der durch KARPINSKY nachgewiesenen Artstufe, auch Fusulinenkalk vor, wie v. KRAFFT neuerlich feststellte. Geologische Reiseergebnisse aus Bokhara, Denkschr. W. Ak. Bd. 70, p. 67.

störenden Einflüssen der Denudation in den soeben aufgewölbten Hochgebirgen besonders ausgesetzt.

1. Die gesamte Schichtenfolge der Salzkette im Pendschab und das Verhältniss der marinen Kalke zu den glacialen Bildungen wird in den die Südhemisphäre behandelnden Abschnitten erörtert. Hier sei nur kurz die Aufeinanderfolge der Horizonte n. NOETLING zusammengestellt, die zum Theil keine grossen Verschiedenheiten aufweisen (8—10), zum Theil nur wenig gemeinsame Merkmale zeigen. Am schärfsten gliedert sich der unterste (5) und der oberste Horizont (11) in paläontologischer Hinsicht ab; die Zone d. *Fas. kattaensis* mit ihrer reichen Fusulinenfauuna (der einzigen in der Salzkette beobachteten), ist meist (auch p. 385) als obere carbonisch¹ bezeichnet worden. Hierfür spricht die Verbreitung der Brachiopoden. Da jedoch

Profil der Salzkette an der Strasse zwischen Virgal und Uchali, die Anordnung der einzelnen Unterabtheilungen der kieselhaltigen Kalksteingroupen zeigend.



1 Olivenfarbiger Thon, mittlerer gefleckter Sandstein. 2 Amb beds, unterer Productus-Kalk. 3 Katta, untere Schichten des mittleren Productus-Kalk. 4 Virgal, mittlere Schichten desselben. 5 Kalabagh, obere Schichten desselben. 6 Jabl, oberer Productus-Kalk, untere und mittlere Schichten. 7 Tschidra, obere Schichten des oberen Productus-Kalk. 8 Ceratiten Kalk. 9 Ceratiten Mergel. 10 Ceratiten Sandstein, 11 Bunte Mergel. N. WAAGEN.

nach NOETLING's neuen Funden der echte Ceratitide *Xenodiscus carbonarius* beinahe im unmittelbaren Hangenden der Fusulinen-Schichten auftritt, so ist die untere Grenze der Dyas tiefer anzusetzen.

Die Zurechnung der oberen zwei Drittel der Productus-Schichten (mittlerer und oberer Theil des Productus limestone) zur Neodyas beruht auf dem Auftreten von Ceratitiden. NOETLING fand *Xenodiscus carbonarius* recht häufig im oberen Theile der mittleren Stufe. Die Unterscheidung der zwei Zonen des mittleren Productus-kalkes ist, wie es scheint, vor allem durch die abweichende Faciesentwicklung der oberen, an Riffforallen reichen Gruppe bedingt.

2. Während in der Centralregion des Himalaya die marine untere Dyas unbekannt ist, findet sich nördlich davon in Tibet ein interessantes, ganz vereinzelter Vorkommen. Im Gipfel des Berges Tschititschun N. I (Höhe 17 740') ragen

¹ WAAGEN hat diese Anschauung früher (1887) vertreten, ist aber später wesentlich auf Grund der Annahme der erwähnten Schichtenunterbrechung am Ural zu einem abweichenden Resultate gelangt; er hält seine gesamte Productus-Serie für jünger als das europäische Obercarbon.

schab).

(Zu Seite 501.)

Glaciale Palaeo-Dyas	Unt. u. mittl. Speckled Sandstone WAAGEN	M a r i n e N e o - D y a s	Mittlerer Productuskalk WAAGEN	Oberer Productuskalk	omite unbestimmten Alters, wahrscheinlich nicht älter als Jura, discordant auf den älteren lagernd.
					<i>Stephanites superbus</i> . Licht olivengrüne, harte, dünnbankig geschichtete Knlke, getrennte weiche oder sandige Zwischenlagen; zu oberst mit einer Bank voll undeutlicher <i>Pelerypoden</i> (Upper Ceratite Limestone ant.) 3—4 m. Die Cephalopoden sind: <i>Stephanites superbus</i> W. (<i>Acrocardiceras</i> WAAGEN) <i>distractus</i> W., <i>Prionites tuberculatus</i> W., <i>Celtites</i> spec. n. und.
					olivengrüne Mergel mit vereinzelt Kalkbänken, die von unten nach oben näher zusammen-10 m. Fauna wie oben.
Liegen					<i>Flemingites flemingiannus</i> . Licht graugrüner, sandiger, manchmal weicher, manchmal Kalkstein (<i>Ceratite sandstone</i> WAAGEN), 1 m. Mit zahlreichen, theilweise riesigen <i>Flemingites flemingiannus</i> W. und <i>Aspidites superbus</i> WAAGEN.
					olivengrüne Mergel mit vereinzelt Kalkbänken, 10 m. <i>Flemingites</i> fehlt; dagegen <i>Aspidites</i> noch vorhanden, ab und zu dünne Bänke mit zahlreichen <i>Bellerophon</i> sp. (= <i>Stachella</i>
					<i>Koninckites volutus</i> . Dunkel blaugrüne Mergel mit eingeschalteten dünnen Kalkbänken, Cephalopoden: <i>Koninckites volutus</i> WAAG., <i>Otoceras</i> sp., „ <i>Sageceras</i> “ (nov. gen.), <i>Hauerianum</i> andere. <i>Ceratodus</i> sp.
					<i>Prionolobus rotundatus</i> . Lichtgrauer Knlk, eine dünne Bank bildend, voll mit <i>Prionolobus</i> W., „ <i>Sageceras</i> “ (nov. gen.), <i>Hauerianum</i> Kox., <i>Gyronites</i> und andern.
					<i>Celtites</i> sp. Lichtgrüne, dünnbankig geschichtete Knlke mit mergeligen Zwischenlagen (<i>Lower limestone</i> ant.), 5 m. Mit zahlreichen, meist schlecht erhaltenen Cephalopodenresten. Häufig <i>Celtites</i> sp., der wahrscheinlich noch nicht benannt ist. (In diesem Horizont fand sich bei in <i>Stegocephale</i> -Schädel).

fossilreiche Kalkklippen¹ aus einer Mulde jurassischer Spiti-Mergel auf und stehen im Zusammenhang mit intrusiven Diabasporphyrten.

Die weiter unten in ihren wichtigsten Vertretern namhaft ge-



Spir. lyra Ktz. (oberstes Carbon, Ural; punctiert) u. *mut. tibetica* Dixx. (Palaeodyas d. Tschititschus, ganze Linien.) Diagramm zur Veranschaulichung der geringfügigen Unterschiede.

Vergleiche *Sp. lyra* Taf. 47 c, Fig. 3.



Sp. (Martinia) acutomarginalis DIENER
= *Martinia semiramis* GEMMELLARO,
Sosiekalk. N. SEMPER.

machte Fauna ist die reichhaltigste, welche bisher in der Palaeodyas von Centralasien gefunden wurde. Die nahen Beziehungen zu der oberen Zone der mittleren Productuskalke (Virgal und Kalabagh beds² WAAG.) sind ebenso unverkennbar wie die Überein-

Klippenreihe im N.O. des Tschititschus Nr. I. Nach C. DIENER.

Standpunkt; Ostseite des Kiogarb-Chaklu-Passes in Hundes (ca. 16500).

Tschititschus Nr. III Gipfel OSO v. Kiogarb (ca. 18400).
Pass O. Tschititschus Nr. III (ca. 17200).



G.S. Glenmal Sandstein (Flysch). Sp. St. Spiti Mergel. ca. Klippen (Palaeodyas).

¹ Palaeontologia Indica Ser. XV Himalayan Fossils. Vol. I P. 3 the Permocarboneous Fauna of Chitichan N. I by C. DIENER. M. 13 Tafeln.

² Unter 23 mit den Salt Range gemeinsamen Brachiopoden-Arten gehören 20 dieser Zone an. Ein Vorkommen „nördlich von Milam“ im Hundesgebiet von Tibet enthält im weissen Crinoidenkalk ausser indifferenten Formen *Notothyris subreticularis*, dürfte aber (n. DIENER l. c. p. 100) aus dem Klippenkalk des Tschititschus stammen.

stimmung des einzigen vorliegenden Cephalopoden mit einer am Fiume Sosio vorkommenden Gruppe. Angesichts der Wichtigkeit der Tschititschun-Fauna sind zahlreiche Arten derselben — besonders die ausserdem im Pendschab, bei Yar-ka-lo und in Sicilien vorkommenden — auf Tafel 57d¹ abgebildet worden.

Im Klippenkalk von Tschititschun finden sich nach DIENER:

- Phillipia Middlemissi* DIEN.
Cheiropyge himalayensis DIEN.
Popanoceras (Stacheoc.) Trimurti DIEN.
Productus linearis WAAO. (Artstufe).
 „ *bolivensis* var. *chitichunensis* DIEN.
 „ cf. *subcostatus* WAAO.
 „ *gracilior* WAAO. (Productusk., Timor).
 „ *cancriniformis* TSCHERN. (Fig. 3¹, Artstufe).
 „ *Abichi* WAAO. (Djalfa, Timor).
 „ *mongolicus* DIEN. (Loping).
 „ (*Marginifera*) *typicus* WAAO. (Fig. 2, Artstufe).
Anosteges tibeticus WAAO. (Fig. 7).
Lyttania nobilis WAAO. (Taf. 57b, Fig. 10)
Spirifer musokheylensis DAV. (Artstufe, Timor).
 Vergl. Taf. 57e, Fig. 8).
 „ *Wynnei* WAAO. (Sosio, Artst., Fig. 6).
 „ *lyra* mat. *tibetica* DIEN. (Kamm verschieden von dem im obersten Carbon des Ural vorkommenden *Spir. lyra* KUT.; Sculptur und Form sind übereinstimmend. Nur der Sinus zeigt geringfügige Unterschiede, wie der Vergleich von Originalen lehrte, p. 501.)
 „ (*Martinia*) *elegans* DIEN. (Sasin).
 „ „ *semiplanus* WAAO. (Arta).
Spirifer (*Martinia*) *nuculo* ROTAPL. (Timor).
 „ „ *neutomarginalis* DIEN. (Sosio).
 „ „ *contractus* MEEK et WORTH.
Athyris *Royssi* L'EV. (Artstufe).
 „ *subrepans* WAAO.
 „ *capillata* WAAO. (Mittl. Productuskalk, Timor).
Spirigerella grandis WAAO. (Tze-de, Yunnan).
 Taf. 57n, Fig. 4.
 „ *Derbyi* WAAO.
 „ *perthumida* DIEN. Fig. 10.
Enteles Tschernyschewi DIEN. (non GEMMELL).
Rhynch. (*Uncinulus*) *timorensis* BEYR. Fig. 13, (Timor, Sosie).
Camerochoria *Pardoni* DAV. (Ob.-Carbon, Yar-ka-lo, Sasin, Arta). Taf. 47b, Fig. 11.
 „ *gigantea* DIEN. (Varietät von *C. Pardoni*). Fig. 8.
Terebr. (*Hemipterychina*) *sparsiplicata* WAAO. (Mittl. Productusk., Timor).
 „ „ *inflata* WAAO.
 „ „ *himalayensis* DAV.
 „ (*Notothyris*) cf. *subresiculata* DAV.
Diclasma biplex WAAO. Fig. 12a, 12b.
Amblysiphonella cf. *resiculosa* KOK.
Lamellalein indica WAAO. et WENTZ.

3. Weniger sicher ist die Altersbestimmung der Brachiopodenmergel des Flusses Gussass in Kaschgarien, welche der „tibetanischen Transgression“ (Bogdanowitsch) entsprechen.² Die tibetanische Transgression ist jedenfalls wesentlich jünger als der hier verbreitete Fusulinenkalk mit *Prod. semirculatus* und macht sich im mittleren Kwen-Lun durch rothe Sandsteine und Conglomerate kenntlich (Tschautschen-Darja, Tagri-kolen, Sariktass). Neben den indifferenten Orthiden, Spiriferen und Producten dieser Abtheilungen deutet das Vorkommen von *Spir.* (*Martinia*) *planocervus* MEEK, *Productus cancriniformis* TSCHERN. (Taf. 57d, Fig. 3) und des demselben sehr nahe stehenden *Prod. tibeticus* FRECH auf ein etwa der Artstufe („Permocarbon“) entsprechenden Alter; auch *Streptorhynchus difficilis* erinnert mehr an *Str. pelargonautus* als an ältere Formen.

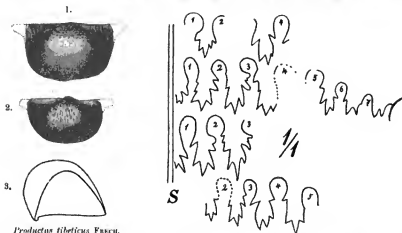
Die gefalteten obercarbonischen Bildungen sollen nach den vorliegenden Angaben discordant von den Brachiopodenkalken und Conglomeraten überlagert werden.

¹ Die Figurennummern ohne Tafelangabe beziehen sich auf Taf. 57d.

² FRECH bei SPESA, Beiträge zur Stratigraphie von Centralasien. Denkschr. d. Wiener Akad. 1894 und DIENER, Die Äquivalente der Carbon- und Permformation im Himalaya. Sitz.-Ber. K. Ak. d. Wissensch. Wien. Math. Naturw. Kl., Abth. I, Bd. 106, 1897.

4. Auch im mittleren Theile von China, am Unterlaufe des Yang-Tse ist eine ähnliche Entwicklung zu beobachten. F. v. RICHTOFEN fand auf einer seiner ersten Excursionen zwischen Nan-king und Tschönn-kiang (Prv. Kiang-su) zwischen den Steinkohlenflötzen Schieferschichten mit einer individuenreichen, aber artenarmen Fauna, die wesentlich aus Productusarten und Bryozoen besteht. Die schneeweißen Kalkgerüste der letzteren zeichnen sich durch besondere Schönheit der Erhaltung aus.

Eine Bestimmung der häufigeren Arten ergab, dass dieselben mit Formen des Productuskalkes der indischen Salzkette ident sind: Der grobgerippte bei Nan-king



Productus tibeticus FRECH.

Fig. 1 die concave, Fig. 2 die convexe Klappe; Fig. 3 Querschnitt. Brachiopodenkalk der Palaeodyas, Fluss Gussass, Westl. Kwenlun-Kette. Südl. von Yarkand.

Popanoceras megaphyllum BEYR. Untere marine Dyas, Timor. Genauere Zeichnung der erhaltenen Lobelinien $\frac{1}{1}$.

(1 Externsattel, 2, 3 Seitensattel, 4—7 Hüfssattel.)

Nach dem in Berlin befindlichen Original BEYRICH's von Dr. VOLZ gezeichnet.

häufig vorkommende *Productus indicus* WAAGEN (Taf. 57 c, Fig. 13) *Productus lineatus* WAAGEN (l. c. t. 66) und *P. Fischii* WAAGEN (Salt Range Fossils t. 70) kennzeichnet den oberen Productuskalk (Jabi-Schichten), *Lonsdaleia salmatoria* WAAGEN (l. c. t. 100, f. 1, 3, 4) ist eine wichtige Form der mittleren Productusschichten.

Während über die Horizontirung des unteren Productuskalkes Meinungsverschiedenheiten bestehen, wird die mittlere Abtheilung der indischen Schichtenfolge meist dem Rothliegenden gleichgestellt, die obere bereits mit dem Zechstein verglichen. Demnach gehören die Steinkohlenlager von Nan-king dem oberen Theile der älteren Dyas an.¹

5. Dass die Kalkschichten von Timor mit bezeichnenden Arten der Gattungen

¹ Die Arten wurden vom Verfasser bestimmt. Siehe FRECH, Palaeozoische Faunen aus Asien und Nordafrika. N. J. 1895, II. Seltener als die oben genannten Arten sind: *Enomphalus pusillus* WAGG. l. c. t. 9, f. 8, *Productus gratus* WAGG. l. c. t. 80, f. 1—3, *Pr. tumidus* WAGG. Taf. 57 d. Fig. 5, *Derbyia* sp. Hierzu kommt die eigenthümliche, zunächst mit *Lygonia* verwandte *Loczyella asymmetrica* nov. gen. nov. sp. (Tafelerklärung von Taf. 57 c.)

Cyclolobus und *Popanoceras* die nächste Beziehung zur Dyas besitzen, wurde bereits von BEYRICH hervorgehoben¹ und von ROTHPLETZ² im einzelnen begründet. Die Ammonitenarten und die Brachiopoden gestatten eine nähere Vergleichung mit dem Siosiokalk. Popanoceren mit den dreispitzigen Lohen des *Pop. megaphyllum* BEYR. und *tridens* ROTHPL. („*Stacheoceras*“ auct.) fehlen in der untersten Dyas und finden sich im Sosio- und Tschititschunkalk (*Pop. Gruenerakhti* GEMM. Taf. 59a, Fig. 6 bezw. *Pop. Timurti* DIEN.). Vor allem ist die für den Fiume Sosio bezeichnende, bei Arta fehlende Gattung *Cyclolobus* (Taf. 59a, Fig. 4) auch auf Timor gefunden worden. Dieselbe kommt auch im oheren Productuskalk vor und deutet auf einen Vergleich mit dieser Zone hin; jedoch fehlen auf Timor die Ceratitiden gänzlich. Die Brachiopoden kennzeichnen in ihren bis zum Pendschab verbreiteten Vertretern meist den oheren Theil des mittleren Productuskalkes und die Cephalopoden führende Unterstufe des oheren Productuskalkes (Jabi Beds), so *Athyris capillata* WAAG. (Mittl. Prod.K.—Ob. Prod.K.), *Camerophoria pinguis* WAAG. (Mittl. Prod.K.), *Terebr. (Hemiplychina) sparsiplicata* WAAG. (Unt. Prod.K.—Ob. mittl. Prod.K.), *Chonetella nasuta* WAAG. (Mittl.—Ob. Prod.K., Taf. 57c, Fig. 3), *Productus asperulus* WAAG. und *Abichi* WAAG. (heide Mittl.—Ob. Prod.K.) und *Productus gratiosus* WAAG. (Mittl.—Ob. Prod.K.).

6. Als westliche Fortsetzung der Dyas-Vorkommen im Bereich des alten Mittelmeeres sind die oheren schwarzen Kalke von Balia Maaden (Mysien), die Klippenkalke des Fiume Sosio in Sicilien, die (schon oben p. 358 erörterten) Vorkommen der Karnischen Alpen und das vereinzelte Erscheinen von Cephalopodenschiefen in Südfrankreich mit *Daraelites*, *Gastrioceras* und ?*Paracelites* (St. Girons, Dep. Ariège) aufzufassen.³

Die Überleitung bilden wahrscheinlich die isolirten und zweifelhaften Vorkommen im östlichen Albursgebiet (Djilin-Bilin-Pass⁴) und Tschehar-Bag bei Tschalchanc.⁵ Eine directe Vergleichung mit den Artaschichten des Ural verbietet sich durch die Verschiedenheit der Fauna: z. B. wandern, um nur die wichtigste Thatsache hervorzuheben, die Charakterformen des asiatischen Obercarbon *Lyttonia* und *Richtofenia*⁶ in der Dyaszeit nach Südeuropa aus, sind jedoch im Ural ebenso wenig wie *Scacchinella*, *Megarhynchus*, *Chonetella*, *Oldhamina*, *Geyerella* und *Orthotetina* nachgewiesen worden.

¹ Über eine Kehlenkalkfauna von Timor. Abhandl. d. Berliner Akademie für 1864. Berlin 1865, Taf. 1—3, p. 61—96. Besonders p. 91 wird klar angesprochen, dass der artenarme deutsche Zechstein eine locale Entwicklung darstellt, „und dass in fernen Erdtheilen Ablagerungen, die man wegen des grösseren Reichthums an organischen Einschlüssen zunächst in die Zeit des Kehlenkalksteins zu stellen berechtigt ist, auch noch das Zeit-äquivalent der Permationen des Rethliegenden und Zechsteins darstellen“. Erst ein Vierteljahrhundert später wurde die vollkommene Richtigkeit dieser Anschauung erwiesen.

² Palaeontogr. 39, p. 66.

³ Vergl. E. HUGO, Verhandlungen des internationalen Geologengcongresses zu Zürich. 1894, p. 91. Die schwarzen Schiefer mit Cephalopoden liegen über Obercarbon und werden von Buntsandstein überdeckt.

⁴ *Spirifer rugulatus* Kuv.

⁵ *Orthotetina* (*Orthotetina*) *persicus* SCHELLW., *Productus oralis* WAAG., *Dalmanella indica* WAAG. sp. Doch deuten diese Vorkommen auf den neo-dyadischen Djulfa-Horizont hin.

⁶ Der sich andern wunderbarlich gefemte Gattungen aus der Verwandtschaft von *Aulosteges* (*Scacchinella* und *Megarhynchus*) anschliessen.

Die untere marine Dyas in Sicilien.

Der Norden der Insel Sicilien¹ (Provinz Palermo) besteht aus gefalteten Schichten der Trias, die von Jura überlagert werden. Das in dieselben eingesenkte Thal des Fiume Sosio ist von Mitteleocänen erfüllt und aus diesem erheben sich drei isolirte palaeodyadische Kalkklippen² bis zur Höhe von 25 m: 1. Rocca di S. Benedetto, 2. Rupe di Passo di Burgio, 3. Pietra di Salomone.

An der Rocca di S. Benedetto unterscheidet GEMMELLARO 1. einen unteren, dichten grauen (oder weissen) Fusulinenkalk (compatto) und 2. einen oberen porösen Grobkalk (calcare grossolano). Fusulinen müssen übrigens in diesen „Fusulinenkalken“ selten sein, da ich in den ziemlich zahlreichen von mir untersuchten Stücken nie ein Exemplar gesehen habe.

An der Pietra di Salomone wird ein sehr mannigfach ausgebildeter, dichter (Crinoiden-) Breccien-Kalk von grauer oder gelblicher Farbe, der dem dichten Kalke (1) entspricht, durch weissen „Fusulinenkalk“ überlagert. Auf diesem letztgenannten Felsen kleben noch Reste des transgredirenden Mitteleocänen, so dass hier wohl echte Erosionsklippen vorliegen.

Über das Verhältniss der Trias zu der marinen Dyas konnte nichts festgestellt werden.

Ebenso fehlen Hinweise auf die Beantwortung der Frage, ob den oben gekennzeichneten zwei Horizonten auch verschiedene Arten der Ammonoitenfauna entsprechen.³ Die überaus mannigfaltigen sicilischen Dyas-Ammoniten (s. oben p. 457 ff.) zeigen einerseits Beziehungen zur Artstufe (eine idente Art⁴), andrerseits zu den wesentlich jüngeren Schichten von Timor und den oberen Productuskalken (*Cyrtolobus*⁵) und erheben somit die Vermutung, dass hier verschiedene (zwei oder drei) stratigraphische Zonen vorliegen, fast zur Gewissheit. Leider giebt die Bezeichnung des Vorkommens der Ammonoiten in dem calcare grossolano und compatto keinen Hinweis auf stratigraphische Unterschiede.⁶

¹ G. GEMMELLARO, La fauna dei calcari con Fusuline della Valle del fiume Sosio. Palermo 1887—1899 (bis zur Hälfte der Brachiopoden erschienen).

² GEMMELLARO war geneigt, die äusserlich — in Farbe und Gestein — mit Hallstätter Kalken übereinstimmenden Klippen der Trias zuzurechnen, E. v. MOJISOVICS erkannte das höhere Alter des Vorkommens.

³ Es wäre an sich ebenso gut denkbar, dass innerhalb desselben Gesteins verschiedene Zonen vertreten seien.

⁴ *Medlicottia Orbignyana* (Artstufe, Taf. 59 h, Fig. 16) ist nach KARPISKY — *M. Trautscholdi* vom Sosio; zwei Arten stehen einander sehr nahe (*Gastrioceras sosienae* GEMM. dem *G. Suesi* KARP.; *Agathiceras Suesi* GEMM. dem *Ag. uralicum* KARP.), 8 andere Formen erinnern an uralische Arten.

⁵ Auch *Hyattites* findet sich ausser am Sosio nur noch in Texas und fehlt am Ural, KARPISKY macht mit Recht darauf aufmerksam, dass auch geographische Unterschiede vorliegen könnten.

⁶ Aus dem calcare grossolano werden citirt: *Stachoceras Karpinskii* und *Parapronites Konincki*.

Aus dem calcare compatto: *Popanoc. (Hyattites) Geinitzi*. Alle *Popanoceras*-Arten. *Pop. (Stachoc.) globosum, perepetitum, Durae, benedictinum, Agath. Suesi, Kingi, Distefanoi, Medlicotti, Vernoulli, Schopeni, Marcoui, Prosagoceras Beyrichi, Galilaei, affine, Mojsisovici, Parapronites*.

Die Crustaceen,¹ Gastropoden und Zweischaler sind nicht weniger mannigfaltig entwickelt als die Cephalopoden, aber nicht zu stratologischen Vergleichen geeignet, da ihre Vertretung an anderen Vorkommen (Artstufe und Productuskalk) nur dürftig ist. Doch sei die weitgehende Übereinstimmung zwischen den Gastropoden der Alpen (Krain, Kärnten) und denen des Sosio hervorgehoben.

Die bisher nur zum Theil beschriebene Brachiopodenfauna des Siosiokalkes besitzt zweifellos eine sehr ausgeprägte Eigenart,² wie die Gattungen *Megarhynchus* und *Scacchinella*, die auch in den Alpen vorkommende Gruppe *Geyerella*,³ der aberrante *Sp. (Martinia) polymorphus* GEMM.,⁴ sowie die hier bis Europa vordringenden asiatischen Formen *Richthofenia* und *Lyttonia* beweisen. Auch in den Karnischen Alpen kommen einige dieser südlichen Formen (*Scacchinella* und *Richthofenia*) vor. Immerhin sind nicht sämtliche Brachiopodenarten dem Siosiokalk eigentümlich: Insbesondere kommen in den Klippenkalken des Tschitschun 5 Arten vor,⁵ welche zweifellos mit sicilischen ident sind.

norites Koninski. *Pronorites* (Daroelites) Meeki. *Thalass. Philippii*, *subreticulatum*, *microsticus*, *Paracelites* Hoferi.

Bei Pässe di Bargio finden sich: *Cyclolobus* („*Wangenoceras*“) 2 Arten, Papan, (*Stacheoc.*) *mediterraneum*, Tietzei, Darae. Papan. (*Hyattites*) *turgidum*, Anica., *Agathic. Suessi*, *elegans*, *insigne*, *ensiforme*, *Agath. (Hoffmannia) Hoffmanni*, *Medlicottia* Verneuil, *bifrons*, *Proangoceras* Beyrichi.

¹ Einige Trilobiten sind auf Taf. 59b abgebildet. Der Brachyaro *Oonocarcinus* (Taf. 59b, Fig. 3) ist ziemlich sicher bestimmbar; die zu den marinen Decapoden gerechneten Reste von Palaeopemphix bestehen nur aus Theilen des Cephalothorax, welche der Muschelkalkform ähneln. Eine vollkommen sichere Bestimmung ist jedoch bei der Unvollständigkeit des Materials nicht möglich. Hingegen gehört „*Paragyrogon*“ GEMM. nicht zu den Decapoden, sondern ist ident mit der Phyllopoetengattung *Cyclus* (englische Steinkohlenformation), die auch als Entwicklungsform von *Limulus* gedeutet wird.

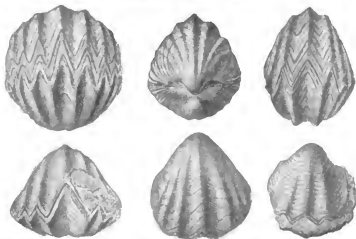
² Allerdings dürfte *Rhœtina* GEMM. nicht von *Dielasma*, und *Squamulifera* GEMM. nicht von *Athyris* unterschieden werden können, ebenso wie *Rostranteris* GEMM. nur eine Section von *Notothyris* bildet.

³ *Richthofenia*, *Megarhynchus*, sowie die etwas abseits stehende *Scacchinella* bilden, wie G. GEMMELLARO im Wesentlichen richtig hervorhob, eine zusammenhängende Gruppe; für die beiden erstgenannten Gattungen kann der (Unterordnungs-) Name *Coralliopsida* WAGG. als Familienbezeichnung beibehalten werden. Ich wüchte im Gegensatz zu GEMMELLARO (sopra due nuovi generi di Brachiopodi etc., Palermo 1896, p. 9) keine grundsätzliche Verschiedenheit innerhalb der Reihe *Strophalosia-Aulosteges-Megarhynchus-Richthofenia* sehen. Die (kleine) Deckelklappe zeigt bei allen nur unwesentliche Unterschiede der Grundelemente: Das Medianseptum ist bei *Aulosteges* (p. 287) lang, bei *Megarhynchus* kurz, der Schlossfortsatz bei ersterem kurz, bei letzterem verlängert. Die Eindrücke der Divaricatoren stehen bei *Megarhynchus* auf hohen Seckeln, liegen aber an derselben Stelle, wie z. B. bei *Aulosteges Medlicottianus* (p. 287). Ebenso ist die Hohlklappe von *Megarhynchus Marti* nur durch grössere Höhe und vertretende Deltoidalgegend von *Aulosteges gigas* (mt. Zechstein Taf. 63) verschieden, während allerdings die Unterschiede von den älteren Arten (*A. Medlicottianus* p. 287) bedeutsamer sind.

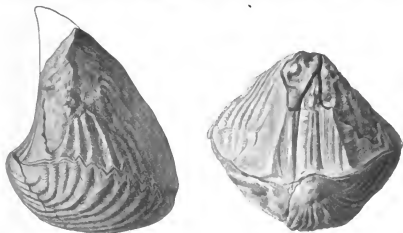
Von den weiteren Brachiopoden der Sicilischen unteren Dyas steht *Richthofenia sicula* der indischen Art näher als *R. communis*, welche der wurzelförmigen Anhängen entbehrt. Die Gruppe oder Untergattung *Geyerella* SWEDELL. (Textbild) schliesst sich zunächst an *Derbyia* an und ist nur am Sosio und in den Ostalpen gefunden worden.

⁴ Von dem wohl *Martinia variabilis*, *ariformis*, *lunellosa* und *umbonata* nicht zu trennen sind. Cf. l. c. Taf. 31.

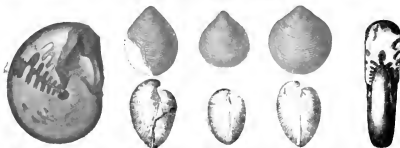
⁵ Deren Benennung und Beschreibung fast gleichzeitig durch C. DIERNA (1897) und GEMMELLARO (1896) erfolgt ist. Da eine Vergleichung bisher nur auf Grund der Abbildungen möglich war, ist die Zahl der als ident zu bezeichnenden Arten noch gering, wird sich aber nach Ausführung direkter Vergleiche zweifellos wesentlich vermehren.



Enteles Waageni GEMM. (= *E. Tschernyschewi* GEMM. non DIKS. = *E. Oehlerti* GEMM.) Sosiokalk. N. SEMPFR.



Geyerella Gemmellari SCHILLW. Sosiokalk (Calcare grossolano, Pietra Salomone). Orig. SCHELLWIEN's. Nach dem Original-Exemplar berichtigt.



Mitte: *Sp. (Reticularia) conveziuscula* GEMM. (= *R. pulcherrimum* GEMM.) Sosio. N. SEMPFR.
Rechts u. links: *Parapronorites Konineki* GEMM. Rocca di S. Benedetto am Sosio. Orig.-Zeichnung.



Sp. (Martinia) acutomarginalis DIXON = *Martinia Semirana* GEMM. = *Cornelia* GEMM.



Spirifer (Martinia) polymorphus GEM. = *aciformis* GEM. = *lanellosus* GEM. = *variabilis* GEM.
Sosiokalk. N. M. SEMPER.

Weitere Beziehungen bestehen, wie die folgende Tabelle erkennen lässt, zum mittleren Productuskalk, Timor, Djulfa, Yar-ka-lo und dem unteren Zechstein. Das zunächst gelegene, facieell ähnliche Vorkommen des Trogkofels in den Ostalpen besitzt zwar etwas höheres Alter, zeigt aber aus den angegebenen geographischen Gründen die nächsten Beziehungen.

Brachiopodenarten, die in der Palaeodyas grössere Verbreitung besitzen (vergl. Taf. 57d).

	Finnl. Sosio (Siedlen)	Tschititschon (Tibet)	Mittlerer Productuskalk Yar-ka-lo (Yunnan)	Timor (Ajer Mdi)	Unt. Zechstein	Oh. Dyas	Djulfa
<i>Rhynchonella (Uncinulus) timorensis</i> BEYL. (= <i>Theobaldi</i> WAAO. = <i>Siculus</i> GEMM.)	+	+	+	+	—	—	—
<i>Cameroph. humbelenensis</i> HOWSE (= <i>multiplicata</i> KISO = <i>aem- inata</i> GEMM.)	+	—	+	—	+	—	—
<i>Cameroph. Purdoni</i> DAV. (= <i>plicata</i> KAT. = <i>alpina</i> SCHELLW.) Obercarbon und	—	+	+	—	—	—	—
<i>Hemiphykina sparsiplicata</i> WAAO.	—	+	+	+	—	—	—
<i>Diclasma biperlex</i> WAAO.	—	+	+	—	—	—	—
<i>Athyris subexpansa</i> WAAO.	—	+	+	—	—	—	—
<i>Spiriferella grandis</i> WAAO. (Tze-do, Yunnan, Balia Maaden) . .	—	+	—	—	—	—	—
<i>Spir. (Martinia) acutos marginalis</i> DIEN. = <i>Semiramis</i> GEMM. = <i>Cornelia</i> GEMM.	+	+	—	—	—	—	—
<i>Spir. (Martinia) elegans</i> DIEN. ¹ (= <i>Distefanoi</i> GEMM. = <i>Pacumi- nata</i> GEMM.)	+	+	—	—	—	—	—
<i>Spir. (Reticularia) Waageni</i> LÖCKY (= <i>affinis</i> GEMM.) B. Maaden	+	—	+	+	—	—	+
<i>Spirif. Wynnei</i> WAAO. (= <i>Siculus</i> GEMM.)	+	+	+	—	—	—	—
<i>Enteles Tschernyschewi</i> DIEN. (non <i>E. Tschernyschewi</i> ² GEMM.) = <i>Enteles elegans</i> GEMM.	+	+	—	—	—	—	—

Marine Palaeodyas in Nordamerika.

Im Südwesten des palaeozoischen Gebietes von Nordamerika liegt etwa zwischen dem Red River und dem Colorado die mehrere Hundert engl. Quadratmeilen umfassende Dyas von Texas.

¹ Höchst wahrscheinlich gehört zu den übereinstimmenden Arten noch *Sp. (Martinia) nucula* ROTPL. (Timor, Tschititschon und Balia Maaden [N.W. Kleinasien]) = *rupicola* GEMM. (Sosio). Die Unterschiede sind jedenfalls ganz minimal.

² Die Gleichzeitigkeit der Abfassung der Arbeiten C. DIENER's (erschienen 1898) und G. GEMMELLARON's (erschienen 1899) ergibt sich n. a. daraus, dass beide unabhängig zwei verschiedene *Enteles*-Arten nach TH. TSCHERNYSCHEW benannt haben. Da C. DIENER's Arbeit früher erschienen ist und *Ent. Tschernyschewi* GEMM. (non DIENER) mit *Enteles Waageni* GEMM. und *Oehlerti* GEMM. zusammenfällt (M. SEMPER), so erledigt sich diese Verwirrung ziemlich einfach: *Enteles Tschernyschewi* GEMM. ist als *E. Waageni* GEMM. zu bezeichnen.

Die Dyas lagert auf Ohercarhon mit charakteristischer Fauna;¹ eine scharfe Grenze ist nicht vorhanden. Diejenigen Schichten, aus denen der bezeichnende Dyasammonit *Popanoceras Parkeri* HEILPRIN² stammt, sind bereits zu der jüngeren Formation zu rechnen.³

Besonders wichtig ist der Ammonoiten-führende Aufschluss bei Wichita military crossing, der von WHITE beschrieben wurde,⁴ während eine zusammenfassende Schilderung der texanischen Dyas von W. F. CUMMINS⁵ herrührt.

Eine der reichsten Wirbelthierfaunen, welche überhaupt aus dem Ende der palaeozoischen Zeit bekannt sind, stammt nach CORE aus Texas und dem östlichen Theile von Illinois; nicht weniger als 21 Arten von Fischen, 16 Stegocephalen und 39 verschiedene Reptilienformen wurden unterschieden. Die folgende summarische Aufzählung⁶ giebt einen Begriff von der Mannigfaltigkeit des Wirbelthierlebens:

Klasse	und	Ordnung	Familie	Die wichtigeren Gattungen	Texas	Illinois
Fische:		<i>Selachii</i>		<i>Janassa</i> Taf. 60, Fig. 8—10.	+	+
				(<i>Pleuracanthus</i> (= <i>Orthacanth</i>) und die zugehörigen Zähne:	—	+
		<i>Dipnoi</i>		(<i>Diplodus</i> (= <i>Didymodus</i> CORE) <i>Sagrinodus</i> (= <i>Ctenodus</i>) (7 Arten)	+	—
				<i>Ptyonodus</i>	+	+
				<i>Ectosteorhachia</i>	—	+
Amphibien:		<i>Tetradomi</i>		<i>Trimerorhachia</i>	+	—
			<i>Ganocephalia</i>	(<i>Zatrachys</i>	+	—
				<i>Eryops</i>	+	—
			<i>Rhachitomi</i>	(<i>Acheloma</i>	+	—
				<i>Diplocaulus</i>	+	+
			<i>Stegocephali</i>	<i>Endolomeri</i>	+	+
				<i>Cricotus</i> (p. 447)	+	+
Reptilien:		<i>Theromorpha</i>		<i>Clepsydrops</i>	+	+
			<i>Clepsydropsidae</i>	<i>Archaeobelus</i>	—	+
				<i>Dimetrodon</i>	+	—
				<i>Naosaurus</i> (p. 444)	+	—
				<i>Therapsaurus</i>	+	—
				<i>Edaphosaurus</i> u. a.	+	—
				(<i>Pariotichus</i>	+	—
			<i>Pariotichidae</i>	(<i>Ectocynodon</i>	+	—
				(<i>Pantylus</i>	+	—
			<i>Bolosauridae</i>	<i>Bolosaururus</i>	+	—
				<i>Chionyr</i>	+	—
			<i>Diadectidae</i>	<i>Diadectes</i>	+	—
				<i>Eumecurus</i>	+	—
				<i>Helodectes</i>	+	—

¹ N. WHITE u. a. mit *Diadema boridensis*, *Spir. cameratus* (Taf. 47 c, Fig. 9), *Athyris subtilita*, *Prod. semireticulatus* n. nebrascensis (Taf. 47 c, Fig. 15), *costatus*, *Coro*, *Meckella crassa* M. H., *Myalina subquadrata* SHUM., *Macrocheilus ponderosus* n. n.

² Proc. Acad. Nat. sciences Philadelphia 1884, p. 58 und КАРПЕНКЪ, Ammonoiten der Artinskstufe t. 5, f. 5.

³ Cu. A. WHITE, On the Permian formation of Texas. American Naturalist. Febr. 1889, p. 109 bis 128. M. Tafel. Ref. N. J. 1890, I p. 98. Ders., The Texas Permian and its mesozoic types of fossils. Bull. U. S. Geol. survey N. 77. 1891. Ref. N. J. 1892, II p. 298.

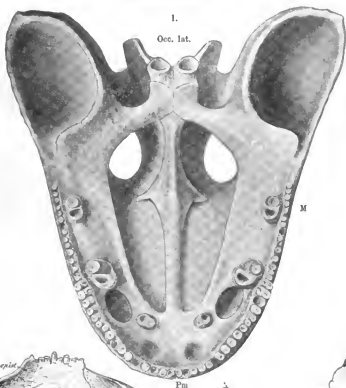
⁴ W. F. CUMMINS, Ann. Rep. of the Geol. survey of Texas, I 1889 und besonders ibid., II p. 460 (referirt u. a. Palaeontogr. 1899, p. 62).

⁵ CORE, Catalogue of the species of Vertebrata etc. Transactions of the American philosophical society N. Ser. Bd. 16. Philadelphia 1890.

⁶ Wahrscheinlich synonym mit *Eryops*.

⁷ und Neu-Mexico. Die gesperrt gedruckten Formen sind abgebildet.

*/ *P. parkeri* teilweis. vorkommt in The Lower Coal Measures, Steinförderung, New Co. Lynn, & was never found in the Permian. f. 49.



Eryops megacephalus (COPE). Unt. Palaeodyas. Texas, Indian Creek, Thal des Big Wichita.

Fig. 1. Schädelunterseite (nach 4 Schädeln restaurirt). N. BRULL.

P. Parasphenoid. Pt. Pterygoidea. Occ. lat. Occipitalia lateralia. Pa. Palatinregion. M. Maxilliarregion. Pm. Praemaxilliarregion. V. Vomerregion.

Fig. 2. Schultergürtel, von oben, epist. Episternum, cl. Clavicula, clei. Cleithrum.

Fig. 3. Linke Vorderextremität, von unten.

Cor. Coracoid. Sc. Scapula.

Fig. 4. Linke Vorderextremität, von oben. (Verkl. R. COPE.)

Dyas-Ammonoiten aus der oberen Palaeodyas (obere Wichita Schichten) von Texas.
N. C. A. WHITE.

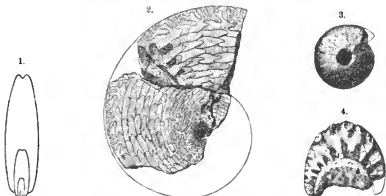
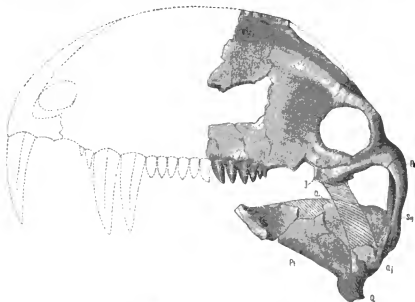


Fig. 1 u. 2. *Medlicottia Copi*.

Fig. 1. Skizze, den Querschnitt der Windungen zeigend. Fig. 2. Seitenansicht.

Fig. 3 u. 4. *Papanoceras Cumminsi*.

Fig. 3. Seitenansicht eines kleinen Exemplares. Fig. 4. Teilansicht eines grösseren Exemplares.



Naosaurus clariger Cox. Untere Dyas, Texas. $\frac{1}{3}$ nat. Gr.

Pa = Pariotale.

Q = Quadratum.

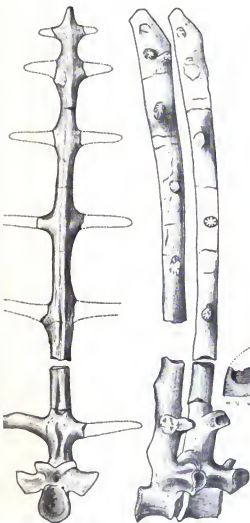
Sq = Squamosum.

J = Jugale.

Qj = Quadrato-jugale.

Pt = Pterygideum.

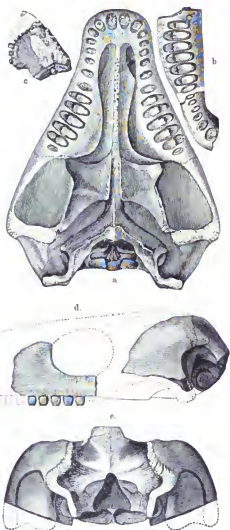
Aus Transactions of the American Philosophical Society held at Philadelphia, for promoting useful knowledge. vol. XVI. New series, 1890, Taf. II n. III.


Naosaurus claviger Corr.

 $\frac{3}{4}$ nat. Gr.

'irbel mit enorm verlängerten seitlich verzweigten Dornfortsätzen.

Aus der unteren Dyas von Texas. Nach Corr.


Empedias molaris Corr. (Nach Corr.) $\frac{1}{4}$ nat. Gr.

Untere Dyas, Texas.

a. Gaumensicht des Schädels. b. Desgl. c. Seitenansicht der Symphyse. d. Seiten- und e. Hinterhauptsansicht.

Dieselbe Entwicklung wie die texanische Dyas zeigen die altersgleichen Schichten in Kansas (vergl. p. 378, 379); auch hier ist ein allmählicher Übergang in das Carbon nachweisbar. Jedoch zeigen in Kansas Palaeo- und Neodyas („Permocarboniferous“ und „Permian“) ungleichförmige Lagerung. Der obere Theil der älteren Stufe ist durch Salzschiechten, die Ablagerungen eines eintrocknenden Binnensees gekennzeichnet und das wiederkehrende Meer lagert discordant auf den älteren Sedimenten. Im Folgenden sind die Kansasschichten nach einer neueren, mit sehr zahlreichen (überflüssigen) Namen versehenen Übersicht¹ aufgezählt.

Texas.

Kansas.

Discordant auflagernd: Trias oder Kreide.

<p>Neodyas</p> <p><i>Double Mountain beds</i></p> <p><i>South of Dry Creek</i></p>	<p>Double Mountain beds</p> <p>Rother und bunter Sandstein, Sandschiefer, Kalk, Thon, Gyps und Salzschiefer.</p> <p><i>Nagavicius belli & Multicottia</i></p> <p>Aus diesen Schichten stammt ein Theil der dyadischen Wirbelthiere.</p>	<p>Marion (— Cimarron) Series (p. 378)</p> <p>vorwiegend roth gefärbt ohne Versteinerungen ohne Kalk</p> <p>(Kiger) Sandstein (Big Basin)</p> <p>Schiefer (Hackberry)</p> <p>Dolomit (Day Creek)</p> <p>Sandstein (Red Bluff)</p> <p>Schiefer (Dry Creek)</p> <p>Gyps (Cave Creek)</p> <p>(Salt Fork) Schiefer (Flower pot)</p> <p>Sandstein (Cedar Hills)</p> <p>Salzschiechten (Salt Plain)</p> <p>Sandstein (Harper)</p>
<p>Palaeodyas</p> <p><i>Wichita</i></p> <p><i>Albany</i></p>	<p>Ob. Wichita (Clear Fork)-Stufe</p> <p>Sosiokalk.</p> <p>Kalk, Thon, Schiefer, Sandstein mit <i>Medlicottia Copei</i>, <i>Papanoc. (Hyattites) Cumminsi</i>, carbonischen Brachiopoden u. Mollusken (s. o.)</p> <p>Untere (eigentl.) Wichita beds</p> <p>Sandstein, Sandschiefer; Thon u. Conglomerat. Rother Thon durch Eisen gefärbt, blauer z. Th. kupferreich.</p> <p>Hauptlager der Theriodonten (<i>Nosaurus</i>), Stegocephalen (<i>Eryops megacephalus</i>) u. Fische.</p>	<p>Big Blue Series</p> <p>Schiefer und Kalklager (Sumner) mit Zweischalern und <i>Derbyia multistriata</i> (Wellington-Shale)</p> <p>Gedda Salzschiechten.</p> <p>Chase p. 378.</p> <p>(Flint Hill)</p> <p>Neosho p. 378.</p>

Allmählicher Übergang in das Obercarbon.

¹ F. W. CHASE, The Permian system in Kansas. Colorado College studies 1896, 6.

Der grössere Theil der Wirbelthiere stammt aus der tiefsten Zone der unteren Wichita-beds,¹ ein kleinerer aus den oberen (neodyadischen) Double-Mountain beds. Die zwischen beiden liegenden oberen Wichitaschichten enthalten eine wesentlich aus carbonischen Typen bestehende Fauna von Mollusken und Brachiopoden,² sowie einige an den Siosiokalk erinnernde Ammonoiten. *Medlicottia Copei* WHITE, *Papan. Walcottii* WHITE und *Pop. (Hyalites) Cuminsi* WHITE haben ihre nächsten Verwandten in der marinen sicilischen Dyas.

Auf eine Vertretung der unteren marinen Dyas in Californien könnte das Vorkommen von *Spirifer Wynnei* hinweisen, der in den Schiefertönen (Argillites) über dem McCloud-Kalk in Californien vorkommt und anderwärts, am Tschititschun, in der Salzkette (Virgal Beds) und am Ural (Artastufe) die untere marine Dyas kennzeichnet.³

Die rothen Mergel und Schiefer, welche die phantastisch bunten Formen der Painted desert in Arizona, Neu-Mexiko, Utah und Colorado zusammensetzen, überlagern den Aubreykalk (Profil p. 9, VII) und besitzen ebenfalls das Alter der Dyas. Versteinerungen sind nur spärlich beschrieben worden. Eine Anzahl von Zweischalern sammelte ich in dolomitischen Mergeln von Fort Douglas bei Salt Lake city:

Pleurophorus imbricatus WAAGEN.

Schizodus Schlotheimi KING. (Fossils of the Magnesian limestone t. 15, f. 3) und

Allarisma cf. elegans KING.

Dalmanella sp.

Edmondia aspinicollensis MEEK.

Dieselben Wirbelthiere wie in Texas werden im östlichen Illinois aus einem röhlichen Schieferthon beschrieben, der dem obersten Theil der meist als Obercarbon bezeichneten Serie angehört: Etwa 2100' über der Basis, 110' unter dem obersten Theile dieser Schichtenfolge⁴ liegt in Vermilion county ein „Bonebed“, dessen Reptilienfauna (*Clepsyrops Colleti* COPE und *Winslowi* COPE, *Cricotus heterodilus* COPE p. 447) für Dyas spricht. Die Fische sind weniger bezeichnend.⁵

Die Brachiopoden, welche z. Th. noch über dem Bonebed vorkommen, sind carbonische, vielfach in die marine Dyas hinaufgehende Arten,⁶ so dass jede Beziehung zur Trias ausgeschlossen ist. Wir haben wahrscheinlich in Illinois ein Aequivalent der Artastufe vor uns und die Reptilien als die ältesten bisher bekannten Formen der Klasse anzusehen.

Quemous and the Middle beds of Michigan showing in the North.

¹ Als Wichita-beds bezeichnet CRUMM die unteren Vertehrathenschichten, während er die „Cephalopoda-beds“ als Clear Fork bezeichnet; gerade die letzteren nennt WHITE Wichita-beds. Da der letztere Name einigermaßen bekannt geworden ist, glaube ich denselben auch hier beibehalten und mit der obigen Unterscheidung verwenden zu müssen.

² U. a. *Nautilus Winslowi* MEEK und WORTH. *Enompholus subquadratus* M. et W., *Bellerophon montfortianus* NOBIL. et PAVAT., *Pleurophorus occidentalis* GRAY., *Yoldia subcincta* M. et W., *Mytilus peruvianus* SWALL., *M. ariculoides* M. et W., *Terrellia (Bakerella) longa* GRAY., *Ariculopecten occidentalis* SMITH., *Syringopora* sp.

³ FRANK SMITH deutet diesen californischen Horizont als oberstes Carbon. Mesozoic changes in the faunal geography of California. Journal of geology Chicago 1895, p. 373.

⁴ D. COPE, Proc. Americ. Philos. soc. Vol. 17, N. 100 (1877), p. 52; über die Schichtenfolge siehe Geology of Illinois IV, p. 245. Aus der genannten Übersicht der Schichtenfolge ergibt sich, dass in dem Bonebed selbst und in 3 oder 4 Horizonten darüber die aufgeführten Brachiopoden vorkommen.

⁵ *Diplodus* (= *Diplomodus* COPE, Zähne von *Pleuracanthus*), *Sagenodus*, *Pyrdorhina*.

⁶ *Spirifer convexatus*, *Spir. lineatus*, *Athyris subtilita*, *Dielsium bovidens*, *Meckella crassa*, *Prod. goniatinus*, *Rogersi*, *scabriculus*, *Spiriferina kentuckiensis*; ausserdem *Lophophyllum proliferum*.

III. Das Rothliegende in Mitteleuropa.

A. Das Rothliegende und das oberste Carbon in Böhmen und Schlesien.

Die enge Verbindung der productiven Steinkohlenformation mit dem Rothliegenden lässt eine gesonderte Behandlung beider vielfach unthunlich erscheinen. Es wurden daher schon oben (p. 350—354, 341) die Carbon- und Rothliegend-Vorkommen der rheinischen Gebirge und des südlichen Harzrandes im Zusammenhang erörtert. Im Folgenden sollen — abgesehen von den zerstreuten Vorkommen Westeuropas — die auf der alten böhmischen Masse und dem französischen Centralplateau lagernden Kohlenbecken in ähnlicher Weise behandelt werden.

Jede Gruppe dieser kleinen, theilweise durch spätere Denudation getrennten Kohlenbecken hat ihre Localgeschichte,¹ ihre locale Flora und Fauna. Vollständige Schichtenfolgen sind nirgends vorhanden. Im südlichen und östlichen (Böhmisch Brod) Böhmen fehlt das Obercarbon, und vielfach

lagert das mittlere Rothliegende auf dem Urgebirge; in der Mitte des Landes (Radnitz) ist das Rothliegende mehrfach durch spätere Denudation entfernt worden.

Profil durch das mittlere Rothliegende bei Böhmisch Brod. Nach J. KŘEJČÍ.



- | | |
|------------------|------------------|
| 1 Rothliegendes. | 4 Kreidegebilde. |
| 2 Kohlenflötzen. | 5 Granit. |
| 3 Phyllit. | |

1. Das Obercarbon.

Die Carbonschichten der böhmischen Binnenbecken, deren combinirtes Normalprofil (Radnitz-Kladno) hier wiedergehen ist, beginnen meist mit einem Grundconglomerat, der ersten Ausfüllung des alten Gehirgssees. Zuweilen lagert jedoch auch Schieferthon oder das Kohlenflötz (Libuschin bei Kladno) unmittelbar auf dem Grundgebirge. Grosse Unbeständigkeit in der Mächtigkeit der Flötze, ein Anwachsen der Zwischenmittel und vollkommenes Auskeilen der Kohle deutet auf die unregelmässigen Ablagerungsverhältnisse der Gebirgsbecken. Zu dem gleichen Schluss der Zusammenschwemmung (Allochthonie) der Flötze führt das mehrfach (besonders bei Kunowa) in der Steinkohle beobachtete Vorkommen von Geröllen.

Vereinzelte, aufrecht stehende (his 3 m hohe) Calamitenstämme beweisen jedoch, dass gelegentlich auch ein an Ort und Stelle gewachsener Wald zu der Flötzbildung beitragen konnte.

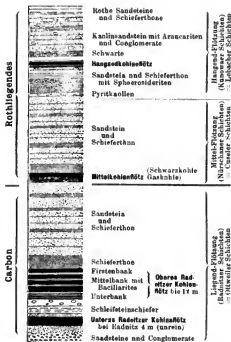
Die Faltung ist wesentlich intracarbonisch und hat somit die Carbon-Rothliegendbecken nur in postumen Bewegungen betroffen. Häufiger finden sich da-

¹ Eine sehr ausführliche Darstellung giebt F. KATZ in der Geologie von Böhmen p. 1074 his 1228. (Hier auch vollständige Litteraturnachweise.) Einige der wichtigeren Arbeiten sind:

K. FREYMANTEL, Die Steinkohlengebilde in der Umgebung von Radnitz in Böhmen. Abb. böhm. Ges. d. Wissensch. V. F., II. Bd. 1861. Ders., Das Steinkohlenbecken bei Klein-Prilep etc. Arch. Naturw. L.-Durchforsch. II, 1872.

D. STICH, Steinkohlensflora von Rakonitz. Verh. G. R. A. 1866. Ders. über die ausseralpinen Ablagerungen d. Steinkohlenform., ebend. 1874, p. 189; Umgebung von Rakonitz und Keunova, ebenda p. 267; ders., Geolog. Verhältnisse des Jemnitzschachten. Jahrbuch G. R. A. 1878, p. 369.

gegen Brüche, die jedoch nicht in allen Fällen die unregelmässige Vertheilung der Flötze erklären. Vielmehr scheinen — abgesehen von der ursprünglichen Unregelmässigkeit des Absatzes — zuweilen auch Auswaschungen vorhandener Flötze stattgefunden zu haben.



Schematische Darstellung der Ablagerungen des Carbon-systemes in Böhmen. Z. Th. nach K. FEISTMANTL.

Das Mittelkohlenflöz führt gewöhnlich unten Plattkohlle, eben Schwarzkehle. Ueber dem Hangendkohlenflöz folgt zunächst die sogen. Schwarte, darüber Schieferthone mit Sphaerosideriten.

Die Ähnlichkeit der allgemeinen Entwicklung mit der des Thüringer Waldes und des französischen Centralplateaus erleidet nur eine Ausnahme: das fast vollkommene Zurücktreten von Eruptivdecken und Tuffen im Inneren der böhmischen Masse.¹ Im Gebiet von Schatzlar, an der Schlesischen Grenze sind Melaphyre und Quarzporphyre mächtig entwickelt. Jedoch liegt hier ein anderer Entwicklungstypus — autochthone Flötzbildung — vor, welche nicht mit der Facies der allochthonen kleinen Kohlenbecken verwechselt werden darf.

In Mittelböhmen beginnen die Vorkommen des Obercarbon und des Rothliegenden bei Kralup und verbreiten sich über Schlan, Kladno, Rakonitz, Beraun,² Radnitz,³ Míroschan,² Pilsen und Maunten bis nach Mies. Am südlichen Fuss des Riesengebirges überlagert Rothliegendes das Schatzlarer Carbon (oben p. 341).³

Geringere Ausdehnung besitzen die Vorkommen des Rothliegenden in Ostböhmen (Senftenberg, Landskron sowie die Becken von Schwarzkostelitz und Silber-Skalitz, s. unt.

p. 527). Ebenso geringfügig ist die Ausdehnung des Rothliegenden im Süden des Landes bei Budweis, Tabor, Wlasehin und Diwischan.

Die folgende kleine Tabelle der Rothliegend- und Carbonvorkommen des mittleren, westlichen, südlichen und östlichen Böhmen geht zwar von der Zusammenstellung KATZER's (l. c. p. 1211) aus, weicht aber insofern ab, als die beiden

¹ Bei Radnitz und Kladno sind wenig mächtige Lager von Porphyrtuff bekannt.

² Hier findet sich ausschliesslich Obercarbon, während sonst Rothliegendes das Hangende bildet oder wie im Süden und Osten ausschliesslich auftritt.

³ Vergl. KATZER, Geologie von Böhmen, p. 1080.

Radnitzer Flötzzüge mit den Ottweiler Schichten verglichen werden.¹ Zweifellos gehören hierher die oberen Radnitzer Flötze, die Vorkommen von *Stradonitz* (unweit Beraun), *Miröschau* (mit *Pecopt. arborescens* und *Pluckeneti*, *Sphenoph. verticillatum*), das untere Pilsener Kohlenflötz, *Prilep*²) und die kleine, südlich von letzterem gelegene Merkliner Mulde.³

Für das untere Radnitzer Flötz wäre eine Gleichstellung mit der oberen Zone der Saarbrücker Schichten in Betracht zu ziehen, wenn man der auf älteren Bestimmungen beruhenden Angabe des Vorkommens von *Sphenopt. obtusiloba*, *Neuropteris gigantea*, *Mariopt. muricata* und *acida*⁴ (KATZER, l. c. p. 1092) Vertrauen schenken wollte. Vorwiegend sind allerdings auch in diesen Listen Ottweiler Arten vertreten.

Die umfangreichste Kohlenablagerung in Mittelböhmen ist vielfach durch Verwerfungen zerstückelt und erstreckt sich von Kralup an der Moldau über Kladno und Schlan nach Rakonitz in einer Ausdehnung von 20 □ Meilen. Das bis 8,50 m mächtige (obere) Hauptflötz und das Grundflötz (letzteres über Grundconglomerat) wird mit dem Radnitzer Ober- bzw. Unterflötz verglichen. Eine genauere Horizontirung ist nach den vorliegenden Versteinerungslisten ansthenlich. Bemerkenswerth ist der Reichtum an Landthieren, unter denen besonders Arachniden und Insekten in dem Schleifsteinschiefer zwischen den beiden Flötzen häufig sind.

2. Das Rothliegende in Mittelböhmen.

Die Frage der Abgrenzung von Rothliegendem und Obercarbon in Mittelböhmen ist von allgemeinerem Interesse, weil hier in dem strittigen Nürschaner Grenzhorizont (der Gas- oder Plattelkohle) eine reiche Wirbelthierfauna — neben der texanischen die reichste des jüngeren Palaeozoicum — durch A. FRITSCH⁵ entdeckt und beschrieben worden ist. Aus der folgenden Über-

¹ Allordings kann auch dies nur mit allem Vorbehalt ausgesprochen werden, da die Bestimmungen der Pflanzen sämmtlich aus alter Zeit stammen. Der STUCKE'sche Classificationsversuch (vergl. I, p. 65) ist von dem Verfasser selbst als provisorisch bezeichnet worden (Verhandl. G. R. A. 1874, p. 209) und wurde durch die späteren Forschungen nicht bestätigt. U. a. besteht kein phytopalaeontologischer Grund, die Miröschauer Schichten für älter zu halten als die Radnitzer. Ferner sei erwähnt, dass die Rössitzer und Zeusch-Wieskaner Schichten nach STUCKE etwa den Nürschaner Schichten d. h. der Cuseler Stufe entsprechen.

² Nach den vorliegenden Bestimmungen scheinen die hier gefundenen Arten sämmtlich eher für den oberen Theil der Saarbrücker Schichten als für die Ottweiler Stufe zu sprechen, so *Sphen. obtusiloba* und *Hoeninghausi*. Es findet sich in diesem kleinen Becken nur ein einziges Flötz zwischen Grundconglomerat und bangenden Schiefer.

³ O. FEISTMANTEL, Sitz-Ber. der böhm. Ges. der Wissenschaften, 1872.

⁴ *Mariopteris muricata* würde z. B. unbedingt als leitend für die Saarbrücker Stufe zu betrachten sein. Doch gemahnen die älteren Bestimmungen, vor allem diejenigen O. FEISTMANTEL'S (Pflanzenreste des böhmischen Steinkoblengebirges, Palaeontogr., Cassel 1874—76), deren Originalstücke ich im Breslauer Museum nachprüfen konnte, zur grössten Verächt.

⁵ A. FRITSCH, Fauna der Gaskohle, 3 Bände. Prag. 1888—1895 umfasst die Beschreibung der Stogocephalen und Fische. Vergl. die Bemerkung p. 446. Ein vierter Band ist begonnen. Für die obige Frage vergleiche man auch KATZER, Geologie von Böhmen, p. 1144 ff. und (in entgegen-gesetztem Sinne): K. A. WETTER, Altersverhältnisse der mittel- und nordböhmischen Carbon- und Permablagerungen. Sitz-Ber. Wiener Ak. Math. Nat. Kl. Bd. 107 (I), p. 1 (1898).

Steinkohlenformation und Mittel- und Westböhmen.

	Radnitz	Beraun					Kladno-Bako- nitz/20 [] ML.	Pilsen
Lebacher Schichten								Rother stein in übergrei- Lager
Untere Lebacher ↕ Obere Kuseler Schichten							Schwarte (Gaskohle) n. Hangendes Flötz 0,8 m von Kunowa m. Geröllen etc. darunt. liegt Sphaerosi- derit	Hangende 0,8 m
Untere Kuseler Schichten							Schwarzkohl. (Cannelkohle) Brandschief. nur selten bauwürdig (= Zemecher Schichten Sruu) 40 m über dem:	Närsel e Schwa b Canne mit Stig a Gash (= Platt oder Bru mit Stegos und Fä
Ottweiler Schichten	Radnitzer Hauptflötz Schleifst. Radnitzer Grundflötz Conglo- merat	Klein Prilep bei Beraun Sandst. Flötz, Conglo- merat	Stradonitz (Lisek) bei Beraun n. a. mit <i>Rhaeo- pteris elegans</i> , <i>Ocypteris</i> , <i>Haidingeri</i> Sandstein, Flötz, Conglomerat	Stiletz	Holub- kau	Let- kow	Miru- schau: Ein Flötz v. 1 m Mäch- tigkeit Hauptflötz von 5,3—8 m Mächtigkeit Schleifstein Grundflötz	2 (Lititz) bis 4 Flötze (Mantau) in un- regelmä- siger Vertheilg. Grund- conglome- rat
Saar- brücker und tiefere Schichten	fehlen							

Südliches und östliches Böhmen.

Mähren.

	Mies	Manetin	Budweis	Tabor	Wlaschim	Böhm. Brod	Landskron	Lissitz
od- der 5				Rother Sand- stein östl. Tobor. P'aronius- Stämme bei Wittingao u. Mühlhausen.	Röthl. Sand- stein m. Kohle (0,5 m) bei Wlaschim m. <i>Callipteria</i> <i>Nannmanni</i> , <i>Pecopt. arbo-</i> <i>rescens</i> , Saadstein von Diwischen	Rother Sand- stein, Kolk- lager und Kohlenflötz- chen bei Schwarz- Kostelitz o. Böhm. Brod. <i>Pecopt. ar-</i> <i>boroscens</i> , <i>Annularia</i> <i>Waldia pini-</i> <i>formis</i> , Conglomerat	Arkosen, Sdzt. u. Conglomer. i. Eisengebirge Rother Sand- stein ohne Verst. und Conglomerate Wilden- schwert, Landskron, (O) Geiers- berg	Lotko a. Lissitz b. Jentsch
Flötz		Rother Sandst. bei Mane- tin und Stiedra N.W. von Pilsen, Thon- schief., Brand- schief., Flötz, Sandst.	An- thracit bei Bud- weis	Das Liegende ist Gneiss, Granit oder Phyllit				
1: ohle hle rien le ohle schf.) bulen en								Alle drei Rossitzer Flötze
lerk- lin	Wra- nowa bei Mies Ein Flötz von 2—4 m Mäch- tigkeit							

sicht ergibt sich zunächst, dass die Zahl der aus dem Carbon heraufreichenden, in der Gaskohle zuletzt gefundenen Gattungen (3) geringer ist als die der neu erscheinenden Gruppen (7). Ferner sind die ersteren verhältnissmässig seltene, nur in wenigen Arten und Exemplaren bekannte Gruppen, während die in den Nürschaner Schichten beginnenden Gattungen die häufigsten und bezeichnendsten Stegocephalen und Fische der Dyas umfassen: Wenn auch *Archegosaurus* in Böhmen überhaupt fehlt, so ist doch die zunächst verwandte Gattung *Sparagmites* hier und im sächsischen Mittelrothliegenden gefunden worden. Ferner erscheint



Branchiosaurus salamandroides Fr. Gaskohle des Unterrothliegenden von Nürschan, Böhmen. Nat. Grösse. N. JAEKEL.
Die häutige nur theilweise durch Knochen gestützte Schwanzflosse in natürlicher Länge.

die Gattung *Branchiosaurus*, der häufigste und am besten bekannte Stegocephale des Rothliegenden hier bereits in 3 Arten und ebenso wurden von *Amblypterus* und *Sagenodus*,¹ den verbreitetsten Fischgattungen der Dyas, die ältesten Arten im Gasschiefer gefunden. Vor allem ist

aber das formen- und individuenreiche Auftreten der Stegocephalen ein Kennzeichen der jüngeren Formation.

Auch floristisch steht die Gaskohle dem Rothliegenden näher: Das Vorkommen von *Odontopteris Schlotheimi*, *Schuetzia anomala* und *Walchia piniformis*² widerlegt die häufig wiederholte Behauptung, dass die Flora ausschliesslich carbonisch sei.

Die petrographische Gliederung des mittleren Rothliegenden ergibt sich aus dem obigen Combinationsprofil. Eine genaue Vergleichung mit der Saarbrücker Eintheilung der unteren Dyas ist wie bei allen Continentalbildungen schwierig. Sowohl die Vertheilung der thierischen Reste wie das Auftreten der Pflanzen zeigt grosse Verschiedenheiten. Wenn die Nürschaner Gaskohle den unteren Kuseler Schichten entspricht, so deutet der Kunowaer Horizont auf obere Kuseler und wohl schon Lebacher Schichten hin.

Das Steinkohlenlager des Kunowaer Hangendzuges besitzt überall geringe Mächtigkeit (kaum 1 m) und wird bei Kladno-Rakonitz von der sogenannten Schwarte überlagert; als Schwarte bezeichnet man einen bituminösen, von Fisch- (*Sagenodus*, *Thrinacoselaps*) und Saurierresten erfüllten Schiefer, in dem auffallenderweise *Amblypterus* fehlt. In den die Schwarte begleitenden Schiefen erscheinen bereits sämtliche Charakterpflanzen des Rothliegenden: *Walchia piniformis*, *Callipteris conferta*, *Annularia spherocephylloides* u. a.

Die röthlichen, z. Th. bituminösen Kalke von Braunau im nördlichen Böhmen bilden ebenfalls noch Aequivalente des Lebacher und Niederhässlicher (p. 531) Horizontes; denn einige wichtige Arten, wie *Acanthodes Bromii*, *Pleuracanthus Decheni* und *Amblypterus Duererugi* kommen bei Lachach und Braunau vor.

¹ *Sagenodus* (= *Ctenodus obliquus* bei FRITSCH n. a.) ist in der Bezeichnung von den älteren *Ctenodus*-Arten wesentlich verschieden.

² FRITSCH, Fauna der Gaskohle I, p. 10.

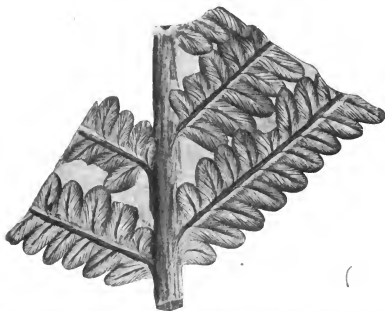
	Carbon	Nürschan	Kunowa und Niederhäslich	Braunau		Carbon	Nürschan	Kunowa und Niederhäslich	Braunau
<i>Reptilia</i>					<i>Gondrya</i> (<i>Archegosauroidae</i> Lrx.)	—	1	—	—
<i>Nasosaurus</i>	—	—	1	—	<i>Sclerocephalus</i> Gr.	—	—	—	1
<i>Stegocaphali</i>					<i>Nyrochonia</i> Fritsch	—	1	—	—
<i>Branchiosaurus</i> , (Fam. <i>Branchiosauridae</i>)	—	3	+	2	<i>Dipnoi</i>				
<i>Sparodus</i>	?	2	—	—	<i>Sagenodus</i> (= <i>Ctenodus</i> <i>Hemictenodus</i>)	—	1	2	1
<i>Dacryonion</i>	—	—	1	—	<i>Selachia</i>				
<i>Melanerpeton</i> , (<i>Apatoni-</i> <i>dac</i>)	—	—	+	3	<i>Hybodus</i>	—	—	1	—
<i>Dolichosoma</i> , (<i>Aistopoda</i>)	+	2	—	—	Ident { <i>Orthacanthus</i> (<i>Xen-</i> <i>acanthidae</i>)	+	1	3	—
<i>Ophiderpeton</i>	+	3	2	—	Ident { <i>Pleuracanthus</i>	?	1	1	2
<i>Hylonomus</i> , (<i>Microsauria</i>)	+	1	? 1	+	Ident { <i>Xenacanthus</i>	—	—	—	1
<i>Urocorylus</i>	+	1	—	—	<i>Protacanthodes</i> (<i>Acan-</i> <i>thodidae</i>)	—	1	—	—
<i>Scincosaurus</i> (= <i>Cerater-</i> <i>peton</i>)	—	7	1	—	<i>Acanthodes</i>	—	1	1	2
<i>Limnerpeton</i>	—	1	—	—	<i>Crossopterygia</i>				
? <i>Seelya</i>	—	1	—	—	<i>Megalichthys</i> (<i>Otreolepi-</i> <i>dor</i>)	+	—	1	—
<i>Ricinodon</i>	—	—	—	—	<i>Chondrostei</i>				
<i>Orthopleurosaurus</i>	—	1	—	—	<i>Triasolepis</i>	—	—	1	—
(= <i>Orthocosta</i>)	—	3	—	—	<i>Acentrophorus</i>	—	—	1	—
<i>Microbrachis</i>	—	—	—	—	<i>Heterocerei</i>				
<i>Dendroterpeton</i> , (gleichn. Fam.)	+	2	1	—	<i>Pyrrocephalus</i> (<i>Palaeo-</i> <i>niscidae</i>)	—	1	—	—
<i>Diplospondylus</i> (<i>Diplo-</i> <i>rartebon</i> , gleichn. Fam.)	—	1	—	—	? <i>Sclerophorus</i>	—	1	—	—
<i>Sparagmites</i> (<i>Archego-</i> <i>sauridae</i>)	—	1	+	—	<i>Phanerozoens</i>	+	1	—	—
<i>Lacommia</i> (<i>Chauliodon-</i> <i>tidae</i>)	+	1	—	—	<i>Amblypterus</i>	—	1	—	11
<i>Macromerion</i> (<i>Euglypta</i>)	—	1	6	—	<i>Aerolepis</i>	+	—	—	3
<i>Chelyderpeton</i> (<i>Melonau-</i> <i>ridae</i> auct., <i>Archego-</i> <i>sauridae</i> Lrx.)	—	—	—	1	<i>Elonichthys</i> (= <i>Progyrol</i>)	—	1	—	—
<i>Ochleosaurus</i>	—	2	—	—	Gattungen, die aus dem Nürschaner Horizont höher hinaufgehen	—	7	—	—
					Aus dem Carbon nur bis Nürschan	—	3	—	—

Es ergibt sich also:

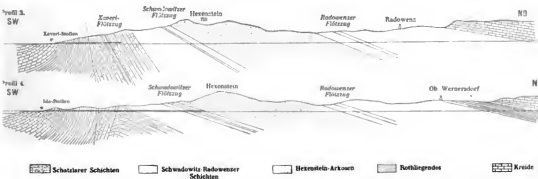
Braunauer = Lebacher Schichten,
 Kunowaer Schwarte¹ = { ? Unterste Lebacher Schichten,
 Obere Kuseler Schichten,
 Nürschaner Gaskohle = Untere Kuseler Schichten.

¹ In vollständiger Entwicklung

{ 4 Bituminöser Schiefer,
 3 Brandschiefer (Gaskohle), als Schwarte mit Wirbelthieren
 nur local (Kunowa, Herrndorf, Libowitz),
 2 Schieferthon,
 1 Flötz (Glauzkohle 0.8).



Callipteria conferta BROT. sp. = *elegans* GORFF. Mittelrothliegendes, Ratzen b. Wünschelburg in der Grafsch. Glatz. (Breslauer Museum.) $\frac{1}{2}$ Originalzeichnung.



Zwei Profile durch den Schatzlar-Schwadowitzer Muldenflügel des niederschlesisch-böhmischen Steinkohlenbeckens. Nach Dr. A. WEITHOFFEN.

Die bituminösen Schiefer (Brandschiefer) von Ottendorf und dem Ölberg bei Braunau sind zweifellos nur eine Facies des Kalkes, wie die Übereinstimmung der Pflanzen (s. d. Tabelle¹) und einiger Fische (*Pleuracanthus Decheni*) beweist.

In der schlesischen Fortsetzung des Braunauer Ländchens (unteres Steinethal, Grafschaft Glatz) gehören die Kalke von Nieder-Rathen¹ und Wünschelburg demselben Horizonte des Mittelrothliegenden an. Der Versuch von A. FRITSCH, auf Grund der Untersuchung der Fische eine weitere Gliederung des Mittelrothliegenden vorzunehmen, kann vorläufig nicht als glückt bezeichnet werden.²

¹ Überall findet sich die bezeichnende Lebacher Flora, wie die folgende Zusammenstellung der in der Breslauer Sammlung befindlichen meist von GOEFFERT beschriebenen Pflanzen beweist. Die Funde von Dürckunzendorf bei Mittelsteine sind vom Verf. gemacht worden.

	Nieder-Rathen (Kalk)	Dürckunzendorf (Thonschiefer)	Ottendorf (Brandschiefer)	Ölberg, Rappers- dorf h. Braunau Brandach, u. Kalk
<i>Callipteria conferta</i> — <i>praelong.</i>	+	+	—	+
<i>lyratifolia</i>	—	—	—	+
<i>Odontopteris suberensulata</i> . . .	+	+	+	—
<i>Pecopteris arborescens</i>	+	—	+	+
<i>Odont. (Eremopteris) Neesiana</i>	+	—	—	—
<i>Taeniopteris foliata</i> v. <i>coriacea</i>	+	—	+	—
<i>Neuropteris cordata</i>	—	—	+	—
<i>Schuetzia anomala</i>	—	—	—	+
<i>Calamites gigas</i>	—	—	+	—
<i>Walechia piniformis</i>	—	+	+	+
<i>filiciformis</i>	—	—	+	—

² Etwas jünger als der Braunauer Horizont könnten vielleicht die rothen Sandsteine von Kalna auf der Südseite des Riesengebirges zu sein; zu den zwei mit Braunau gemeinsamen *Amblypterus*-Arten (*A. Kublikae* und *Zeidlerii*) tritt noch eine eigentümliche Form derselben Gattung *A. Feistmanteli*. Eine Vergleichung mit den oberen Lebacher (Theleyer) Schichten könnte somit in Frage kommen.

Andererseits unterliegt die Stellung des Horizontes von Koschtialow bei Lomnitz und Semil einigen Zweifeln (vergl. KATZEM, Geologie von Böhmen p. 1192 und A. FAIRSCH, Fauna der Gaskohle III, p. 120). Auf Grund des Fehlens der *Amblypterus*-Arten in der Schwarte von Kunewa hält A. FAIRSCH diesen Horizont für älter als die Schichten von Koschtialow und nimmt somit im Mittel-

rothliegenden vier Horizonte an: $\left. \begin{array}{l} 4 \text{ Kalna} \\ 3 \text{ Braunau} \\ 2 \text{ Koschtialow} \\ 1 \text{ Kunewa} \end{array} \right\} \text{Mittelrothliegendes.}$

Das würde eine unverhältnismässige Ausdehnung dieser Stufe im Vergleich zu der überall in Deutschland beobachteten Gliederung bedeuten.

Im folgenden wird der an grossen *Amblypterus*-Arten reiche Brandschiefer von Koschtialow und Semil näher mit dem Kunewauer (nicht wie bei FAIRSCH mit dem Braunauer) Horizont verglichen: Die häufigste Gattung *Amblypterus* fehlt bei Kunewa überhaupt und ist dagegen bei Koschtialow und Braunau ausschliesslich durch verschiedene Spezies vertreten. Es liegt näher, die letztgenannte Verschiedenheit auf ungleiches Alter zurückzuführen und das Fehlen bei Kunewa durch facielle oder geographische Verschiedenheiten der Binnenseen zu erklären. Die Verbreitung der Xenacanthiden gestattet insofern keinen bestimmten Schluss, als nur das jüngere Alter des Braunauer, durch *Pleura-*

Die kleine Tabelle auf nächster Seite versucht die in manchen Punkten nicht ganz klare Auffassung¹ der böhmischen Geologen zu veranschaulichen und mit den Anschauungen BEYRICH's einigermassen in Einklang zu bringen.

canthus Drechmi gekennzeichneten Horizontes scharf hervortritt. Von *Pleuracanthus* kommt bei Kunewitz, Koschtalaw und Braunna je eine eigentümliche Art vor.

Nach abweichender sind die Meinungen über die Horizontirung des Radowener Flötzzuges und des sogenannten versteinerten Waldes vom Hexenstein mit *Araucarites Schrollianus*. Während PORCIS sowie WEITHOFEN (Jahrb. k.k. geol. R.A. 1897 p. 455 ff., vergl. das Profil) auf Grund paläontologischer Studien und Begehungen beide Horizonte dem Carbon zurechnen (ebem p. 332), werden dieselben von den böhmischen Forschern (KATZEN, Geologie von Böhmen, p. 1206), wie es scheint nicht mit Recht, dem Rothliegenden und zwar sogar der Kunowner Schwarte parallelisirt. Nur eine genaue Aufnahme kann die Zweifel lösen. Das Fehlen eines Äquivalentes der Nürschner Schichten dürfte feststehend gelten. Andererseits wird die concentrirte Folge der Schichten im Osten des Riesengebirges (bei ROTH, Erläuterungen zur geognostischen Karte vom niederschlesischen Gebirge. 1897, p. 339—341) betont.

Dies ebenfalls noch zum Mittelrothliegenden gebörenden feinkörnigen, murgeligen Sandsteine von Althondorf bei Nieder-Ruthen in der Grafschaft Glatz zeichnen sich durch prächtige Ausbildung der Wellenfurchen und Regentropfen aus. Die auf ihnen verkenntenden Thiorfährten zeigen die grösste Übereinstimmung mit denen von Hohenelbe (Böhmen), von Kabarz und Friedrichroda in Thüringen, wie Herr Dr. W. PARST mir auf Grund eines genauen Vergleiches der Originale mittheilte. Aus der unten folgenden Tabelle, die ich der Freundlichkeit des genannten Forschers verdanke, ergibt sich nämlich, dass *Ichnium gampoedactylum* W. PARST = *Saurichnites lacertoides* GRIST., an den unten genannten vier Fundorten des mittleren Rothliegenden vorkommt, in dem Tambocher Oberrothliegenden (Thüringen) aber fehlt.

Stegocephalen-Fährten des Rothliegenden nach W. PARST.

	Mittleres Rothliegendes					Obores Rothliegendes
	Hohenelbe in Böhmen	Althondorf bei Neumarkt Grafsch. Glatz	Friedrichroda i. Thür.	Kabarz i. Thüringen	Tambach i. Thüringen	
I. Brachydactyler Typus.						
1. <i>Ichnium sphaerodactylum</i> PARST (= <i>Ichnioth. Cottae</i> POHLIO)	—	+	+	+	+	
1a. var. minor	—	+	—	—	+	
2. <i>Ichnium pachydactylum</i> (= <i>Saurichnites Leisnerianus</i> GRIST.)	—	+	+	—	—	
2a. var. minor	—	+	—	—	—	
2b. var. unguata (= <i>Saurichnites Leisnerianus</i> GRIST.)	—	+	—	—	+	
3. <i>Ichnium brachydactylum</i> (= <i>Saurich. Kablkae</i> GRIST.)	+	—	—	+	+	
4. <i>Ichnium tetradactylum</i> PARST	—	—	—	+	—	
5. <i>Ichnium rhopodactylum</i> (= <i>Saurich. salamandroides</i> GRIST.)	+	—	—	—	—	
II. Dolichodactyler Typus.						
1. <i>Ichnium gampoedactylum</i> (= <i>Saurich. lacertoides</i> GRIST.)	+	+	+	+	—	
1a. var. minor (= <i>Saurich. lac. z. Th.</i> = <i>Saurich. divaricatus</i> GOEPP.)	+	+	—	+	—	
1b. var. minima	—	—	+	—	—	
1c. var. gracilis (= <i>Saurichnites gracilis</i> GOEPP.)	—	+	—	—	—	
2. <i>Ichnium acrodactylum</i> PARST + Varietäten	—	—	—	—	+	
3. <i>Ichnium tanydactylum</i>	—	—	+	+	—	
4. <i>Ichnium dolichodactylum</i> (= <i>Ichnium microdactylum</i> PARST)	—	—	+	+	+	
Summa	4	7	2	6	7	

¹ Vergl. KATZEN, Geologie von Böhmen und FAITSCH, Fauna der Gnskehle, III, p. 120.

Braunauer Ländchen u. Grafschaft Glatz (Steine-Thal)

Hangendes: Obere Kreide.

Rother mergeliger Sdst. v. Wänschelzug ohne Versteinerungen.

Rother Schieferthon und Sandstein.

Obere Conglomerate.

Rother Sandstein (bei Albenberg m. Fahrten), Schieferthon, Brandschiefer von Ottenberg und Nieder-Rathen n. s. w.

Röthlicher Kalk von Ruppersdorf und dem Ölberg bei Braunau, Dürckenzendorf.
Amblypt. ratislavensis, *Kablkoe*,
lepidurus, *angustus*, *Zeidler*.*Pleuracanthus Decheni*. (Taf. 57.)*Pleuracanthus selbergensis*, *Acanthodes gracilis*?*Branchiosaurus umbrinus*, *Sclerocephalus* *? latirostris*.*Chelyosaurus Franyi*.*Melanerpeton pulcherrimum* und *pusillum*.Zahlreiche Rothliegendeplanzen: *Collipteris*,
Walehia, *Collipteridium gigas*, *Odentopteris subcrenulata*.

Untere Conglomerate.

Die Schichten von Koschtialew fehlen gänzlich oder sind jedenfalls palaeontologisch nicht vertreten.

Südabhang des Riesengebirges (Semil, Hohenelbe, Trautenau)

Obere Kreide.

Rothe Sandsteine, Arkosen und Brandschiefer von Ober-Kalna mit

Amblypterus Feistmanteli,
Amb. Kablkoe und *Zeidler*.

Keine Lücke in der Schichtenfolge:

Der Braunauer Horizont ist palaeontologisch nicht vertreten oder entspricht den Schichten von Ober-Kalna.

Grauer Sandstein, Schieferthien und Brandschiefer von Semil h. Koschtialew (Lemnitz), Hohenelbe, Trautenau.

Besonders an ersterem Fundorte mit
Amblypterus Rohani, *luridus*, *obliquus*
(Varietäten von *A. Durernoyi*).*Amb. Reussi*.*Pleuracanthus carinatus*.*Sagenodus tardus*.(Die Schichten von Koschtialew sind
Kunewa oder stehen zwischen diesem
und dem Braunauer Horizont.)

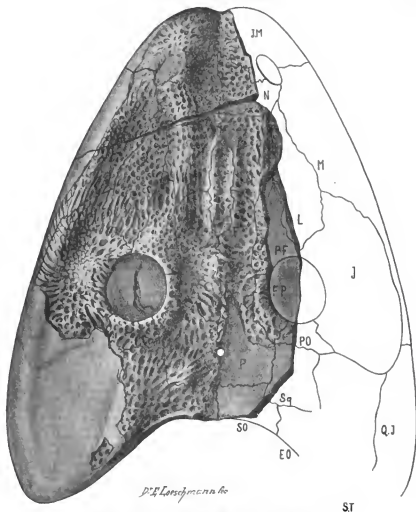
Conglomerate.

Das Unterrothliegende (Nürschan, Kusel) fehlt.

Die höheren Rothliegenden Schichten lagern concordant auf Obercarbon (Radewenzer und obere Schwadewitzer Schichten).

Das Rothliegende auf dem Nordabhang des Riesengebirges entspricht hinsichtlich der Sedimente und der häufigen Eruptivdecken vollkommen der südlichen Entwicklung; wahrscheinlich sind auch hier zwei Stufen zu unterscheiden, deren obere fossililere durch Porphyroconglomerate gekennzeichnet wird.¹

¹ J. Rora, Erläuterungen (I. c.) p. 260.



Selverocephalus Rosneri H. v. MEYER, sp. (*Ostrophorus*.)

Aus den Dachschiefern des Mittelrothliegenden von Klein-Neundorf bei Lützenberg.

Neudarstellung des alten in Breslau befindlichen Originals von H. v. MEYER (Palaeontogr. VII, t. 11).
³/₄ nat. Gr.

Durch Freilegung des hinteren Augenrandes (Postorbitale, PO), Postfrontale (FP), Praefrontale (PF), sowie des Hinterhauptendes (SO Supraoccipitale) konnten die Grenzen der genannten Deckknochen genauer festgestellt werden. Ein Abguss des alten als Abdruck erhaltenen Originals gestattete eine plastische Darstellung der Aussen- und Innenfläche. Die Ergänzung des allein fehlenden Supratemporale (ST) und Quadratojugale (QJ) wurde ermöglicht durch Verschiedenheit in der Gesteinsführung. Die Grenze beider Knochen beruht auf dem Vergleich mit dem in fast allen Beziehungen übereinstimmenden *Sclerocephalus barroviensis* BAASCH sp. Den einzigen Unterschied von dieser älteren Art bildet das Vorhandensein eines Zwischennasenbeins (auf der Grenze der Nasalia N und Frontalia F) und die etwas mehr nach hinten gedrückte Stellung des Auges. Als Gattungsunterschied kann das Vorhandensein eines überzähligen Schädeldackknochens kaum angesehen werden. Näher liegt der Gedanke an eine Monstruität (A. FARRER).

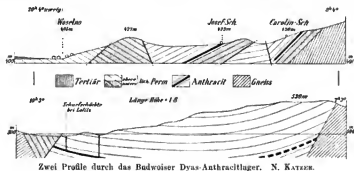
P Parietale, L Lacrimale, JM Intermaxillare (Praemaxillare), J Jugale, EO Epioticum.

Vergl. Taf. 56 a und Erklärung.

Die Fossilführung der unteren Stufe stimmt z. B. bei Klein-Neundorf¹ unweit Löwenberg vollkommen mit den Schichten von Braunau und Ottendorf überein. Bemerkenswerth ist das Vorkommen eines schönen Stegocephalen, *Sclerocephalus (Osteophorus) Roemeri* H. v. MEYER, von dem eine neue Abbildung gegeben wird.

3. Das Rothliegende im südlichen und östlichen Böhmen und in Mähren.

Von besonderem Interesse ist das Dyas-Becken bei Budweis² im südlichen Böhmen wegen des Vorkommens eines über 1 m mächtigen, reinen Anthracitflötzes, dessen Abbau allerdings durch zahlreiche Verwerfungen erschwert wird. Offenbar liegt eine an Brüchen tief in das alte Gneissgebirge eingebrochene Schichten-



masse vor, und diese tektonische Eigenart erklärt gleichzeitig die Umwandlung der Kohlen in einen 88,9% Kohlenstoff enthaltenden Anthracit.

2. Die den Anthracit einschliessenden hangenden Schichten bestehen aus dunklen Sandsteinen und Schieferthonen (ca. 20 m) mit zahlreichen Pflanzen des Mittelrothliegenden: *Callipteris conferta* STBG., *Neuropteris cordata* GOEPP., *Pecopteris pinnatifida* GUTTB., *Taeniopteris fullax* GOEPP., *multiuercis* WEISS, *Ulmannia (?) longifolia* GEIN., *Walchia piniformis* SCHL. sp.

1. Im Liegenden der Kohlen finden sich Arkosen, Conglomerate und grünliche Sandsteine (ca. 80 m).

Ein Anthracitflötzchen findet sich auch im Unterrothliegenden von Brandau (p. 341) im sächsisch-böhmischen Erzgebirge, wo dasselbe in einer kleinen Mulde das typische Carbon überlagert; auch das Flötz des letzteren (= oberes Radnitzer Lager) besitzt anthracitische Beschaffenheit.

Während in der Mitte der Sudeten das Rothliegende concordant (wenn auch nicht lückenlos) das Obercarbon überlagert, ist weiter südlich, in der Gegend von Mährisch Schönberg, Landskron und Mährisch Trübau eine discordante

¹ Aus den Schiefen von Klein-Neundorf und Wünschendorf befinden sich in der Breslauer Sammlung: *Acanthodes gracilis* F. ROEM. (auch bei Alt-Schönan), *Pleuracanthus Decheni* BEYR., *Amblypterus eratislaviciensis* AN., *Walchia piniformis*, *Pecopteris arborescens* und *Annularia carinata*.

² F. KATZER, Die Anthracit führende Permablagerung bei Budweis, Sitz. d. Österreichischen Zeitschrift f. Berg- und Hüttenwesen 1895. Vergl. auch KATZER, Geologie von Böhmen, p. 1179.

Auflagerung auf verschiedenen Gliedern der krystallinen Schiefer (Gneiss, Glimmer-, Hornblende-Schiefer und Phyllit), sowie auf Devon und Untercarbon zu beobachten. Die productive Steinkohlenformation fehlt hier gänzlich.¹

Die Rossitzer Schichten gehören diesem Zuge an, der sich, dem umgebogenen Streichen des alten Gebirges folgend 250 km weit in südlicher Richtung von Seufenberg und Landskron in Böhmen durch ganz Mähren bis in die Gegend von Krems in Niederösterreich verfolgen lässt. Im Norden und Süden fehlen abbauwürdige Kohlenflötze, in der Mitte bei Rossitz, etwas westlich von Briinn, sind jedoch 3 Flötze entwickelt und die beiden oberen, insbesondere das hangendste (No. 1) werden lebhaft abgebaut.

Die älteren Forscher, insbesondere auch D. STUR, fassten die 3 Flötze als oberstes Carbon auf und nahmen einen allmählichen Übergang in die Dyas an: Erst 12—20 m über dem Schieferthon des Hangendflötzes sei die echte Flora des Rothliegenden vorhanden. Nach neueren Untersuchungen F. KATZER's² sind jedoch die Flötze und das Hangende als Aequivalente des Unterrothliegenden (der Kuseler oder Nürschaner Stufe) zu deuten, während das Mittelrothliegende zu fehlen scheint. Die Revision der Flora, insbesondere der Nachweis der typischen Rothliegendepflanzen *Callipteris* und *Walcchia* innerhalb der Flötze lässt über die Berechtigung dieser Ansicht keinen Zweifel.³

Weitere Vertreter des mittleren Rothliegenden sind in dieser Zone Mährens die schwarzen Schiefer von Lotka, welche *Melanerpeton fallax* FRITSCH (non *fallax*) und *Branchiosaurus austriacus* FRITSCH (? = *moravicus* MAKOWSKY) enthalten.

B. Vereinzelte Vorkommen des Rothliegenden in Mitteleuropa.

(Krakau, Sachsen, Thüringen, England, Norditalien.)

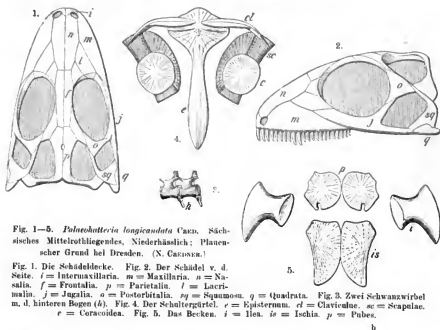
Der weisse Kalk von Karniowice in der Gegend von Krakau ist erfüllt von Pflanzenresten und wurde von F. ROEMER als Quellabsatz (Kalksinter) gedeutet, der inmitten von Rothliegendeschichten auftritt. Der Charakter der von E. WEISS, RACIBORSKI und STERZEL untersuchten Flora deutet auf unteres Rothliegendes⁴ hin: *Annularia brevifolia* BRGT., *stellata* SCHL., *Pecopt. Bredori* GEIN. und *Calamites Cisti* sind sogar älterer Entstehung; *Taeniopt. unlinerris* WEISS, *Odontopt. osmundaeifolia* BRGT. (= *obtusae* bei WEISS), *Pecopt. Bryichii* WEISS, *Sphenophyllum emarginatum* BRGT., *longifolium* GEIN., *Cordaites principalis* GERM. sind typische Rothliegendarten. Eine entgegenstehende Ansicht, welche in dem Kalk Trias⁴ sehen möchte, wird

¹ Nach v. BERGOWSKI und TRETZE, Verh. Geol. R.A. 1896, p. 205.

² F. KATZER, Über eine Monographie der fossilen Flora von Rossitz in Mähren. Sitz.-Ber. der kgl. böhmischen Ges. d. Wissenschaften. Math. Nat. Kl. Bd. 24, 1895. Ref. N. J. 1899, I p. 581. Einige der wichtigeren Pflanzen aus den drei Flötzen (3 ist das unterste, 1 das oberste) seien im Nachstehenden erwähnt: *Calamites gigas* BRGT. (1), *Sphenophyllum oblongifolium* GERM. (3, 2), *Odontopteris subcrenolata* (ROST) ZEILL. (2, 1), *Callipteris conferta* SYNO. sp. (= *praelongata* WEISS 1), *Alethopteris Grandini* BRGT. sp. (1), *Pecopteris arborescens* SCHL. sp. (3—1), *Oreopteridia* SCHL. (2), *Hemiteloides* BRGT. (3, 2), *densifolia* GOTTFR. (2), *Mucknietia* SCHL. sp. (3), *unita* BRGT. (3, 2), *Neuropteris cordata* BRGT. (2), *Lepidodendron Steinbergi* BRGT. (1), *Walcchia piniformis* SCHL. sp. (2), *Cordaites principalis* GERM. sp. (3).

³ F. F. ROEM., Geol. v. Oberschlesien p. 116 ff., M. RAVICZ-RACIBORSKI, Verh. Geol. R.A. Wien 1891, p. 98 und p. 260.

⁴ E. TRETZE, Jahrb. Geol. R.A. 1888 p. 15, 103; Verh. Geol. R.A. Wien, 1893 p. 316 u. 1891, p. 153.



l = Schieferletten.

s = Sandstein.

ko = oberes Kalksteinfötz.

hk = unteres od. Hauptkalksteinfötz u. d. Stegocephalen (*Branchiosaurus* u. a.).



Callipteris conferta BRUY.
praelongata WEISS.

Unteres Rothliegendes von
Wiergitz, Plauenscher
Grund.
Nach STERZEL.

Profil der Flöze von Stegocephalen-Kalkstein im
Mittelrothliegenden von Niederhäslich.

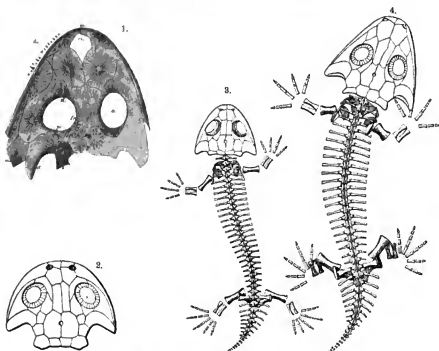


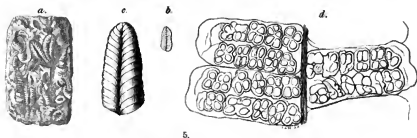
Fig. 1, 2: Die Schädeldecke sächsischer Stegocephalen und zwar von:

Fig. 1. *Acanthostoma rarior* UEXN.

fp = Foramen parietale, *n* = Nasalia, *im* = Intermaxillaria, *ci* = Cavum intermaxillare, *po* = Pest. orbitalia, *o* = Orbitalia, *mi* = Maxilla inferior, *d* = Kieferzähne.

Fig. 2. *Melanerpeton pulcherrimum* FRUTSCH.Fig. 3. *Branchiosaurus amblystoma* CREB. u. Fig. 4. *Plesiosaurus laticeps* CREB.

(Beide von oben, mit Hinweglassung des Bauchpanzers.) Fig. 1—4. Sächsisches Mittelrothliegendes. Niederhässlich, Planenscher Grund bei Dresden. (Nach CREBSEN.)



5.

Fig. 5. *Scoleopteris elegans* ZENKER. Mittelrothliegendes.

Fig. *a* ein Stück der Oberfläche einer mit den zusammengerollten Fiederblättchen erfüllten Hornsteinsplatte in natürlicher Grösse. Fig. *b* ein einzelnes Fiederblättchen in natürlicher Grösse. Fig. *c* ein einzelnes Fiederblättchen, 4 $\frac{1}{2}$ mal vergrössert. Fig. *d* ein Stück eines Wedels im Dünnschliff in zehnfacher Vergrösserung. Kopie nach STRASBURGER. Die vier- oder fünfkapseligen Fruchthäufchen (Sori), welche fast die ganze untere Fläche der Fiederblättchen einnehmen, sind durch den Schnitt des Dünnschliffs quer durchschnitten.

durch die genaue Kenntniss, welche wir jetzt von der Vertheilung der palaeozoi-
schen Floren besitzen, widerlegt.

Im sächsischen Erzgebirge sind die mittleren und oberen Horizonte des

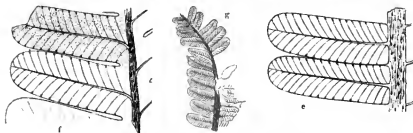


Fig. 1—3. *Pecopteris hemitelioides* BRÖT.

Fig. 1. Unterrothliegendes des Windberg-Schachtes. Plauenscher Grund.

Fig. 2. Unterrothliegendes zwischen Zankerode und Wergwitz. $\frac{1}{10}$. N. STERCKEL.

Fig. 3. Mit Wassergruben. Plauenscher Grund. N. STERCKEL. Vergr.

Rothliegenden entwickelt, im Döhlener Becken bei Dresden findet sich die untere (Kuseler) und mittlere (Lebacher) Stufe, welche durch Übergänge innig verknüpft und nirgends durch eine Discordanz getrennt sind. Die Verschiedenheit von der allgemeinen Entwicklung an den Abhängen des Riesengebirges ist also augenfällig. Gleichartig ist nur die Ablagerung der Kalkflötze: Die in das alte Becken einströmenden, schwach kalkhaltigen Gewässer haben sich in flachen, seeartigen Tümpeln ausgebreitet, und die Niederschläge verdichteten¹ sich zu einem regelmässig geschichteten, sehr feinkörnigen Kalk, der dem Ruppersdorfer Gestein auch petrographisch gleich ist.

Die stehenden Gewässer waren in Sachsen der Aufenthalt zahlloser Larven des *Branchiosaurus amblystoma* (= *Protitron*). Der Zartheit und Weichheit des Kalkschlammes verdanken wir die ins Kleinste (bis in die äusseren Kiemenanhänge) gehende Einhaltung der kaulquappenartigen Lurche. Seltener sind die Skelette der lungenathmenden, das benachbarte Land bewohnenden Amphibien, sowie die einiger Reptilien, deren Leichname von den fliessenden Gewässern eingeschwehmt wurden.

Die Dyas Sachsens zeigt nach H. CREDNER's (Elemente der Geologie 1897, p. 496) Zusammenstellung die folgende Gliederung:



Taeniopteris plauensis

STERCKEL N. STERCKEL.

(Verwandt oder ident mit

T. jejunata GRAND'ÉURY).

Unterrothliegendes v. Klein-
Opitz, Sachsen.

¹ H. CREDNER, Die Urvierfüssler des sächsischen Rothliegenden. Allg. verständl. naturw. Abb. H. 18, p. 5. Berlin, Dümmler, 1891.

Erzgebirgische Becken (u. n.-westl. Sachsen überhaupt):

Plattendolomit des oberen Zechsteins.

Lücke (mittl. u. unt. Zechstein).

Oberrothliegendes:

Ziegelrothe Letten und Conglomerate, aus Eruptivgestein bestehend. Eruptivdecken und organ. Reste fehlen.

Mittl. Rothliegendes = Lebacher Sch. (auch bei Oschatz und Weissig bei Pillnitz)

b) Braune Kaolin sandsteine, Schieferletten u. Conglomerat. Local Kohlenflötchen und Kalkplatten. Bis 500 m.

Ergüsse von Quarzporphyr und Melaphyr.

Hauptlager der verkieselten Stämme von Araucarien, Cordaiten, Medullosen, Psaronien, Calamodendren.

Callipt. Noumanni GUTS., *Callipterid. gigas* GUTS. sp., *Pecopt. pinnatifida* GUTS. sp., *P. arboreus* SCHL. sp., *Taen. obnormis* GUTS., *Cal. infractus* GUTS., *gigas* BRONX., *Asteroph. radiiformis* W., *Acanth. stellata* BRONX., *Cordaites principalis* GERM. sp., *Walchia piniiformis*.

a) Grobe Conglomerate, local in. metergrossen erzgebirgischen Geröllen und carbonischen Porphyren u. Melaphyren. Verkieselte Cordaiten u. Araucariten. Untergeordnete Quarzsandsteine, Schieferthone und Kohlenflötze („wildes Kohlengebirge“)

In letzterem *Sphen. fasciculata* GUTS., *punctulata* NAUM., *Mizonura subarenulata* ROST., *Callipterid. gigas* GUTS. sp., *Cordaites principalis* GERM. sp., *Walchia piniiformis* SCHL.

Unt. Rothliegendes fehlt im Erzgebirge.

Steinkohlengebirge des Plauenschen Grundes (Döhleener Becken) zw. Dresden u. Tharandt:

Zechstein fehlt.

Oberrothliegendes fehlt.

Mittl. Rothliegendes

b) Gneiss- n. Porphyrconglomerate, Breccien- tuffe und eine Decke von Quarzporphyr.

a) Bunte Schieferletten, Sandstein, Thonstein, Kohlenflötchen.

Kalksteinbank von Niederbärsich (jetzt abgebaut) mit

Branchiosaurus amblystoma CREB., *Prolosaurus laticeps* CREB., *Archegos. Decheni* GR., *Melonopterion pulcherrimum* A. FR., *Acanthostoma cornu* CREB., *Hyloosaurus Geinitzi* CREB., *Petrolites triangularis* CREB., *Diacormus permianus* CREB., *Scleroe. labyrinthicus* GRIN. et DERCH. sp., *Pecopteris Geinitzi* v. GUTS., *P. gigas* v. GUTS. var. minor, *Scolecopteris elegans* ZUCKER (verkieselt), *Odontopteris gleichenioides* STUR sp., *Calamites gigas* BRONX., *Walchia piniiformis* v. SCHLOT. sp., *Cardiocarpus Ottala* v. GUTS. sp., *Cordaites principalis* GERM. sp., verkieselte Exemplare von *Psaronius* und *Cordaiargylon*.

Unt. Rothliegendes mit 3 Steinkohlenlagern.

Grüne Sandsteine, Schieferthone, Conglomerate mit 3 Kohlenfl. (das oberste bis 5 m.).

Callipt. conferto STUR. (*praekongata* WEISS.), *W. piniiformis* SCHL., *Calam. striatus* COTTI, *Cal. major* W., *Cal. Costi* BRONX., *Cal. Suckewi* BRONX., *Psaronius polyphyllus* FENST., *Pecopt. arboreus* SCHL., *hemiteles* ZUCK., *P. Zeileri* STUR., *Goniopteris feminaeformis* SCHL., *Call. neuropteroides* WEISS., *Annularia stellata* SCHL., *Stigmario*, *Sigillaria* und *Lepidodendron* fehlen gänzlich. Wildgrüner Porphyritlager.

Liegendes: Phyllit, Cambrium und Silur.

Das Thüringische Rothliegende

stimmt in allen wichtigeren Beziehungen, dem Auftreten eines Grundconglomerates und unbedeutender Flötze, der unregelmässigen Vertheilung der Horizonte in den einzelnen Becken,¹ der Häufigkeit von Eruptivdecken und Taufen (in der unteren



Neuropteris cordata
BRONN.
Unterrothl. (Mancbacher Sch.)
Blauer Stein am Mord-
heck h. der Schmücke.
N. POTONIE.



*Neuropteris
pseudo-Biani*
POR.
Unterroth-
liegendes
(Mancbacher
Sch.)
Ilmenau.
N. POTONIE.



Collipteria Neumannii (GUTHRIE)
STERNB. Unterrothliegendes
(Mancbacher Schichten).
Nördlich vom Karl-August-Schacht
bei Kammerberg, an der Strasse
nach Stützerbach.
Vergr. N. POTONIE.



Neuropteris Planckardi ZEILLER.
Unterrothl. (untere Gehrner =
Stöckheimer Sch.) Stöckheim,
Karolinengrube. Nach POTONIE.



Holera digitata (BRONN.)
HREN. Mittelrothl. (Gold-
lauterer Sch.) — Kniebreche
(von FAIRCH leg. 1876).
N. POTONIE.



Zamia carbonaria RENAUDY em.
POTONIE.
Unterrothl. (untere Gehrner =
Stöckheimer Schichten).
Ein behäutertes Sprossstück,
Stöckheim. N. POTONIE.

und mittleren Stufe) mit den gleich-
alten Vorkommen der alten cen-
tralen Gebirgszone überein. Be-
merkenswerth ist das vollkommene
Fehlen von Aequivalenten
des Obercarbon.

Das Thüringische Rothlie-
gende ist durch die Aufnahmen
der preussischen geologischen Lan-
desanstalt (W. BEYSCHLAG)² und

¹ In keinem Theile des Thüringer
Waldes giebt es ein alte Horizonte um-
fassendes Profil.

² Geologische Übersichtskarte des
Thüringer Waldes, 1:100 000, Berlin 1895
und Begleitworte von W. BEYSCHLAG in
Z. d. geol. Gesellschaft, 1895.

Das Thüringische Rothliegende.

V. Die Tamhacher Schichten (das Oberrothliegende) bestehen aus Schieferthon, Sandstein und zwei mächtigen Massen von Porphyrconglomerat (Hmenau, Elgersburg, Tambach, Eisenach) und überlagern ungleichförmig die tieferen Schichten. Walchien und Thierführten von Stegocephalen sind die einzigen organischen Reste. (Verzeichniss s. p. 523.)

IV. Die Oberhöfer Schichten (eheres Mittelrothliegendes, concordant auf III) kennzeichnen sich durch das Vorwiegen mächtiger Quarzporphyrdecken, die durch untergeordnete Zwischennittel von rothem Sandstein, Tuffe und Schiefer getrennt werden. Ausnahmsweise finden sich ausgedehntere Sandsteine n. Arkosen (Steinbach) sowie kalkige Bänke. Letztere führen bei Oberhof (K. v. FAITEN) und Friedrichroda *Branchiomurus amblystoma* CARR. (= *Protiriton petrolei* aect.), *Gamposyrx fimbriatus* und Pflanzen.

III. Die Goldlauter Schichten (unteres Mittelrothliegendes, discordant auf I und II) bestehen aus polygenen Conglomeraten, groben Sandsteinen und wechsellagernden Schieferthonen sowie wenig mächtigen Kohlenflützen (Crock). Lebacher Versteinerungen: *Callipteris conferta*, *Amblypterus*, *Acanthodes*. Im Osten eruptivfrei, in der Mitte des Gehirges mit dem Porphyrrerguss des Grossen Hermannsberges, im Westen mit mannigfachen Eruptivdecken.

II. Die Manebacher Schichten (Oberes Unterrothliegendes, zuweilen discordant auf I, mit Geröllen von I).

Frei von Eruptivgesteinen. Zn unnterst das Manebacher Grundconglomerat, darüber schiefrige Sandsteine und sandige Schieferthone mit *Walchia piniformis*, *Odontopteris obtusa*, darüber Conglomeratsandsteine, dann Schieferthon und Sandstein mit den 6 Steinkohlenflützen von Manebach. In den umgehenden wilden Schiefem zahlreiche Pflanzen.

I. Gehrner Schichten (Unterstes Rothliegendes, discordant auf Grundgebirge) mit den Stockheimer (unteren Gehrner) Schichten des Fichtelgehirges. Die Gehrner Schichten enthalten:

Massenhafte Eruptivdecken und Tuffe, normale Sedimente von geringer Mächtigkeit.

An der Ilm sind folgende Gehirgsglieder zu unterscheiden:

Oben: 8. Kichelhahn-Porphyr,

7. Hellkepf-Melaphyr,

6. Rother und grauer Porphyrtuff (Thenstein),

5. Breccien und Thonstein,

4. { Mittlerer Glimmerporphyr,

{ Stützerbacher Felsitporphyr,

{ Unterer Glimmerporphyr,

3. Quarzporphyr des Meyersgrundes,

2. Arkosen, Schieferthon, Sandstein mit Steinkohlenflützen (Gehren, Mehla, Stockheim);

1. Syenitporphyr.

die überaus sorgfältige Monographie der Flora (H. POTONÉ)¹ besser bekannt als irgend ein anderes Vorkommen von gleichem Alter und gleicher Ausdehnung.

Um so bedeutsamer ist der Umstand, dass nur in einem Horizont (im unteren Mittelrothliegenden) zweifelloso palaeontologische Anhaltspunkte für die stratigraphische Vergleichung mit den Lebacher und Rupperts-

¹ H. POTONÉ, Die Flora des Rothliegenden von Thüringen. (Abb. der Königl. Preuss. geolog. Landesanstalt Nees Folge, Heft 9, Theil II, Mit 34 Taf. Berlin 1893.) Der I. Theil ist für die geologische Mesographie W. BRUCHLAGE bestimmt.

dorfer Schichten vorkommen. (Man vergleiche die grosse Tabelle p. 354.) Im Übrigen ist die floristische Eigenart der einzelnen Vorkommen auch hier die Regel.¹

Die Reihenfolge der Schichten ist auf der vorhergehenden Seite halbtabellarisch (n. W. BEYSCHLAG) zusammengestellt.

Bei der Wichtigkeit, welche die Vertheilung der sorgfältig beschriebenen Flora in einem geologisch genau erforschten Gebiete besitzt, seien die geologisch bedeutungssameren Arten² hier aufgezählt:

Sphenopteriden: *Sph. Ohmanniana* POT. (II), *Oropteris Beyschlagii* POT. (I?, II?, III), *Or. Cremeriana* POT. (I, II) *Or. Weissii* POT. (I).

Pecopteriden (incl. Callipteriden u. Odontopteriden): *Pecopteris abbreviata* BRONX. (I, II), *P. orborens* (SCHLOTH. emend.) BRONX. emend. (I, II, III), *P. Bredoi* GERMAN (I, II, III?), *P. Bucklandi* BRONX. (I?, II), *P. Candolleana* BRONX. (I, II, III), *P. crenulata* BRONX. (I?, II, III),

Profil durch das kohlenführende Unterrothliegende, das mittlere und obere Rothliegende, Zechstein und Buntsandstein von Steckheim bei Kronach (Fichtelgebirge).



a Schiefer des Untercarbon. P Periphyt am Spitzberg. C Unterrothliegende-Schichten. k Steinkohlenflöze in denselben und Zwischenschichten. c₁ c₂ mittleres Rothliegende. r₂ oberes Rothliegendes. s rother Sandstein mit Weissliegendem (Zechsteinconglomerat). z Zechstein. r₁ rothe Schieferletten und unterer Buntsandstein. b Hauptbuntsandstein (Mittlerer). d Diluvialgeröll. N. GÜMBEL.

P. feminoformis (SCHLOTH.) STERZEL (I, II, III), *P. hemitelioides* BRONX. (I, II), *P. lepidorhachis* BRONX. ex p. (II), *P. oreopteridia* (SCHLOTH.) BRONX. ex p. (II), *P. pennsylvanica* BRONX. emend. (I, II), *P. pinotifolia* (GUTH.) SCHIMPER ex p. (I?, II), *P. Pluckneti* (SCHLOTH.) BRONX. (I, II), *P. polymorpha* BRONX. (II), *P. pseudorapetidia* POT. (I, II, III?), *P. cf. pteroides* BRONX. (II), *P. subospera* POT. (II), *P. unila* BRONX. emend. (I, II), *Alethopteris Darwini* (BRONX. emend.) GÜPP. emend. (II), *A. Grandini* (BRONX.) GÜPP. (II), *Callipteridium crossnereium* POT. (II), *C. gigas* (GUTH.) WEISS (I, II, III), *C. pteridium* (SCHLOTH.) ZEILLER (I, II?), *C. Regina* (A. ROEMER emend.) WEISS (I), *C. subelegans* POT. (I, II, III), *Callipteris conferta* (STERN.) BRONX. (I, II, III, IV), *C. germanica* (WEISS) POT. (III? u. IV), *C. lyratifolia* (GÜPP.) GRAND'EURY (III), *C. Naumannii* (GUTH.) STERZEL (I, II, III), *Odontopteris ommatodonta* SCHLOTH. emend. ZEILLER (II, IV), *O. Reichiana* GUTH. emend. (I, II), *O. subvenulata* (ROST) ZEILLER emend. (I?, II, III, IV?).

Neuropteriden: *Neurodonta auriculata* BRONX. emend. POT. (I, III?, IV), *Neuropteris cordata* BRONX. (I?, II), *N. cf. flexuosa* STERN. (I), *N. Planchardi* ZEILLER (I, III?), *N. pseudo-Biasi* POT. (II), *D. Schützei* (A. ROEMER) (I, II), *Taeniopteris jejunata* GRAND'EURY (II).

Calamariaceen: *Calamites cannaeformis* SCHLOTH. (II), *C. cruciatus* STERN. (III), *C. decuratus* WEISS (II), *C. gigas* BRONX. (I, II?, III), *C. multiramus* WEISS (I, II), *C. Sackowi* BRONX. (I, II, III), *C. varians* STERN. (I, II, III); *Equisetites Fouljolyi* ZEILLER (I), *E. zeaeformis* (SCHLOTH.)

¹ Eine noch speziellere Gliederung nach Pflanzenherizenten (H. POTONIE) ist in der grossen Tabelle wiedergegeben (p. 354).

² Die Ziffern geben die Vertheilung in den Zonen wieder.

ANDRAE (II), *Stachnandaria thuringiaca* WEISS (I, II), *St. tuberculata* (STERNB.) WEISS (I, II, III), *Amularia sphenophylloides* (ZANKER) UNGER (I), *A. spicata* (GÜTL.) SCHIMPER (I, II), *A. stellata* (SCHLOTH.) WOOD (I, II, III), *Asterophyllites equisetiformis* (SCHLOTH.) BRONGNIER (I, II, III), *A. longifolius* (STERNB.) BRONGNIER (IV).

Sphenophyllaceen: *Sphenophyllum angustifolium* (GERMAR) UNGER (I, II), *Sph. emarginatum* (BRONGNIER) BRONGNIER, var. *Schlothemi* BRONGNIER (I, III), *Sph. erosum* LINDE, et HETT. (III), *Sph. oblongifolium* (GERMAR et KAULE) UNGER (I, II, III), *Sph. sulcifragmifolium* (STERNB.) GÜTT. emend. (I, III), *Sph. Thoni* MAHR (II).

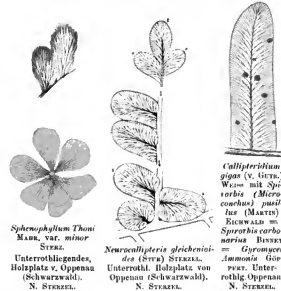
Lepidophyten: ?? *Lepidodendron* typ. *ringens* STERNB. (I), *Sigillaria Brardi* BRONGNIER, emend. (I?, II), *S. Danziana* H. B. GEINITZ.

Gymnospermen: *Walchia filiciformis* (SCHLOTH.) STERNB. (I, II?, III IV), *W. flaccida* GÖPP. (III), *W. imbricata* SCHIMPER (I?, III?, IV?), *W. linearifolia* GÜTT. (III, IV), *W. piniformis* (SCHLOTH.) STERNB. (I, II, III, IV, V), *Ulmannia Broadi* GÖPP. (III), *Baiera digitata* (BRONGNIER) HEEK (III, IV), *Cordaites borassifolia* (STERNB.) UNGER (I, III), *C. palmiformis* (GÖPP.) GRAND'EURY (I), *C. principalis* (GERMAR) H. B. GEINITZ (I, II), *Zamites carbonarius* RENAUT emend. (I), *Dicranophyllum gallicum* GRAND'EURY (I), *Trigonocarpus Noeggerathi* (III).

Die Überleitung von Thüringen zu dem Rothliegend-Gebiet der Nahe und Saar (oben p. 350) bilden die kleinen Vorkommen im Fichtelgebirge (Stockheim s. d. Profil) in der Wetterau (Naumburg), am Spessart, Taunus und bei Darmstadt. Die Übereinstimmung mit den Waderner, Tholeyer und oberen Kuseler Schichten erweist die nahe Übereinstimmung mit den westlichen Vorkommen.¹

Weiter südlich schliesen die schon p. 352 und 353 besprochenen Vorkommen der oberrheinischen Gebirge an.

Fast überall endet



die Entwicklung des Rothliegenden mit rothen Sandsteinen, welche einem Vordringen der Binnenseen entsprechen.² Für weitergehende stratigraphische Vergleichen kommt dieses „Oberrothliegende“ in Deutschland und Centralfrankreich ebenso wenig in Betracht wie etwa der mittlere Muschelkalk. Das Oberrothliegende ist fast überall fossilleer, und die wenigen gefundenen organischen Reste — Walchien und Fussspuren von Stegocephalen bei Tambach — sind stratigraphisch un-

¹ A. REISSAC, das Rothliegende in der Wetterau etc. Abh. d. preuss.-geolog. L.A. N. F. H. 8. Vergl. das kritische Ref. N. J. 1894 I p. 129.

² Der für das Vordringen des Weltmeeres geschaffene Ausdruck Transgression würde für diese continentalen Wasserbewegungen nicht am Platze sein.

wesentlich oder verweisen auf einen engeren Anschluss an das Mittelrothliegende. Da jedoch das Oberrothliegende eine stratigraphisch durch übergreifende Lagerung, petrographisch durch rothe Farbe und Fehlen bzw. Zurücktreten der Eruptivlager gut gekennzeichnete Facies ist, liegt kein Grund vor, dasselbe mit der mittleren Stufe zu vereinigen.

Das Rothliegende in England.¹

(Lower new red sandstone.)

Das Rothliegende, der darüber lagernde Kupferschiefer (marl-slate) und Zechstein (magnesian limestone) stimmt in England — abgesehen von dem Fehlen der Eruptivgesteine — mit der deutschen Ausbildung überein. Auch jenseits des Canals sind vielfach die roth gefärbten Sandsteine des Obercarbon der jüngeren Abtheilung zugerechnet worden, während andererseits auch die Unterscheidung von dem Buntsandstein („Bunter“ der Engländer) nicht immer ganz einfach ist.

Die oft recht mächtigen Conglomerate („Brookram“ in Cumberland) wurden von manchen englischen Geologen als glaciale Drifbildungen aufgefasst, eine Deutung, die von anderer Seite mit Recht abgelehnt wurde. Wahrscheinlich handelt es sich hier wie in Deutschland um Harnisch- oder Rutschflächen, die innerhalb mächtiger Conglomeratmassen häufig auf tektonischem Wege entstehen.

Einige Localprofile des rothen Sandsteins, welcher ganz England vom Süden (Devonshire) bis an die Grenzen Schottlands (Cumberland und Northumberland) durchzieht, werden in der folgenden Tabelle gegeben:

Deutsche Aequi- valente	Cumberland	Durham	Yorkshire
Zechstein- letten mit Salzlagera	Rothe Mergel und Letten 254'	Roth. Sdst. u. Mergel 50' u. Salz u. Gyps	Oberer rother Mergel u. Sdst. 54' Oberer Zechstein (Magnesian lime- stone) 150'
Zechstein Kupferschiefer	Zechstein (magnesian limestone) 20—25'	Zechstein 500—600'	Mittlerer rother Mergel u. Sdst. 200' Unterer Zechstein 120'
Rothliegendes	Dünngeschichteter Sandstein mit Schieferthon und Dolomit und unreinen Kohlenschmitzen (Hilton plant bed) 40' Obere Conglomerate 150' (Upper brockram) Leuchtendrother kreuzgeschichteter (Penrith-)Sandstein 300—1000' Untere Conglomerate (Lower brockram) 100'	Kupferschiefer (marl-slate) u. <i>Platysoma</i> u. <i>Palaroniscus</i> Weisser und gelber kreuzgeschichteter Sand (quick sand) mit gelegentlichen Conglomeratlagera.	
Carbon	Discordanz Carbon	Carbon	Discordanz. Carbon

¹ Zusammenfassende statistische Übersicht siehe bei H. B. WOODWARD, Geology of England p. 210—220. Dasselbst auch vollständige Litteralurangaben.

Die Dyas in Norditalien.

(Der „Verrucano“ bei Pisa.)

Der „Verrucano“ des Monte Pisano in Toscana¹ gehört nach den neueren Untersuchungen der Pflanzen zum Rothliegenden und bildet geographisch differenzirte Aequivalente der Kuseler und Lebacher Schichten, sowie der französischen Vorkommen von Autun und Millery. Eine rein obercarbonische Flora ist ebenso wenig vorhanden, wie eine nähere Beziehung zu der „Glossopteris-Flora“ der Südhemisphäre.²

Über Kohlen- und Anthracit-Flötzen liegt in ziemlich stark dislocirter Lagerung eine in drei Zonen zu gliedernde Folge von Sandstein, Schiefer und Conglomeraten:

Oben:

3. Harte, glimmerige Schiefer mit Sandsteinerzlagerungen am Sasso Campanaro und am Mte. Vignale n. a. mit *Walchia piniformis*, *flaccida*, *Baiera*, *Ginkgo primigenia*, *Taeniopteris multinervis* WEISS und *Callipteris conferta*.
2. Sandstein-Conglomerate und Thonschiefer (violett) bei Gemigna, Valentona und auf dem Rücken des Mte. Vignale, *Callipteris conferta* und *obliqua*, *Sphenophyllum* (*Trizygia*) *Arcangeliana* BOSNIASKI (verwandt m. *Sph. Thoni*).
1. Schiefer bei Coletta, Traiana, Villa Massagli mit *Dictyopt. neuropteroideis* GUTH. *Asterophyllites radiiformis* WEISS, *Sphenopteris lebachensis* WEISS. *Sph. Buckinghamiana* WEISS, *Pecopteris dentata* BRONGN., *P. humiletioides* BRONGN., *P. oreopteridia* SCHLOTN. sp., *P. densifolia* GÖMP. (?).

Unten: Kohlen und Anthracit.

C. Steinkohlenformation und Rothliegendes im französischen Centralplateau.

Allgemeines.

Die mit dem Generalstreichen der Urgebirgsschichten übereinstimmende Anordnung der Kohlenbecken des Centralplateaus hat schon seit

¹ C. DE STEFANI, Scoperta d'una flora carbonifera nel Verrucano del Monte Pisano. (Atti d. R. Accad. dei Lincei, Ser. 4. 7. 25—28. Roma 1891: Annahme des carbonischen Alters.) — Ders., Un nuovo deposito carbonifero nel Monte Pisano. (Atti d. R. Accad. econ.-agricola dei Georgofili. 14. 34—70. Firenze 1891.) — Ders., Nouvelles observations sur le terrain houiller du Monte Pisano. (Bull. de la Soc. Géol. de France, Ser. III. 10. 233—234. Paris 1891.) — S. DE BOSNIASKI, Flora fossile del Verrucano nel Monte Pisano. (Comunicazione fatta alla Società Toscana di Scienze Naturali nell' adunanza del 16 di novembre 1890. Pisa 1890, con 4 fig. — Atti d. Soc. Tosc. di Sc. Nat. Proc. Verb. 7. 181—195. con 4 fig. Pisa 1891: Annahme der Beziehung zur „Glossopteris-Flora“.) — C. DE STEFANI, Alcune osservazioni sulla flora della Traiana nel Monte Pisano. (Atti d. Soc. Tosc. di Sc. Nat. Proc. verb. 7. 216—217. Pisa 1891.) — M. CAVIARI, Due nuove località nel Monte Pisano con resti di piante carbonifere. (Atti Soc. Tosc. Proc. verb. 7. 217—218. Pisa 1891.) — B. LORRI, Due parole sulla posizione stratigrafica della flora fossile del Verrucano nel Monte Pisano. (Boll. d. R. Com. Geol. d'Italia. 22. 81—85. Roma 1891.) — S. DE BOSNIASKI, Nove osservazioni sulla flora fossile del Verrucano nel Monte Pisano. (Comunicazione fatta alla Società Toscana di Sc. Nat. nell' adunanza del 1 di luglio 1894. Pisa 1894: Nachweis der Gleichstellung mit dem mitteleuropäischen Rothliegenden.)

² Herr Prof. STERCK hat auf meine Anfrage geantwortet: *Glossopteris* sp. aus dem Monte Pisano sei durchaus unsicher und *Trizygia* (*Sphenophyllum*) kein eigenartig südlicher Pflanzentypus.

langeu die französischen Forscher darauf hingewiesen, dass die Kohlen in den tektonischen Längsthälern oder Seen des alten Hochgebirges zur Ablagerung gelangt seien — etwa wie heute in den Längsthälern der Ostalpen, vor allem im Ennsthal grosse Torfmoore den Boden bedecken. Selbstverständlich entspricht die heutige Begrenzung der Becken, die im wesentlichen durch Denudation und jüngere Brüche bestimmt worden ist, nicht der früheren Ausdehnung.

Skizze des französischen Centralplateaus.¹

Der Wechsel der kohlenführenden Schichten und der rothgefärbten flözleeren Sandsteine (massifs stériles) gehört zu den bezeichnendsten Zügen der centralfranzösischen Kohlenbecken und weist auf periodische Senkungen in den Längsthälern hin.

Die Entwicklung des Centralplateaus in jungpalaeozoischer Zeit ist demnach kurz die folgende:

¹ Z. Th. nach LAPPARENT.

1. Auf die, vielleicht durch Vorläufer der Faltung gestörte Meeresbedeckung¹ des Unter-carbon folgt

2. Die intracarbhone Hauptfaltung (in der Zeit der Waldenburger und unteren Saarbrücker² Stufe p. 406). Dieselbe schuf die Erhebungen und die Tiefenlinien, welche die Verteilung der Kohlenhecken bedingen. Die hauptsächlichste Tiefenlinie ist zunächst von NO. nach SW. gerichtet und biegt im Forez nach WNW. um.

3. Die weitere durch Faltung verursachte Senkung im Bereich der Tiefenlinien schafft im Verlaufe des höheren Ober-carbon und der Dyas (II. Phase p. 405) die Vorbedingung für die wechselweise Ablagerung der flützleeren Sandsteine und der Kohlschichten. Nur so lange posthume Faltungen und periodische Eruptionen die Oberflächenformen des Hochgebirges veränderten, waren die Vorbedingungen für den Absatz bedeutender Sedimentmassen gegeben.

4. Die von NNO. nach SSW. gerichtete Reihe kleiner Kohlenbecken im Westen des Centralplateaus (Commentry—Brive) enthält vornehmlich jüngere Kohlen vom Alter des deutschen Rothliegenden und dürfte somit nach dem Ende des Ober-carbons eingefaltet sein. Das jüngste Vorkommen (Lodève) beginnt sogar erst mit der übergreifenden Lebacher Stufe (Mittelrothliegendes).

Die Altersbestimmung der Kohlenbecken von Centralfrankreich, wie sie die französischen Forscher GRAND'ÉURY, ZEILLER und REXAULT in ihren umfassenden Monographien gegeben haben, steht nicht im Einklang mit der in Deutschland üblichen Unterscheidung. Mag man von den sächsisch-thüringischen Ablagerungen oder von den klassischen Untersuchungen des Saargebiets (E. WEISS) ausgehen, auf jeden Fall ergibt sich, dass die französischen Forscher den grössten Theil der Aequivalente unserer Kuseler Schichten noch zum Carbon stellen. Bei dem unmerklichen Übergang der Floren wäre es sachlich gleichgiltig, ob man das unterste „Kohlen“-Rothliegende noch zur Steinkohlenformation rechnet oder nicht; aber jedenfalls ist in den benachbarten, vollkommen gleichartigen Gebieten von Mitteldeutschland und Centralfrankreich die Grenze an dieselbe Stelle zu setzen. Der Gesichtspunkt historischer Priorität³ spricht dafür, die französischen Aequivalente der Stockheim-Kuseler Schichten der Dyas zuzurechnen. Die unten folgende Tabelle soll einen, auf den Zusammenstellungen von GRAND'ÉURY beruhenden Überblick⁴ der Vertheilung der einzelnen Horizonte in Frankreich geben, für deren Altersdeutung wesentlich die Revision T. STERZEL's⁵ massgebend war.

¹ Es liegt kein Grund vor, wegen des localisirten Vorkommens von Unter-carbon im Norden und Süden das Centralplateau in der Devon- oder Unter-carbonzeit als Insel zu denken — eine Anschauung, die mit gewisser Regelmässigkeit in der französischen Litteratur wiederkehrt. Die Erhebung des Centralplateaus wurde erst durch die mittelcarbonische Faltung bedingt und bei der Abtragung des Hochgebirgs verschwand die überwiegende Masse der älteren marinen Sedimente.

² Die gänzliche Abwesenheit dieser Schichten im Bereiche der französischen Kohlenbecken erklärt das Fehlen der Stufe in der französischen Gliederung des Ober-carbon (GRAND'ÉURY), die innige Verknüpfung der Carbon- und Dyas-Flora die Divergenz, welche bezüglich der Abgrenzung der Formationen zwischen deutschen und französischen Spezialforschern besteht.

³ d. h. die WEISS'sche Gliederung im Saar-Gebiet, welche schon in den sechziger Jahren durchgeführt wurde.

⁴ Vergl. z. B. LAFAPPENT, *Traité de géologie* III. Aufl. p. 827—850 ff. IV. Aufl. p. 932—938.

⁵ Die Flora d. Rothliegenden v. Oppenau, *Mitth. d. Grossherzogl. Badischen Geolog. L.A.* p. 337 ff.

Einzelne Beispiele der centralfranzösischen Kohlenbecken.

Eine Darstellung der zahlreichen kleinen carbonisch-dyadischen Becken des Centralplateaus würde zu weit führen; nur die wichtigsten Beispiele mögen kurz gesprochen werden. Technisch am bedeutendsten ist das Steinkohlenbecken der oberen Loire,¹ das durch Antiklinen in mehrere kleinere Gebiete (St. Etienne, l'Argentière) getheilt wird und dem Untercarbon (Roannais p. 323) auflagert. Eine gewaltige, zeitlich dem unteren Obercarbon und der unteren Saarbrücker Zone entsprechende Lücke weist auf die Hauptfaltung und den derselben folgenden Ausbruch von Quarzporphyren hin. Man beobachtet somit:

Unt. Rothlieg.	7. Obere Glimmerconglomerate ca. 400 m	Gruppe von St. Etienne (Stephanien der französischen Geologen).
	6. Flözgruppe des Bois d'Avaize mit Flötzen a. <i>Sphen. Thoni</i> , <i>Od. Schlotheimi</i> , <i>Alath. Grandini</i>	
Ottweiler Stufe	5. Flözgruppe von St. Etienne s. str.) Berard, 6—800 m	15 Flötze
	4. Glimmerconglomerate von St. Chamond	
Obere Saarbrücker Zone	3b. Flötzeleerer Sandstein, Conglomerate und Calcedone v. Grand' Croix, 2—800 m	
	3a. Flözgruppe von Rive de Gier, (3 Flötze)	
	2. Quarzporphyr oder Basalconglomerat	
	1. Sericitische Glimmerschiefer (oder Untercarbon).	

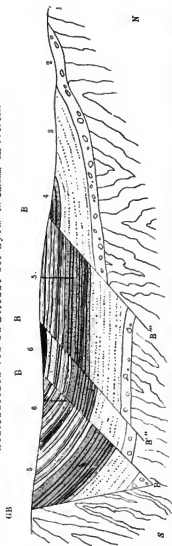
Das bemerkenswerthe Flötz ist das als „grande couche“ bezeichnete Kohlenlager bei Rive de Gier, dessen Mächtigkeit von 6 bis auf 8 m steigt.

Im nordwestlichen Theile des Centralplateaus sind die ausgedehnten Tagehaue von Commentry² (Dep. Allier), besonders merkwürdig durch die 15—20 m mächtige „Grand'-couche“, welche sich stellenweise in mehrere Flötze verzweigt. Die Basis des Ganzen sind Conglomerate mit Rollstücken von Granit, Granulit, Quarzporphyr und gerollter Kohle. In das Hauptflötz gehen die Sandstein- und Geröll-Bänke in schräger Stellung über, ohne dass die geringste tektonische Störung nachweisbar wäre. Diese Lagerungsform erklärt sich ohne Schwierigkeit durch die Annahme einer Deltabildung in einem grossen Binnensee (FAYOL). Die groben Gerölle und Kiesmassen lagern sich in geneigter Stellung sofort beim Eintritt des Wildbaches ab, während die feineren Schlammmassen weiter und die organischen Stoffe am weitesten in den See hineingetragen werden. Infolge dessen bedingt das Vorrücken des Deltas in den See die discordante Überlagerung des Hauptflötzes (Grand'-couche) durch Geröllschichten; die einzelnen Theile des in horizontalem Sinne einheitlichen Flötzes sind somit nicht gleich alt. Eine Eintheilung in verticale Stufen ist in Commentry palaeontologisch nicht durchführbar; jedoch machen sich auffällige Verschiedenheiten in der horizontalen Vertheilung der Pflanzen geltend. Insbesondere sind die *Lepidodendren* (*Lep. Beaumontianum* BRGT., *Gaudryi* ZEILL. u. a.) nur local angehäuft.

¹ LAPPARENT, Traité de géologie IV. Aufl. p. 933 u. GRAND'EURY, Bassin Houiller de la Loire. Guide du congrès international, Paris 1900 XIb.

² B. RENAUT et R. ZEILLER, Études sur le terrain houiller de Commentry I, II, St. Etienne 1887—90.

Kohlenbecken von St. Etienne bei Lyon. N. Guex, ca. 1:40 000.



1 Grundgebirge. 2 Grundconglomerat (150 m). 3 Flötzige Schichten von St. Etienne (bei Rive de Gier mit 4 Flötzen). 4 Untere Flötze von St. Chamond (ca. 900 m mit 11 Flötzen). 5 Mittlere Flötze von St. Etienne (Bérard, 350 m mit 8 Flötzen). 6 Obere Flötze von Anizet (220 m mit 11 Flötzen). N. Guex (etwa verschieden von der Übersicht n. Guex-Etard auf p. 540).

Schemm des dyadischen Kohlenbeckens von Commentry. N. Favon.



A Hauptflötz (Grande couche), das sich nach W. zu in 5 kleinere Flötze (1-5) spaltet. B Flötz des schwarzen Sandstein. C Pennsylvanische Flötze. Das Grundconglomerat (mit Kehlengeröllen) ruht auf Urgebirge (Gneise) und wird von dem Hauptflötz überlagert. Länge des Profils 2 km.

So einleuchtend die Theorie FAYOLs für Commeny selbst ist, so kommt doch eine Ausdehnung derselben auf sämtliche Becken Centraeuropas, oder gar auf die nordeuropäischen weiter ausgedehnten Flötbildungen nicht in Frage¹. In anderen centralenropäischen Becken kann die kohlenbildende Wirksamkeit der an Ort und Stelle gewachsenen Pflanzen nicht hoch genug angeschlagen werden.

Die Schichten von Commeny werden von den französischen Forschern (R. ZEILLER und RENAULT) wegen des Fehlens der Leitformen *Callipteris* und *Walchia* als oberstes Carbon gedeutet; STERZEL gelangt hingegen nach sehr sorgfältiger Abwägung aller botanischen Momente (Aufzählung der Arten siehe in der Haupttabelle) zu dem Schluss, dass bereits untere Dyas vorläge. Die Flora jedes einzelnen der durch Gebirgszüge isolirten Kohlenbecken weist geographische Verschiedenheiten auf, und die Altersbestimmung einer reichen Flora darf nicht von ein oder zwei Leitpflanzen abhängig gemacht werden.²

Am westlichen Rande des Centralplateaus liegt das ziemlich ausgedehnte Kohlenbecken von Brive³ (Limousin, Grenze der Departements Corrèze und Dordogne), dessen Schichten wahrscheinlich durchweg der Dyas zuzurechnen sind:

Die Schichtenfolge bei Brive.

Ober- Roth- liegendes	7. Rother Sandstein von la Ramière, 75 m	} ohne Ver- steinerungen, besonders in der Mitte des Beckens.
	6. Sandstein von Meyssac	
	5. " " Grammont	
	4. Sandstein und rother Thou von Brive	

Discordanz.

Mittel- Roth- liegendes	3. Walchiensandstein von Gourd du Diable und Objat <i>Walchia piniformis</i> , <i>filiciformis</i> , <i>hypooides</i> , <i>flaccida</i> , <i>Callipteris conferta</i> , <i>Call. subauriculata</i> , <i>Nannmanni</i> ; <i>Pecopt. dentata</i> , <i>hemitelioides</i> , <i>oreopteridia</i> , <i>Pecopt. polymorpha</i> , <i>pinnatifida</i> , <i>Calamites gigas</i> , <i>bioderma</i> , <i>Annil. spicata</i> , <i>sphenophylloides</i> .
	2. Kalk von St. Antoine, Schiefer und Sandsteine mit <i>Estheria minuta</i> und <i>Acanthodes</i> .

Discordanz: Die Walchiensandsteine ruhen zuweilen direkt auf Phyllit.

Unter- Roth- liegendes	1. „Permo-Houiller“, Kohlensandstein und unterer rother Sandstein (Châtres, Cabane). Reiche Flora bei Cublac u. Larche: <i>Tueniopteris jejuna</i> ; <i>Callipteris conferta</i> und <i>Walchia piniformis</i> . <i>Pecopt. Beyrichi</i> , <i>oreopteridia</i> , <i>arborescens</i> , <i>dentata</i> , <i>cyathra</i> , <i>nita</i> , <i>Diclyopt. Brongniarti</i> , <i>Odontopt. subcrenulata</i> , <i>Neuropt. cordata</i> , <i>Alethopt. Grandini</i> , <i>Sigill. Brardi</i> (Taf. 50 h, Fig. 12), <i>Sphenoph. oblongifolium</i> , <i>angustifolium</i> , <i>Annularia stellata</i> .
	Grundconglomerat meist aus Phylliten der Unterlage bestehend. Das Obercarbon fehlt.

¹ Vergl. STERZEL, Ref. über das obige Werk N. J. 1893 I p. 269.

² Flora des Rothliegenden von Oppenan, Schlussbetrachtung. Eine ähnliche Meinung vertritt POPOVSKÉ, der Commeny insbesondere den Stockheimer Schichten gleichstellt.

³ MOCRET, Stratigraphie des dépôts de la région de Brive 1892. Ref. N. J. 1894. I p. 337. — R. ZEILLER, Bassin houiller et permien de Brive. Fasc. II. Flore fossile. (Études des gites minéraux de la France, Paris 1892. M. XV planches.)

Die Basis bildet, wie überall, das aus Gerölle des Urgebirges (Phyllit) bestehende Grundconglomerat. Von drei, durch Farbe und Kohlengehalt verschiedenen Facies treten die grauen und schwarzen Sandsteine und Schiefer (faciès houiller) nur in den tiefsten Horizonten und zwar am Rande des Beckens auf. Die Kohlensandsteine wechseln mit rothen, flötzleeren Sandsteinen (faciès permien), die weiter oben überwiegen. Graue, feinkörnige Sandsteine und gelbgraue Schiefer (faciès autunien) finden sich nur in der mittleren Walchienzeone. Die hier auftretenden Kalke werden als Quellabsätze gedeutet.

Die dreigliederte Schichtenfolge entspricht ziemlich genau dem Oberrothliegenden (4—7), dem Lebacher (2, 3) und dem Kuseler Horizont (1).

Die am südöstlichen Rande des Centralplateaus (Cevennen) im Departement Gard gelegenen Kohlenfelder von Alais, Bessèges und le Vigan besitzen im Durchschnitt etwas höheres Alter, als die vorher genannten. Nach den Forschungen von GRAND'EURY und ZELLER¹ sind die Absätze der Kohlen an Ort und Stelle in wenig tiefem Wasser oder in Sümpfen erfolgt. Das häufige Vorkommen festgewurzelter Stämme ist beweisend für die autochthone Entstehung der Flötze. Mächtige flötzleere Mittel deuten auf Senkungen hin, die durch massenhaften Absatz klastischer Sedimente wieder ausgeglichen wurden.

Die Reihenfolge der 3 kohlenführenden, durch flötzleere Sandsteine getrennten Hauptstufen ist nach GRAND'EURY:

Steinkohlenformation und Rothliegendes im Departement Gard.

Oben:

III. Unt. Dyas = Unt. Rothliegendes (Kusel).

9. Den obersten Theil der Schichten bilden die Conglomerate von Châteauneuf; bei l'Argentière deuten auch nach den französischen Forschern einige Pflanzen auf Dyas hin.
8. Die Schichten von Champclauson (auch bei Portes) bilden den obersten kohlenführenden Horizont des Beckens und sind sowohl durch das Auftreten neuer als auch durch das Verschwinden älterer Typen (z. B. der längsgestreiften Sigillarien) ausgezeichnet. Neu sind die Dyastypen (STERZEL) *Callipteridium gigas* p. 536 und *Tueniopteris jejunata* p. 531; ausserdem *Pecopt. cyathæa*, *hemitridos*, *Dictyopt. Schuetzei*, *Sphenophyllum longifolium*, *Sigillaria Brardi* und *spinulosa*.

Flötzleere Schichten 300 m.

II. Oberes Obercarbon:

7. Flötzführende Schichten von Grand'Combe (Schichten von Trescol im Gardon-Thale) = Ottweiler Stufe mit reicher Flora:

Pecopt. cyathæa, *dentata* (Taf. 50 b, Fig. 9), *unita* (ibid. Fig. 10), *Platani*, *Alrthopt. Grandini*, *oquillina*, *Odontopteris Reichiana*, *subcrenulata*, *Sphenoph. Schlotheimi*, *Sigillaria Candollei*, *lepidodendrifolia*, *Cordaites borassifolius*.

¹ GRAND'EURY, Géologie et paléontologie du bassin houiller du Gard 1890—91. R. ZELLER, ausführliches kritisches Referat über dasselbe Werk. Bull. soc. de France [3] Bd. 19, p. 679. Vergl. auch N. J. 1894 I, p. 214.

Dem gleichen Horizonte gehören die Schichten von Mazel und Gagnières an.

6. Flötzleere Schichten in grosser Mächtigkeit, 800 m.

1. Mittleres Obercarbon, Schichten von Bessèges — obere Saarbrücker Schichten — Rive de Gier.

5. Die Flötze von Bessèges sind horizontal und vertical am mächtigsten entwickelt bei Bessèges, Salle, Molières St. Jean und Rochebelle.

Im oberen Theile der flötzführenden Abtheilung erscheinen neue Arten wie *Preopt. cyathra*, *Althopt. Grandini*, *Neuropt. cordata*.

4. Die mittlere Abtheilung (Bessèges, Salle) enthält *Sphenopt. choerophylloides* und *quadridactylites*, *Preopt. lamuriana*, *discreta*, *erosa*; *Sigillaria tessellata*, *elliptica*, *Defrauxi*.

3. Die unteren Flötze der „Cauche Sans-Nom“ (Sainte Barbe) enthalten

Preopt. lamuriana, *polymorpha*, *pteroides*, *abbreviata*, *Neuropt. flexuosa*, *Sphenophyllum truncatum*.

Preopt. mita geht bis 3 hinauf.

2. Die Conglomerate etc. von Pradel, Feljas, Pigère sind durch das Fehlen von *Preopt. lamuriana* etc. ausgezeichnet.

Annul. radiata (Saarbrücker Leitpflanze) zusammen mit der jüngeren *Ann. longifolia*.

1. Die breccienartigen Conglomerate, welche dem aus Sericit- und Chloritschiefer bestehenden Urgebirge discordant auflagern, enthalten einige eigenthümliche Pflanzen wie *Preopt. arborescens*, *gracillium* G. E., *Dictyopteris neuropteroides* und *Lesdya angusta*.

Die Herkunft der Gesteine deutet auf alte von Nordwesten stammende Flüsse.

Die vorstehende Parallelisirung giebt der Auffassung von GRAND'EURY Ausdruck; es lässt sich jedoch nicht verkennen, dass schon die obere Abtheilung der Schichten von Bessèges viel mehr Beziehungen zu den Ottweiler, als zu den Saarbrücker Schichten besitzt.

Kohlenbecken von Alais im Departement Gard (Cevennen). N. GRAND'EURY.
Ostabfall des Centralplateaus — Bruchgrenze gegen das Mesozoicum.



1 Sericitschiefer 2-4 Steinkohlengehirge (Obercarbon). 2 Goldführenden Grundconglomerat (300 m). 3 Steinkohlenschichten mit Flötzen (4). Stufe von Bessèges = Ob. Saarbrücker Sch. 5 Trias. 6 Rhaet und Unterlias (Veltangien). 7 Lias-Dolomit. 8 Lias-Gryphaenalk. B Brüche.

Bei Autun im nordöstlichen Zipfel des Centralplateaus ist die höhere Steinkohlenformation¹ und das Rothliegende flötzführend vertreten und zwar in nachstehender Folge:

II. Unteres Roth- liegendes dem Carbon angelagert.	{	Obere rothe Sandsteine	500 m
		3. Boghead-Kohle (Algenkohle p. 279) von Millery und Surmoulin mit <i>Callipteris</i> und <i>Walchia</i> ; <i>Odontopt. Dupontii</i> , <i>obtusa</i> , <i>Dictyopt. Schuetzei</i> ROEM., <i>Callipt. lyratifolia</i> , <i>Naumanni</i> , <i>subauriculata</i>	
		2. Mittl. Kohlenflötze von Muse, Dracy St. Loup, la Comaille-Chambois mit <i>Call. conferta</i> , <i>Odont. obtusa</i> , <i>Calam. gigas</i> , <i>Call. lyratifolia</i> , <i>Naumanni</i> , <i>Callipteridium gigas</i>	325 m
I. Oberes Ober- carbon gefaltet = Ottweiler Horizont.	{	1. Flötze von Igornay, S. Leger du Bois und Sally mit <i>Call. conferta</i> , <i>Walchia</i> , <i>Sigillaria</i> , <i>Pecopt. unita</i> , <i>feminaeformis</i> , <i>Alethopt. Grandini</i> , <i>Dictyopt. Schuetzei</i> ROEM., <i>Taeniopt. jejunata</i> und <i>multinervis</i> , <i>Callipteridium gigas</i> p. 536	400 m
		2. b. Unbedeutende Flötze, bei St. Moloy ausgebeutet. <i>Neuropt. Grangeri</i> , <i>Planchardi</i> , <i>cordata</i> , <i>Pecopt. arborescens</i> (bis in das Rothliegende 3 hinaufgehend). <i>Sphenoph. Casteli</i> ZEIL., <i>Odontopt. Reichiana</i> , <i>Callipteridium pteridium</i> (Taf. 50 b, Fig. 4, höher hinaufgehend).	
		a. Darunter flötzleere Sandsteine und Conglomerate in grosser Mächtigkeit	ca. 600 m
	{	1. b. Flötze v. Épinac m. Sandstein u. Schiefer, <i>Neuropt. heterophylla</i> BRGT., <i>Pecopt. dentata</i> (Taf. 50 b, Fig. 9) BRGT. sp.	
		a. Porphyrtuff	50—100 m

Die Schichtenfolge des am Südrande des Plateaus liegenden Beckens von Lodève gehört im wesentlichen dem mittleren (Lebacher) und oberen Rothliegenden an:

4. Ober-Rothliegendes: Discordant lagernde rothe Sandsteine . . 500 m
- Lebacher Stufe. {
3. Sandige Schiefer mit *Walchia*, *Callipteris* und *Aphelosaurus*.
2. Dachschiefer, an der Basis mit bituminösen Schiefeln und ebensolchen Kalken: *Palaeoniscus*, *Acanthodes*.
1. Basales Conglomerat.
- Discordanz.
- Unterdevonische Dolomite.

Wie in Centralfrankreich ist auch in Portugal die Altersstellung der kleinen Binnenbecken (oben p. 363) zu verschiedenen Zeiten verschieden gedeutet worden. Jedoch dürfte in Übereinstimmung mit der für Commeny und Oppenau ange-

¹ DELAFOND, Bull. soc. géolog. de France [3] IV, p. 725. ROCHE, Bull. soc. géolog. de France [3] IX, p. 78. DELAFOND, Bassin houiller d'Autun 1890. ZEILLER, Bassin houiller et permien d'Autun et d'Épinac (Études des gîtes minéraux de la France, Paris 1890) Ref. N. J. 1893 II, p. 214.

nommenen Horizontirung auch Bussaco bei Coimbra¹ und S. Pedro da Cova² (bei Vallongo östlich von Oporto) schon dem unteren Rothliegenden zufallen.

Die Dyas in Pennsylvania.

Ganz ähnlich wie in der alten Welt ist auch in Nordamerika im oberen Theile der productiven Steinkohlenformation ein allmählicher Übergang zu der Dyas zu verzeichnen, deren selbständige Flora hier erst verhältnissmässig spät erkannt wurde.

Im Centrum des grossen appalachischen Kohlenfeldes (S.W.-Pennsylvania und Norden von West-Virginia), insbesondere am Ufer des in den Monongahela mündenden Drunkard creek finden sich längs der grossen Baltimore-Ohio-Bahn die Aequivalente der Kuseler Stufe, die Drunkard creek beds und der Cassville plant shale.

Die aussterbenden carbonischen Pflanzen,³ die auch sämmtlich in den sicher dyadischen Wichita-Schichten vorkommen, werden hier von jüngeren Typen, *Baiera*, *Saportaea*, *Walchia*, *Ulmannia*, *Taeniopteris*, *Pachypteris*, *Neuropteris cordata* und besonders der wichtigen *Callipteris conferta* begleitet. Die rothen Schichten von South Park bei Fair Play im Bundesdistrikt Columbia (Washington) sind besonders reich an jüngeren Formen. Die Fauna scheint auf Süsswasser hinzudeuten, ist aber noch nicht näher untersucht.

Diese Dyas-Serie, die im Ganzen 1100' Mächtigkeit besitzt, beginnt mit Schiefem im Hangenden des Waynesburg-Flötzes und besteht aus massigen Sandsteinen, rothen und bunten Schieferthonen, dünnen Kalklagern und unreinen, meist werthlosen Kohlenflötzen;⁴ die petrographische und palaeontologische Ähnlichkeit mit dem Rothliegenden des westlichen Europa ist somit über jeden Zweifel erhaben.

Dyas-Pflanzen sind ausserdem bekannt von der Prince-Edwards-Insel und dem Süd-Park in Colorado,⁵ in dem letzteren Gebiete zusammen mit Insekten.

Die versteinerungsleeren rothen Sandsteine und Mergel, welche in Utah, West-Colorado, Neu-Mexico und Arizona⁶ die palaeozoische Serie conform überlagern, sind wohl zum grössten Theil als unmittelbare Fortsetzung der texanischen marinen Schichten anzusehen.

¹ W. DE LIMA, Comm. da Commiss. dos trabalhos geologicos II, Fasc. 2, Lissabon 1889. ZIEGLER. Bull. soc. géolog. de France [3] t. 22 1894 p. 278. STERCKEL, Rothliegendes von Oppenau, p. 335. Bei Bussaco finden sich *Callipt. conferta*, *Walchia piniformis* und *hypnoides*, *Neurocallipteris gleichenioides*, *Calamites infraetus*.

² Vergl. STERCKEL, l. c. p. 336. Von S. PEDRO werden n. a. angegeben: *Dicranophyllum galli-eum* und *lusitanicum*, *Callipteridium gigas* und *Baiera Gomeniana* HEDR.

³ *Annularia sphenophylloides*, *Neuropteris hiruta*, *Peropteris arborescens*, *dentata*, *Candolleana oreopteridia*, *Pluckeneti*, *unita*, *Sigillaria Brardi*.

⁴ C. A. WHITE, American Naturalist 1889 p. 121, 122.

⁵ COPE, The Batrachia of the Permian Period of North-America. American Naturalist 1884 p. 26 und Bull. U. S. Geol. and Geographical Survey of the Territories, 1881 Vol. 6 p. 79.

⁶ Dieselben bilden hier das Hangende des Aubrey-Kalkes (No. VII auf p. 9). Die gelegentlich versuchte Zurechnung des Aubrey-Kalkes zur Dyas steht im Widerspruch zu seinem palaeontologischen Inhalt.

Das obere Carbon und das Rothliegendes

Vorkommen

Trias in deutsche
Lücke (Zechen)

Oberrothliegendes („Saxonien“), übergreifend über Mittelrothliegendem und älteren Schichten:

- Obere rothe transgredirende Sandsteine (Conglomerate) von Lodève (50 m) mit *Walchia*.
- Obere Sandsteine von Dècazeville mit *Walchia*.
- Obere rothe Sandsteine von Brive im Limousin (Thon von Brive, Sandstein von Grammont, Meyssac, la Ramière).
- Obere rothe Sandsteine von Bert.
- Obere rothe Sandsteine von le Creusot etc.

Mittelrothliegendes (= Autanien, Lebacher Schichten):

- Schichten von Montrambert. Hangendste Schichten des Loirebeckens.
- Lodève. 1. Conglomerate (transgredirend), 2. Dachschiefer und Kalk mit *Palaconiscus*, *Acanthodes*, *Walchia* (4 Species), *Callipteris conferta*, *Aphelosaurus*.
- Obere Schiefer mit *Acanthodes* und *Palaconiscus* bei Nefthes, Montagnol, Camarès, Rodez und Dècazeville.
- Sandsteine, Arkosen und Thon von Bourbon l'Archambault (*Callipteris conferta*, *Annul. spicata*, *Palaconiscus*).
- Charmois mit *Walchia* und *Callipteris*.
- Boghead von Millery und Sirmoulin bei Autun (transgredirend auf Igornay).
- Brive: Untere rothe Sandsteine, Kalk von St. Antoine, Estherienschiechten, Walchiensandstein von Objat.
- Conglomerate, Quarzporphyre, Schiefer mit *Walchia* und *Callipteris* bei Esterel, Massif des Maures, Fréjus.
- Littry (Normandie) mit *Amblypterus* und *Palaconiscus*.
- Walchia*-Sandsteine von Bert.

Unterrothliegendes = Kuseler Schichten, Zone des Calamodendrès:

- 6. Obere Schichten von St. Etienne (Stephanien supérieur), Avoize (Loire), St. Bérain, Montchanin, Sully, Grand Moly, Montmaillet de Blanzay, St. Foy, l'Argentière (Rhône).
- Commentry (Grand'couche, mittlere und obere Schichten).
- Cabiac, Champagnac, St. Pierre la Cour, Kohlenbecken des Var, Littry (Normandie).
- Mittlere Schichten von Autun (Muse, Dracy St. Loup, la Comaille-Chambois).
- 5. Zone de passage: Decize, Bourgneuf, Ahun, Argentan.

- 4. { Untere Schichten von Autun (Igornay, Lally), *Callipteris*, *Walchia*, *Sigillaria*.
- { Zone des Filicacès. Mittlere Flötze von St. Etienne. Untere Schichten von Dècazeville mit *Alethopteris neuropteroides*.
- { Obere Zone von Grand'Combe, Champclauson (Gard), Portes.

Oberes Obercarbon = Ottweiler Schichten (Stephanien inferior):

- 3. Zone des Cordalites (? Dyas), untere Flötze von St. Etienne, St. Chamond (bei St. Etienne), Brassac, la Mothe, Langercac, Blanzay, le Montceau, Lougpendu, la Chapelle sous Dun, le Montet (Allier), St. Eloi, untere Zone von Grand'Combe.
- 2. Zone des Cévennes { Flötzeleere Tuffschichten (gore, 1000 m) zwischen St. Etienne und Rive de Gier mit Kieselstämmen.
- { typische Ottweiler Schichten { Ronchamp, Graissessac, Epinac, Carmaux, Nefthes, Durban, la Rhune, Prade, la Mure, Petit Coeur (Tarentaise, Westalpen), Anthracite des Briançonnais.
- { ? Bessèges (Gard)?

Mittleres Obercarbon = Obere Sigillarien- oder Obere Saarbrücker Schichten:

- 1. Zone de Rive de Gier (zwischen Lyon und St. Etienne), St. Perdoux, Lens, Bully-Grenay, Bourges.

Grosse Lücke: Untere Saarbrücker Schichten und Sudetische Stufe fehlen gänzlich. Das Liegende ist Kohlenkalk.

Versteinerungen einiger wichtiger Fundorte

Entwicklung
fehlt)

Walchia.

Dontrambert: *Pecopteris Beyrichi* WEISS, *Geinitzi* v. GUTH., *Neuropteris recentior*, *Sphenophyllum Thoni* MARR.

Alaonconicus, *Acanthodes*, *Walchia*, *Callipteris*.

Ölliges Fehlen der carbonischen Pflanzen.

Valze: *Callipteridium gigas*, *Sphenophyllum Thoni*, *Odontopteris hercynica*, *osmundaeformis*, *obtusa*, *Pterophyllum*, *Medullosa*, *Psaronius*, *Pecopteris rigida*, * *Calamites gigas*.
 Commentry: * *Pterophyllum Fayoli* REN., * *Plagiozamites Planchardi* ZEIL., * *Equisetum Mongi* REN. et ZEIL., *Odontopteris Planchardi* Z., *Neuropteris Planchardi* Z., *Calamites* * *gigas* BRAT., *Lepidodendron Gaudryi* REN., *Pecopteris Daubreei* Z. und *Mongi* Z., *Bioti*, *arborescens*, *cyathæa*, *unita*, *polymorpha*, *hemitelioides*, *Callipteridium* * *gigas* und *pteridium*, *Sphenophyllum* * *Thoni*, *Alethopteris Grandini* BRAT., *Sigillaria Brardi*, *Odontopteris obtusa* BRAT., *Neuropteris cordata* BRAT., *Calamites Cisti*, *Suckowii*, *Annularia sphenophylloides*, *Asterophyllites equisetiformis*, * *Dicranophyllum gallicum*, *Amblypteris*.

Champelauon: *Odontopteris obtusiloba* NAUM., * *Callipteridium gigas* v. GUTH., *Taeniopteris* * *multinervis* W., *Pecopteris densifolia* GOEPP. sp., *Walchia*.
 Die Equisillarien fehlen.

Alethopteris neuropteroides, *Sigillaria lepidodendrifolia* und *pachyderma*, * *Taeniopteris jejunata*.

Equisillarien mit Längstreifen (*Rhytidolepis*).

IV. Die obere Dyas in den Alpen und in Ungarn.

In Südeuropa ist marine untere Dyas nur in Sicilien, bei Palazzo Adriano am Fiume Sosio, in den Karnischen Alpen (Trogkofel), den Karawanken¹ (Neumarktl), sowie im Departement Ariège entwickelt. Die Angaben STACHE's über das ausgedehnte Vorkommen „permischer Diploporendolomite“ im Osten der Karnischen Hauptkette sind durch neuere Beobachtungen endgültig widerlegt. Die Besprechung der wenig ausgedehnten versteinungsreichen Dyaskalke der Ostalpen erfolgte bereits oben (p. 358) im Zusammenhang mit dem Obercarbon, dessen unmittelbare Fortsetzung sie bilden. Über das Vorkommen im Departement Ariège liegt bisher nur eine Notiz vor (E. HAUG), in welcher der Fund bezeichnender Dyasammoniten (*Gastrioceras*, *Paracelites*, *Daraulites*) kurz erwähnt wird. Abgesehen von dieser älteren Stufe besteht die Dyas 1. aus den discordant den älteren Gesteinen auflagernden Grödenen Schichten (= Verrucano auct. ex parte). Diese nichtmarine Bildung wird gleichförmig überlagert von 2. dem Bellerophonkalk, der einer von Südosten stammenden Ingression des Mittelmeeres in den Grödenen Binnensee angehört.

Während das Fehlen des mittleren und unteren Obercarbon in den südlichen Ostalpen der älteren, durch eine energische Faltung bedingten Discordanz entspricht, ist die jüngere Unterbrechung des Schichtenabsatzes mehr durch Brüche und Massen-eruptionen gekennzeichnet.

Die Schichtenlücke selbst liegt in Südtirol und weiter westlich wesentlich tiefer als im Osten: In Südtirol (Val Troupia) ist die Flora des deutschen Mittelrothliegenden bekannt; in den Karnischen Alpen und Karawanken kennen wir marine untere Dyas, die jener beinahe noch homotax ist.

Die Gebirgsbildung und die Ausdehnung des Binnensees der Grödenen Stufe begann also im Westen früher als im Osten. Die Beziehungen der Schichten lassen sich somit schematisch etwa folgendermassen darstellen:

Südtirol, angrenzende Centralalpen (Brenner) u. Westalpen		Karnische Alpen und Karawanken	
Hängendes:	Werfener Schichten.		
Bellerophonkalk (nur Südtirol)		Bellerophonkalk	ob. u. mittl. Zechstein
Grödenen Schichten = { Kupferschiefer Oberrothliegendes Mittelrothliegendes		Grödenen Schichten = { Kupferschiefer Oberrothliegendes	
Lücke = Transgression und Discordanz		Lücke =	Transgression und Discordanz
Obercarbon, nicht marin, (nur Centralalpen und Westen)		Untere marine Dyas (Trogkofelkalk)	
		Obercarbon, marin	
Liegendes: Praecambriache Schieferhülle		Untercarbon.	

¹ In der Gegend von Neumarktl und östlich davon im Ajdovna-Gebiet lagern vereinzelte Schullen der unteren Palaeodyas über dem allgemein verbreiteten Obercarbon. Von diesen palaeodyadischen Kalken wurden etwa in der Mitte der Formation ganze Theile zerstört und zu bunten („Uggowitzer“) Kalkconglomeraten verarbeitet. Vergl. F. TELLER, Verh. G. R. A. 1899 p. 410 u. 411 und GREY, ibid. p. 418. Anm. während des Druckes.

1. Die Gröden-Graben Schichten.¹

Discordant auf älterem Gebirge (meist Quarzphyllit) lagern bei Bozen zunächst die mächtigen Deckenergüsse und Tuffe des Bozener Quarzporphyrs, von dem isolirte Stromenden noch weit im Osten, zwischen Sexten und Comelico, sowie im Gailthal bei Maria Luggau und Kötschach vorkommen. Meist bildet jedoch im Osten ein Transgressionsconglomerat die Basis, das vorwiegend aus Phyllitgeröllen,² local auch aus Kalkgeschieben des obersten carbonischen Schwagerinenkalkes besteht (Comelico).³

Das gewöhnlich als Verrucano⁴ bezeichnete Conglomerat hat wahrscheinlich die ganze Karnische Kette überkleidet, auf der sich jetzt nur noch in Grabenspalten einige Reste erhalten haben. Am Westabhang des Dobratsch transgredirt das Conglomerat auch über älteren Brüchen, welche Untercarbon und Phyllit gegen einander verwerfen.

Der ostalpine „Verrucano“, der an der Basis des Gröden-Graben Sandsteines liegt und auf das engste mit diesem verbunden ist, kann am einfachsten als „Conglomerat der unteren Gröden-Graben Schichten“ oder kürzer als „Gröden-Graben Conglomerat“ bezeichnet werden. Es liegt ferner nahe, den Namen „Gröden-Graben Schichten“ für die ostalpinen Aequivalente des deutschen Rothliegenden in der Weise anzuwenden, dass demselben das Gröden-Graben Conglomerat als tieferes und der Gröden-Graben Sandstein als höheres Glied untergeordnet wird. Wir haben also:

Oben 2. Gröden-Graben Sandstein mit untergeordneten Mergeln, Letten, Thon und schichtförmig angeordneten Dolomitknollen.⁵ Am Dobratsch erscheint ausnahmsweise blauer thoniger Kalk und Gyps in Verbindung mit dem Verrucano.

Unt. 1. Gröden-Graben Conglomerat (= Verrucano auct.) den Bozener Quarzporphyr z. Th. vertretend, z. Th. Ausläufer desselben umschliessend.

Die älteste Flora der Gröden-Graben Schichten wurde von E. SUSS im Val Trompia zwischen einem unteren Porphyrlager und einer höheren Conglomerathank entdeckt und enthält die folgenden von GEINITZ bestimmten Pflanzen des Deutschen (mittleren) Rothliegenden:

¹ F. FRECH, Die Karnischen Alpen p. 336—341.

² Oft von gewaltigem Umfang.

³ Die Kalk-Conglomerate der unteren Gröden-Graben Schichten werden von F. TELLER und E. GEYER (l. c.) als Uggowitzer Breccie bezeichnet, unter welchem Namen G. STACHE ursprünglich noch Kalk-Conglomerate des Muschelkalkes mit begriff.

⁴ Es kann keinem Zweifel unterliegen, dass der Name „Verrucano“ vielfach in rein petrographischem Sinne für rothe Sandsteine und Conglomerate des Mediterrangebotes angewandt worden ist, deren genaueres Alter nicht festzustellen war: auch könnte eine weitere Verwendung des Namens für Schichtengruppen incertae sedis nicht beanstandet werden. In allen Fällen, wo man den fraglichen Bildungen einen bestimmten Platz in der Schichtengruppe anzuweisen vermag, erscheint eine Ausmerzung der alten Verlegenheitsbezeichnung um so mehr geboten, als an dem wesentlich höheren unterdyadischen Alter des eigentlichen Verrucano von Verruca bei Pisa nicht zu zweifeln ist. Siehe p. 538.

⁵ Die rothen glimmerreichen Sandsteine unterscheiden sich von den ähnlichen Gesteinen des alpinen Buntsandsteines durch ihre Grobkörnigkeit und Dickbankigkeit, vor allem aber durch das Fehlen der Zweischal-er, welche in dem jüngeren Gestein regelmässig und häufig auftreten.

Walchia piniformis SCHL. sp.

„ *filiciformis* SCHL. sp.

Sphenopteris fasciculata var. *zwickauensis* GUTH. (untere Zone des mittleren Rothliegenden in Sachsen p. 532).

Sphenopteris (*Oropteris*) *oxydata* GOEPP.

„ *Suessi* GEIS.

Eine etwas höhere Stellung scheinen die bituminösen, Pflanzen führenden Schiefer von Tregioro im Pescarathal einzunehmen. Dieselben bilden zwischen dem tiefsten, im Hangenden des denudirten Porphyrs auftretenden Conglomerat und dem Grödener Sandstein eine an der stärksten Stelle ca. 200 m mächtige linsenförmige Einlagerung und enthalten nach STUR:¹

Walchia piniformis SCHL. sp.

„ *filiciformis* SCHL. sp.

Ullmannia fragmentaria SCHL. sp.

„ cf. *selaginoides* BRONG. sp.

Bairra digitata BRONG. sp. (*Schizopteris* bei HEER.)

In Deutschland ist das Zusammenvorkommen von *Ullmannia* (Kupferschiefer) und *Walchia* (Rothliegendes) selten beobachtet worden. Hier sind die Floren des mittleren Rothliegenden und des Kupferschiefers durch versteinungsleere Transgressionsgebilde wie Oberrothliegendes und Zechsteinconglomerat von einander getrennt. In den Alpen fehlen diese scheidenden Glieder, welche mit als Aequivalente des Grödener Sandsteines anzusehen sind und ein Zusammenfließen der Floren ist somit natürlich.

Noch jünger, an den deutschen Kupferschiefer (unt. Zechstein) erinnernd, ist die von GÜMBEL zwischen Neumarkt und Mazzon entdeckte Flora, welche in den hangendsten Theilen des Grödener Sandsteins nicht weit unterhalb eines Kalkes auftritt, der das Aequivalent des Bellerophonkalkes bildet.² Am häufigsten sind ausser den Zapfen (*Carpolithus*) Zweige von *Voltzia hungarica* HEER, dann *Bairra digitata* HEER, *Ullmannia Brongii* und ?*Grinitzi*, ferner *Equisetites* und einzelne Fischschuppen.

Die Fortsetzung der Grödener Schichten in Ungarn.

Besser erhalten ist die von HEER beschriebene Flora von Fünfkirchen in Ungarn, welche mit der Neumarkter vollkommen übereinstimmt und u. a. *Voltzia hungarica* HEER, *Boerckhiana* HEER, *Bairra digitata* BRONG. sp., *Ullmannia Grinitzi* HEER, sowie die Abietinee *Schizolepis permianensis* enthält. Die letztgenannte Gattung ist sonst nur aus rhaetischen Schichten bekannt.

An das Vorkommen von Fünfkirchen schliesst sich das untere, kohlenführende Rothliegende im südöstlichen Ungarn, der Schieferthon des Banats (Comitat Krassó-Szörény, rumänisch-serbische Grenze) an; bei Cziklovabánya fand sich *Odontopt. „obtusiloba* NAUM.“, *Walchia piniformis* SCHL. und *filiciformis* SCHL. sp.³

¹ Verhandl. G. R. A. 1882 p. 43.

² Verhandl. G. R. A. 1877 p. 25.

³ Berichte der Kgl. ungar. geolog. L. A. 1888 p. 78. Vergl. auch J. HALAVATS, Die Umgebung von Lopák, Kötnik, Szécsán und Nagy-Zorlenec. (Jahresber. der Kgl. ungar. geolog. Amt. f. 1891 Budapest 1893 p. 100–111.) Die hier ebenfalls vorkommenden Conglomerate und Schieferthone mit *Procyt. arborescens*, *Lepidodendron* und *Annularia stellata* werden zum Carbon gerechnet.

Weit entfernt von diesen Vorkommen des südlichen Ungarns liegt im Tatra-gebirge als Basis der Sedimentserie über dem Granit ein hellrother oder weisser Quarzsandstein („Perimquarzit“), der eine sehr wechselnde Mächtigkeit (8–80 m) besitzt. Aus dem Kunerader Thal in den nordwestlichen Karpathen (zwischen

Entwicklung der Dyasformation südlich vom Kopferschächtenpasse (Bélaar Kalkalpen) am Kamme nach der Weisssee-Spitze. (Tatra.) N. UNLU.



- | | |
|---|--|
| 1. Granit, mit steil südwärts gerichteter Klüftung.
2. Rotes Grundconglomerat der Dyasformation, 3 m;
obere Partie sandig-grauig, geschiebearm. | 3. Dyasandstein ca. 9 m.
4. Rother Schiefer,
5. Hochtatrischer Liasjuralkalkstein. |
|---|--|

Waag und Neutra) hat STUR Reste von *Calamites leioderma* GUTH. beschrieben, die auf eine Vergleichung mit dem Mittelrothliegenden von Lissitz in Mähren hinweisen. UNLU hält eine gleichartige Horizontirung der Tatra-Sandsteine für gegeben. Die letzteren beginnen überall mit einem Grundconglomerat und gehen im Hangenden durch Vermittelung rother Schiefer und Sandsteine nimmerlich in die Trias über.¹

Alpine rothe Sandsteine zweifelhaften Alters.

In den Alpen sind die rothen Sandsteine an der Basis der dyado-triadischen Schichtenfolge weiter verbreitet als das folgende marine Glied. Abgesehen von der Fortsetzung der Karnischen Schichtenfolge in den Karawanken finden wir auch in den centralen, den nördlichen und westlichen Alpen häufig rothe Sandsteine und Schiefer in ähnlicher Stellung. Weisse Quarzite mit deutlichen, röthlich gefärbten Sandsteinkörnern bilden am Südrhang des Radstädter Tauern (Lantschfeldthal) die Unterlage der Trias, könnten aber allerdings ebenso gut zum Buntsandstein gehören. Etwa dasselbe gilt für die am Brenner und östlich desselben auftretenden Tarntalher Quarzite, Sericitgranwacken und Quarzitschiefer, welche zwischen Obercarbon und Trias lagern. Auch am Ortler liegen Vertreter des ?Grüdeners Sandsteins zwischen dem Urgebirge und den triadischen Ortlerkalken. Die Altersbestimmung all dieser Gesteine muss bei dem Fehlen der Versteinerungen und des Buntsandstein und Grüdeners Schichten trennenden Bellerophonkalkes unbestimmt bleiben. Kaum sicherer ist das dyadische Alter der rothen Wildschönauer Schiefer (KATUREIN) in Salzburg.

Weiter westlich ist der viel besprochene rothe, tektonisch veränderte, auf Eocän aufgehobene „Verrucano“ der Glarner und Graubündener Alpen aller Wahr-

¹ UNLU, Geologie des Tatragebirges p. 5–7. (A. d. 64. Bd. d. Denkschr. der math. naturw. Kl. d. Kgl. Akad. der Wiss., Wien 1897). Alpine rothe Sandsteine zweifelhaften Alters.

scheinlichkeit nach im wesentlichen ein Aequivalent der ostalpinen Grödener Schichten.¹ Auch innerhalb der Anthracit-führenden Schichten der Westalpen sind Aequivalente des Rothliegenden vorhanden (oben p. 362).

2. Der Bellerophonkalk.

(Leitfossilien auf Tafel 64.)

Der Bellerophonkalk² der südlichen Ostalpen liegt zwischen dyadischem (Grödeuer) und triadischem Sandstein und besteht aus dunklem, meist bituminösem Kalk, Dolomit, Rauchwacke, Asche und Gyps. Der Bellerophonkalk fehlt als mediterrane Bildung nicht nur in den centralen, westlichen und nördlichen Alpen, sondern auch in dem mit letzteren übereinstimmenden Gailthaler Gebirge. Die petrographische Übereinstimmung mit dem mittleren Zechstein Deutschlands ist augenfällig. Der Gyps, welcher hier wie dort stockförmige Einlagerungen bildet, zeigt die mächtigste Entwicklung im Grödener Thal bei St. Ulrich, sowie in der italienischen Carnia zwischen Paularo und Paluzza, wo die Bäche tiefe Höhlungen hineingefressen haben. Etwas weiter südlich zwischen Arta und Cervento beobachtet man eine mächtige Entwicklung der Rauchwacken, welche der Verwitterung nur geringen Widerstand zu leisten vermögen und somit zu gewaltigen Abrutschungen und Muren Veranlassung geben. Die Rauchwacke enthält als echter „Stinkstein“ einige bituminöse Substanzen und vor allem Schwefelwasserstoff; die zu Heilzwecken benutzten „Schwefelquellen“ von Arta bei Tolmezzo, von Malborget und Lussnitz bei Pontafel entspringen sämmtlich aus diesem Gestein.

Die im ganzen arme Fauna des Bellerophonkalces (Taf. 64) ist durch eigenthümliche Formen, wie die zu *Athyris* gehörende Gruppe des „*Spirifer*“ *megakotis* STACHE³ und *cultur*, sowie die auch bei Djulfä angedeutete Gruppe *Janiceps* von *Athyris* ausgezeichnet.

Am häufigsten und verbreitetsten sind die mit dem Typus des obersten Productuskalces verwandten Bellerophonarten, deren unverhältnissmässig grosse Artenzahl (12) erheblich zu reduciren ist.⁴

¹ MILCH, Beiträge zur Kenntniss des Verrucano, Leipzig 1889—94.

² Entdeckt Anfang der siebziger Jahre von MÜLLEROVIC und seinen Mitarbeitern im Grödener Thal, Südtirol. Die Nantileen sind von dem erstgenannten, die wenigen Ammonoiten von DUCHER, die Foraminiferen und Ostracoden von GUMBEL in sorgfältiger Weise bearbeitet. Die Untersuchung der Mollusken und Brachiopoden (G. STACHE, Jahrb. G. R. A. 1877 p. 143 und 1878 p. 93 mit 7 Tafeln) ist vielfach recht revisionsbedürftig.

³ Das vollkommene, (auch von STACHE hervorgehobene) Fehlen einer Area auf STACHES Abbildungen und einem vorliegenden sechsten Exemplar, spricht entschieden gegen die Bestimmung als *Spirifer*. Von der nah verwandten *Athyris phalaena* aus dem Devon unterscheiden sich die hierher gehörenden Formen durch geringe Ausprägung der Rippen an der Stirn, spitze Flügelfendigung sowie durch abweichende Sculpturen. Ich bezeichne die Untergattung von *Athyris* („wie ein langflügeliger, glatter *Spirifer*, aber ohne Area“) als *Comelicania*; die Gattungsbestimmung der devonischen Formen bleibt zweifelhaft.

⁴ Die Schwierigkeit der Bestimmung der 12 von STACHE benannten Bellerophon-„Arten“ des Bellerophonkalces (Jahrb. d. G. R. A. 1877 t. 6 und 7) wird wesentlich durch den Umstand bedingt, dass die Verschiedenheit der Erhaltung und der Grösse ein sehr abweichendes Aussehen derselben Art hervorruft. So dürfte *Bellerophon comelicanus* St. ein mit etwas stärkerem Wulst versehener *Bellero-*

Ziemlich zahlreich sind Zweischaler wie *Pecten*, *Ariculopecten*, *Bakewellia*, *Neurophorus*, *Allerisma* und *Schizodus* cf. *truncatus*. Die letztgenannten, überall in der Dyas verbreiteten Arten lassen ebensowenig wie die seltenen Ammoneen einen bestimmten Schluss auf das Alter des Bellerophonkalkes zu. Doch tritt hier wie im mittleren Zechstein Deutschlands die Gattung *Productus* vollkommen in den Hintergrund und der unterlagernde Gröden Sandstein enthält in seinem oberem Theil die Flora des deutschen Kupferschiefers. Die Werfener Schichten entsprechen dem Buntsandstein. Der Bellerophonkalk ist also ein Aequivalent des mittleren und oberen deutschen Zechsteins.¹

Von den seltenen Producten erinnert *Pr. cadoricus* ST. und *Pr. „cf. cora“* an den *Prod. hemisphaerium* KUT. (non *hemisphaericus* SOW.) aus dem russischen Zechstein (Taf. 63, Fig. 7), *Streptorhynchus* und „*Orthis*“ sind zweifelhaft, während unter den Nautilen *Neuronautilus fagus* MOJS. einer carbonisch-triadischen Gruppe angehört. *Trunchoceilus (Metucoceus) Hoernes* STACHE sp. steht einer oberearbonischen Form nahe.

Eine *Diplopora (D. Bellerophontis* ROTHPL.) ist der älteste Vertreter dieser Kalkalgen.

Der nach der Darstellung einiger Forscher unsichere palaeozoische Habitus der Fauna erfährt eine wesentliche Verstärkung durch die neuerdings von C. DIENER bei Sexten entdeckten Cephalopoden.² Wie der genannte Forscher hervorhob, kommen Arten aus der Gruppe des *Orthoceras annulatum (Cycloceras)* nur im Palaeozoicum vor. Die Beziehungen der Ammoneen zu dem untertriadischen (aber mit einer Art bis St. Cassian hinaufgehenden) *Lecanites* hat DIENER richtig erkannt.

Jedoch fällt die als *Paralecanites* (DIENER) beschriebene Form des Bellerophonkalkes mit *Paracellites* (aus dem Siosiokalk) zusammen.³ Es ist kein Zufall, dass der einzige in einer jungpalaeozoischen Bildung Chinas gefundene Goniatit ebenfalls der Gattung *Paracellites* angehört.

phon peregrinus LAM. ocn. Diese Art besitzt in Steinkernerhaltung an der Stelle der Mündung, an welcher der Schlitz sich einsenkt, einen Vorsprung; wenn dieser Vorsprung abbricht, so entsteht die tiefeingeschnittene Mündung, wie sie LAMOUR Figur erkennen lässt. Ist der Vorsprung erhalten, so ergibt sich eine Form, wie die STACHES *Bellerophon Janus* — ein Jugendexemplar — besitzt. Ein Jugendexemplar mit abgebrochener Mündung (also ohne Vorsprung) ist wiederum *Bellerophon cadoricus* STACHE. Eine kritische Revision der Originale dürfte von den bei STACHE unterschiedenen 12 Arten kaum 4–5 übrig lassen. Als Beleg für das verschiedene Aussehen der Querschnitte dienen die Figuren auf Taf. 68, von denen die eine genau centrir ist, während die andere excentrisch liegt.

¹ Die obigen, in meinem Werk über die Karnischen Alpen (p. 341) enthaltenen Ausführungen sind bisher in der Litteratur nicht genügend beachtet worden.

² Über ein Vorkommen von Ammoniten und Orthoceren im südtirolischen Bellerophonkalk. Sitz. Ber. Kais. Akad. Wissenschaften Bd. 106 1897 p. 1.

³ Die nebeneinandergestellten Suturen von *Paracellites sextensis* DIEN. sp. und *Par. Hoeferi* GEMM. lassen darüber ebensowenig einen Zweifel übrig, wie der Vergleich der Form mit *Paracellites plicatus* aus dem Siosiokalk. Die in den indischen Ceratitenkalken auftretenden Formen von *Lecanites* sind ständig durch den Besitz eines oder mehrerer Hilfsloben unterschieden. Die Sculptur von *Paracellites* unterliegt zwar geringen Schwankungen, zeigt aber in der Grundanlage stets eine Vorwölbung auf der Aussenseite, der auch eine Vorbiegung der Mündung entspricht. Zaweilen wird, besonders bei jüngeren Formen die Aussenseite infolge des Verschwindens der Sculptur glatt (*Paracellites sextensis* DIENER sp., *Lecanites glaucus* MAYER von St. Cassian). Vergl. Taf. 64, Fig. 8–10.

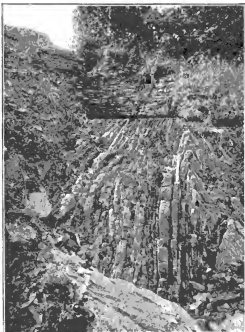
V. Der Zechstein und seine Salzbildungen.

1. Der untere Zechstein, eine nordische Transgression.

Der Zechstein entspricht in Deutschland (I, p. 84) und in der vollkommen übereinstimmenden englischen Fortsetzung dem Typus eines ganz unregelmässig (oscillierend) von Norden her vordringenden Binnenmeeres. Im Osten verbreitet sich die Transgression bis auf den Nordabhang der Sudeten und des Erzgebirges, in der Mitte Deutschlands über den Thüringer Wald, im Westen bis Heidelberg und bis in das Elsass (s. u.). Die Verbreitung ist also ebenso unabhängig von dem Rothliegenden wie von der Lage der heutigen deutschen Mittelgebirge. Im Norden greift der Zechstein — so in Thüringen und dem südlichen Harz (siehe das Textbild) — auf älteres Gebirge hinüber.¹ Besonders schön und deutlich ist das Auftreten einzelner Zechsteinklippen über den devonischen Schiefern des alten Harzgebirges auf der Ruine Scharzfels und der Steinkirche bei Scharzfeld zu beobachten.

Die einzelnen Glieder des Zechsteins transgrediren sogar in unregelmässiger Weise. So fehlt an den erwähnten Punkten der ganze untere Zechstein (Zechsteinconglomerat, Kupferschiefer und Zechstein s. str.).² Der mittlere stark zerklüftete Zechsteindolomit bildet hier die tiefste Abtheilung. Bei Frankenberg in Hessen lagert sogar nur oberer Zechstein (Letten mit Kalk s. u.) unmittelbar auf Untercarbon.

Versteinerungsreich ist der Zechstein nur in seinen beiden tieferen Abtheilungen,



Transgredirende Überlagerung von stark gefaltetem Colnateschiefer durch Zechstein am südwestlichen Harzrande.

N. F. RINKE.

¹ Auch auf dem Thüringer Wald sind Andeutungen einer Zechsteinbedeckung nachgewiesen worden. (Vergl. LÖNNERZ, Über das Vorkommen von verkieselttem Zechsteinkalk. Zeitschr. der deutsch. geol. Gesellsch. Bd. 42. 1891, p. 370.)

² Die Schichtenfolge ist im I. Band p. 84, 85 angegeben und ist in ihren unteren und mittleren Horizonten unverändert geblieben. Für die englische Zechsteinfauna vergl. W. KINZ's Monograph of the Permian fossils of England (1850).

dem Kupferschiefer und eigentlichen Zechstein. Die bezeichnenden Fische (Taf. 61) *Palaeoniscus*, *Aerolepis*, *Platysoma*, sowie ein uraltes Reptil entstammen diesem Horizont; die Verwandtschaft mit dem Rothliegenden wird noch durch das Fortvegetieren einer ärmlichen Flora (*Ilmannia*, *Baiera*, *Voltzia hexagona*, *Callipteris Goeperti* MSTR. = *Pecopteris Schwedensis* auct.) bekundet.

Im Zechstein sind Individuenreichtum und Artenarmuth der Mollusken und Brachiopoden, sowie vollständiges Zurücktreten der Cephalopoden das hervorstechendste Merkmal; die gesammte Entwicklung erinnert an die sarinatischen Schichten des osteuropäischen Tertiär und die im Kaspi-Meer lebende Fauna. *Productus*, *Strophalosia*, *Diclasma*, *Dalmanella*, *Pseudomonotis*, *Bakewellia*, *Schizorthis*, *Myalina* (*Licbia*), *Prosopodius* (*Hinnites*)¹ sind die wichtigsten, meist durch eine oder zwei Arten vertretene Typen.

Bryozoenriffe in nicht unerheblicher Mächtigkeit kennzeichnen den Zechstein Thüringens.

Im mittleren Zechstein (Dolomit, Stinkstein und Steinsalzlager von geringer Mächtigkeit) und im oberen Zechstein (Greuzdolomit)² sind Versteinerungen nur spärlich zu finden (*Diclasma*, *Schizodus obscurus*, *Pseudomonotis* im ersteren). Trotz der Ärmlichkeit der gesammten Fauna ist das allmähliche Verschwinden palaeozoischer Brachiopoden nicht zu verkennen. *Productus* ist nur noch im mittleren Zechstein durch eine seltene Art vertreten, *Productus horridus* und *Geinitzi* (Taf. 64 Fig. 8) sind hier schon erloschen.

Neuartige Typen — Vertreter eigener palaeontologischer Zonen — fehlen im mittleren und oberen Zechstein Deutschlands gänzlich, auch anderwärts (alpiner Bellerophonkalk) ist die Fauna in diesem obersten Palaeozoicum spärlich entwickelt.

Die Annahme eines borealen Charakters der deutschen und der übereinstimmenden englischen Zechsteinafauna (I, p. 87) findet ihre Stütze in folgenden Thatsachen:

1. Die deutsche Zechsteinafauna verbreitet sich in identen oder nah verwandten Formen bis in das nordöstliche Russland, ja bis Spitzbergen und ist genetisch von der palaeodyadischen Fauna dieser Gegenden abzuleiten.³

2. In der Südhemisphaere (N.S.-Wales) finden sich eingelagert in Glacial-schichten marine Bildungen mit deutschen und russischen Zechsteintypen (*Pleurophorus*, *Strophalosia horrescens* var., *Productus brachylaelus* MORR., aff. *Caucasi* VERN.).

3. Die dem deutschen unteren Zechstein stratigraphisch ganz oder z. Th. gleichstehenden Schichten von Djulfä, Kuling, dem Schalschall-Kliff und dem Karakorum-Pass (Woabjilga) sind faunistisch gänzlich abweichend.

¹ *Hinnites* auct. nns dem Muschelkalk und *Prosopodius* ZIMMER. sind ident, stimmen aber nicht mit der jetzt lebenden Gattung *Hinnites* s. str. überein.

² Der Plattendolomit des obersten Zechstein enthält einige Gastropoden (*Turbonilla altenburgensis*), die Gyps- und Salzformation desselben Horizontes enthält keine organischen Reste.

³ *Productus horridus* erscheint in einer wenig abweichenden Mutation (*Prod. grandifer* TOURL.) schon im Obercarbon. (Schwagerinenkalk) Spitzbergens. Oben p. 497.

Spirifer rugulatus (Taf. 63, Fig. 3h), eine sehr bezeichnende, in Deutschland fehlende Art des unteren russischen Zechsteins besitzt in *Spir. rugulatus* mut. *arctica* (Taf. 63, Fig. 4) einen Vorläufer in demselben Carbonhorizont.

Der niederschlesische Zechstein am Nordabhange des Riesengebirges (I, p. 86)¹ besitzt petrographisch eine viel gleichförmigere Ausbildung als der mitteldeutsche: Wohlgeschichtete graue, rothgefleckte Letten und lettige Kalke im unteren Theile, ferner rothe sandige Mergel, die als Einlagerung in den ersteren an der Grenze gegen den Buntsandstein auftreten, setzen die ca. 30 m mächtige Formation zusammen. Im unteren Zechstein ist der weitverbreitete *Productus* am Ost-Fusse des basaltischen Gröditzherges sowie bei Logau am Queis häufig, bei Neukirch im Katzbachthale selten beobachtet. An dem letzteren Punkte wiegen schon im unteren Zechstein, 3 m oberhalb des Rothliegendesandsteins *Zweischaler*, *Schizodus obscurus* in grosser Häufigkeit, *Pleurophorus costatus* und *Pima* unbedingt vor. An den Kupferreichtum des mitteldeutschen Zechsteins erinnert nur das Vorkommen von Malachit in den Letten. Der obere Zechstein enthält hier *Pseudomonotis*.

Das südöstlichste Vorkommen der mittelenropäischen Ablagerungen mit *Prod. horridus* liegt bei Kajetanow unweit Kielce (I, p. 86). Das am weitesten nordöstlich gelegene Vorkommen des Zechsteins wurde in Deutschland in den Bohrkernen von Pommallen bei Memel nachgewiesen.² Hieran schliesst sich das von den übrigen russischen Vorkommen getrennte Kurländer Zechsteingebiet an.

Die südwestlichen Ausläufer des Zechsteins sind in der Gegend von Heidelberg zwischen Oberrothliegendem und Buntsandstein in derselben Weise eingelagert, wie der Muschelkalk zwischen diesem und dem Keuper. In allen Fällen handelt es sich um Oscillationen und Änderungen des Sedimentes in Binnenmeeren. Der Facieswechsel des offenen Oceans zeigt zwar ähnliche Züge; die hier erfolgenden Transgressionen und negativen Verschiebungen sind jedoch Erscheinungen, die nicht nur in grossartigerem Maassstah erfolgen, sondern auch durch andere Ursachen bedingt werden.

Am linken Rheinufer kennzeichnet sich das verschwindende Zechsteinmeer durch rothe Schiefer und thonige Sandsteine, in denen eine eingelagerte handbreite Dolomitbank die bezeichnenden Zechsteinmuscheln *Schizodus*, *Bakewellia* und *Myalina Hausmanni* enthält.³ Die petrographische Grenze gegen das Oberrothliegende, welches 60—70 m im Liegenden, sowie gegen den Buntsandstein, der 60 m im Hangenden typisch auftritt, ist keineswegs scharf.

2. Der obere Zechstein und das Anstrocknen des Binnenmeeres (Kali- und Steinsalz-Bildung).

Das Zechsteinmeer verdankt seine Entstehung der aus dem arktischen Weltmeer stammenden Transgression, dessen Gewässer nur selten⁴ in südlichere Breiten vorgedrungen sind. Dieses Zechstein-See hat niemals den Charakter eines flachen Binnengewässers verloren und eine Verbindung mit dem Grossen Mittelmeer im Süden der Alpen niemals erreicht; somit bedurfte es nur eines geringen Empor-

¹ GRENSEWALDT, Zeitschrift d. deutsch. geol. Gesellsch. III. 1851, p. 241, t. 10.

² Jahrb. k. preuss. geol. Landesanstalt für 1893, p. 652 ff.

³ Kleiner Hohenberg bei Albersweiler, Haardt. Vergl. LEFFLA, Geognostische Jahreshefte I, 1888, p. 39.

⁴ Die mittelloligocäne Transgression in Deutschland and in beschränkterem Sinne der Moskauer Jura sind die zwei weiteren Ausnahmen.

Der Karahugas-See im Osten des Kaspi mit der starken Verdunstung und dem steten Einströmen des Salzwassers über die Barre führt uns die klimatischen und geographischen Bedingungen vor Augen, die damals in der Mitte von Norddeutschland herrschten. (Vergl. die vorstehenden schematischen Profile.)

Die Trockenheit des Klimas findet ihren deutlichsten Ausdruck in der Verarmung der Flora: Sogar die Pflanzen der älteren Trias (Buntsandstein und Muschelkalk) die Farne, Schachtelhalme, Voltzien¹ und die vereinzelt leioderme *Sigillaria* sind noch als verarmter Überrest der Flora des Rothliegenden anzusehen.

Steinsalz, Salzthon und Gyps (bezw. Anhydrit) besitzen in dem Gebiet der Salzpfannen horizontal und vertical die grösste Verbreitung. Von besonderem technischem und wissenschaftlichem Interesse sind jedoch die Kalisalze, die letzten Produkte des Verdampfungsprozesses, und ihre Begleiter, die Magnesia- und schwefelsauren Verbindungen.

Seit 1839 in dem ersten fiskalischen Bohrloch bei Stassfurt ein mächtiges Lager von Steinsalz erhoben wurde, besonders aber seitdem man den Werth der Kalisalze als Düngemittel kennen gelernt hatte, entwickelte sich hier eine Industrie von einzig dastehender Bedeutung. Die neueren z. Th. in fieberhafter Hast und mit mangelnder wissenschaftlicher Vorherbereitung ausgeführten Bohrungen haben trotz zahlreicher Misserfolge eine ungeahnt weite Verbreitung der Kalisalze nachgewiesen. Nicht nur wurden in der weiteren Umgehung des Harzes² die werthvollen Salze entdeckt, auch viel weiter nördlich bei Rüdersdorf (östl. Berlin), bei Jessenitz und Lübbtheen in Meklenburg, im Allerthal (Burbach), bei Sondershausen, Worbis und Arnstadt, ja sogar am Südrand des Thüringer Waldes bei Salzungen sind Kalisalzlager erhoben worden.

Die leichter auflöslichen Kalisalze konnten sich nur dort erhalten, wo ein vollkommen undurchlässiger Salzthon oder Letten ein Schutzdach gegen unterirdische Erosion bildete — ganz abgesehen davon, dass nicht überall der Eindampfungsprozess in den abgeschlossenen Buchten sein letztes Endstadium erreicht haben mag. (Man vergleiche die schematischen Profile, welche diese Vorgänge versinnbildlichen.)

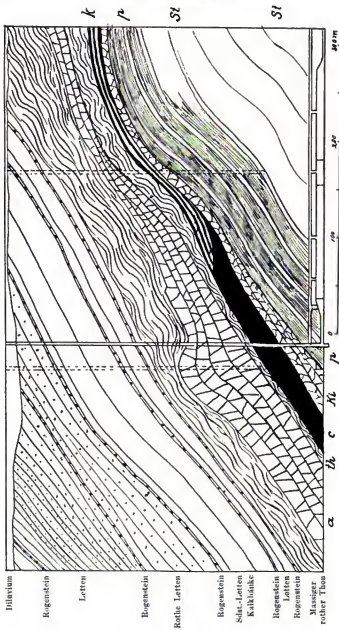
Bei vollständiger Entwicklung der Salzformation des oberen Zechsteins haben wir ein älteres und ein jüngeres Steinsalz, von denen nur das erstere durch Kalisalze hedeckt wird. Das letztere schliesst fast stets mit Gyps oder Anhydrit und bildet das Liegende des Buntsandsteins. Bei Stassfurt, wo das jüngere Salz fehlt, ist die bekannte Reihenfolge (s. d. folgende Profil) vorhanden:

Die sonstigen lokalen Verschiedenheiten ergeben sich aus dem Vergleich der übrigen Profile.

Das bei Stassfurt selbst fehlende jüngere Steinsalz ist erst auf der Anhaltischen Seite (Leopoldshall und Bernburg) vertreten.

¹ *Voltzia heterophylla* scheint allerdings aus Ostindien eingewandert zu sein, wo sie aus der Dyas citirt wird. Jedoch würde auch diese Einwanderung — angesichts des Vorkommens der Gattung im Zechstein — keine Bereicherung der Florenelemente darstellen.

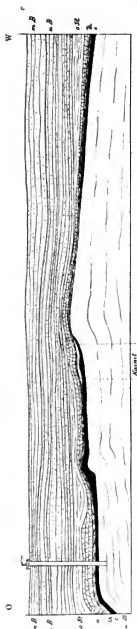
² Stassfurt, Leopoldshall, Bernburg, Aschersleben, Westeregeln, Wilhelmshall am Ilay, Schoenebeck an der Elbe, Neubaldensleben, Vienenburg (Hercynia), Salzethfurth bei Goslar, Hildeheimer Wald, Salzgitter.



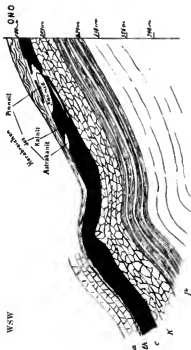
Profil durch das fiskalische Bergwerk bei Stassfurt. Nach Bismorp.

a Anhydrit, c Carnallit, k Kalzit, Kü Kieserit, p Polyhallit, St Steinsalz, th Thon.

Ebenso wie die folgenden Profile einheitlich umgezeichnet nach den Vorbildern in „Deutschlands Kali-Industrie“, Berlin 1898—99.

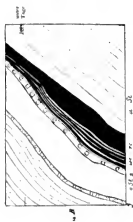


Profil durch die Kalisalzlager der „Deutschen Solvay-Werke“ bei Bernburg (Herzogthum Anhalt), m.B. mittlerer Buntsandstein. u.B. unterer Buntsandstein. o.St. oberes Steinsalz. a.St. unteres Steinsalz. c. Carallit. th. Thon. c. Carnallit. u.St. unteres Steinsalz.



Anhydrit-Region

Profil durch die Kalisalzbergwerk „Leopoldshall“ nach Dr. E. Preusser (1887). a. Anhydrit. th. Thon. c. Carnallit. K. Kieserit. p. Polyhalit.



Profil durch die Kalisalzbergwerk „Leopoldshall“ nach Dr. E. Preusser (1887). a. Anhydrit. th. Thon. c. Carnallit. K. Kieserit. p. Polyhalit.

Stassfurt: Buntsandstein oben

Rother Letten und Thon,

Anhydrit und Gyps,

Salzthon,

Carnallit (Kalisalze) im Ausgehenden in Kainit übergehend.

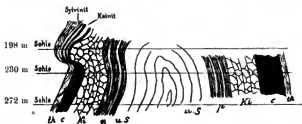
Kieserit

Polyhalit

Alteres Steinsalz oben mit Anhydritschnüren (Anhydritregion).

} Schwefelsaure Magnesia und Magnesia-Kalksalze.

Für den ursprünglichen Absatz und die spätere Erhaltung der Kalisalze ist ein Zusammentreffen so vieler günstiger Umstände erforderlich, dass eine sichere Prognose auf Grund geologischer Erfahrungen nur höchst selten — etwa für unmittelbar angrenzende Grubenfelder — gegeben werden kann. Das Kalibohren trägt somit den Charakter eines Glücksspiels und der ausserordentliche Anklang,



Profil durch die Kalisalzagerstätte bei Westeregeln.
th Thon. c Carnallit. Ki Kieserit. p Polyhalit. u. S. unteres Steinsalz.

welchen diese Beschäftigung in den achtziger und zu Anfang der neunziger Jahre an der Börse gefunden hat, ist zum guten Theil auf die geologische Eigenart des Vorkommens zurückzuführen.

Die Verbreitung von Steinsalzlagerstätten und Soolquellen ist noch wesentlich grösser und erstreckt sich bis Pommern (z. B. Kolberg, Greifswald), Ostpreussen (Tilsit, Insterburg) und Posen (Inowrazlaw).

Die enorme, 1000 m weit übersteigende Mächtigkeit mancher Steinsalzlagerstätten erfordert die Annahme langsamer Senkung innerhalb der abgeschlossenen Buchten. Bei Sperenberg, 9 Meilen südlich von Berlin, wo unter Gyps bei 89 m Tiefe das Salz erreicht wurde, war dasselbe bei 1268 m noch nicht durchbohrt.

Bei Unseburg, 10 km NW. von Stassfurt ergab die Durchbohrung des älteren Steinsalzes eine annähernd gleiche Zahl:

1. Von 80 bis 1250 m stand das Bohrloch im älteren Steinsalz.
2. Dann wurde Anhydrit, schwarzer Schiefer und Stinkstein des mittleren Zechsteins angetroffen.
3. 1280—1290 m wurde ein Steinsalzlager des mittleren Zechsteins durchbohrt.
4. Im Anhydrit derselben Stufe wurde die Bohrung eingestellt.

Ob. Zechstein

Mittlerer

Zechstein

3. Höherer Zechstein in Nordwestdeutschland und England.

Eine durchaus abweichende Entwicklung zeigt die oberste Dyas in Hessen. Die dyadischen Bildungen von Frankenberg entsprechen nach den kartographischen Aufnahmen von A. DENCKMANN¹ der oberen Abtheilung der Zechsteinformation und lagern discordant über weit älteren Bildungen (Untercarbon bei Viernünden). Der Verfasser unterscheidet von oben nach unten:



Buntsandsteinfelsen (darunter Zechsteinletten) an der Nordspitze von Helgoland.

1. Jüngeres Conglomerat, nach oben zu mit dem Buntsandstein innig zusammenhängend.
2. Sandsteine mit den Geismarer Kupferletten; in letzteren häufig *Ullmannia*.
3. Flötz des Stäteberges:

Kalke, Mergel (auch Sandstein und Conglomerat) mit 3 Kupfererzflötzen, davon das oberste mit *Gerevillia*, *Schizodus*, *Pleurophorus* und *Pseudomonotis*.

4. Älteres Conglomerat (dessen Liegendes meist unbekannt ist).

Bemerkenswerth ist der innige Zusammenhang der einzelnen Horizonte und die wechselnde petrographische Beschaffenheit, vor allem das rasche Auskeilen

¹ Die Frankenger Permildungen. Mit geologischen Karten. Jahrb. d. K. preuss. geolog. Landesanstalt für 1891. Berlin 1893; p. 234—267. Die Litteratur, welche sich mit den schwierigen Verhältnissen der dortigen Gegend beschäftigt, ist l. c. p. 235 und 236 kurz besprochen, wird aber durch die Ergebnisse der neueren Kartirung überholt.



Der Mönchfelsen bei Helgoland: (Buntsandstein) oben und Zechsteinletten unten.

der einzelnen kalkigen, lettigen, sandigen und conglomeratischen Bildungen. Die von anderen deutschen Vorkommen abweichende petrographische Beschaffenheit ist wohl dadurch zu erklären, dass die unregelmässige Transgression, welche anderwärts das Auftreten des Rothliegenden und des unteren Zechsteins kennzeichnet, hier erst in der obersten Abtheilung der Dyas erfolgt ist.

Gliederung der deutschen
(zum Theil n

Hangendes: Buntsandstein.

	Südlicher, nördlicher und westlicher Harzrand und Kyffhäuser nach BEYRICH, MÖRTA und den Ergebnissen neuerer Bohrungen.	Östliches Thüringen (LIESE)	Niederrhein (MÖRTA)
Oberer Zechstein.	Oberer rother Letten n. Thon m. Dolomitknauern — Quellenhorizont (Rhumesprings)	Oberer Letten und Gyps	Oberer Letten mit Gyps
	Oberer Gyps Oberes Steinsalz } local Salzthon Kalisalze und Schwefelsaure Salze } local	Plattendolomit mit <i>Turbonilla altenburgensis</i>	Plattendolomit
	Unteres Steinsalz, am weitesten verbreitet, bis über 1000 m mächtig (Local — am Südrande des Kyffhäusers — Plattendolomit mit Gyps)	Unterer Letten mit Gyps	—
Mittlerer Zechstein.	Stinkschiefer	—	—
	Mittlerer Dolomit (= „Hauptdolomit“ ¹⁾) und Rauchwacke	— Rauchwacke	Mittlerer Dolomit —
	Anhydrit (älterer Gyps) mit schwächeren Salzlagern	—	Anhydrit und älterer Gyps Poröse Kalk- und Asche
Unterer Zechstein.	Zechstein mit <i>Productus horridus</i>	Bryozoen-Platte	Zechstein
	Kupferschiefer local entwickelt (besonders im Mansfeldischen)		Kupferschiefer
	Zechsteinconglomerat wenig mächtig, nur local entwickelt		—

Liegendes: Rothliegendes und ältere paläozoische Formationen.

¹ Die Bezeichnung Hauptdolomit (*Dolomia principale*) wird ganz allgemein für den oben viel geeigneter, als für den meist nur $\frac{1}{100}$ dieser Mächtigkeit erreichenden Zechsteindolomit „Mittlerer Dolomit“.

Frankenberg (DENCKMANN)	Waldeck (HOLKAPPEL u. LEFFLA)		Wetteran (BÜCKING)	Spessart (BÜCKING)
b. Conglomerate (kalkig)	Obere Conglomerate		Ranchwacke	Rothe und heilblane Letten mit Ranchwacke
andstein mit Kalklin sen, etten (<i>Ulmanna</i>) und Kupfererzen (local)	Graue Dolomite			
ntere Conglomerate und Sandsteine	Zellige Kalko, Letten, Gyps			
—	Weisser Kalk 80 m		Rother Schieferthon Salzthon Bunte Mergel	Mittlerer Dolomit, z. Th. vertreten durch Eisenstein
—	Conglomerate (Schloss Waldeck und Jesberg)	Stinkkalk Zechstein mit mergeligen Zwischenlagen z. Th. Kupfererz führend.	Bläulichgrauer Mergel Dunkler Kalk	Zechstein und Mergelschiefer z. Th. vertreten durch Eisenstein
—		—	Kupferschiefer (Haingründan)	Kupferschiefer
—	—	—	Zechstein- Conglomerat	Zechstein- Conglomerat

bis 1000 m mächtigen Dolomit der Alpentrias angewandt und ist für diesen wichtigen Horizont der einfachste Ersatz für diesen „Hauptdolomit“ der Dyas ist Mittlerer Zechsteindolomit oder

Den geographischen Übergang zu der englischen Entwicklung bilden die Zechsteinletten, welche neuerdings am Niederrhein erhoben wurden und schon seit langer Zeit von Stade, von Lieth bei Elmshorn und vor allem von Helgoland¹ bekannt sind. DAMES rechnet die rothbraunen, fossilleeren, Kalkmandeln und Kupfermineralien enthaltenden Thone, welche den tieferen Theil der Insel Helgoland zusammensetzen, zum obersten Zechstein. Die Transgression und das langsame Verschwinden des Zechsteinmeeres betraf Norddeutschland und England somit gleichmässig.

Auch die englische Dyas endet — als deutlicher Beweis für das allmähliche Austrocknen des Binnenmeeres — mit gyps- und salzföhrnden Mergeln. Dieselben liegen z. B. in Cumberland, Durham und Westmoreland zwischen dem Zechstein (Magnesian limestone mit einem Pflanzenlager an der Basis) und dem Aequivalent des deutschen Buntsandsteines.²

Ähnlich entwickelt sind die rothen und bunten Mergel der obersten Dyas bei Manchester, welche als organischen Hinweis auf die Nähe der Trias die Gattung *Volzia* (*V. Liebeana* GEIX.), daneben jedoch noch *Ullmannia* enthalten.³ Die Molluskenfauna der Mergel besteht bereits ausschliesslich aus Zweischalern (u. a. *Schizodus Schlotheimi*, *Pterophorus costatus* und *Pallasi*, *Bakewellia antiqua* und *Myalina* (*Lirbea*) *Hausmanni*), während Brachiopoden mit Ausnahme einer *Discina* fehlen.

VI. Die Neodyas in Russland.

Das jüngste Palaeozoicum überlagert im östlichen Russland die Artstufe (p. 493) conform und wird in 1. eine untere Sandsteinbildung, 2. eine mittlere Kalkformation (= Zechstein Westeuropas; fehlt im Gouvern. Perm) und 3. eine obere sandig-mergelige Gruppe getheilt:

1. Die untere meist in zwei Zonen gegliederte Stufe umschliesst als bekanntestes Glied den Kupfersandstein (z. B. im Gouvern. Orenburg) und entspricht auch stratigraphisch dem Kupferschiefer in Deutschland und England sowie den kupferführenden Schichten von Texas.

2. Der Zechsteinkalk Russlands zeigt die weitgehendste Übereinstimmung (z. Th. $\frac{2}{3}$ der Arten) mit der Fauna des deutschen Zechsteins.

3. Die obere Sandsteinformation oder Tatarische Stufe ist überaus fossilarm. Sehr bezeichnend aber selten ist *Glossopteris* (Gouv. Wologda). Am verbreitetsten sind Unioniden (Subfam. *Anthracosinae* AMALITZKY) wie *Najadites*, *Oligodon* und *Palaeomutela*, welche, wie ich in Petersburg durch Untersuchung der AMALITZKY'schen Originale feststellen konnte, mit Taxodonten nicht die mindeste Verwandtschaft besitzen. Wichtig ist das Vorkommen der Zechsteinform *Myalina*

¹ W. DAMES, Über die Gliederung der Flözformationen Helgolands. Sitz.-Ber. d. physik.-math. Kl. der preuss. Akad. d. Wissenschaften. 1893, p. 3—5.

² ST. BEES Sandstone. GOOLDSCHILD, Qu. Journ. Geol. soc. of London, Bd. 48, 1892. E. WILSON, On the Durham salt district, Quart. Journ. geol. soc., Bd. 44, 1888 p. 761 ff., bes. p. 769; die Salzformation von Durham wird von den Einen zum Zechstein, von den Anderen zur oberen Trias gerechnet.

³ GRINITZ, Sitz.-Ber. d. Isis in Dresden, 1889 p. 48.

FUCHS, Lethaea palaeozoica. II.

septifera (Liebea) in der unteren tatarischen Stufe. Bedeutsam sind ferner triadische Reptilien (*Anomodontia*), die mit südafrikanischen Formen verwandt sind: *Pareiosaurus*, *Denticosaurus*, *Rhopalodon*. Die tatarischen Mergel werden von den Einen¹ als ausschliesslich palaeozoisch, als Aequivalent etwa des mittleren und oberen Zechsteins angesehen. Andere Forscher² nehmen mit mehr Recht an, dass die oberen Horizonte schon der westeuropäischen unteren Trias — bis zu den Werfener Schichten aufwärts aequivalent sind.

1. Das „Permian“ im Gouvernement Perm.

Der russische Zechstein verbreitet sich vom Ufer der Wolga nicht bis in den Nordosten des europäischen Reiches. Am Oberlauf der Kama, also in dem Gouvernement Perm selbst finden sich im Hangenden der Arta- und Kungur-Schichten lediglich nichtmarine Sandsteine und Kalke, auf welche MURCHINSON mit ausdrücklichem Ausschluss der Arta-Stufe das „Permian“ begründet hat. Nach neueren Aufnahmen stellte STUCKENBERG³ hier die nachfolgende Schichtenreihe fest:

3. Tatarische Schichten, obere Abtheilung des Perm, (P₂) petrographisch von (P₁ b') nicht zu unterscheiden; ohne Versteinerungen.
2. Rothe Thone und Sandsteine, palaeontologisch übereinstimmend mit dem Kupfersandstein, obere Zone des unteren Perm (P₁ b).

Versteinerungen: *Eurosaurus priscus* KAT., *Rhopalodon Wangenheimi* FISCH., *Campylocephalus oculatus* KAT., *Anthracosia*, *Najadites castor* EICHW., *Calamites gigas* BROT., *decoratus* EICHW., *Callipteris Brougniarti* WEN., *conferta* var., (= *obliqua* GOEPP., *praelongata* WEISS), *Sphen. (Oropteris) lobata* MORR., *erosa* MORR., *bifida* SCHMALH., *Cordaites*, *Baiera gigas* SCHMALH., *Psygmyphyllum expansum* SCHIMP., *cuneifolium* SCHIMP. (*Noeggerathia* auct.), *Tylocladon*, *Cordaiozylon*, *Dadozylon*.

1. Untere Kalksteinplatten, Sandstein und Thon (unterstes Perm) mit *Bairdia* sp., *Najadites Verneui* AM., *N. castor* EICHW., *N. subcastor* AM., *Psygmyphyllum expansum* und *Calamites gigas*.

Liegendes: Marine Kungur-Schichten.

¹ AMALITZKY, KROTOW, STUCKENBERG; NETSCHAJEW, Fedna der permischen Ablagerungen des östlichen Theiles des europäischen Russlands. Schrift. Naturf.-Gesellschaft zu Kasan 27, 4. 1899. Die in russischen Werken (NETSCHAJEW etc.) zuweilen gefundene Angabe, dass die untere Sandsteinformation dem deutschen Rothliegenden entspreche, erklärt sich wohl aus der Verstellung, dass das „Permian“ als „Zwischenbildung“ von Dyas und Carbon tiefer als das „Rothliegende“ zu heranziehen sei. Da jedoch echte Kaseler Pflanzen zahlreich in der Arta-Stufe vorkommen und die tatarischen Mergel schon Buntsandsteinformen (s. untea) enthalten, so ist die untere Sandsteinformation jedenfalls viel höher zu stellen als das Rothliegende. Die in derselben gefundenen wirbellosen Thiere (*Palaeomutela*, *Najadites*, *Etheria*) sind für die geologische Herizeatirung von geringerer Bedeutung als die Pflanzen. Bedeutsam ist ferner das Vorkommen des afrikanischen *Pareiosaurus*. In Südafrika werden die *Pareiosaurus* enthaltenden Schichten zur Trias gestellt. Vergl. N. J. 1894 I, p. 196 und 1898 II, p. 475.

² KARPENKO, TCHERNYSCHEW, NIKITIN. (Vergl. NIKITIN, Guide géologique II, de Moscou à Oufa p. 23.)

³ Allgemeine geologische Karte von Russland, Bl. 127.

2. Der Zechstein.

Ein lichtgrauer dolomitirter Kalk steht bei Soligalitsch am Ufer der Selma und bei Puschesch an der Wolga (beide Gouv. Kostroma¹), im Liegenden der bunten Mergel (Tatarien) an und enthält in seiner gesammten Fauna (38 Arten) beinahe $\frac{2}{3}$ (21) auch in Westeuropa vorkommende Formen. Dem gleichen Horizonte gehören die im westlichen Ural (Gamovo) anstehenden Kalke an. Die wichtigsten Arten (Taf. 62, 63) sind:

Nautilus (Tentaculites) Freislebeni GRAY., *Turbonilla wolgensis* GOLOWK.; *Straparollus permianus* KINO, *Marchisonia subangulata* VERN., *Allerisma elegans* KINO, *Edmondia Murchisoniana* VERN., *Astarte permocarbonica* TSCHERN., *Pleurophorus costatus* KINO,² *Solenomya biarmica* VERN., *Leda speluncaria* GRAY., *Macrodon Kingianus* VERN., *Bakewellia ceratophaga* SCHUL., *Aciculopecten Kokcharoffi* VERN., *Pecten pusillus* SCHUL., *Pseudomonotis speluncaria* SCHUL., *Dielsma elongatum* SCHUL., *Athyris pectinifera* SOW., *Russiana* KEYS., *Spiriferus superstes*, *Strophalosia horrencens* VERN., *Autostegus Wangenheimi* VERN. und *gigas* NETSCH., *Rhynchopora Geinitziana*, *Productus Cancrini* VERN.

Eine ähnliche Entwicklung zeigt der Zechstein bei Ssamara und nach NETSCHAJEW³ im Gouv. Kasan:

3. Am höchsten liegen bunte Mergel (P₂) mit spärlichen Fossilresten (*Anthracosia umbonata*, *Cythere*, Fischschuppen) und Pflanzenresten.

2. In den höheren Kalken (P₂ b), welche höheren Theilen des unteren deutschen Zechsteins sowie der mittleren Stufe desselben entsprechen, wiegen hier wie dort Zweischaler und Gastropoden vor:

Turbonilla altenburgensis (Grenz dolomit), *Marchia subangulata*, *Macrodon Kingianus*, *Astarte permocarbonica* und *Valliseriana*, *Bakewellia ceratophaga*, *antiqua* und *sulcata*, *Pleuroph.* *Pallasi* und *simplex*, *Schizod. obscurus*, *rossicus*, *Pseudomonotis speluncaria*, *Athyris pectinifera*, *Prod. Cancrini* und *Stenopora columnaris*.

1. Der untere Theil dieses Zechsteins (P₂ a) besteht aus Mergel, Sandstein und Kalk mit vorwiegenden Brachiopoden und Bryozoen:

Fenestella ratiformis, *Orbipora crassa*, *Prod. Cancrini*, *Strophal. horrencens*, *Spirifer rugulatus* (Taf. 63, Fig. 3), *Schrenki* und *Blasi*, *Athyris Russiana*, *Dielsma elongatum*, *Pseudomonotis speluncaria* (Taf. 62, Fig. 19), *Schizodus obscurus*

(= tiefster Theil des deutschen Zechsteins.)

3. Die bunten Mergel (Tatarische Stufe) an der Grenze von Palaeozoicum und Mesozoicum.

Die Entwicklung des nichtmarinen „Tatarien“ ist typisch z. B. in den Gouvernements Kostroma, Wologda und Wiatka, wo rother Sandstein und Mergel die vorherrschenden Gebirgslieder sind;⁴ dieselben gehen in ihrem unteren Theile in

¹ TH. TSCHERNYSCHEW, Der permische Kalkstein im Gouvernement Kostroma. Verh. Kaiserl. russ. Min.-Ges. in St. Petersburg. 2. Ser. Bd. 20.

² Die gesperrt gedruckten Arten sind auf Taf. 62 und 63 abgebildet.

³ Fauna der permischen Ablagerungen des östlichen Theiles des europäischen Russland. Mit 12 Tafeln. Schriften d. Naturforschenden Gesellsch. zu Kasan. Bd. 27, 4. 1894.

⁴ KRYLOW im Ref. von A. PAVLOW, Ann. géol. N. p. 485. Vergl. Ref. über AMALITZKY (Anthracosen der Permformation Russlands, Palaeontogr. 39, p. 126) im N. J. 1895 I, p. 403.

feingeschichtete Mergel mit *Anthracosia*, *Estheria Eos* Etcuw., *Estherella* und *Cythere* über und werden von Zechstein unterlagert.

Im Gouvernement Wologda, an der kleinen Dwina und Jucholona fand AMALITZKY typische Glossopteris-Blätter in den obersten rothen „Tatarischen“ Mergeln. Mit Glossopteris zusammen finden sich die Glossopteris-Rhizome „*Vertebraria*“, ferner eigenartige anomodont Saurier, *Paricosaurus*, *Dentrosaurus*, *Rhopalodon*, Palaeoniscidier, Zweischaler (*Palaeonutela*, *Anthracosia*, *Oligodon*, *Palaeonodonta*), von Pflanzen *Schizoneura* (Indisch), *Equisetum*, sowie von westeuropäischen Formen *Callipteris*, *Sphenopteris* und Taeniopteriden.¹

Das Vorkommen der ostindischen Glossopteris deutet ebenso wie das Vorkommen der Anomodontier von südafrikanischem Typus auf mittlere Gondwanaschichten; die Saurier liegen sogar überall im oberen Theile dieser wesentlich der Trias entsprechenden Formation (ob. Beaufort und Panchschichten). Andererseits verweisen Zweischaler, die Palaeoniscidier, *Sphenopteris* und *Callipteris* auf die europäische Dyas. Das Gesamtbild der organischen Welt spricht für die Meinung derjenigen russischen Geologen, welche in dem oberen Theile der bunten Tatarischen Mergel die Grenze von Palaeozoischer und Mesozoischer Zeit sehen.

Ausschlaggebend für die Altersbestimmung der obersten bunten Mergel als Trias ist wohl das Vorkommen von *Equisetum arenaceum*, *Voltzia heterophylla* und *Estheria minuta* auf der Grube Wytschegda bei Kargalinsk.²

Noch genauer hat NIKITIN den Standpunkt der Geologen³ des Comités dahin bestimmt, dass die rothen Mergel der Tatarischen Stufe die höheren Zonen des Zechsteins und die untersten der Trias ohne Unterbrechung vertreten; eine Abgrenzung zweier Unterstufen, einer „permischen“ und einer triadischen sei nicht möglich.

Wie in Westeuropa, so schliessen auch im Donjetzgebiet Russlands die palaeozoischen Ablagerungen mit einer Salzformation, dem Anzeichen langsam verdunstender Meere.

VII. Die Grenze der marinen Dyas und Trias in Asien.

1. Die Djulfaschichten.

(Untere Stufe der Neodyas.)

Von den kaukasischen Entdeckungen HERMANN ABICH's hat kaum eine grössere Aufmerksamkeit beansprucht, als die Auffindung einer „Bergkalkfauna bei Djula in der Araxesenge“⁴ (Hocharmenien). Die im Titel des Werkes ausgesprochene Deutung als älteres Carbon wurde von dem Verfasser bereits in dem Nachtrage durch die Zuweisung der Schichten zum jüngeren Palaeozoicum richtig gestellt.

¹ Procès verbal I séance relative aux travaux des stratigraphes, VII congrès international géologique de St. Pétersbourg.

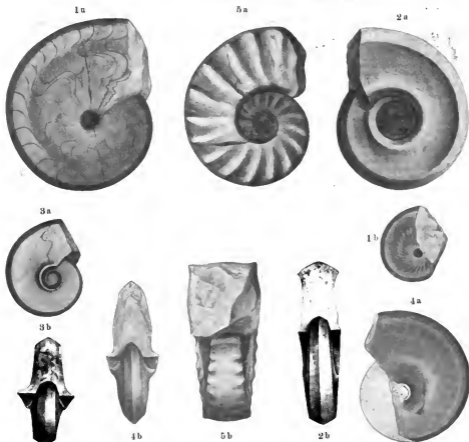
² N. KARPINSKY, (vergl. N. J. 1883 II, p. 363).

³ N. J. 1894 I, p. 322.

⁴ H. ABICH, Über eine Bergkalkfauna bei Djula in der Araxesenge. Wien 1878.

(Zone des *Otoceras djulfense* und *trochoides* im Araxes-Cañon.)

Sämtlich mit einem grösseren Lateralloben und Hilfszacken, Vorläufer der durch zwei Lateralloben ausgezeichneten Ceratitiden der Dyas-Triasgrenze (Zonen des *Otoceras Woodwardi* und *Flemingites Flemingianus*).



1 a. *Hungarites Raddei* ARTH. Ein bis ans Ende gekammertes Exemplar von der Seite.

b. Junges Exemplar mit Sculptur.

2 a, b. *Hungarites pessoides* ARTH. sp. Seiten- und Rückenansicht der an *Otoceras trochoides* erinnernden Art,¹ nach zwei Exemplaren construiert.

3 a, b. *Otoceras trochoides* ARTH. sp. Typus. Seiten- u. Rückenansicht zweier Exemplare, etwas ergänzt.

4 a. *Otoceras Feodoroffi* ARTH. Seitenansicht der an *Hungarites Raddei* erinnernden Art.¹

b. Rückenansicht nach zwei Exemplaren construiert.

5 a, b. *Pleuronautilus Verzei* ARTH. Djalfaschichten. ¹/₁. Djalfa.

Sämtliche Figuren sind neu gezeichnet nach den von den Verfassern gesammelten Originalen G. v. ARTHAKER's in F. FREYER und G. v. ARTHAKER, Palaeozoikum in Hocharmenien. Beitr. zur Palaeontolog. und Geologie Österreich-Ungarns, herausgeg. von G. v. ARTHAKER, Wien 1900. Sämtlich mit Ausnahme von Fig. 5 ¹/₁ nat. Grösse.

¹ Auf Grund der bei Djalfa vorkommenden Arten würde man *Otoceras* und *Hungarites* nicht als Gattungen, sondern nur als unterscheidbare aber nah verwandte Gruppen desselben Genus bezeichnen. Da jedoch von beiden selbständige, stark divergierende Stämme ausgehen, ist die obige Nomenclatur gerechtfertigt.

Noch weiter gingen andere Forscher, welche die fraglichen Bildungen dem unteren Zechstein¹ oder gar der oberen Grenzstufe des Palaeozoicum zuwiesen.²

Die eigenartige, aus palaeozoischen Brachiopoden und Ceratitiden von triadischem Habitus (*Hungarites*, *Otoceras*) bestehende Fauna liess allerdings den Vermuthungen weiten Spielraum, um so mehr als auch ein scheinbar carbonisches Goniatitengenus mit den letzteren zusammen vorkommt. WAAGEN glaubte darauf hin sogar³ zwei Horizonte a) mit *Gastrioceras*, b) mit *Otoceras* annehmen zu müssen.

Gastrioceras Abichianum besitzt allerdings einen auffallend palaeozoischen Anstrich, aber da die vielfach mit dem älteren *Glyptioceras* verwechselte Gattung *Gastrioceras* erst über der Artstufe im Siosiokalk ihre Hauptentwicklung erreicht, ist das Überleben einer Art in den nächstjüngeren Schichten keineswegs auffallend.



Gastrioceras Abichianum
MOELLER sp.
Djulfakalk. Djulfa.
N. v. ARTHAYER. 1/1

Die in den vorliegenden Beobachtungen und in der Litteratur bestehenden Widersprüche sind durch einen neuerlichen Besuch des im wüstesten Grenzgebiet von Russland und Persien liegenden Fundortes wenigstens zum Theil behoben worden.⁴ Die Djulfaschichten enthalten hiernach die einzige besser bekannte Fauna der unteren Neodyas in pelagischer Entwicklung.

Die nach den Angaben AUCH's im unmittelbaren Hangenden der Djulfakalke vermutheten Werfener Schichten mit *Tirolites*, *Pseudomonotis* etc. können im Süden, wo die Profilzeichnung dieselben anzeigt, nicht liegen: Das Einfallen der Schichten ist vielmehr gerade umgekehrt nach Norden gerichtet, und nördlich von dem Fundpunkte der Versteinerungen beobachteten wir noch mindestens 100—200 m mächtige palaeozoische Kalke.

Ein Vorkommen von mergeligen Bivalvenkalen, welche wir am Araxes etwa 8 km oberhalb der Fundstelle⁵ auffanden, dürfte nach den Lagerungsverhältnissen das Hangende der eigentlichen Djulfakalke bilden und enthält in einem dem deutschen Wellenkalk ähnelnden Gestein die Formen des obersten indischen Productuskalkes:

Lima Footei WAAG.

Lithodomina abbreviata WAAG.

Ariculopecten sp.

Pleurotomaria cf. panjabica WAAG.

In darüber liegendem, ebenfalls wenig mächtigem grauen Kalk fand sich *Nucula cf. ventricosa*. Über diesen Aequivalenten des untersten Ceratitenkalkes folgt ein heller Quarzit ohne Versteinerungen. Die Fauna der Djulfaschichten spricht

¹ V. v. MOELLER, N. J. 1879.

² v. MOJSEWITSCH, Verhandl. der geol. R.A. 1879, p. 173. KARPINSKY, Ammonoiten der Artinskstufe p. 92. Vergl. auch die Zusammenfassung bei FRECH, Karnische Alpen p. 400.

³ Salt Range fossils IV, Th. 2.

⁴ Vergl. FRECH und von ARTHAYER, Neuere Forschungen in den kaukasischen Ländern, II. Das Palaeozoicum von Hocharmenien. Palaeontol. Abb., herausgeg. von WAAGEN und ARTHAYER, Wien 1900.

⁵ Zwischen den Fortifikationskasernen Doroschinskaja und Negrus.





Profil durch die Araxesenge bei Fort Doroschinsky.

K = Mergelkalk, mit eingelagertem Quarzporphyr. Op, Sdt. = rothe Conglomerate und Sandsteine des Eocän. (Auf dem S.W.-Ufer die Reste einer Gähngerutschung).

WSW

ONO



Persien.

Russland.

Profil durch die Araxesenge oberhalb Alt-Djulfä, gez. v. Fauch.

K = Mergelkalk. D = Diabaslager. x Fundort der Djulfaschichten mit *Athyris protea*, *Productus spinoso-costatus*, *Gemilzi*, *Uroceras djulfense*, *trachoides* und *Feodoroffi*, *Hungarites Hadleyi*, *Gastrioceras abichianum*; zwischen diesem und dem obersten Diabaslager eine Bank dolomitischen Kalkes mit *Bellerophon* sp. Sdt. = rothe Conglomerate und Sandsteine des Eocän.

Die Djulfa-Fauna.

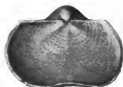
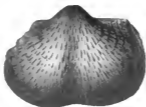
Bei Djulfa.	Vergleich	Bei Djulfa.	Vergleich
<i>Orthoc. annulatum</i> var. <i>crassa</i> FOORD	ob. Silur	<i>P. mytiloides</i> WAAGEN	ob. P.K.
<i>O. biceinctum</i> ARICH		<i>P. (Morginif.) spinoso-costatus</i> ARICH	V. F. im m. u. ob. P.K.
<i>O. transversum</i> ARICH		<i>P. (Morg.) spinoso-costatus</i> var. <i>expansus</i>	V. Formen im ? u. P.K.
<i>O. oblique-annulatum</i> WAAG.	ob. P.K.	<i>P. (Morg.)</i> " var. <i>incerta</i>	"
<i>Nautilus cornutus</i> GOLOW.	ob. Dias	<i>P. (Morg.)</i> " var. <i>ciliata</i>	"
<i>N. parallelus</i> ARICH		<i>P. (Morg.) intermedius</i> ARICH	V. Formen im u. P.K.
<i>Neuronautilus</i> sp. indet. ex aff. <i>Wynnei</i> WAAG.	Verwandte Formen im ob. P.K.	<i>Spir. (Martinia) planocostatus</i> SOW.	Dev.-Dias
<i>P. dorsoarmatus</i> ARICH sp.		<i>Spiriferina cristata</i> SCHLOTH. sp.	u. u. ob. P.K.
<i>P. Fichleri</i> HAUER sp. var.	"	<i>Spir. (Reticularia) cf. pulcherrima</i> GRUN.	Sosio
<i>P. Ferze</i> ARTH.		<i>Spir. (Reticul.) Waageni</i> LÖCZY (= <i>affinis</i> WAAGEN).	ob. Carbon, Sosio
<i>Coelonautilus dorsoplicatus</i> ARICH. sp.	V. Formen im Helvet.-K. V. Formen im Artinsk	<i>Spir. (Reticul.) indica</i> WAAGEN	m. P.K.
<i>Gastrioc. Abichianum</i> MÜLLER sp.		<i>Athyris protea</i> ARICH und 3 Varietäten	
<i>G. sp. indet.</i>		<i>A. globularis</i> PHILL. sp.	Carb., Lo-ping, Visé
<i>Hungarites Raddei</i> ARTH.		<i>A. subtilita</i> var. <i>armeniaca</i> ARTH.	ob. Fossil.-K. Barents-L.
<i>H. pessoides</i> ARICA. sp.		<i>A. felina</i> ARTH.	
<i>H. nov. form. sp. indet.</i>		<i>A. Abichi</i> ARTH.	ob. P.K.
<i>Otoceras Fedoroffi</i> ARTH.		<i>Rhynchonella (Uncinulus) Jabiensis</i> WAAG.	ob. P.K.
<i>O. trochoides</i> ARICH sp.		<i>Rh. (Uncin.) Wichmanni</i> ROTHFL.	Ajer mati
<i>O. Djulfense</i> ARICH. sp.		<i>Notothyris Djulfensis</i> ARICH sp.	m. P.K.
<i>O. tropitum</i> ARICH sp.		<i>Polypora</i> div. sp.	
<i>Pseudononotus</i> sp. indet.	Verwandte Formen im u. deutsch. Zechst. m. u. ob. P.K.	<i>Cyathocr. cf. ramosus</i> SCHLOTH.	V. Formen i. u. deutsch. Zechst.
<i>Macrocheilus arethanoides</i> KON.	m. P.K.	<i>C. cf. virgalensis</i> WAAG.	m. P.K.
<i>Dalmanella indica</i> WAAGEN	m. P.K.	<i>Poteriocrinus</i> ? sp.	V. Formen im m. P.K.
<i>Orthotetes (Orthotetina) SCHELLW.) armeniaca</i> ARTH.	V. F. im uet. u. m. P.K.	<i>Michelinia Abichi</i> WAAG. et WEST.	ob. P.K.
<i>O. eusarkos</i> ARICH sp.		<i>Favosites Jabiensis</i> WAAG. et WEST.	ob. P.K.
<i>O. peregrina</i> ARICH sp.		<i>Amplexus Abichi</i> WAAG. et WEST.	ob. P.K.
<i>Prod. intermedius</i> ARICH	Verwandte Formen im m. P.K. u. im deut. Zechst.	<i>Zaphrentis leptocoma</i> AB. sp.	
<i>P. Waageni</i> ROTHFL.	Tumor		
<i>P. Abichi</i> WAAGEN	m. u. ob. P.K.		
<i>P. hemisphaerium</i> KUT. var. <i>armeniaca</i> ARTH.	V. F. im m. u. ob. P.K.		

ebensowenig wie die Lagerungsverhältnisse für eine Horizontirung an der Oberkante des Palaeozoicum.

Von 59 (bei ANICH 116¹) verschiedenen Formen der Djulfaschichten (Läste umstehend) bleiben nach Ausschluss von Varietäten und zweifelhaften Species 47 übrig; unter ihnen kommen 26 ausschliesslich in dem Djulf-Horizont vor, so die bezeichnenden Orthotetinen;² 21 sind auch anderwärts gefunden und für eine Vergleichung verwertbar:

<i>Nautilus cornutus</i> GOLOWK	<i>Athyris globularis</i> PHILL.
<i>Pleuromantulus</i> cf. <i>Wynnei</i> WAAO.	<i>Athyris</i> (<i>Janiceps</i>) n. sp.
<i>Dalmanella indica</i> WAAO.	<i>Rhynch.</i> (<i>Uncinulus</i>) <i>jabiensis</i> WAAO.
<i>Productus Geinitziannus</i> var. <i>gerani</i>	<i>Rhynch.</i> (<i>Uncinulus</i>) <i>Wichmanni</i> ROTHE.
EISEL bei ARTA.	<i>Notothyris djulfensis</i> ANICH sp.
<i>Prod. Abichi</i> WAAO.	<i>Macrocheilus avellanoides</i> KOX. sp.
<i>Prod. mytiloides</i> WAAO.	<i>Cyathocr.</i> cf. <i>ramosus</i> SCHL.
<i>Prod. hemisphaerius</i> var. <i>acuminatus</i>	<i>Cyathocr. rirgolensis</i> WAAO.
ARTA.	<i>Amplexus Abichi</i> WAAO.
<i>Spiriferina cristata</i> SCHL. sp.	<i>Polycoelia profunda</i> GEMM.
<i>Sp. (Reticularia)</i> cf. <i>pulcherrima</i> GEM.	<i>Micelinia Abichi</i> WAAO. et WEST.
<i>Sp.</i> „ <i>Wageneri</i> LACEY.	<i>Furcites jabiensis</i> WAAO. sp.
<i>Sp.</i> „ <i>indica</i> WAAO.	

Die gesperrt gedruckten Arten sind abgebildet.



Productus Abichi WAAO. Oberer Productuskalk. Tschidera in der nordwestindischen Salzketten. Ausserdem findet sich die Art in ununterscheidbaren Exemplaren bei Djulfa.

Am weitgehendsten ist nach den Erörterungen G. v. ARTMANEN's die Übereinstimmung mit den Brachiopodenarten des oberen Productuskalkes sowie in allgemeiner Hinsicht mit der Entwicklung der Ceratitenformen dieser Stufe. Von den mit älteren Zonen übereinstimmenden Arten der Djulfaschichten sind im Jabi-Niveau³ bereits verschwunden:

Dalmanella indica und *Notothyris djulfensis*.

¹ Von diesen hatte die Revision V. v. MOKELLEN's nur 32, sämmtlich auf Zerkohleintypen bezogene Arten übrig gelassen.

² Eine eigentümliche zunächst an *Derbyia* (1 Medianseptum) anschliessende, aber von dieser durch das Vorhandensein zweier Deltidialleisten (in der Stielklappe) unterschiedene Untergetattung *Orthotetina* SCHRELLW. erreicht in den Djulfakalken den Höhepunkt ihrer Entwicklung (*O. rosarkos* ANICH). Eine mit der genannten Art nah verwandte neue Form findet sich bei Schaku Tschalkane im östlichen Albans und deutet somit auf eine weitere Verbreitung der neodyadischen Djulfaschichten in den nordiranischen Ketten hin. Siehe p. 573.

³ Auch wenn man lediglich Statistik treibt, stimmen die Ergebnisse gut überein. Djulfa hat mit dem oberen Productuskalk (Jabi etc.) gemein 10 Arten — (mit der Zweischalerfacies der obersten

Es dauern aus:

Productus Abichi Rhynch. (*Uncinulus*) *jobiensis*
Macrocheilus acellanoides

Neu hinzu treten:

<i>Productus mytiloides.</i>	<i>Pleuromantulus</i> cf. <i>Wagnei</i> WAAG.
<i>Spiriferina cristata.</i>	<i>Michelinia Abichi</i> WAAG. et WENT.
<i>Orthoceras oblique-annulatum.</i>	<i>Amplexus Abichi</i> WAAG. et WENT.

Entferntere faunistische Beziehungen sind ferner vorhanden zu dem russischen¹ und deutschen Zechstein,² sowie dem wesentlich jüngeren Bellerophonkalk der Ostalpen.³ Dass die Beziehung zu den nordeuropäischen, mit dem arktischen Weltmeer verbundenen Binnengewässern entfernter ist, kann bei der ausgeprägten faunistischen Eigenart der Dyasmeere nicht Wunder nehmen.

Hingegen ist in den nordöstlichen persischen Grenzgebirgen (östl. Alburs zwischen Asterabad und Schahrud) die Verbindung der Djulfaschichten mit den oberen Productuskalken Indiens angedeutet. Am Djilin-Bilin-Pass (zwischen Schahrud und Asterabad, dicht bei Tasch,) fand E. TIETZE in einem braunrothen Kalk neben schlecht bestimmbarcn Bruchstücken (*Productus* aff. *lineato* und *Orthotetes* sp.) einen grossen dickschaligen *Spirifer*, dessen Identität mit *Spirifer rugulatus* KUT.⁴, einem Leitfossil des russischen Zechsteins, (Taf. 63, Fig. 3) fast zweifellos ist.

Formen wie *Spirifer rugulatus* sind im oberen Carbon und der Palaeodias nicht vertreten und somit für jüngere Horizonte bezeichnend, während ein kleines Exemplar der *Spiriferina cristata* SCHLOTTH. sp. (übereinstimmend mit WAAGEN, Salt Range fossils I, t. 49, f. 3—5) weniger wichtig ist.

Nähere Beziehungen zu Djulfa weisen die von F. STAHL ausgebeuteten Bryozoen- und Brachiopodenkalk von Tschekhar bag am Südwest-Ahhang des Pirgerde-Kuh auf. Inmitten eines von tertiären Conglomeraten erfüllten Thales erhebt sich hier der Hügel Tschalkhane, dessen gebliche, flach nach Nordwesten fallende Kulke Brachiopoden und Bryozoen enthalten, die theils in den Djulfaschichten, theils in dem höheren Productuskalke der Salzkette vorkommen. Ein strati-

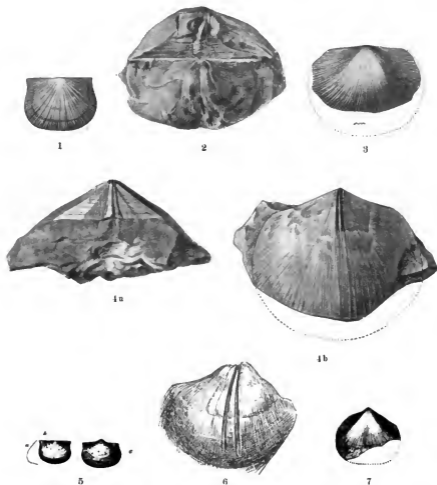
Chidra beds hingegen keine Art). Mit dem mittleren Productuskalk stimmen 6—2 (Kalabagh 6, Virgal 5, Katta 2), mit den Amh beds 1 Art. Ausserdem sind gemeinsam mit Artinsk 3, mit Finne Sosio 3, mit Timm 3, der oberen russischen Dyas 2 und dem deutschen Zechstein 2 Arten, mit dem russischen Zechstein 1 (*Naut. cornutus*).

¹ *Nautilus cornutus* (verwandt mit *Naut. Freieslebeni* GEIX.) und eine kaum verschiedene Varietät des *Prod. hemisphaerium* KAT.

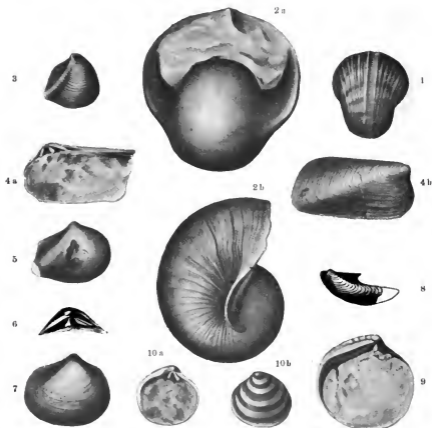
² *Prod. Geinitzius* ist am Araxes und in Deutschland durch eine bezeichnende Varietät vertreten.

³ In beiden Horizonten findet sich *Sp. (Martini) planiconvexus*, Formen vom Typus der *Athyris subtilita* und *Athyris Janiceps* (Taf. 64, Fig. 3 und Taf. 67, Fig. 13, 14) sowie Coelomantilen (*C. fagax* und *crux* in den Alpen, Taf. 64, Fig. 1, 2, und *C. sp. ind.* — *N. armeniacus* ABICH am Araxes).

⁴ Will man die einzelnen in einander übergehenden Varietäten des *Sp. rugulatus* mit besonderen Namen bezeichnen, so steht das persische Stück zwischen *Sp. rugulatus* s. str. und *Sp. Schrenki* KEYS. Vergl. NEYSCHAJEW, perm. Ablagerung des östlichen europäischen Russland, Kasan 1894, t. 4, f. 6 und 11. Die Gattung *Spirifer* im engeren Sinne fehlt bei Djulfa gänzlich.



- Fig. 1. *Orthotetes uniplanatus* WAG. Djulfa-Sch. (unt. Neodyas). Tschehar Bag. Persien.
 Fig. 2. *Orthotetes eusarkos* AN. sp. (*Orthotetina*) *Streptorhynchus crenistria* var. *eusarkos* ANICH *Derhyia eusarkos* WAG. Djulfa.
 Fig. 3. *Orthotetes persicus* SCHELLW. (*Orthotetina*). Djulfaschichten untere Neodyas. Schaku Tschalkhane. Tschehar Bag. N.O.-Persien. $\frac{1}{11}$. Unten Querschnitt der Sculpturen, vergr.
 Fig. 4 a, b. $\frac{2}{5}$. Desgl. bei Tschehar Bag. nordöstl. Persien. N. d. Orig.-Explr. SCHELLWIENS berichtigt. Die Leisten der Stielklappen sind etwas übertrieben gezeichnet, um innerhalb der Streifen hervorzuheben.
 Fig. 5. *Productus (Marginifera) intermedius* ANICH. Djulfakalke. Tschehar Bag. N.O.-Persien. a, b. Umriß und Abdruck der concaven Klappe (von aussen). c. convexe Klappe.
 Fig. 6. *Orthotetes eusarkos* ANICH. (*Orthotetina*) Djulfakalk. Djulfa.
 Fig. 7. *Dalmanella juniceps* WAG. sp. l'ntere Neodyas. Tschehar Bag. N.O.-Persien.



Das Vorwalten echter Zechsteinformen (Fig. 4, 5, 7) und das vollständige Zurücktreten der Brachiopoden erinnert an den mittleren Zechstein Europas (*Productus* ist bereits ausgestorben, vereinzelte Exemplare von *Athyris* und *Streptorhynchus* sind der ganze Überrest der Klasse).

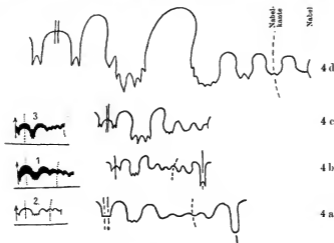
1. *Bucania ornaticissima* WAAG. n. sp. Amh. Ob. Sch.
- 2a, b. *Bellerophon Jonesianus* KOS. Katwähli.
3. *Myophoria subelegans* WAAG. Chidru.
- 4a, b. *Pleurophorus complanatus*. Virgal. t. 16, f. 5b, 7.
5. *Schizodus truncatus* KING (= *rotundatus* WAAGEN von BROWN) sp. Katwähli.
6. *Schizodus pinguis* WAAG. Schloss der rechten Klappe.
7. *Schizodus rotundatus* BROWN (= *dubioformis* WAAG.!). Chidru (Top bed).
8. *Acicula chidruensis* WAAG. Chidru.
9. *Lucina progenitrix*. Chidru. t. 16, f. 14.
10. *Giondia primæra* WAAG. Virgal.

Sämtliche Figuren sind Copien nach WAAGEN, Salt Range fossils.

¹ Zwar liegt kein indisches Exemplar zum Vergleich vor, aber die Übereinstimmung der Abbildungen lässt die Identität als unzweifelhaft erscheinen.

Horizontierung vielfach mit Brachiopoden und Zweischalern behelfen; das überall¹ beobachtete gänzliche Fehlen der Productiden in der obersten Dyas ist somit ein ebenso wichtiges wie leicht wahrnehmbares Merkmal.

Darüber, dass *Otoceras trochoides*, *djulfense* und *Fedoroffi* als weniger entwickelte Formen und die Vorläufer der höher differencirten Gruppe des *Otoceras Woodwardi*² anzusehen sind, kann ein Zweifel nicht obwalten. Man wird also die



Zum Vergleich von:

- 1—3, *Otoceras trochoides* ANCH., sp. von Djulfa. Erwachsene Exemplare. (N. G. v. ARTHAUSER)
mit: 4a—d, *Otoceras Woodwardi* GALENBACH. Schalschal Kliff, Himalaya. Lobenentwicklung
a an einem Exemplar von 2,5 mm Umgangshöhe. ²⁰/₁.
b—d. ²⁰/₁. b, 6 mm, c, 11 mm, d, 21 mm Umgangshöhe.

Originalzeichnung des Verfassers nach Exemplaren des Palaeontol. Instituts zu Wien. Gesammelt von C. DIENER.

Himalaya-Schichten mit *Otoceras Woodwardi*, wie auch DIENER vorschlägt, als jüngere Zone unmittelbar über den Horizont des *Otoceras djulfense* und *trochoides* zu setzen haben.

¹ Auch in den oberen Grenzschiechten des Bellerophenkalkes fehlt *Productus* völlig.

² Bei der weiten räumlichen Entfernung der Fundorte ist nur eine rein palaeontologische Erwägung möglich: Inmitten der faciel recht verschieden entwickelten Fauna der Djulfaschichten und der Zone des *Otoceras Woodwardi* sind nur die *Otoceren* selbst gleichmässig vertreten und zwar lässt sich auf jede der 4 Djulfa-Arten je eine Form aus der jüngeren Zone des Himalaya beziehen.

Otoceras trochoides ANCH. entspricht *Otoceras Woodwardi* GALENB. Siehe d. Textbilder.

Otoceras Fedoroffi ARTH. „ *Otoceras undatum* GRIESE.

Otoceras tropitum ANCH. „ *Otoceras Draupadi* DIEN.

Otoceras djulfense ANCH. „ *Otoceras fi-nisellatum* DIEN.

Ot. Woodwardi und *undatum* sind grösser, *Otoceras djulfense* und *tropitum* kommen den jüngeren Formen ungefähr gleich, alle Himalaya-*Otoceren* sind durch tiefere Einsenkung der Sattel und stärkere Zerschlitzzung des zweiten Lateral- und der Hilfs-Loben ausgezeichnet; ferner lässt sich in den inneren

Etwa die gleiche Lobenentwicklung wie *Hungarites pessoides* und *Otoceras trochoides* besitzen *Xenodiscus* und *Xenaspis*, die verwandten Formen der Jabi beds. Eine directe Gleichstellung der Djulfä- und oberen Productus-Schichten wird durch die vergleichende Untersuchung der Ceratitiden wahrscheinlich gemacht; das Vor-



1 Productus Shales

- 2 *Otoceras* Beds
- a Hauptlager des *Otoceras Woodwardi*
 - b Schiefer mit *Medlicottia Dalailamiae*
 - c Kalke mit *Ophiceras* sp.
 - d Fossilarme Schiefer
 - e Kalke und Schiefer

3 *Smrobastus* Beds

4 Dünngeschichtete Kalke mit *Sibirites Praxelada*

- 5 } Muschelkalk | Untere massige | Ab-
6 } | Ob.geschichtete | teilg.
f Hauptlager d. *Ceratites Thuillieri* Orr.
g Hauptlager d. *Ptychites rugifer* Orr.
7 Crinoidenkalke der Aenoides-Zone mit *Joannites* cf. *cymbiformis*.
h Halobienbank der Aenoides-Zone.
8 *Daonella* Beds.

kommen von *Xenodiscus carbonarius* im mittleren Productuskalke (NOETLING) beweist jedoch das etwas höhere Alter der indischen Ceratitiden.

Die Lücke, welche nach WAAGEN'S Ansicht die Schichtenfolge der Salzketten zwischen oberen Productusschichten und dem unteren Ceratitenkalk aufwies, ist jetzt durch NOETLING'S Auffindung von *Otoceras* ausgefüllt. Es kann sich nur um

Windungen der jüngeren Arten (soweit solche bekannt sind) die Anlage der endgültigen Lobenformen der Djulfä-Arten nachweisen.

Otoceras fissellatum und *djulfense* sind annähernd gleich gross und stehen sich — wegen der geringen Zahl der Auxiliärelemente — besonders nahe. Doch sind auch hier bei den jüngeren Arten die Loben etwas stärker zerschlitzt und die Sättel viel tiefer eingesenkt. Bemerkenswert ist die Mannigfaltigkeit der Lobenformen bei den Arten der Zone des *Otoceras Woodwardi*; dieselbe wird noch durch Neigung zum individuellen Variiren erhöht und ist viel grösser wie bei den übrigen gleich alten Ceratitiden (*Aspidites*, *Prionolobus* etc.).

die Frage handeln, ob man die Schichten mit *Ot. Woodwardi* als Aequivalent des unteren Buntsandsteins oder des höheren Zechsteins auffassen soll.

Geht man von der Erwägung aus, dass die dem *Otoceras Woodwardi* vorangehenden Djulfa-Kalke stratigraphisch nicht die Oberkante der Dyas bilden und erwägt man ferner, dass die Productus-reichen Kuling-Shales faunistisch kaum dem unteren Zechstein und den Djulfakalken vergleichbar sind, so könnte über die Homotaxie von höherem Zechstein (= Bellerophonkalk) und der Zone mit *Otoceras Woodwardi* kein Zweifel hestehen.

Es liegen nämlich nach DIENER im Himalaya über den versteinerungsführenden Schichten der Kuling (Productus)-Schiefer (p. 576) noch versteinerungsleere Kalke (ca. 30 m mächtig) und in diesen könnte vielleicht das Aequivalent der Djulfa-Schichten oder der unteren Neodyas zu suchen sein.¹

Die rein palaeozoische Fauna der Kulingschiefer² zeigt auffallend wenige Beziehungen zu dem Binnenmeer des Zechsteins, vertritt wahrscheinlich auch noch tiefere Horizonte und besteht nach DIENER aus folgenden Arten:

Aviculopecten kienalis, *Chon. Vischnu*, *lissarensis*, *Product. Abichi*, *Pardoni*, *gangeticus*, cf. *serialis*, cf. *Cancrini*, *cancriniformis*, *Spir. Ravana*, *musakheylensis*, aff. *fascigero*, *nitiensis* DIEN., *joharensis* DIEN., *Martinia glabra*, *Spirigerella Derbyi*, *Athyris Royssi*.

Von der nicht sonderlich artenreichen Fauna sind die folgenden Gattungen, Gruppen und Arten nicht mehr im Zechstein und in den Djulfaschichten bekannt:

Chonetes, (die Gattung) fehlt bei Djulfa und im Zechstein,

Spirigerella " " " "

Gruppe des *Spirif. musakheylensis* " " " "

Spirif. (Martinia) glaber (die Art) fehlt bei Djulfa und im Zechstein,

Prod. cancriniformis (die Art) fehlt bei Djulfa und wird im Zechstein durch eine jüngere Mutation (*Prod. Cancrini*) vertreten. Andererseits weist das Vorkommen von *Prod. cf. serialis* auf *Prod. Abichi* (Djulfa) und eine Vertretung der Djulfaschichten hin.

3. Über eine locale Transgression der oberen Dyas in China.*

Während der oberste Theil des Palaeozoicum im Wesentlichen durch einen Rückzug des Meeres d. h. durch das Vorwiegen nichtmariner, fossilarmer oder Landpflanzen führender Schichten ausgezeichnet ist, entwickeln sich in zwei verschiedenen Gebieten der Nordhemisphäre locale Transgressionen. Die wichtige und gut bekannte Transgression des Zechsteins ist oben geschildert worden.

¹ DIENER fand bei Niti *Prod. cancriniformis* und *Spirigerella Derbyi* an der Basis der Schichtgruppe. Im Schalschal-Profil sind die Kuling-Schichten versteinerungsleer. In dem vollständigsten von GRIESBACH im Lissarthal nahe der tibetanischen Grenze aufgenommenen Profil (DIENER, Himalaya-Fossils, Vol. I, Pt. IV, p. 4) stammen die Brachiopoden aus der Basis der Schichtgruppe und werden von 30 m mächtigen fossillosen Kalken überlagert.

² The Fauna of the Productus shales, Palaeont. indica Himalayan Fossils Vol. I, Pt. IV.

* Fustterer, III Band. Durch Asien. (1912)

and Schellhorn, Trias, Perm und Carbon in China. Schriften der Phys.-Ökon.-Gesell.
zu Königsberg i. Pr. (1902)

Ein Vorkommen von oberer Dyas in China erlaubt leider keine ganz scharfe Altersbestimmung, trotzdem hier neben nicht genau bestimmabaren Nuculiden Reste zweier Ammonoiten vorkommen:

Bei Ning-kwo-hsien (in China, Provinz Nganwhei) lagert (nach v. RICHTHOFEN) discordant über dem höheren Carbon ein schwarzer bituminöser, durch



Fig. 1. *Gastrioceras* n. sp. Verwandt mit *Gastrioceras Nikitini* KARPINSKY. Obere Dyas. Ngan-whei, China.

Fig. 2a, b. *Paraceltites pseudo-opalinus* FRENZ. Obere Dyas. Ngan-whei, China
(Ob die chinesische Art nicht richtiger zu den evoluten *Ophileceras*- oder *Lecanites*-Formen — „*Kymatites*“ bzw. „*Ambites*“ — zu rechnen sei, ist ohne Kenntnis der Lobenlinie nicht zu entscheiden.)

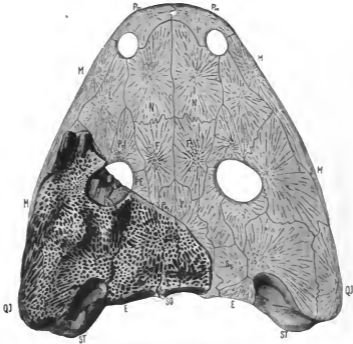
Verwitterung graubraun verführter Schiefer, in dem häufig ein eigentümlicher, mit *Parac. Hoferi* (Taf. 59b) verwandter *Paraceltites* vorkommt, für den ich wegen der an *Harp. opalinum* erinnernden Sculptur die Bezeichnung *P. pseudo-opalinus* vorgeschlagen habe. Eine seltenere, an *Gastrioceras Nikitini* erinnernde Art verleiht der Fauna ein mehr palaeozoisches Gepräge, während die erstgenannte Art auf jüngere Schichten hinweist. Eine schärfere Altersbestimmung als „obere Dyas“ ist um so weniger ausführbar, als an den plattgedrückten Ammoniten nur die Sculptur gut erhalten ist.

Mittheilung.

*Die dieser Lieferung beigegebenen Tafeln 56a, 57 a u. 59a, b, sind als Supplemente der betreffenden Tafeln des **Atlas** zu betrachten und die Tafeln 63 und 64 bilden die Fortführung desselben.*



Tafel 56a.



Nyrachania trachystoma FAIRSEN.

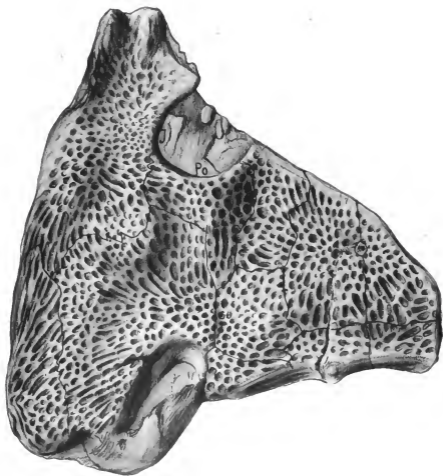
Reconstruction nach zwei Exemplaren aus dem Unterrothliegenden (Gasküle) von Nürschan (Böhmen). Das grössere, links unten schattirt abgebildete Stück liegt im Breslauer Museum und ist auf $\frac{1}{4}$ verkleinert. (Vergl. die Tafel); die in der Gegend des Squamatum liegende überzählige Platte ist unendlich abgegrenzt.

Das kleinere vollständige, 18,3 cm (auf der Oberseite) an Länge messende Exemplar befindet sich im Museum für Naturkunde in Berlin und ist nur im Umriss dargestellt.

Pm Praemaxillare	F Frontale	QJ Quadrato-Jugale.
N Nasale	PF Postfrontale	ST Supratemporale
M Maxillare superius	Pa Parietale	E Epitium
L Lacrimale	Pu Postorbitale	SQ Supraoccipitale
Prf Praefrontale	J Jugale	Sq. Squamatum

Sehr nahe verwandt ist *Sclerocephalus baravicus* BRANCO sp. (*W'eissia*) aus dem Unterrothliegenden (Kuseler Schichten) der Rheinpfalz.

Die Tafel 56a stellt den Rest des grösseren Exemplars in $\frac{1}{4}$ der natürlichen Grösse dar.



Tafel 57a.

Brachiopoden der unteren marinen Dyas aus der indischen Salzkette (Pendschab).

(Mittlerer Productuskalk = Artstufe z. Th.)



Orthotetes (Streptorhynchus) pectiniformis WAAG. Oberer Productuskalk. Zone der *Derbyia hemisphaerica*. Tschidra, Salzkette. (Originalzeichnung) $\frac{1}{11}$.

a von oben, b Arealansicht, c Querschnitt der Spitze, vergr.

- 1 a.—c. *Orthotetes* („*Streptorhynchus*“) ¹ *pectiniformis* WAAG. Mittlerer und oberer Productuskalk (Cephalopoden-Schichten) von Jabi.

a. Stielklappe von innen. b. Brachialklappe von innen. c. Schlossfortsatz derselben vergr.

- 2 a.—c. *Richthofenia Laureriana* KON. sp. Musakheyl.

a. Innenseite der Deckelklappe. b. Innenseite der grossen Klappe von oben gesehen. a. n. b. zn demselben Exemplar gehörig. c. Natürlicher Längsschnitt durch die grosse Klappe, parallel zur Schlosslinie.

3. *Chonetes semioralis* WAAG. Convexe (Stiel-)Klappe. Katwahi. Vergr.

- 4 a., b. *Spirigrella grandis* WAAG. Oberer Theil des mittleren Productuskalkes. Musakheyl. a. Stielklappe von innen. b. Brachialklappe v. d. Seite.

5. *Derbyia Verchei* WAAG. Stielklappe von innen. Bilot.

- 6 a., b. *Athyris globulina* WAAG. Ansicht von der Seite und von unten. Kafirkot.

7. *Notothyris inflata* WAAG. Musakheyl.

8. *Notothyris subvesicularis* WAAG. Inneres der Brachialklappe. Musakheyl.

9. *Hemiptychina himalayensis* DAV. sp. Musakheyl. Inneres der Brachialklappe.

- 10 a.—d. *Enteles latesinuatus* WAAG. Musakheyl.

a. Stielklappe von aussen. b. von innen. c. Brachialklappe von innen. d. Seitenansicht.

Die Abbildungen sind sämtlich nach WAAGEN, Salt Range Fossils I copirt.

¹ Die abgebildeten Stücke stammen aus dem oberen Productuskalk. Die von E. SCHRELLWIEN (N. J. 1900, I p. 5 ff.) angenommenen Unterschiede von *Streptorhynchus* (ohne Verdickungen in der Stielklappe — abgesehen von den niemals fehlenden Deltidialleisten) und *Orthotetes* (mit zwei kräftigen, aber kurzen Septalleisten, welche von der Deltidialseite auf die gewölbte Seite der Stielklappe übergehen) sind zweifellos vorhanden. Doch sind die Merkmale bei den einzelnen Arten nicht überall so scharf ausgeprägt, dass eine durchgehende Trennung der Gruppen empfehlenswert erscheint.



Tafel 57b.

Untere marine Neodyas.

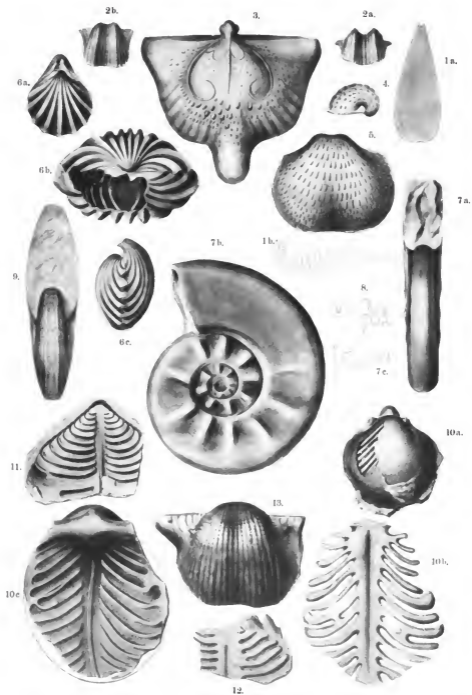
Brachiopoden und Cephalopoden aus der Unterstufe des oberen Productuskalkes (Jahi-Schichten) der Salzkette im Pendschab.

Die Jahi-Schichten liegen stratigraphisch zwischen den Djulfakalken (= dem unteren Zechstein) und den Schichten von Timor.

- 1 a., b. *Medlicottia primas* WAAG., Jahi. Querschnitt und Sntur.
- 2 a., b. *Chonetes grandicosta* WAAGEN. Convexe Klappe. Jahi.
3. *Chonetella nasuta* WAAGEN. Jahi. Concave Klappe von innen, vergr. (Auch bei Timor.)
4. *Productus opuntia* WAAG. Jahi. Auch in der Koktan-Kette (Kaschgar).
5. *Productus serialis* WAAGEN. Jahi.
(Eine sehr nah verwandte oder idente Art in den Productus-Schiefern [Kiunglung] des Himalaya.)
- 6 a.—c. *Retzia (Hustedia) remota* EICHW. — *Eumetria grandicosta* DAV. sp. bei WAAG. Jahi.
a. Ansicht von der Brachialschale aus, b. Inneres vergr., c. Seitenansicht.
(Vergl. Taf. 47 b, Fig. 14.)
- 7 a.—c. *Xenodiscus plicatus* WAAG. Katwahi.
a. und b. Rücken- und Seitenansicht. Der Pfeil bezeichnet den Beginn der Wohnkammer. c. Sntur.
8. *Xenodiscus (Xenaspis) carbonarius* WAAG. Sntur. Techidern.
9. *Medlicottia Wynnei* WAAG. Bilot. Rückenansicht.
- 10 a.—c. *Oldhamina decipiens* KONINCK sp.
a. Ansicht der Stielklappe, Tehidern, b. c. von Jahi; h. Brachialklappe von aussen, c. Stielklappe von innen.
11. *Lyttonia nobilis* WAAG. Tschititschun.
Nach DIENER. Abbildung mit Benützung eines übereinstimmenden Exemplars vom Fiume Sosio in Sicilien. (DIENER'S Abbildung beruht auf dem vollständigsten, bisher bekannten Exemplar, ist aber nicht ganz klar gezeichnet.)
12. *Lyttonia tenuis* WAAG. n. sp. Mittl. Productuskalk. Mnsakheyl. (Zum Vergleich mit 11.) Beide Klappen in fragmentärer Erhaltung.
13. *Productus indicus* WAAG. Kalabagh. Originalzeichnung nach einem Exemplar des Breslauer Museums (leg. SCHLAGINTWEIT).
Die Art findet sich ausserdem in der Koktan-Kette (Kaschgar) und in den Dyaakohlenschichten bei Nanking (China).

Die Cephalopoden sind meist dem Horizonte eigenthümlich, *Xenodiscus carbonarius* und die Brachiopoden (*Lyttonia*) grossentheile auch im mittleren Productuskalk vorhanden.

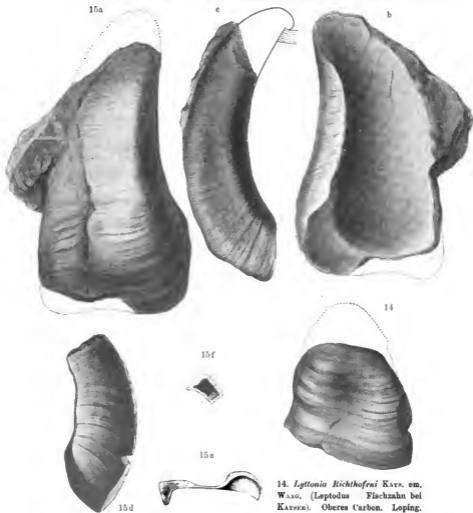
Strophalosia indica, eine bezeichnende Art der oberen Productuskalke ist auf Taf. 57 d abgebildet worden, da dieselbe auch in Australien vorkommt. Mit Ausnahme von Fig. 11 und 13 sind sämtliche Abbildungen Copien nach WAAGEN, Salt Range Fossils.



15. *Loezygella nankingensis* nov. gen. nov. sp. Palaeodias (kalkiger Schiefer im Wechsel mit Kohlenflötzen). Hügel bei Nanking, Prov. Kiangsü, China, leg. F. v. RICHTHOFFEN.

Die allein bekannten, in natürlicher Grösse dargestellten asymmetrischen Stielklappen ähneln äusserlich *Lyttonia* (Fig. 10a, c), unterscheiden sich aber im Innern durch das Fehlen der quer gestellten Fächer.

- a. b. c. Das grösste vorliegende, in der Mitte etwas zerbrochene, an der Spitze unvollständige Exemplar von drei Seiten. a. von aussen (cf. *Lyttonia*), b. von innen, c. von der Seite.
d. Ein zweites, etwas kleineres, nur zur Hälfte erhaltenes Exemplar von innen.
e. Ansicht des vollkommen asymmetrischen Oberrandes eines vollständig erhaltenen Exemplares. NB. Der asymmetrische Umriss stimmt mit *Lyttonia Richthofeni* KAYS. em. WAAGEN überein.
f. Querschnitt von Fig. 15 d. Mitte, entsprechend der rechten Seite von Fig. 15 e.



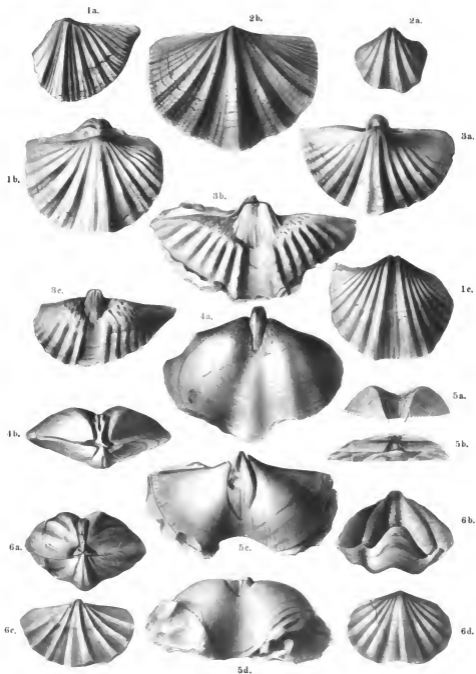
14. *Lyttonia Richthofeni* KAYS. em. WAAG. (*Leptodus* Fischzahn bei KAYSER). Oberes Carbon. Loping.

Tafel 57c.

Die überall verbreiteten Gruppen unterdyadischer Spiriferen (Australien, Himalaya, arktisches Gebiet).

- a) Gruppe des *Spirifer Keilhavi* (*Spiriferina* auct. ex part.): *Sp. vespertilio*, nebst dem nah verwandten *Sp. tasmaniensis*.
 b) Gruppe des *Spirifer glaber* (Subgen. *Martinia* = *Martiniopsis* WAAG.): *Spirifer subradiatus*, *Darwini*, *Ravana*.

- Fig. 1 a. *Spirifer Keilhavi* v. BUCH (= *Raja* DAVIDS.). Brachialklappe von aussen (etwas zusammengedrückt. Barus beds (Carbon-Dyas) Ladak, Kaschmir. Berliner Mus.
 b. Desgl. Steinkern. Unterste Dyas (= Arta-Stufe). Bäreninsel. L. v. BUCH's Orig. Berliner Museum für Naturkunde.
 c. Desgl. Stielklappe. In der Schnabelregion mit erhaltener Schale, sonet Steinkern. Das zweite Original L. v. BUCH's. Ebendaber.
 2 a. *Spirifer tasmaniensis* MORR. Stielklappe. Untere Dyas. Kupang, Timor. Orig. BEYRICH's. Berliner Mus.
 b. Der Abguss eines in weissem Kieselchiefer erhaltenen Steinkernes der Brachialklappe. Mideton, Tasmania. Berliner Museum für Naturkunde.
 3 a—c. *Spirifer vespertilio* MORR. Untere marine Dyas.
 a. Steinkern der Brachialklappe (röthlicher Sandstein). Illawara, N.S.-Wales. Berliner Mus.
 b. Desgl. Stielklappe. Breitere Varietät. Tasmania (im selben Gestein wie Fig. 2 b). Breslauer Mus.
 c. Steinkern der Stielklappe. Illawara. Berliner Mus. (In der Form zwischen 3 a und 3 b stehend.)
 4 a, b. *Spirifer (Martinia) subradiatus* MORR. Untere marine Dyas. Illawara, N.S.-Wales. Berliner Mus.
 a. Steinkern der Stielklappe der breiteren Varietät. Mit punctirter Linie ist der Umriss der schmälern Form (Fig. 4 b) angegeben.
 b. Desgl. Schnabelansicht der schmälern Form.
 5 a—d. *Spirifer Ravana* DIEN. Dyas.
 a., b. Schalenexemplar der Stielklappe (Copien nach DIENER, verkleinert), Productus- oder Kiunglung-Schiefer des Himalaya.
 c., d. Steinkern; weisser Kieselchiefer von Tasmania (wie Fig. 2 b u. 3 b) 2 Ansichten. Breslauer Museum.
 6 a—d. *Spirifer Darwini* MORR. (*Martiniopsis* WAAG.). 6 a—c. Berliner Mus.
 a., b. Zwei Ansichten eines Steinkernes. N.S.-Wales. (Im selben Gestein wie Fig. 3 a und 4 a.)
 c. Steinkern der Brachialklappe. Mt. Wellington, Tasmania.
 d. Schalenexemplar aus glacialen Driftschichten der Salt Range. Copie nach WAAGEN. (Varietät mit zahlreicheren Rippen.)



Schalenexemplare und Schlosspräparate zu Tafel 57c.



2d



Sp. Keilhavi v. B.
Junges Exemplar.
Oberstes Carbon.
Spitzbergen.
Mus. Breslau.
Zu Fig. 1.

Sp. Darwini.
Oberfläche
vergr. $\frac{1}{1}$
Dyas, Tas-
mania.
Zu Fig. 6.



2c

Spir. tasmaniensis MORRIS.
c Oberrand der Stielklappe von innen.
d Darüber ein kleineres Exemplar.
Dyas, Tasmania.
Zum Vergleich mit Fig. 2.



Spir. musakkeglensis var. *ambiensis*
WAAGEN.

Ob. Productuskalk von Tschidru
Zum Vergleich mit der gleichen Ansicht
des äusserlich beinahe übereinstimmenden
Spir. tasmaniensis (2c).



Spirifer respertilio G. SOWERBY. Dyas, Tasmania. Hamburger Museum.
Schalenexemplar der schmalflügeligen Varietät von zwei Seiten. Zum Vergleich mit Fig. 1 und 3.



Spirifer (Martinia) subradiatus MORS.

3 Exemplare (von oben, Stirn- und Schnabelansicht) Schalenexemplare in granem Kalk, Dyas, Tas-
mania. (Aus dem Hamburger Museum.) Zu Fig. 4.

Das im Hintergrund befindliche Exemplar ist perspektivisch auf $\frac{1}{3}$ verkleinert, die anderen $\frac{1}{1}$.

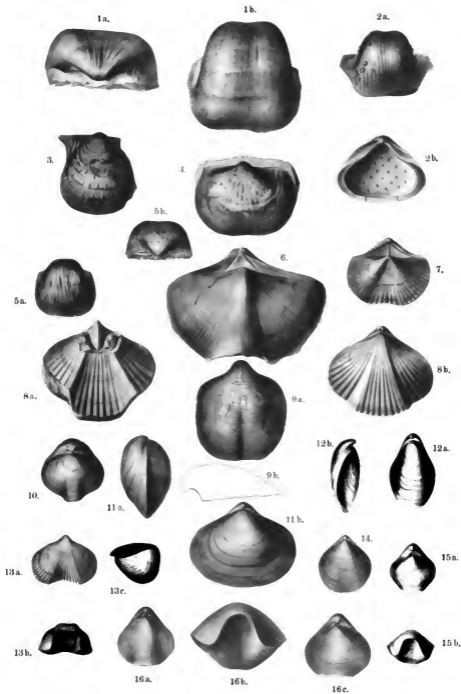
Tafel 57d.

Marine Versteinerungen der unteren Dyas Centralasiens

(besonders vom Berge Tschitischun in Tibet)

nebst Vergleichsstücken vom Flume Sosio (Sicilien) und Australien.

-
- Fig. 1 a. b. *Productus brachythaerus* SOW. Steinkern. Nowra, N.S.-Wales. (Geol. Sammlung, Wien; vergl. *Prod. tumidus* Fig. 5.)
- 2 a. b. *Productus (Marginifera) typicus* WAAGEN.
a. von Svás, mittl. Productuskalk der Salt Range. N. WAAGEN.
b. Tschitischun. N. DIENER.
3. *Productus canceriniformis* TSCHERN. Fluss Gussass, westl. Kwen-Lun. (Geol. Institut Wien.)
4. *Productus pertentus* MEEK. (Varietät von *Pr. canceriniformis*.) Oberstes Carbon. Spitzbergen. (Geol. Sammlung Breslau.)
- 5 a. b. *Productus tumidus* WAAGEN. Mittl. Productuskalk. Salt Range.
a. von Morab.
b. zwischen Varcha und Uchali.
Ausserdem bei Yar-ka-lo in Südchina.
6. *Spirifer Wynnei* WAAGEN. Tschitischun. Original in dem Geolog. Institut der Universität Wien (= *Sp. Siculus* GEMM. aus Sicilien).
7. *Autosteges tibeticus* DIENER. Tschitischun. (Nach DIENER)
- 8 a. b. *Camerochoria gigantea* DIENER. Tschitischun. Etwas verkl. (Nach DIENER)
(Zunächst verwandt mit *Camerochoria Purdoni* DAV.)
- 9 a. b. *Spirifer (Reticularia) Waageni* LOCZY. Yar-ka-lo, Südchina. Nach LOCZY.
(= *R. affinis* GEMM. Sosio; ausserdem im mittleren Productuskalk und bei Djalfa.)
10. *Spirigerella pertumida* DIENER. Tschitischun. (Nach DIENER)
- 11 a. b. *Athyris subexpansa* WAAGEN. Tschitischun. (Nach DIENER; ausserdem im mittl. Productuskalk.)
- 12 a. b. *Diclasma bipes* WAAGEN. Tschitischun. (Nach DIENER; ausserdem im mittl. Productuskalk.)
- 13 a. c. *Rhynchonella (Uncinulus) timorensis* BEYRICH. Tschitischun. (Nach DIENER)
(= *U. Theobaldi* WAAG. mittl. Productuskalk = *U. siculus* GEMM., Sosio; ausserdem auf Timor und bei Yar-ka-lo, Südchina.)
14. *Spirigerella grandis* WAAGEN. Tschitischun. (Ausserdem mittl. Productuskalk. Vergl. Taf. 57 a Fig. 4.)
- 15 a. b. *Spirifer (Martinia) acutomarginulis* DIENER. Tschitischun. (= *M. Semiramis* GEMM. Flume Sosio.)
- 16 a. c. *Spirifer (Martinia) elegans* DIENER.
a. = *Sp. Distefanoi* GEMM. Sosio. (Nach GEMMELARO.)
b. c. Tschitischun. (Nach DIENER.)
-



Tafel 59a.

Die Arcestiden des Sesiokalkes (einschliesslich Agathiceras).

(Marine Palaeodys von Sicilien.)

- Fig. 1. *Popanoceras (Hyattites) Abichi* GEMM. sp. Passo di Burgio.
 a, b. Seiten- und Mündungsansicht eines Exemplars des Wiener geologischen Instituts. 2/1.
 c. Sotur. Nach GEMMELLARO. Vergr.
2. *Popanoceras (Hyattites) Geinitzi* GEMM. sp. Sotur. Rocca di S. Benedetto. Vergr. Nach GEMMELLARO.
3. *Popanoceras (Hyattites) Cumminsi* WHITE sp. Wichita Beds (mittlere marine Dyas). Zum Vergleich mit *Pop. Geinitzi*. Nach WHITE.
4. *Popanoceras (Hyattites) turgidum* GEMM. sp.
 a. Seitenansicht.
 b. Mündungsansicht eines vollständigen Exemplars.
 c. Sotur. Passo di Burgio. Nach GEMMELLARO.
5. *Prolobites delphinus* SDB. sp. (Zum Vergleich mit der vorstehenden Art.)
 Seitenansicht. Clymenienkalk (Oberdevon). Enkeberg bei Brilon. Combination zweier Exemplare. (Coll. FRECH und Berliner Museum f. Naturkunde.)
- 6a. *Cyclolobus Stachei* GEMM. sp. Passo di Burgio. Original im Geol. Inst.
 d. Univ. Wien. Mündung ergänzt nach GEMMELLARO. 1/2 nat. Gr.
- 6b. Desgleichen. Sotur. Nach GEMMELLARO.
- 7a—c. *Popanoceras scrobiculatum* GEMM.
 a. Seitenansicht eines ausgewachsenen, vollständigen Exemplars. Copie nach GEMMELLARO; die unrichtig gezeichnete Sculptur ist nach einem Original-exemplar des Geol. Inst. d. Univ. Wien berichtigt. Beide Stücke stammen von demselben Fundorte: Rocca di S. Benedetto.
 b. Rückenansicht (Copie).
 c. Sotur eines erwachsenen Exemplars (Copie).
 d. Sotur eines kleinen Exemplars, Durchmesser 2,2 cm. Original Geol. Inst. d. Univ. Wien.
 e. Sotur (= *Agathiceras*) eines Exemplars von 0,81 cm Durchmesser. Original im Geol. Inst. d. Univ. Wien.

Fig. 8. *Popanoceras (Stacheoceras) Gruenewaldi* GEMM. sp. Pietra di Salomone. (Nahe verwandt mit *Pop. tridens* ROTHPL.)

a. Seitenansicht eines bis zum Ende gekammerten Exemplars (Geol. Inst. d. Univ. Wien). 1/1.

b. Sutr. der inneren Windungen; in 2/1 gegenüber dem beobachteten Punkte eingefügt.

9 a. *Popanoceras (Stacheoceras) Dariae* GEMM. sp. Passo di Burgio. Seitenansicht.

9 b. Desgleichen. Mündung. Beide nach GEMMELLARO.

10 a. *Popanoceras (Stacheoceras) benedictinum* GEMM. sp. Rocca di S. Benedetto. Vergrösserte Sutr. eines 1,6 cm im Durchmesser haltenden Exemplars. (Techn. Hochschule, Aachen.)

10 b. Desgleichen. Innere Sutr. A. S. Antisiphonallobus. Nach GEMMELLARO.

11. *Agathiceras Suessi* GEMM.

a. Seitenansicht eines vollständigen Exemplars mit Mündung und erster Sutr. Die radiale Sculptur ist auf dem Steinkern nur angedeutet. Pietra di Salomone. (Techn. Hochschule, Aachen.)

b. Unregelmässig entwickelte Sutr. eines anderen Exemplars. Ebendaher (Aachen).

c. Rückenansicht eines ziemlich vollständigen Exemplars (Geol. Inst. d. Univ. Wien). Passo di Burgio. Mündung nach 11a ergänzt.

12. *Agathiceras elegans* GEMM. sp. („*Adrianites*“ GEMM.). Rocca di S. Benedetto. Original Geol. Inst. d. Univ. Wien.

a. Seitenansicht. 1/1.

b. Sutr. 3/1.

13. *Agathiceras ensiferum* GEMM. sp. („*Adrianites*“). Mündung. Nach der Reconstruction GEMMELLARO's.

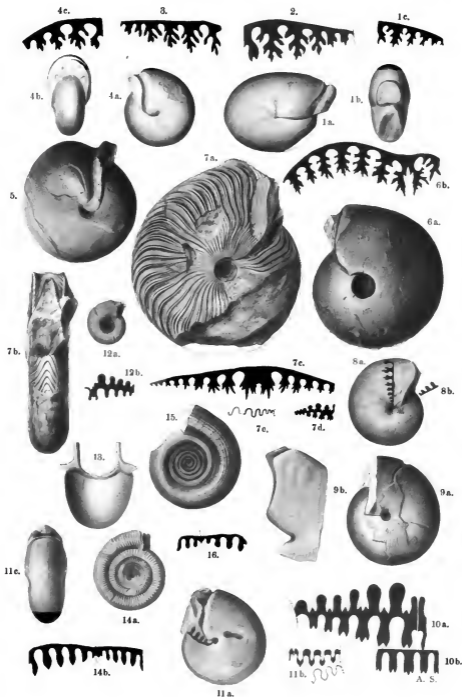
14. *Agathiceras (Hoffmannia) Hoffmanni* GEMM. sp. Passo di Burgio.

a. Seitenansicht. } Nach GEMMELLARO.
b. Sutr. }

15. *Agathiceras (Doryceras) Stuckenbergi* GEMM. sp. Rocca di S. Benedetto. Nach GEMMELLARO. (Combinirte Figur.)

16. *Agathiceras (Doryceras) fimbriatum* GEMM. Ebendaher. Vollständige Sutr. Nach GEMMELLARO.

Trident internal
below of Stacheoceras



A. S.

Tafel 59b.

Ältere marine Dyas¹.

Krebse des Sasiokalkes 1—5, Ammonoiten des Sasiokalkes 6—14, Ammonoiten der Arta-Stufe 15—19.

Fig. 1—14 Sasiokalk.

- Fig. 1. *Phillipsia (Griffithides) elegans* GEMM. Pietra di Salomone. Restaurirt.
2. *Phillipsia (Griffithides) verrucosa* GEMM. 6/5. Rocca di S. Benedetto.
3. *Oonocarcinus insignis* GEMM. Pietra di Salomone.
a. Oberansicht. 3/5.
b. Seitenansicht.
4. *Cyclus Reussi* GEMM. sp. (*Paraprosopon*). Ebendaher. p. 506. 12/5.
5. *Proetus postcarbonarius* GEMM. 12/5. Pietra di Salomone. Restaurirt.

Fig. 1—5 Copien nach GEMMELLARO.

- 6a—c. *Clinolobus Telleri* GEMM.
a. Rückenansicht.
b. Seitenansicht.
c. Sutr. Nach GEMMELLARO.
7. *Gastrioceras Roemeri* GEMM. Copie nach GEMMELLARO $\frac{1}{2}$ nat. Gr.
8. *Thalassoceras Phillipsi* GEMM. Sutr. Rocca di S. Benedetto. Vergrössert.
9a, b. *Thalassoceras varicosum* GEMM.
a. Seitenansicht.
b. Rückenansicht.
10. *Thalassoceras microdiscus*. Sutr. Rocca di S. Benedetto.
11a—c. *Prosagoceras (Daraülites) Meeki* GEMM. sp. Rocca di S. Benedetto.
a, b. Seitenansicht und Sutr eines erwachsenen Exemplars.

Fig. 7—11b Copien nach GEMMELLARO.

- 11c junges Exemplar mit Sutr $\frac{7}{2}$ nat. Gr. Rocca di S. Benedetto. Original in der Sammlung d. Techn. Hochschule, Aachen.
12a—c. *Prosagoceras Mojsvari* GEMM. Rocca di S. Benedetto.
a. Sutr in $\frac{7}{2}$ nat. Gr. (Durch ein Versehen des Photographen verkehrt gestellt.)
b. Seitenansicht eines jugendlichen Exemplars in $\frac{2}{1}$ nat. Gr. Original Aachen. (Gestalt und Sutr nur unerheblich von *Daraülites* abweichend.)
c. Erwachsenes Exemplar in $\frac{1}{1}$ nat. Gr. Copie nach GEMMELLARO.

¹ Sogenanntes Permocarbon.

Fig. 13 a, b. *Paracelites Hoferi* GEMM. Rocca di S. Benedetto. Vergrößert. Sutura und Seitenansicht. Naturhistorisches Hofmuseum, Wien.

14 a, b. *Prosageceras Beyrichi* GEMM. Passo di Burgio.

a. Rückenansicht. Original im Geol. Inst. d. Universität Wien.

b. Seitenansicht mit Mündungssaum und Andeutung der ersten Suturen (Sutura s. Text p. 476). Original im Palaeont. Inst. d. Universität Wien.

Fig. 15—19 Arta-Stufe (Ural).

15. *Gastrioceras Jossae* M., V., K. Arta-Stufe, Artinsk. Etwas vergrößert. (Die Sutura ist durch Aufzeichnung des Siphonalthelles vervollständigt.) Breslauer Museum.

16 a—d. *Medlicottia Orbignyana* M., V., K. Artinsk.

a. Erwachsenes Exemplar. 4/5 nat. Gr. Nach MURCHISON, VERNEUIL und KEYSERLING.

b. d. Jugendform.

c. Embryonalgewinde, stark vergrößert. (= *Prosageceras* Fig. 11 c.)

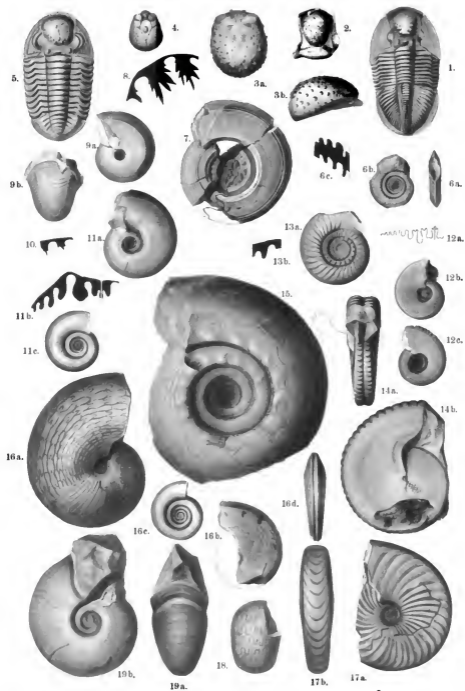
b, c, d nach KARPINSKY.

* 17 a, b. *Popanoceras Sobolewskianum* M., V., K. Copie nach MURCHISON, VERNEUIL, KEYSERLING.

18. *Popanoceras Krasnopolskii* KARP. Schnsowaja. Nach KARPINSKY.

19 a, b. *Gastrioceras Fedorowi* KARP. Rücken- und Seitenansicht eines vollständigen, mit Mündungssaum erhaltenen Exemplars. Petschora. Nach KARPINSKY.

* treated by Gemmell and type of the related genus *Popanoceras*



Tafel 63.

Brachiopoden des nordeuropäischen Zechsteins

und Vergleichsstücke.

Fig. 1 a-c. *Strophalosia indica* WAAG.

a. b. N.S.-Wales (Berliner Museum). $\frac{4}{1}$. Ein vollständig erhaltenes Exemplar der convexen Klappe (a) und Seitenansicht mit eingezeichneter concaver Klappe (b).

c. Innenseite der concaven Klappe. N. WAAGEN. Ob. Productuskalk. Jabi.

2 a. b. *Productus horridus*. Unt. Zechstein.

a. Innenseite der concaven Klappe. $\frac{2}{1}$ s. Trebnitz bei Gera. (Breslauer Mus.)

b. Steinkern der convexen Klappe. Humbleton, England. $\frac{1}{1}$ s. (Breslauer Museum.)

3 a-c. *Spirifer rugulatus* KUT. Unt. Zechstein. Russland. Originale im Breslauer Museum (leg. TRAUTSCHOLD). $\frac{1}{1}$ s.

a. Schlosskante der Stielklappe. Barsutka-Mündung an der Kama.

b. Stielklappe. Ergänzung des Umrisses von 3a nach einem zweiten Exemplar.

c. Seitenansicht. Kama.

Dieselbe Art findet sich am Džilın-Bilin-Pass, N.-Persien.

4. *Spirifer rugulatus* KUT. mut. *arctica* FRECH. Schlosskante mit Area. Weisser Kalk des obersten Carbon (zum Vergleich mit 3). Lovinsberg, Spitzbergen. (leg. NATHORST, Breslauer Museum.) $\frac{1}{1}$ s.

5 a. b. *Strophalosia horrescens* DE VERN. Typus. Unt. Zechstein, Russland. (Breslauer Museum.)

a. Steinkern der convexen Klappe. Issakly, Gouv. Ssamara. $\frac{1}{1}$ s.

b. Kirilov, Gouv. Nowgorod. Die Stacheln sind nach einem zweiten Stücke der Breslauer Sammlung ergänzt $\frac{1}{1}$ s.

6 a. *Strophalosia horrescens* mut. *antarctica* FRECH. Ausguss. Marine Dyas. Mt. Wellington, Tasmania. $\frac{1}{1}$ s.

b. Abdruck der concaven Klappe einer etwas breiteren Varietät. 6a u. b stammen aus demselben Handstück eines dem Backsteinkalk ähnelnden Gesteins. (Berl. Mus.)

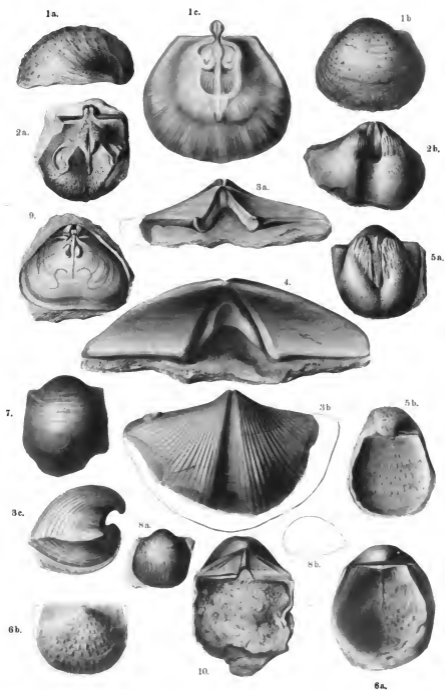
7. *Productus hemisphaerium* KUT. (non SOW.). Schalenexemplar. Convexe Klappe. Unt. russischer Zechstein. Kama. (TRAUTSCHOLD leg., Mus. Breslau.)

Nah verwandte Varietäten bei Djulfä und im Bellerophonkalk.

8 a. b. *Productus Canerini* M.V.K. Unterer russischer Zechstein. Steinkern der convexen Klappe im Dolomit. Petschischtscha. (TRAUTSCHOLD leg., Mus. Breslau.)

9. *Strophalosia excoenata* CAN. Abdruck des Inneren der concaven Klappe. Dolomit des unteren Zechsteins. Poessneck bei Gera. $\frac{2}{1}$ s. Original im geologischen Museum zu Breslau.

10. *Anosteges gigas* NETSCHAJEW. $\frac{2}{1}$ s. Unt. russischer Zechstein. Gorodischtscha an der Wjatka. (TRAUTSCHOLD leg., Breslauer Museum.)



Tafel 64.

Die bezeichnendsten Brachiopoden der Djulfaschichten.

(Stufe des *Otoceras djulfense* unterer Zechstein).

Sämtlich Copien aus FRECH u. v. ARTHABER: Palaeozoicum in Hocharmenien und Persien.
Die Originale wurden in der Araxes-Enge oberhalb der Ruinenstadt Alt-Djulfä von den
Verfassern gesammelt.

- Fig. 1 a, b. *Athyris protea* var. *alata* ABICH.
 „ 2 a—c. *Athyris protea* var. *quadrilobata* ABICH.
 „ 3 a—d. *Athyris* (*Juniceps*) n. sp.
 „ 4. *Spirifer* (*Reticularia*) cf. *pulcherrima* GEMM.
 „ 5. *Spirifer* (*Reticularia*) *indica* WAAG.
 „ 6 a, b. *Orthotetes eusarkos* ABICH sp. (Gruppe *Orthotetina* SCHELLW.).
 „ 7. *Orthotetes armeniacus* ARTH. (Gruppe *Orthotetina* SCHELLW.).
 „ 8. *Productus Geinitzi* var. *Gerana* EISEL bei v. ARTHAB.
 „ 9. *Productus intermedius* ABICH.
 „ 10 a—c. *Productus* (*Marginifera*) *spinoso-costatus* ABICH.
 „ 11. *Productus* (*Marginifera*) *intermedius* ABICH.
 „ 12 a, b. *Productus hemisphaerium* KUT. var. *armeniaca* ARTH.
 „ 13. *Productus hemisphaerium* KUT. Typus aus Russland (zum Vergleich; siehe
 auch Taf. 63, Fig. 7).
 „ 14 a, b. *Notothyris djulfensis* ABICH sp.

Alle Abbildungen in natürlicher Grösse.

Andere bei Djulfä vorkommende Brachiopoden sind abgebildet auf

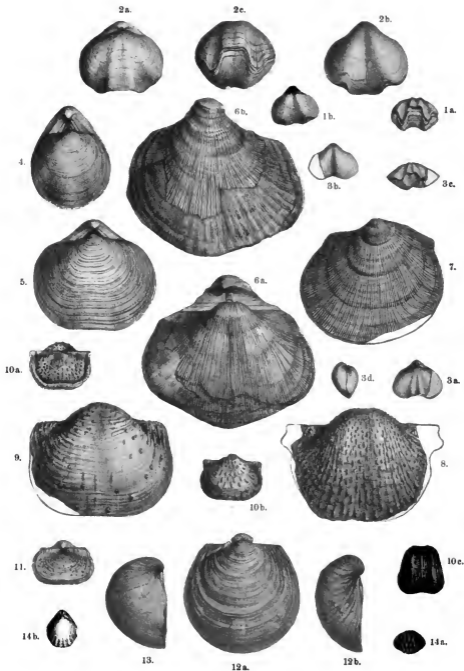
Taf. 57d, Fig. 9. *Spirifer* (*Reticularia*) *Waageni* LOEZY.

Taf. 63, Fig. 7. *Prod. hemisphaerium* KUT. (Typus.)

Textbild p. 570. *Productus Abichi* WAAG. von Tschideru, Pendschab.

Textbild p. 573, Fig. 5. *Prod. (Marginifera) intermedius* ABICH.

Die Ammonoiten siehe im Text p. 567, 568.



Tafel 65.

Leitpflanzen der dyadischen Kohlschichten (untere Gondwana-, untere Karoo- und New Castle-Schichten der Südhemisphäre).

Die Pflanzenschichten überlagern die glacialen Ablagerungen.

Gangamopteris, verschiedene Coniferen und *Callipteris* (*Neuropteridium*) sind die bezeichnendsten Formen, *Glossopteris* tritt noch zurück.

- Fig. 1. *Callipteris valida* FSTM. sp. (*Neuropteridium*). Untere Gondwana- (Karbarbári-) Schichten, Buriadi im Koblenbecken von Karbarbári. Nach FEISTMANTEL t. 4 f. 2 und t. 5 f. 2.
2. *Glossopteris Browniana* BRGT. New Castle- oder obere Kohlschichten von Bowenfels, N. S. Wales westlich von Sidney. In Australien und Südafrika sehr verbreitet, in Ostindien seltener. Nach FEISTMANTEL, Fossile Flora Australiens. t. 8 f. 3.
3. *Gangamopteris cyclopteroides* var. *attenuata* FSTM. Untere Gondwana-Formation. Mospáni-Kohlenbergwerk im Sápura-Becken. (Copie nach FEISTMANTEL t. 27 f. 1.)
4. *Gangamopteris cyclopteroides* var. *subauriculata* FSTM. Untere Gondwana-Formation. Buriadi. (Umriss nach FEISTMANTEL t. 16 f. 3.)
5. *Gangamopteris Clarkeana* FSTM. Obere Kohlschichten von Bowenfels, N. S. Wales. Nach FEISTMANTEL, Fossile Flora Australiens. t. 15. f. 9.
6. *Gangamopteris cyclopteroides* FSTM. Untere Gondwana- (Talchir-) Schiefer. (Copie nach FEISTMANTEL t. 8.)
- 7 a. *Brachyphyllum australe* FSTM. Zapfen nach FEISTMANTEL, Fossile Flora Australiens. t. 7 f. 6.
- 7 b. Desgleichen. Zweigstück. New Castle- oder obere Kohlschichten. Bowenfels, N. S. Wales.
8. *Euryphyllum Whittianum* FSTM. (Conifere.) Zwei Blätter und ein Bruchstück des Stammes; unten eine Blattnarbe. Untere Gondwana-Formation. Karbarbári-Schichten. Karbarbári-Kohlenbecken. Nach FEISTMANTEL t. 21 f. 1.
9. *Voltzia heterophylla* BRGT. Buriadi. Karbarbári-Schichten. Karbarbári-Kohlenbecken.
10. *Schizoneura* conf. *Meriani* SCHIMP. Untere Gondwana-Formation. Passarabbia im Kohlenbecken von Karbarbári. Nach FEISTMANTEL t. 1 f. 6.

Sämtliche Abbildungen sind Copien nach FEISTMANTEL und in $\frac{2}{3}$ der natürlichen Grösse wiedergegeben (photographische Verkleinerung nach einer in doppelter nat. Grösse bergestellten Tafel).



Tafel 66.

Leitpflanzen der mittleren, etwa der Trias entsprechenden Gondwana- (= Damuda-) Formation.

Blüthezeit von *Glossopteris*. Aufhören der Vereisung der Südhemisphäre.

- Fig. 1. *Vertebraria indica* ROYLE. (Rhizom von *Glossopteris*.) t. 14 a f. 2. Raniganj-Stufe, Raniganj.
2. *Phyllothea indica* BUNB. t. 12 a f. 6. Raniganj-Stufe, Raniganj.
- 3 a und b. *Glossopteris communis* FEISTM.
- 3 a. Reconstructionsfigur nach t. 37 a f. 3, 3 a und 4. Mittlere Gondwana-Formation. Kámthl-Schichten von Kámthl.
- 3 b. Mit Fructification. t. 27 a f. 1. Kámthl-Schichten von Sillewáda.
4. *Noeggerathiopsis Hislopi* BUNB. sp.? = *Rhipidozamites Goepperti* SCHMALH. = *Noeggerathia aequalis* GOEPP. Karharbári-Schichten (untere Gondwana-Formation). Kohlenbecken von Karharbárl. Nach FEISTMANTEL, t. 29 f. 1 und t. 19 f. 6 a. Die Art geht bis in die mittlere Gondwana-Formation hinauf.
- 5 a, b, c. *Schizoneura gondwanensis* FEISTM.
- 5 a. Schlachtellalmähnlicher Stamm und angefaserte Blätter. l. c. t. 6 a f. 2. Raniganj-Stufe, Raniganj.
- 5 b. Angefaserte und ganze Blätter. t. 7 a f. 2. Raniganj-Stufe. Kohlen-schichten von Raniganj.
- 5 c. Zweigsplitzen mit ganzen Blättern. t. 3 a f. 1 mit Ergänzungen nach t. 6 a f. 3. Ebendaher. Mittlere Gondwana- (Damuda-) Formation. Raniganj-Stufe, Kohlen-schichten von Raniganj.
6. *Macrotaeniopteris danaeoides* ROYLE. t. 21 a f. 2. Barákar-Stufe, Burgo (Rájmahál-Berge).
7. *Sagenopteris ? polyphylla* FEISTM. t. 41 a f. 3. Mittlere Gondwana-Formation, Raniganj-Stufe von Raniganj.

Sämmtliche Abbildungen sind Copien nach FEISTMANTEL (Fossil Flora of the Gondwana System. Vol. III. Memoirs of the Geological Survey of India, 1881.) und in 2/5 der natürlichen Grösse dargestellt.



Tafel 67.

Versteinerungen des alpinen Bellerophonkalkes.

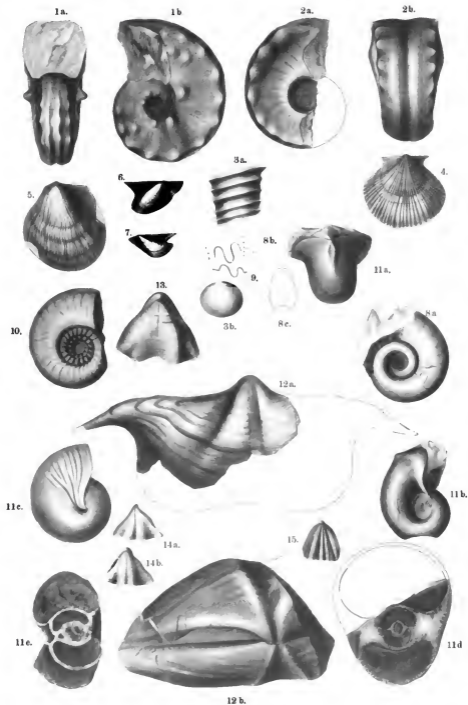
1—3, 8—10. Cephalopoden nebst verwandten Arten von *Paracelites* aus dem Siosiokalk.

- 1 a. b. *Pleuromantulus fugax* MOJS. Solschedia. (Copie n. STACHE.)
- 2 a. b. *Temnocheilus Hoernesii* STACHE sp. Kreuzberg. (Copie n. STACHE.)
- 3 a. b. *Orthoceras (Cycloceras)* sp. ind. Bellerophonkalk. Sexten. (Copie n. DIENER.)
- ✱ 8 a-c. *Paracelites sextensis* DIENER sp. Sexten. (*Paralecanites* DIENER.) Bellerophonkalk von Sexten. Copie n. DIENER.
9. *Paracelites Hoferi* GEMM.; Siosiokalk. Rocca S. Benedetto. Sutur, Copie n. GEMMELLARO zum Vergleich mit der vorstehenden Art.
10. *Paracelites plicatus* GEMM.; Vergr. Siosiokalk. Palazzo Adriano. Orig. techn. Hochschule in Aachen.

4—7, 11. Zweischaler und Gastropoden.

4. *Aviculopecten Comelicans* STACHE sp. Val di Rin. Copie nach STACHE. t. 4, f. 4.
5. *Prospodylus erinifer* STACHE sp. St. Jakob (Gröden.). Copie nach STACHE. t. 4, f. 10.
6. *Gervilleia (Bakerella)* cf. *bicarinata* KING. St. Martin. Copie nach STACHE. t. 5, f. 5.
7. *Gervilleia (Bakerella)* cf. *ceratophaga* SCHLOTH. St. Jakob. Copie nach STACHE. t. 4, f. 15.
11. *Bellerophon peregrinus* LÖB. aus dem Bellerophonkalk.
 - a. b. Steinkerne, Sexten, Geol. Institut zu Wien. Der schnauzenförmige Vorsprung am Ausschnitt der Mündung ist bei b erhalten, bei a abgebrochen.
 - c. Schalenexemplar. St. Jakob in Gröden. Copie nach STACHE. Jahrb. d. K. K. geol. Reichsanstalt 1877. Bd 27. t. 6, f. 5 a.
 - d. e. Querschnitte, vergr. d. Centraler, e. excentrischer Schnitt. Zwischen St. Ulrich und St. Jakob in Gröden. Coll. FRECH.

✱ *Paralecanites* Diener



12 b.

12—15. Brachiopoden.

- 12 a. *Athyris (Comelicania) megalotis* STACHE sp. Sextener Kreuzberg. Copie nach STACHE. t. 6, f. 1.
b. Dieselbe Art. Sexten. Original im Geol. Institut Wien.
13. *Athyris (Janiceps) confinalis* STACHE sp. Kreuzberg. Copie nach STACHE. t. 6, f. 4.
- 14 a. b. *Athyris (Janiceps) peracida* var. STACHE sp. Kreuzberg. Copie nach STACHE. t. 6, f. 6.
15. *?Janiceps impar* STACHE sp., „*Spirifer*“ STACHE. Prags. Copie nach STACHE. t. 7, f. 8.

Sämmtliche Copien nach STACHE, Fauna der Bellerophonkalke Südtirols, Jahrb. der K. K. geol. Reichsanstalt 1878, Bd. 28.



Der Abschluss des Chor Hoti-Kessels mit dem Marchant-Peak (19 518 a. F.) von den südlichen Abhängen des Schalchal-Kliff (Standpunkt ca. 16 000 a. F.). Aus C. Duxson, Geol. Expedition in den Central-Himalaya.
 C₁ Carbonische Crinoidenkalke. C₂ Carbonische Quarzite. C₃ Carbonische Schales (obers Dyas). T Obertriasische Hochgebirgskette (Dachsteinkalk).

1. 2. 3. 4. 5. 6. 7. 8. 9. 10. 11. 12. 13. 14. 15. 16. 17. 18. 19. 20. 21. 22. 23. 24. 25. 26. 27. 28. 29. 30. 31. 32. 33. 34. 35. 36. 37. 38. 39. 40. 41. 42. 43. 44. 45. 46. 47. 48. 49. 50. 51. 52. 53. 54. 55. 56. 57. 58. 59. 60. 61. 62. 63. 64. 65. 66. 67. 68. 69. 70. 71. 72. 73. 74. 75. 76. 77. 78. 79. 80. 81. 82. 83. 84. 85. 86. 87. 88. 89. 90. 91. 92. 93. 94. 95. 96. 97. 98. 99. 100. 101. 102. 103. 104. 105. 106. 107. 108. 109. 110. 111. 112. 113. 114. 115. 116. 117. 118. 119. 120. 121. 122. 123. 124. 125. 126. 127. 128. 129. 130. 131. 132. 133. 134. 135. 136. 137. 138. 139. 140. 141. 142. 143. 144. 145. 146. 147. 148. 149. 150. 151. 152. 153. 154. 155. 156. 157. 158. 159. 160. 161. 162. 163. 164. 165. 166. 167. 168. 169. 170. 171. 172. 173. 174. 175. 176. 177. 178. 179. 180. 181. 182. 183. 184. 185. 186. 187. 188. 189. 190. 191. 192. 193. 194. 195. 196. 197. 198. 199. 200. 201. 202. 203. 204. 205. 206. 207. 208. 209. 210. 211. 212. 213. 214. 215. 216. 217. 218. 219. 220. 221. 222. 223. 224. 225. 226. 227. 228. 229. 230. 231. 232. 233. 234. 235. 236. 237. 238. 239. 240. 241. 242. 243. 244. 245. 246. 247. 248. 249. 250. 251. 252. 253. 254. 255. 256. 257. 258. 259. 260. 261. 262. 263. 264. 265. 266. 267. 268. 269. 270. 271. 272. 273. 274. 275. 276. 277. 278. 279. 280. 281. 282. 283. 284. 285. 286. 287. 288. 289. 290. 291. 292. 293. 294. 295. 296. 297. 298. 299. 300. 301. 302. 303. 304. 305. 306. 307. 308. 309. 310. 311. 312. 313. 314. 315. 316. 317. 318. 319. 320. 321. 322. 323. 324. 325. 326. 327. 328. 329. 330. 331. 332. 333. 334. 335. 336. 337. 338. 339. 340. 341. 342. 343. 344. 345. 346. 347. 348. 349. 350. 351. 352. 353. 354. 355. 356. 357. 358. 359. 360. 361. 362. 363. 364. 365. 366. 367. 368. 369. 370. 371. 372. 373. 374. 375. 376. 377. 378. 379. 380. 381. 382. 383. 384. 385. 386. 387. 388. 389. 390. 391. 392. 393. 394. 395. 396. 397. 398. 399. 400. 401. 402. 403. 404. 405. 406. 407. 408. 409. 410. 411. 412. 413. 414. 415. 416. 417. 418. 419. 420. 421. 422. 423. 424. 425. 426. 427. 428. 429. 430. 431. 432. 433. 434. 435. 436. 437. 438. 439. 440. 441. 442. 443. 444. 445. 446. 447. 448. 449. 450. 451. 452. 453. 454. 455. 456. 457. 458. 459. 460. 461. 462. 463. 464. 465. 466. 467. 468. 469. 470. 471. 472. 473. 474. 475. 476. 477. 478. 479. 480. 481. 482. 483. 484. 485. 486. 487. 488. 489. 490. 491. 492. 493. 494. 495. 496. 497. 498. 499. 500. 501. 502. 503. 504. 505. 506. 507. 508. 509. 510. 511. 512. 513. 514. 515. 516. 517. 518. 519. 520. 521. 522. 523. 524. 525. 526. 527. 528. 529. 530. 531. 532. 533. 534. 535. 536. 537. 538. 539. 540. 541. 542. 543. 544. 545. 546. 547. 548. 549. 550. 551. 552. 553. 554. 555. 556. 557. 558. 559. 560. 561. 562. 563. 564. 565. 566. 567. 568. 569. 570. 571. 572. 573. 574. 575. 576. 577. 578. 579. 580. 581. 582. 583. 584. 585. 586. 587. 588. 589. 590. 591. 592. 593. 594. 595. 596. 597. 598. 599. 600. 601. 602. 603. 604. 605. 606. 607. 608. 609. 610. 611. 612. 613. 614. 615. 616. 617. 618. 619. 620. 621. 622. 623. 624. 625. 626. 627. 628. 629. 630. 631. 632. 633. 634. 635. 636. 637. 638. 639. 640. 641. 642. 643. 644. 645. 646. 647. 648. 649. 650. 651. 652. 653. 654. 655. 656. 657. 658. 659. 660. 661. 662. 663. 664. 665. 666. 667. 668. 669. 670. 671. 672. 673. 674. 675. 676. 677. 678. 679. 680. 681. 682. 683. 684. 685. 686. 687. 688. 689. 690. 691. 692. 693. 694. 695. 696. 697. 698. 699. 700. 701. 702. 703. 704. 705. 706. 707. 708. 709. 710. 711. 712. 713. 714. 715. 716. 717. 718. 719. 720. 721. 722. 723. 724. 725. 726. 727. 728. 729. 730. 731. 732. 733. 734. 735. 736. 737. 738. 739. 740. 741. 742. 743. 744. 745. 746. 747. 748. 749. 750. 751. 752. 753. 754. 755. 756. 757. 758. 759. 760. 761. 762. 763. 764. 765. 766. 767. 768. 769. 770. 771. 772. 773. 774. 775. 776. 777. 778. 779. 780. 781. 782. 783. 784. 785. 786. 787. 788. 789. 790. 791. 792. 793. 794. 795. 796. 797. 798. 799. 800. 801. 802. 803. 804. 805. 806. 807. 808. 809. 810. 811. 812. 813. 814. 815. 816. 817. 818. 819. 820. 821. 822. 823. 824. 825. 826. 827. 828. 829. 830. 831. 832. 833. 834. 835. 836. 837. 838. 839. 840. 841. 842. 843. 844. 845. 846. 847. 848. 849. 850. 851. 852. 853. 854. 855. 856. 857. 858. 859. 860. 861. 862. 863. 864. 865. 866. 867. 868. 869. 870. 871. 872. 873. 874. 875. 876. 877. 878. 879. 880. 881. 882. 883. 884. 885. 886. 887. 888. 889. 890. 891. 892. 893. 894. 895. 896. 897. 898. 899. 900. 901. 902. 903. 904. 905. 906. 907. 908. 909. 910. 911. 912. 913. 914. 915. 916. 917. 918. 919. 920. 921. 922. 923. 924. 925. 926. 927. 928. 929. 930. 931. 932. 933. 934. 935. 936. 937. 938. 939. 940. 941. 942. 943. 944. 945. 946. 947. 948. 949. 950. 951. 952. 953. 954. 955. 956. 957. 958. 959. 960. 961. 962. 963. 964. 965. 966. 967. 968. 969. 970. 971. 972. 973. 974. 975. 976. 977. 978. 979. 980. 981. 982. 983. 984. 985. 986. 987. 988. 989. 990. 991. 992. 993. 994. 995. 996. 997. 998. 999. 1000.





Lichtdruck v. Carl Ebnor, Stuttgart

Stanford University Libraries



3 6105 018 742 628

50911

von Dr. E. Schweizerbart, Verlagsbuchhandlung (E. Nagels) in Stuttgart
erschienen 1833

Neues Jahrbuch

Mineralogie, Geologie und Palaeontologie.

Herausgegeben von Zittel und Haushofer.

M. Bauer,
in Marburg.

H. Koken,
in Tübingen.

Th. Irbisch,
in Göttingen.

Jährlich erscheinen 2 Bände je zu 2 Heften. Preis pro Band Mk. 25.—.

Seit Mai 1909

Centralblatt

für

Mineralogie, Geologie und Palaeontologie

Herausgegeben von

M. Bauer,
in Marburg.

H. Koken,
in Tübingen.

Th. Irbisch,
in Göttingen.

Manuskripte werden zweifach angenommen. Preis des Jahrgangs 12 Mark.

Anzeigen des **Jahrbuchs für Mineralogie, Geologie und Palaeontologie** sind des Vorrats halber **kostenlos**.

Zittel und Haushofer.

Palaeontologische Wandtafeln.

Heft 1, (Schluss).

Inhalt und Preisverzeichnisse stehen zu Diensten.

PALAEONTOGRAPHICA.

Verlag

von

der Autoren

Die Ammonoiten des schwabischen Jura

von Prof. Dr. G. O. Scharf.

32 farbige Tafeln nebst Atlas von 25 Tafeln in Folio.

Preis Mk. 110.—

Bd. I. Der Schwarze Jura (Lias). Bd. II. Der Bunte Jura (Dogger). Bd. III. Der Weiße Jura.

Druck von A. H. Beyer in Stuttgart.